

1
2 **Caracterización de sistemas de producción avícola de huevo mediante la**
3 **implementación de modelos de predicción y clasificación.**

8 **Por:**

9 **Luis Fernando Galeano Vasco**

15 **Director:**

16 **Mario Fernando Cerón Muñoz**

20 Comité tutorial:

21 José Miguel Cotes Torres

22 William Vicente Narváez Solarte

28 Doctorado en Ciencias Animales

29 Universidad de Antioquia

30 2014

31

Agradecimientos

32

33 A la Universidad de Antioquia, la Facultad de Ciencias Agrarias y sus directivas,
34 por su apoyo incondicional.

35 Al Centro de Investigaciones Agrarias CIAG.

36 Al Posgrado en Ciencias Agrarias, en especial a Nélida Rodríguez y Johana
37 Cardona por su incansable compromiso con sus estudiantes.

38 Al Grupo de investigación GaMMA por abrirme las puertas para mi formación
39 doctoral.

40 A mis amigos, que si tratara de nombrarlos uno a uno nunca acabaría, por su ayuda,
41 entendimiento y compañía, ellos hicieron posible este logro en mi vida.

42 Un especial agradecimiento a Cristina Acevedo, Cristina Herrera, Diana Bolívar,
43 Diana Gutiérrez, Divier Agudelo, Julián Ramírez, Luz Victoria Tamayo, Natalia
44 Zapata, Nicolás Ramírez y Oscar Múnера, por su ayuda y continuo apoyo en este
45 logro.

46 A Juan Manuel Mejía gerente de Aves Emaús y Wilmar Puerta por su compromiso
47 y apertura.

48 A mi tutor y comité tutorial por su paciencia y perseverancia.

49 A los profesores Inés M. Galván y Ricardo Aler pertenecientes al Departamento de
50 Informática de la Universidad Carlos III de Madrid, España. Gracias por su apoyo
51 en mi formación doctoral.

52 Al Departamento Administrativo de Ciencia, Tecnología e Innovación Colciencias y
53 a su beca de apoyo financiero para estudios doctorales.

54

55

56

Dedicado a:

57

A Dios mi fuerza y compañía inagotable.

58

Mis padres y familia amor que nutre mi existencia.

59

Mi esposa e hijos que son el amor, fortaleza y convicción de mis actos.

60

A mis parceros del alma Jaime y Nelson, por su alegría, apoyo y amistad.

61

Mis amigos gestores de momentos inolvidables en mi vida, pues han sido y serán el hombro a la hora de compartir lágrimas, el oído atento a las quejas y reclamos,

63

y la palabra justa para crear una sonrisa en el momento más indicado.

64

A mi hermano la llama del amor fraterno que guía mis pasos desde el cielo.

65	Tabla de Contenido	
66	Agradecimientos.....	i
67	Dedicado a:.....	ii
68	Tabla de Contenido.....	iii
69	Lista de Tablas	v
70	Lista de Figuras	vi
71	Lista de Abreviaturas.....	vii
72	Resumen General	1
73	Abstract.....	2
74	Introducción General	5
75	Objetivos	8
76	Objetivo general	8
77	Objetivos específicos.....	8
78	Marco Teórico.....	9
79	Factores que afectan la respuesta productiva del ave.....	15
80	Herramientas para el análisis de la información.	20
81	La curva de crecimiento	24
82	• Funciones utilizadas para evaluar el crecimiento en animales	26
83	Modelación dela curva de huevos	30
84	Modelos nutricionales.....	32
85	Redes Neuronales Artificiales (RNA).	35
86	Referencias	43
87	Capítulo 1. Capacidade de modelos mistos não lineares para prever o crescimento em galinhas poedeiras.....	54

89	Capítulo 2. Modelación del crecimiento de pollitas Lohmann LSL con redes neuronales y modelos de regresión no lineal.....	70
91	Capítulo 3. Uso del modelo de distribución con retardo para predecir la producción de huevos en gallinas ponedoras	78
93	Capítulo 4. Curve modeling and forecasting of daily egg production with the use of recurrent neural networks.....	89
95	Capítulo 5. Sistema de Gestión de Información para Granjas Avícolas	111
96	Conclusiones Generales	129
97	Consideración Final.....	130
98	Referencias	140
99	Recomendaciones Generales	146
100	Anexos.....	147
101	Anexo 1. Comunicado de aceptación para la publicación del artículo "Ability of non-linear mixed models to predict growth in laying hens" en la Revista Brasileira de Zootecnia.....	147
103	Anexo 2. Reglamento de la revista Brasileira de Zootecnia-Brazilian Journal of Animal Science (RBZ).....	148
105	Anexo 3. Reglamento de la revista MVZ de Córdoba	159
106	Anexo 4. Reglamento de la revista Colombiana de Ciencias Pecuarias	163
107	Anexo 5. Reglamento de la revista Poultry Science	172
108	Anexo 6. Manual de Usuario: Sistema de Gestión de Información para Granjas Avícolas	182
109	Anexo 7. Artículo de divulgación de las actividades del proyecto de investigación CODI	183
110		
111		

112

Lista de Tablas

113	Tabla1. Parámetros productivos propuestos por las casas genéticas en las guías de manejo de aves para la producción de huevo comercial.....	11
115	Table 1. Nutritional composition of diets offered to the birds in the evaluation period.....	65
116	Table 2. The body weight data (grams) of Lohmann LSL hens used to model the growth curve with nonlinear mixed models.....	65
118	Table 3: Differences between the amount of feed consumed per bird day-1 and the amount recommended by the management guide hens of the strain Lohmann LSL (weeks 1 to 25).	66
121	Table 4. Classification based on information criteria and correlation value of non-linear mixed models used to evaluate growth of Lohmann LSL hens.....	66
123	Table 5. Parameters estimated by nonlinear-mixed growth models used to evaluate Lohmann LSL birds.....	67
125	Tabla 1. Criterios de validación y comparación de los modelos utilizados en la descripción del crecimiento de aves de la línea Lohmann LSL.....	74
127	Table 1. Egg production of the commercial hen strains used to evaluate model fit	83
128	Table 2. Delay-model parameters for modeling the egg production curve in commercial egg layers.	84
130	Table 3. Determination coefficient (R ²), Spearman correlation (r) and MAD values for the egg production curve in commercial egg-laying hens fitted with models Delay Lokhorst and Adams-Bell.....	84
133	Table 4. Durbin Watson contrast values of the egg production curve model in commercial hens.....	84
135	Table 1. Results of curve fitting of daily egg production with the use of MLP and MM ...	103
136	Table 2. Calculated values of MAD and MSE for neural network models used to predict the daily egg production.....	106
138	Tabla 1. Estructura matricial de los pesos de las conexiones de la estructura neuronal recurrente de Elman	143
140	Tabla 2. Estructura matricial de los pesos de las conexiones de la estructura neuronal recurrente de Jordan.....	144
142	Tabla 3. Estructura matricial de los pesos de las conexiones de la estructura neuronal del Perceptrón multicapa	145
144		

145	Lista de Figuras	
146	Figura 1. Esquema que muestra cual es el sentido del flujo de la información en un	
147	Sistema de apoyo a la toma de decisiones SATD.....	21
148	Figura 2. Estructura y funcionamiento de una red neuronal artificial (RNA). Adaptado de	
149	Hagan 1996 y Haykin 2004.....	36
150	Figure 1. Growth curves of Lohman LSL birds	68
151	Figure 2. Projected growth curve of Lohmann LSL hens using the Gompertz model based	
152	on population deviations, for the production system of the University of Antioquia.	69
153	Figura 1. Estructura de la red neuronal.....	74
154	Figura 2. Curvas de crecimiento estimadas por los modelos RNA, MNLM y MNL para	
155	aves de la línea Lohmann LSL.....	74
156	Figura 3. Distribución de residuales de los modelos utilizados en la descripción del	
157	crecimiento de aves de la línea Lohmann LSL.....	75
158	Figure 1. The graphs show three models for the weekly egg production curves in	
159	commercial layers.....	76
160	Figure 1. Observed data of daily egg production. A= Flock 1. B= Flock 6. C= Flock 12.104	
161	Figure 2. Observed data of daily egg production (flock 1) used for forecasting with neural	
162	models MLP, RNNJ and RNNE. Red dots refer to the starting points for predictions (T =	
163	100, 200 and 300).....	105
164	Figure 3. Results of forecasting values with neural models.	107
165	Figura 1. Diagrama de flujo para la fase de cría y levante.....	125
166	Figura 2. Diagrama de flujo del sistema alimentación para el componente fábrica de	
167	alimentos concentrados	126
168	Figura 3. Diagrama de flujo del ítem Medio ambiente	127
169	Figura 4. Creación del formulario para captura de información del ítem Medio ambiente.	
170	128
171		
172		

- 173 **Lista de Abreviaturas**
- 174
- 175 AIC: Criterio de información de Akaike
- 176 ANN: artificial neural networks
- 177 ART: Teoría de Resonancia Adaptiva
- 178 BAM: Bidirectional Associative Memory
- 179 BIC: Criterio de Información Bayesiano
- 180 BW: peso corporal
- 181 CME: cuadrado medio del error
- 182 CO₂: dióxido de carbono
- 183 CP: Proteína cruda
- 184 Dif: diferencia entre la cantidad de alimento consumido y el valor teórico de
185 consumo
- 186 DSS: Decision Support Systems
- 187 DW: estadístico Durbin-Watson
- 188 FENAVI: Federación Nacional de Avicultores de Colombia
- 189 HB: Hy Line Brown
- 190 IB: Isa Brown
- 191 ICA: Instituto Colombiano Agropecuario
- 192 LB: Lohmann Brown
- 193 LQV: Learning Vector Quantization
- 194 LSL: Lohmann LSL
- 195 MAD: media absoluta de la desviación
- 196 MAPE: porcentaje de la media absoluta del error
- 197 ME: Energía metabolizable (Mcal/kg)
- 198 MLP: Perceptrón multicapa
- 199 MM: modelo matemático
- 200 MNL: modelos no lineales
- 201 MNLM: modelos no lineales mixtos
- 202 MSE: cuadrado medio del error

- 203 Pearson's correlation coefficient (COR)
- 204 r: coeficiente de correlación
- 205 R²: Coeficiente de determinación
- 206 RNA: Redes neuronales artificiales
- 207 RNNE: redes neuronales recurrentes tipo Elman
- 208 RNNJ: redes neuronales recurrentes tipo Jordan
- 209 RSD: desviación estándar residual
- 210 SATD: sistemas de soporte para la toma de decisiones
- 211 SD: desviación estándar
- 212 SGI: Sistema de gestión de la información
- 213 TMP: Topology-Preserving Map
- 214 UPM: Universidad Politécnica de Madrid
- 215 Wk: semana
- 216

217

Resumen General

218

219 Este proyecto pretendió caracterizar y modelar las fases de crecimiento y
220 producción de aves productoras de huevo comercial, por medio de la toma de
221 información, medición, análisis de variables productivas y generación de modelos
222 de predicción.

223

224 Este documento final de Tesis presenta los resultados del proceso de investigación
225 y se compone de una *introducción* donde se abordan conceptos alusivos al
226 problema que motivó el desarrollo de la investigación. A continuación el lector
227 encontrará el *marco teórico* en el cual se incorpora información del sistema
228 productivo comercial de huevo en Colombia, parámetros productivos de la líneas
229 genéticas, además presenta conceptos de la modelación y sus usos en la avicultura,
230 también se define la funcionalidad y estructura de un sistema de apoyo a la toma de
231 decisiones y se culmina definiendo las Redes neuronales con énfasis en su
232 morfología y usos en la modelación.

233

234 En el *capítulo 1* se presenta la evaluación de la capacidad para ajustar la curva de
235 crecimiento de los modelos no lineales mixtos Von Bertalanffy, Richards, Gompertz,
236 Brody, y Logístico. Como resultado, el modelo no lineal mixto que mejor ajustó la
237 curva de crecimiento fue el de Gompertz, seguido por Richards y Von Bertalanffy.

238

239 Para la modelación de la curva del crecimiento de aves de la línea Lohmann LSL en
240 el *capítulo 2*, se compararon los modelos no lineal Von Bertalanffy (MNL), no lineal
241 mixto Von Bertalanffy (MNLM) y redes neuronales artificiales (RNA). Se encontró
242 que el modelo más preciso fue el MNLM, seguido por la RNA y en último lugar el
243 MNL. Señalando a las RNA como alternativa en la modelación del crecimiento.
244 En el *capítulo 3* para modelar la curva de producción de huevos se utilizaron los
245 modelos Adams-Bell, Lokhorst y de distribución con retardo (Delay). Los modelos

246 Delay y Lokhorst presentaron el mejor ajuste, siendo los más eficientes para
247 predecir la curva de las estirpes probadas. Continuando con la definición del modelo
248 para la curva de producción de huevos en el *capítulo 4* se compararon el modelo
249 perceptrón multicapa (redes neuronales artificiales (RNA)) y el modelo Lokhorst.
250 Ambos modelos proporcionaron ajustes adecuados para la curva de producción,
251 aunque por la facilidad de configuración y de ajuste se recomendó el uso de las
252 RNA. En la segunda parte de este capítulo se utilizaron las redes neuronales
253 recurrentes de Elman y Jordan, y el perceptrón multicapa (MLP) para construir un
254 modelo de predicción de la curva de producción. Se logró obtener un modelo
255 funcional que predice la producción diaria de huevos, pero que necesita de la
256 inclusión de más variables para ajustar la variabilidad presentada en la curva de
257 producción.

258

259 En el *quinto capítulo* se incorporan los conceptos teóricos y de modelación de los
260 cuatro capítulos anteriores para dar vida a la herramienta informática denominada
261 “Sistema de Gestión de Información Para Granjas Avícolas”, como sistema de
262 apoyo a los avicultores que facilite y agilice la recopilación, almacenamiento,
263 procesamiento y análisis de la información, y que además, sirva como apoyo
264 gerencial en la toma de decisiones en tiempo real.

265

266

Abstract

267

268 This project pretended to characterize and model the growth and production phases
269 of commercial laying hens, by gathering information, measuring and analyzing
270 productive variables and creating prediction models.

271

272 This final thesis document presents the results of the research process and is
273 comprised of an *introduction* where concepts alluding to the problem that motivated
274 the development of the research are discussed. Next the reader will encounter the

275 *theoretical framework* with information on the commercial egg production system in
276 Colombia, production parameters of the genetic strains, and modeling concepts and
277 their use in poultry, along with the definition of the functionality and structure of a
278 support system for decision making culminating with the specification of neural
279 networks emphasising on their morphology and use in modeling.

280

281 In *Chapter 1* the evaluation on the adjustment capacity presents assessing the
282 ability to adjust the curve of growth of nonlinear mixed models: Von Bertalanffy,
283 Richards, Gompertz, Brody and Logistic. As a result, the mixed nonlinear model that
284 best fitted the growth curve was Gompertz model, followed by Richards and Von
285 Bertalanffy.

286

287 In *Chapter 2*, the non linear model Von Bertalanffy (MNL), non linear mixed model
288 Von Bertalanffy (MNLM) and the artificial neural networks (ANN) were compared for
289 the modeling of the growth curve of hens from the Lohmann LSL line. The most
290 precise model was the MNLM, followed by the ANN and in last place the MNL. This
291 shows ANN as an alternative in growth modeling.

292

293 In *Chapter 3*, in order to model the egg production curve, the models Adams-Bell,
294 Lokhorst and delay distribution (Delay) were used. The Delay and Lokhorst models
295 presented the best fit, being the most efficient in the prediction of the curve of the
296 strains tested. Continuing on with the model definition for the egg production curve
297 in *Chapter 4* the multilayer perceptron (artificial neural networks (ANN)) and the
298 Lokhorst models were compared. Both models provide adequate fits for the
299 production curve, although due to the ease of configuration and adjustment, the ANN
300 is recommended. In the second part of this chapter the recurrent neural networks of
301 Elman and Jordan and the multilayer perceptron (MLP) were used to build a
302 prediction model of the production curve. It was possible to obtain a functional model
303 that predicts the daily egg production, but it needs to include more variables to adjust
304 the variability presented in the yield curve.

305

306 In the *fifth chapter* the theoretical and practical concepts of modeling of the previous
307 four chapters are incorporated to give life to the software tool called "Information
308 Management System For Poultry Farms", as a support system to farmers to facilitate
309 and expedite the collection, storage, processing and analysis of information, and
310 also serves as a management support decision making in real time.

311

Introducción General

312

313 La permanencia en el sector de cualquier sistema productivo empresarial requiere
314 de la planeación y ejecución de actividades tendientes a la optimización de recursos
315 y entre otros a lograr la maximización de su rentabilidad, para ello es necesario
316 implementar procesos gerenciales que propendan por mejorar la calidad, la
317 productividad y la competitividad de la empresa. La efectividad de estos procesos
318 requiere de la definición de estrategias a corto, mediano y largo plazo; las cuales
319 deben estar fundamentadas en el conocimiento, análisis y documentación de las
320 actividades propias del negocio, logrando definir y controlar los factores que
321 intervienen de manera directa o indirecta en la respuesta económica y productiva del
322 sistema.

323

324 La producción empresarial avícola de huevo depende del mantenimiento de la
325 respuesta productiva de las aves en un nivel óptimo que permita maximizar el uso
326 de los recursos propios. Pero el nivel productivo de las aves está condicionado por
327 múltiples factores, tales como los ambientales ej.: temperatura, humedad relativa,
328 ventilación, luminosidad; de manejo ej.: densidad de las aves, número de
329 comederos y bebederos por ave, nutricionales ej.: balance nutricional, costo
330 materias primas, granulometría, tipo de comederos, sistema de alimentación,
331 suplementación mineral, y propios del ave (estirpe, edad, peso), entre otros. Cada
332 uno de estos factores puede ser medido, registrado y analizado, pero por su
333 volumen y variabilidad se hace difícil para el ser humano poder evaluarlos en tiempo
334 real sin el uso de aplicaciones informáticas, como los modelos matemáticos y la
335 simulación. En tal sentido, el avicultor-empresario debe contar con herramientas que
336 faciliten el análisis e interpretación de la información del sistema, y que además le
337 permitan hacer continuo monitoreo y control del sistema productivo, a partir de la
338 medición de la productividad, la valoración del uso de los recursos y el registro día
339 a día de las condiciones ambientales y económicas del sector; con el fin realizar
340 toma de decisiones objetiva y que además, permita reducir los costos y maximizar

341 la rentabilidad y eficiencia del proceso productivo con los recursos disponibles
342 (Oviedo, 2002).

343

344 Como alternativa existen los sistemas de apoyo a la toma de decisiones, dentro de
345 los cuales se encuentran los modelos matemáticos los cuales son formulismos
346 compuestos por ecuaciones, variables y funciones que permiten hacer una
347 representación simplificada de las posibles relaciones de un sistema biológico. Los
348 modelos matemáticos facilitan el entendimiento de las partes y las interrelaciones
349 entre los elementos de un determinado sistema, y simular el efecto de la
350 introducción de cambios en los componentes (escenarios virtuales), sin necesidad
351 de ser llevados a cabo sobre el sistema real. (Keen y Morton, 1978)

352

353 Los modelos de simulación tienen gran aplicación en el ámbito agropecuario
354 principalmente en funciones de crecimiento, producción, consumo de alimento,
355 mejoramiento genético, entre otras. No obstante, la modelación de eventos o
356 características de un ser vivo, es un asunto complicado debido a la utilización de
357 parámetros con interpretación biológica que permitan describir los cambios
358 longitudinales, la variación de las observaciones en el tiempo y en muchos casos,
359 la imposibilidad de cumplir con los supuestos de los modelos estadísticos (Aggrey,
360 2009). Otro aspecto a resaltar, es que los parámetros obtenidos en modelos
361 evaluados por investigadores en países desarrollados o estacionales, han sido
362 obtenidos en condiciones ambientales, tecnológicas y de material genético distintas
363 a las que se poseen en los sistemas de producción Colombiano, por lo que queda
364 en discusión la validez de los resultados obtenidos con la extrapolación directa de
365 estos modelos.

366

367 La proyección empresarial de los sistemas de producción avícola nacional requiere
368 la implementación de sistemas de gestión de la información gerencial de apoyo a la
369 toma de decisiones, lo cual implica el desarrollo de investigaciones para la creación
370 y evaluación de técnicas de modelación, simulación y optimización, construidas a

371 partir de la información propia de los sistemas productivos con el fin de identificar
372 posibles alternativas de solución a los problemas y obtener los valores óptimos que
373 satisfagan las condiciones de cada sistema de producción y de su entorno (Oviedo,
374 2002).

375

376 Este trabajo tiene como objetivo la caracterización de sistemas de producción de
377 huevo comercial, en las etapas de cría, levante y producción, a partir de la creación,
378 comparación y validación de modelos de predicción y clasificación que faciliten la
379 comprensión, análisis y mejora del proceso productivo de las aves en la fase de
380 crecimiento y producción de huevos con modelos lineales, no lineales y Redes
381 neuronales artificiales (RNA). Además, se propone la creación de una herramienta
382 para la identificación de puntos críticos en los procesos de producción del huevo y
383 con el fin de facilitar la toma de decisiones y la planificación de la producción con
384 modelos computacionales como las RNA.

385

386 **Objetivos**

387

388 **Objetivo general**

389 Diseñar y aplicar una herramienta informática para la caracterización y apoyo
390 gerencial basada en técnicas de modelación y optimización en sistemas de
391 producción de huevo comercial de Antioquia.

392

393 Objetivos específicos

- Establecer el modelo que mejor ajusta la curva de crecimiento y el desarrollo del ave de postura.
 - Establecer el modelo que mejor ajusta la curva del ciclo productivo del ave de postura.
 - Diseñar y evaluar un sistema de información de apoyo a la toma de decisiones para sistemas de producción avícola de huevo comercial.

400

Marco Teórico

402

403 El sector avícola se divide en la explotación de aves pesadas tipo carne y de
404 ponedoras comerciales para huevos. Para el 2002 Colombia contaba con un
405 promedio de 23 millones de ponedoras comerciales distribuidas en 962 granjas. Al
406 2008 la población aumentó en 5,2% promedio anual, y Antioquia paso de tener 78
407 a 94 granjas comerciales de huevo (FENAVI, 2009; 1^{er} Censo Nacional de Avicultura
408 Industrial, 2014).

409

En Antioquia los principales sistemas de producción de huevo son jaula y piso, y en menor proporción pastoreo. El sistema de jaula se caracteriza por ofrecer un huevo limpio, sin necesidad de consecución de materiales para el cambio de la cama y mayor número de aves por metro cuadrado; además de facilitar las tareas de detección, tratamiento de aves con problemas productivos o sanitarios y actividades de manejo como vacunaciones, pesajes, recolección de huevos, suministro de alimento y evacuación de las excretas. En comparación con los otros sistemas, el de jaulas requiere mayor inversión en construcciones y equipos por ave encasetada, y la continua remoción de las heces (gallinaza) ya que estas pueden causar problemas de acumulación de gases. A nivel fisiológico las jaulas ocasionan en las aves afecciones musculares y óseas debido a baja movilidad e imposibilidad de desarrollar comportamientos etológicos como baños de arena, desgaste de uñas y descanso en perchas. Las densidades recomendadas son de tres aves semipesadas o cuatro aves livianas por jaula, con el fin de garantizar 550 cm² por ave exigidos por la normatividad internacional de la Unión Europea establecidos en la Directiva 74 de 1999 y el Real Decreto 3 de 2002 sobre condiciones mínimas del alojamiento de las gallinas ponedoras, pero a partir de 2012 todas las jaulas debían ser cambiadas por un sistema de jaulas enriquecidas (espacio con nidal, rascador de uñas, baño de arena) que permita la expresión de comportamientos etológicos propios del ave y que garantice 750 cm²/ave. En estados Unidos al 2008 la Unión de Productores de huevo (UEP) estableció como norma de certificación un área

431 mínima de 430 cm²/ave (Van Horne y Achterbosch, 2008). En Colombia no se tiene
432 una norma o ente que establezca cual es la densidad en los sistema de producción
433 de huevo, la única referencia es que los productores siguen las recomendaciones
434 de los manuales de las casas genéticas, con el fin de garantizar las condiciones
435 mínimas (nutrición, iluminación, ventilación, y densidad) que la gallina necesita para
436 expresar su potencial productivo.

437

438 El sistema de producción en piso ofrece como ventajas el confinamiento de las aves
439 en espacios más amplios, lo cual le permite a los animales desarrollar
440 comportamientos etológicos propios. Como desventajas están los problemas en el
441 manejo de la cama, la generación de gran cantidad de polvo, la pérdida de huevos
442 por postura fuera de los nidales y el aumento en la cantidad de huevos sucios.

443

444 El sistema de pastoreo se aplica en pocas producciones, debido a su alta demanda
445 de espacio, aunque ofrece como ventaja la disminución en el consumo de alimento
446 concentrado y la posibilidad de ofrecer al mercado el huevo con valor agregado por
447 la disminución en los niveles de estrés de las aves.

448

449 En los sistemas comúnmente se utilizan comederos manuales de canoa, tolva o
450 automáticos como el de banda y cadena transportadora, también se usan
451 bebederos manuales de campana y automáticos de copa, nipple y campana.

452

453 Actualmente los productores de huevo cuentan con líneas genéticas especializadas
454 como Hy Line W98, Hy Line W36, Hy Line Brown (Avícola colombiana- Avicol);
455 Lohmann White LSL, Lohmann Brown, H&N Nick Brown (Pronavicola) e Isa Brown
456 (Colaves) (ICA, 2009). El avance genético de estas aves se ha orientado a obtener
457 animales que alcancen una madurez sexual e inicio de postura a menor edad,
458 disminución en el consumo de alimento, y aumento en el peso y número de huevos,
459 además de una mayor persistencia en nivel máximo de producción, huevos con
460 mejor calidad de la cáscara y sin presencia de manchas de sangre, resistencia a

461 enfermedades y adaptación a climas adversos (Universidad Politécnica de Madrid
 462 (UPM), 2008).

463

464 Los principales parámetros indicadores de la respuesta productiva del ave en
 465 condiciones ideales de ambiente y nutrición, son: Duración del período de
 466 producción, porcentaje de viabilidad, edad al 50% de producción, porcentaje al pico
 467 de producción, peso del huevo, huevos por ave alojada, masa del huevo por ave
 468 alojada, consumo de alimento promedio diario por ave, conversión alimenticia
 469 expresada como kilogramos de alimento por kilogramo de huevo o kilogramos de
 470 alimento por docena de huevo, y finalmente, el peso corporal (Tabla 1).

471

472 **Tabla1.** Parámetros productivos propuestos por las casas genéticas en las
 473 guías de manejo de aves para la producción de huevo comercial.

Parámetro	ISA HB	LB	LSLC	ISAB	HB	HW 36	ISA DB	ISA BB
Período de producción (semanas)	18 90	19 80	19 80	18 90	18 80	18 80	18 90	18 90
Viabilidad %	94 96	94 96	94 96	94	94	94	94	94
Edad al 50% de producción (Días)	143 150	140 150	140 150	144	145	143	143	144
Pico de producción %	96	92 94	92 95	96	94 96	95 96	96	96
Peso promedio del huevo (g).	62.7	64 65	62.5 63.5	62.9	64.1	64	62.7	63.8
Huevos Ave Alojada	408	335 345	340 350	409	354 361	369 378	404	404

Masa Huevo por Ave Alojada (Kg)	25.6	21.4 22.4	21.2 22.2	25.7	22	22	25.3	25.8
Consumo de Alimento Promedio Diario por ave (g)	112	110 120	105 115	111	107	95	112	114
Kg Alimento / Kg Huevos	2.18	2.1 2.2	2.0 2.2	2.15	1.99	1.86	2.2	2.2
Peso Corporal kg		1.6 1.7	1.2 1.3		1.91	1.25		
Peso Corporal kg (80 semanas)	2.015	1.9 2.1	1.7 1.9	2.02	1.97	1.56	2.02	2.02

474 Adaptado de las diferentes guías de manejo (Hendrix Genetics, 2006; Hy-line
 475 International, 2005; Hy-line International, 2003; Lohmann, 2005; Lohmann, 2006;
 476 Lohmann, 2007) En la tabla aparecen ISA Hisex Brown (ISA HB), Lohmann Brown
 477 (LB), Lohmann LSL-Clasic (LSC), ISA Brown (ISAB), Hy-line Brown (HB), Hy-line
 478 W-36 (HW36), ISA Dekalb Brown (ISADB) e ISA Babcock Brown (ISA BB), entre
 479 otras líneas genéticas de aves.

480
 481 Dentro de los indicadores productivos más importantes para la avicultura esta la
 482 precocidad del ave o madurez sexual, comprendida como la edad en que el 5% de
 483 las aves del lote llega a producción. En un lote normal el ciclo productivo comienza
 484 alrededor de las 18 a 19 semanas de edad (Castelló et al., 1989), pero este inicio
 485 temprano de la producción depende principalmente de la selección genética, el tipo
 486 de alimentación que ha recibido y el plan de iluminación con que se ha criado, los
 487 cuales tienen un efecto directo en el desarrollo corporal y fisiológico del ave. El
 488 continuo control del peso del ave dio origen al parámetro de uniformidad del lote, el
 489 cual se elabora a partir de la cuantificación de la variabilidad del peso de la población
 490 con respecto al peso medio y al parámetro recomendado por la casa genética para
 491 la edad de evaluación. La uniformidad se calcula con el fin de tomar decisiones
 492 sobre la cantidad y calidad alimento a suministrar, la densidad de animales por

493 metro cuadrado y la disponibilidad de comederos y bebederos para el lote (Abad,
494 2003).

495

496 El desarrollo esquelético muscular del ave se describe en la curva de crecimiento,
497 que en general se caracterizan por iniciar con una fase de aceleración del
498 crecimiento desde el nacimiento, luego continua la fase de máximo crecimiento que
499 hace referencia al punto de inflexión de la curva, esto se da desde la primera hasta
500 la décima semana de edad. Luego la tasa de crecimiento se desacelera y llega al
501 valor superior (asíntota) el cual coincide con el peso de madurez del ave alrededor
502 de las semana 18 a 20. A partir de esta edad, el lento aumento de peso hasta la
503 semana 35 consiste en la acumulación de reservas grasas necesarias para la
504 formación del huevo (Roush y Branton, 2005).

505 La curva de producción de huevos se puede dividir en tres fases observables, la
506 primera consiste en el incremento acelerado de la producción, al pasar de cero a
507 más del 90% de producción en un lapso de ocho a 12 semanas y llegar al máximo
508 de producción. La segunda fase se denomina período de persistencia y consiste en
509 la etapa en días en que las aves mantienen un nivel productivo por encima del 90%
510 el máximo tiempo posible. Esto normalmente ocurrirá a lo largo de 25 a 30 semanas,
511 pero en algunos lotes excepcionales puede llegar hasta 35 semanas (Castelló,
512 1989; Grossman et al., 2000). Por último se encuentra la disminución de producción
513 hasta la salida o descarte del lote del sistema productivo con edades entre las 80
514 hasta 100 semanas de vida dependiendo de la línea genética de aves utilizada
515 (North y Bell, 1990). La respuesta productiva de cada lote expresada como la edad
516 al inicio de la producción, edad al pico de producción, porcentaje máximo de
517 producción, número de semanas por encima del 90% de producción y edad de
518 descarte, son diferentes entre lotes y líneas genéticas; además está influenciada
519 por factores como la alimentación, plan sanitario, condiciones ambientales y
520 prácticas de manejo entre otros (Flores, 1994).

521

522 Otro parámetro de gran importancia es el porcentaje de producción de huevos, se
523 calcula como la relación entre el número de huevos producidos y el número de aves
524 promedio existentes en un período de tiempo definido (día, semana, año, etapa
525 productiva). A su vez, el máximo nivel de producción, se define como pico de
526 producción y es el punto máximo de la curva de postura. Desde que las aves
527 ponedoras inician y todas alcanzan el máximo en producción pasan entre 6 y 8
528 semanas dependiendo de la uniformidad del lote y precocidad sexual (Abad, 2003).

529

530 Los huevos ave alojada, es otra forma de expresar la aptitud para la producción y
531 se refiere a la relación existente entre el número de huevos y número de gallinas
532 que inician la producción, este parámetro está asociado al potencial genético que
533 tiene el ave de producir un número de huevos durante toda su vida productiva, y se
534 ve afectado entre otros por la baja viabilidad de las aves, debido a que el aumento
535 en la mortalidad de las aves hace que se disminuya el número de huevos por ave
536 que inicia el ciclo (Castelló, 1989).

537

538 Tan importante como el nivel de producción está el peso del huevo, el cual es un
539 indicador del metabolismo nutricional del ave, y se relaciona con la edad, el tamaño,
540 línea genética del ave y el balance nutricional del alimento. Este factor tiene gran
541 relevancia en el cálculo de la conversión alimenticia y la eficiencia nutricional (Holt
542 et al., 2011).

543

544 El análisis de estos parámetros le ofrece al productor términos de referencia para
545 determinar el rendimiento productivo del lote y así calcular la eficiencia en la
546 producción de huevos. La eficiencia es la capacidad de lograr un fin por medio de
547 la relación deseable entre los factores y resultados productivos, esto es, maximizar
548 la producción con el mínimo de recursos o minimizar los recursos dado un nivel de
549 producción a alcanzar. Los índices de eficiencia son herramientas útiles en el
550 análisis de sistemas, indicando alteraciones en los costos del proceso productivo e
551 identificando posibles soluciones. La eficiencia es definida como la relación entre

552 los ingresos y egresos (entradas y salidas; recursos y productos) en el proceso
553 productivo, facilitando buscar el equilibrio entre productividad, rentabilidad y nivel
554 tecnológico utilizado en los sistemas de producción. Para su cálculo es importante
555 identificar y describir, con base en las actividades y costos, los componentes del
556 sistema utilizados en la evaluación de la eficiencia. (Wadsworth, 1997).

557

558 **Factores que afectan la respuesta productiva del ave**

559 Tanto el crecimiento como la respuesta productiva del ave dependen de factores
560 inherentes y externos al animal, tales como: línea genética, tipo de explotación,
561 sanidad, densidad, temperatura, humedad relativa, iluminación y nutrición entre
562 otros (Flores, 1994).

563 En la etapa de crecimiento, la cantidad de alimento consumido y balance de
564 nutrientes son importantes en el desarrollo multifásico del ave, en especial para
565 alcanzar el peso objetivo y madurez sexual, aspectos que se verán reflejados en el
566 número total de huevos producidos, peso del huevo y calidad de la cáscara (Carrizo
567 y Lozano, 2007; Aerts et al., 2003).

568

569 El efecto de las variables ambientales, en especial la temperatura y la humedad
570 relativa afectan a las aves, debido a que las gallinas a diferencia de otros animales
571 domésticos, no poseen glándulas sudoríparas, por lo que el control de la
572 temperatura corporal lo hace por radiación, conducción, convección, y evaporación
573 de agua a través del tracto respiratorio. Por lo anterior, el ave depende de las
574 condiciones de temperatura y humedad del medio para regular su temperatura
575 interna y cuando estos factores se alteran obliga al ave a implementar cambios
576 fisiológicos para regular su temperatura corporal, pero estos procesos son
577 inefficientes e implican un aumento en el gasto energético y detrimento de
578 condiciones de salud en el ave (Plazas y Ávila, 2011).

579

580 La zona termo neutral o de confort para gallinas adulta oscila entre 12 y 24 °C con
581 condiciones de humedad entre 60% y 70%. En tal sentido, temperaturas superiores
582 a los 28°C, con saturaciones de las humedades relativas mayores al 75% y baja
583 velocidad en la ventilación, ocasionan en el ave estrés calórico y en consecuencia
584 alteraciones en la respuesta productiva y la salud de los animales. Estudios han
585 demostrado que aves expuestas a condiciones extremas de temperatura y humedad
586 presentan bajo peso del huevo y además, disminución en el número de huevos
587 producidos, el peso del ovario y el número de folículos maduros (Rozenboim et al.,
588 2007); también se ven afectada la respuesta inmune del ave al inhibirse la
589 producción de anticuerpos y el número de células blancas, y genera alteraciones en
590 los proceso digestivos de nutrientes en especial la proteína (Mashaly et al., 2004).

591

592 En estas condiciones, la relación del consumo de alimento y agua de la gallina
593 también se ve perturbada, ya que en estado de confort esta relación es de 1:2, pero
594 al aumentarse la temperatura puede llegar a ser de 1:5 (Thiele y Pottgüter, 2008).
595 Este incremento en el consumo de agua hace que las heces sean más fluidas, lo
596 que aumenta la saturación de humedad en el ambiente y genera una mayor
597 volatilización del nitrógeno y gases que afectan al tracto respiratorio. Como
598 consecuencia a la exposición del ave a altas concentraciones de gases se
599 disminuye el flujo de mucus traqueal y la función ciliar de la tráquea, lo cual aumenta
600 la susceptibilidad a enfermedades respiratorias y a infecciones secundarias como
601 Newcastle, aerosaculitis y patógenos oportunistas como la *E. coli*, entre otros.

602

603 La alta humedad ambiental y las altas temperaturas disminuyen la eficiencia de
604 termorregulación a través del jadeo o polipnea térmica, lo anterior obliga al ave a
605 aumentar la frecuencia respiratoria, y con ello desencadena la alteración bioquímica
606 en el equilibrio ácido base; esto debido a la pérdida de excesiva de dióxido de
607 carbono (CO₂) (Santomá y Pontes, 2004 y 2006; Borges et al., 2007), este
608 desbalance bioquímico tiene efecto en la formación de la cascara, debido a que al
609 disminuirse los niveles de CO₂ necesarios en el proceso de formación del carbonato

610 de calcio en la cascara, se generan pérdidas por la ruptura de la cascara por su
611 fragilidad o inexistencia (huevo en fárfara) (Borges et al., 2007).

612

613 Otro factor importante es la iluminación, el cual tiene efecto sobre: consumo de
614 alimento, crecimiento del ave, maduración sexual, respuesta productiva del ave y la
615 calidad interna y externa del huevo (Renema y Robinson, 2001; Renema et al.,
616 2001; Lien et al., 2008; Summer y Lesson, 1993). Lo anterior se debe a que la gallina
617 es un animal fotosensible, es decir sus procesos biológicos como el grado de
618 actividad, la reproducción y el crecimiento son regulados y afectados por un ritmo
619 circadiano que depende de la intensidad lumínica y la duración en horas de la
620 exposición a la luz (Cavalchini et al., 1990; y Rozenboim et al, 1999); por tal motivo,
621 el productor recibe las aves con un programa recomendado de iluminación, el cual
622 si se cumple, garantiza llegar a ganancias de peso adecuadas durante la crianza y
623 permite el inicio oportuno de la producción de huevo (Lewis et al., 1999).

624 Actividades de manejo como la definición del número de animales por metro
625 cuadrado (densidad), uso de perchas y recorte del pico, ofrecen numerosos
626 resultados desde el punto de vista de bienestar animal, comportamiento social y
627 respuesta productiva de las aves (Lemus et al., 2009). De los tres aspectos antes
628 mencionado uno de los más controversiales es el despique, ya que en aves
629 destinadas a la producción de huevo se considera una práctica necesaria y rutinaria
630 con el objetivo de prevenir las perdidas productivas por aves lesionadas o muertas
631 a causa de picoteo o el canibalismo, y además, permite disminuir el estrés y
632 perdidas energéticas por las peleas generadas por la definición de jerarquías y
633 repuestas de dominancia entre las aves (Pizzolante, 2007).

634

635 La práctica del despique puede provocar a corto plazo la disminución en el las
636 actividades de consumo de alimento, consumo de agua y acicalamiento (Duncan,
637 et al., 1989). En el caso de presentarse problemas en la técnica de despique pueden
638 darse sangrados, dolores crónicos y a largo plazo alteraciones en el consumo de
639 alimento que se ven reflejados en pérdida de peso y des- uniformidad del lote.

640 Guesdon (2006) comparó dos lotes de aves y encontró una mortalidad 5% menor
641 en el lote despicado (técnica cuchilla caliente) con respecto al que conservó el pico,
642 respaldando las ventajas del despiegue en las aves.

643

644 En aves semipesadas (despicadas a 1 día de edad y no despicadas) Hadorn et al.
645 (2000), encontraron que durante la cría hasta los 105 días de edad, el grupo de ave
646 despicadas estuvo 2.5% y 1.1% por debajo del peso y el consumo de alimento
647 respectivamente, en contraste con las aves sin despicar. Con respecto a la
648 mortalidad la diferencia fue de 0.4% a favor del lote sin despicar. En términos de
649 producción, desde la semana 21 a 63, las aves despicadas superaron en 2.9%,
650 permitiendo que el lote fuera más eficiente (7.4 vs 5.2%) pues los consumo de
651 ambos fueron similares en esta fase. Pero el aspecto más relevante es que el lote
652 despicado presentó una mortalidad 5.6% menor, donde el lote sin despicar llegó al
653 12.3% de muertes en el sistema de producción en aviario.

654

655 Comúnmente el despiegue se ha realizado con la técnica de la cuchilla caliente, la
656 cual requiere de gran pericia del operario para el mantenimiento de la temperatura
657 del equipo, posicionamiento del ave para el corte y forma del corte del pico.
658 Actualmente existen evidencias del uso de una técnica menos “invasiva” o “cruel”
659 como lo es el uso de infrarrojos. Dennis et al. (2010), compararon ambas técnicas y
660 encontraron que el tiempo de recuperación de la pollita despicada con infrarrojo era
661 menor, por lo que el ave retornaba más pronto a las actividades de consumo de
662 alimento y agua. Lo anterior ocasionó que el grupo de aves despicadas con cuchilla
663 presentara menores pesos corporales, lo cual podría afectar su respuesta
664 productiva.

665

666 Otro aspecto adicional a la técnica de despiegue, es la edad de aplicación. Referente
667 a esto Bell y Kuney (1991) realizaron la evaluación de lotes e aves White Leghorn
668 despicados a las 6 y 12 semanas de vida. Concluyendo que el despiegue a edades
669 tempranas ofrecía mayor peso a las 18 semanas, etapa de desarrollo corporal

670 previo al inicio de producción (madurez sexual), generando un inicio de postura más
671 rápido, y en consecuencia, incrementando el número de huevos por ave alojada.
672 Además, presentó mayor masa de huevo producido, un mayor consumo de alimento
673 y un mayor ingreso económico por el total de huevos.

674

675 El éxito de un despique depende de factores clave como:

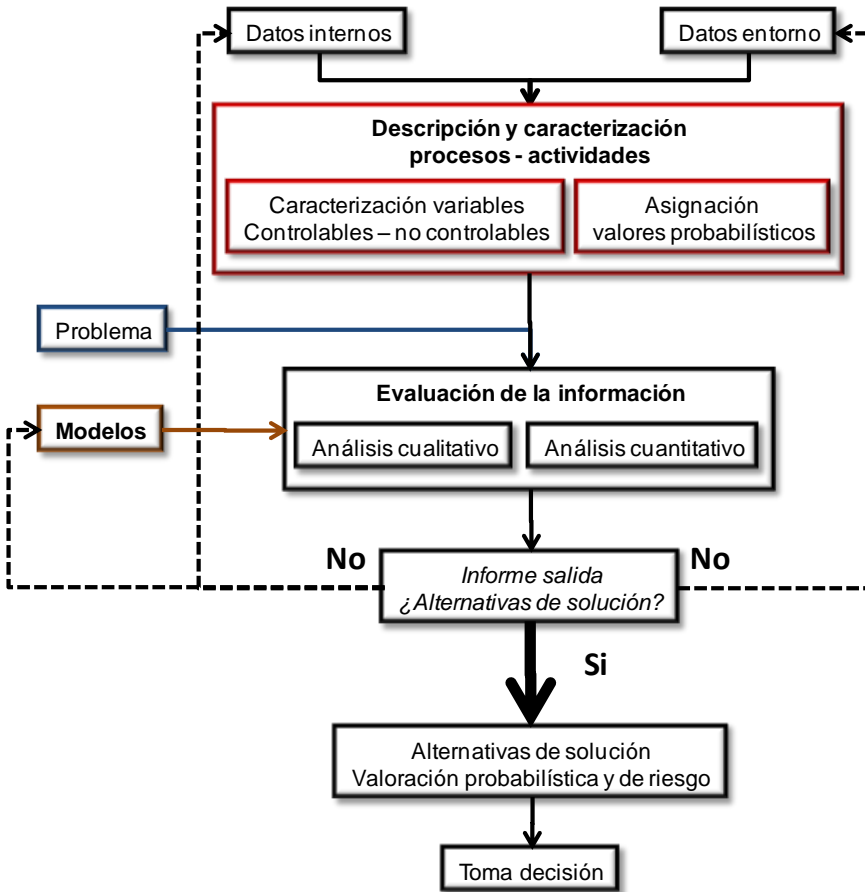
- 676 a) Una correcta programación de actividades en el lote, de modo que el
677 despique no sea algo improvisado, permitiendo contar con el número de
678 operarios (capacitados en la captura y despique de las aves) y equipos
679 necesarios (cortadores y cuchillas desinfectados y en correcto
680 funcionamiento) para hacer de esta práctica lo menos estresante y de corta
681 duración para las aves.
- 682 b) Evaluación del estado de salud y peso del lote antes del despique, de modo
683 de no someter a esta actividad aquellas aves que no cumplan con estos
684 criterios.
- 685 c) Preparación de los animales para el corte de pico, con el uso de suplementos
686 vitamínicos y estimulantes de las defensas (inmuno-moduladores) antes de
687 la práctica, lo que permite disminuir los sangrados posteriores al corte y
688 respaldar el sistema inmune para responder ante cualquier reto de campo.
- 689 d) Implementación del despique en horas frescas (madrugada y noche),
690 facilitando la captura y manipulación de las aves.
- 691 e) Implementar un plan de control posterior al corte de picos, que incluya
692 revisión del estado de las aves, estimulación de agua y consumo y evaluación
693 de animales con hemorragias. Permitiendo incrementar la tasa de
694 recuperación y la identificación y separación de animales con problemas
695 consecuentes al despique.

696

697 **Herramientas para el análisis de la información.**

698 Los sistemas de soporte para la toma de decisiones (SATD), se definen como
699 aplicaciones informáticas administrativas construidas con modelos analíticos
700 sofisticados, cuyo objetivo es optimizar el sistema a partir del procesamiento de la
701 información introducida por el usuario y suministrar información más estructurada,
702 resultado del análisis y optimización de los parámetros de operación del sistema y
703 que sirve de apoyo a la toma de decisiones. Es de resaltar que un SATD no
704 soluciona problemas, sólo es una herramienta de apoyo que puede ofrecer
705 alternativas para la construcción, revisión y control de las estrategias
706 organizacionales; por ende la responsabilidad directa de la toma de decisiones
707 recae sobre el usuario. Los SATD aplican los principios de la teoría de la decisión,
708 teoría de la probabilidad, y análisis de las decisiones a sus iteraciones para valorar
709 el nivel de certeza, confiabilidad y riesgo de las alternativas seleccionadas y termina
710 por ofrecer al usuario final un conjunto de alternativas que son utilizadas como
711 apoyo a los procesos gerenciales (Figura 1) (Newman et al., 2000; Keen y Morton,
712 1978).

713



714

715 **Figura 1.** Esquema que muestra cual es el sentido del flujo de la información
716 en un Sistema de apoyo a la toma de decisiones SATD.

717

718 Estos sistemas de apoyo se caracterizan por ser herramientas de interactividad con
719 el usuario, debido a la facilidad que deben tener para su aprendizaje, uso,
720 alimentación de datos y consulta de la información almacenada con altos
721 estándares de diseño gráfico y visual. Además, los SATD deben ser flexibles, al
722 permitir la participación de distintas personas con variedad de estilos administrativos
723 y generar para cada usuario ambientes simulados dependiendo de las variables de
724 interés alteradas y así visualizar los cambios presentes o futuros con respuesta a
725 tiempo real. Lo anterior con el fin de mejorar la toma de decisiones a partir de
726 colección de la mayor cantidad de información del proceso, elaboración continua de

727 diagnósticos de la situación de la empresa y de la explicación de sus problemas
728 actuales (Abelson y Levi, 1985).

729

730 La aplicación de SATD en los sistemas de producción presenta ventajas como la
731 maximización de la productividad, a partir de la optimización de los procesos, el
732 incremento de la eficiencia en el uso del tiempo y de recursos y en consecuencia la
733 reducción costos. Otro aspecto a resaltar es la posibilidad de integrar la información
734 de los múltiples subsistemas o procesos que hacen parte del sistema de producción,
735 permitiendo tener una mirada holística de todo el sistema en sí. La incorporación de
736 los SATD como herramienta de apoyo gerencial de la empresa facilita el continuo
737 diagnóstico de los procesos, lo que permite monitorear y mejorar la calidad,
738 productividad y competitividad de los procesos (Newman et al., 2000).

739

740 La principal desventaja de los SATD es la dependencia de la calidad y cantidad de
741 información que entra al software para garantizar que las alternativas de solución
742 que ofrece el sistema correspondan al estado actual de la empresa, ya que
743 información que no permita hacer la estimación de probabilidades debido a su baja
744 confiabilidad ocasiona que se tomen como criterios de decisión presunciones falsas,
745 siendo estas la principal fuente de errores en los sistemas de toma de apoyo
746 administrativo al generar decisiones con baja certeza, alta incertidumbre y errores
747 de pronóstico (Arsham, 2009). Por tal motivo, los SATD deben estar acompañados
748 de evaluaciones continuas de la integridad, calidad y veracidad de la información,
749 esto se puede lograr con la incorporación de bases de datos externas que permitan
750 establecer parámetros de comparación del sistema evaluado y así determinar la
751 variabilidad o posibles problemas en la matriz informativa propia de la empresa.

752

753 Las claves para el éxito en la aplicación de una SATD radican en la capacitación de
754 las personas que van a estar a cargo de la aplicación, en establecer actividades de
755 valoración de la información y en el apersonamiento en el uso. Por último, la
756 experiencia y conocimiento del sistema de producción por parte de los usuarios es

757 importante, pues se convierten en criterios de aprobación o descarte de las distintas
758 alternativas de solución propuestas por el SATD.

759

760 En general los SATD están integrados por subsistemas (Ruiz et al., 2009; Druzdzel
761 y Flynn, 2002):

762 1) Subsistema de gestión de datos (SGI): Permite generar procesos de
763 administración de los datos a partir de la construcción de sistemas de
764 almacenamiento y organización. Para ello se incluye el uso de bases de datos
765 que contienen información relevante para los procesos productivos. Los SGI se
766 caracterizan por tener una interfaz gráfica atractiva, fácil de entender y
767 diligenciar, y con la posibilidad de recoger la mayor cantidad de datos posible
768 del sistema; también debe permitir la fácil recuperación de la información
769 (conjunto organizado de datos procesados) almacenada para la aplicación de
770 los modelos matemáticos-estadísticos, o la simple acción de poder consultar el
771 estado actual de los procesos por medio de informes gráficos o numéricos.

772

773 2) Modelo de gestión de base del sistema: contiene modelos cuantitativos,
774 estadísticos, financieros y científicos que proveen capacidades analíticas al
775 sistema. El propósito de este subsistema es transformar los datos del SGI en
776 información que es útil en la toma de decisiones.

777

778 3) Sistema de generación de informes y selección de alternativas. También
779 determinado como el sistema administrador del conocimiento. Este componente
780 consiste en la entrega al usuario de las posibles alternativas para la solución del
781 problema, que en sistemas especializados son ordenadas con base en criterios
782 de análisis de sensibilidad, probabilidad y riesgo.

783

784 Dentro de la metodología de los sistemas de apoyo a la toma de decisiones se
785 encuentran los modelos de simulación, los cuales tienen como objetivo la
786 simplificación de los fenómenos, al permitir entender el funcionamiento del sistema

787 y evaluar el efecto que tiene la modificación de los componentes en la respuesta
788 animal (Keen, 1978; Palmer et al., 2001; Candelaria et al., 2011).

789

790 Para la elaboración de un modelo matemático es necesario ejecutar las siguientes
791 fases (Linares et al., 2001, Dym, 2004):

792

- 793 • Identificación del problema: consiste en el conocimiento detallado de los
794 componentes del proceso, lo cual permite definir relaciones entre los
795 componentes de modo que se puedan identificar problemas o cuellos de botella
796 y posibles soluciones.
- 797 • Estructura matemática y formulación: escritura matemática del problema de
798 optimización, definiendo sus variables, sus ecuaciones, su función objetivo y
799 sus parámetros.
- 800 • Prueba de solución: con base en la información existente del suceso a estudiar,
801 se corre el modelo para obtener la solución numérica óptima y satisfactoria para
802 la ecuación planteada en el algoritmo.
- 803 • Verificación, validación y ajuste: esta etapa consiste en la depuración y
804 organización de los errores en la codificación, con el fin de que el modelo
805 entregue una respuesta válida, acertada y acorde con los datos reales.
- 806 • Interpretación y análisis de los resultados: esta etapa permite conocer en detalle
807 el comportamiento del modelo al hacer un análisis de sensibilidad en los
808 parámetros de entrada, estudiar diferentes escenarios posibles de los
809 parámetros, lo cual permite detectar soluciones alternativas y comprobar la
810 eficiencia y eficacia de la solución del modelo.

811

812 **La curva de crecimiento**

813 El crecimiento se define como los cambios en la masa corporal de un ser vivo, es
814 consecuencia directa de las relaciones anabólicas y catabólicas en el organismo,
815 las cuales generan el aumento o pérdida de peso del individuo o de sus partes con

816 la edad (Karkach, 2006). Estos cambios en la ganancia de peso están
817 condicionados por tendencias y fluctuaciones ambientales, factores genéticos,
818 sanidad y de manejo entre otros (Zeide, 1993). La representación gráfica de estos
819 cambios en el tiempo da origen a las curvas de crecimiento; las cuales, con la ayuda
820 de funciones matemáticas, permiten medir y evaluar el incremento en la masa
821 corporal en los animales de forma no invasiva. La información obtenida de estas
822 funciones puede ser usada para identificar, controlar y/o modificar las condiciones
823 que influyen en los cambios composicionales del animal y/o ganancia de peso
824 (Oliveira et al., 2000; Malhado et al., 2007; Aggrey 2009).

825

826 En la mayoría de seres vivos, la curva de crecimiento tiene forma de S (curva
827 sigmoidea), diferenciándose cuatro fases, al inicio se da un desarrollo exponencial
828 donde la tasa de crecimiento es proporcional al peso y es definida como la fase
829 exponencial; posteriormente se da un aumento lineal donde la relación del tiempo y
830 del aumento del peso se corresponden en una relación de uno a uno, esta fase se
831 define como de crecimiento lineal. Luego se desacelera la tasa de crecimiento,
832 punto en el cual el animal se acerca a su peso máximo; Por último se inicia la
833 disminución en el crecimiento o proceso de pérdida de peso. Estas dos últimas fases
834 en conjunto se conocen como la etapa de senescencia de la curva de crecimiento
835 (Karkach, 2006).

836

837 En algunas especies la fase lineal no se evidencia, por lo que las fases exponencial
838 y de senescencia son casi continuas. De otra parte, es común encontrar curvas de
839 crecimiento con la fase lineal más amplia debido a un extenso intervalo de tiempo
840 para alcanzar el peso máximo, lo que muestra una tasa de aceleración menor. Estos
841 individuos con tasas de aceleración bajas obtienen un peso maduro a una edad más
842 avanzada (menor precocidad) (Karkach, 2006).

843

844 En las gallinas, generalmente la curva de crecimiento tienen una fase inicial de
845 aceleración del crecimiento a partir de la eclosión, luego una fase lineal donde se

846 haya el punto de inflexión en que coincide con la tasa máxima de crecimiento, una
847 fase donde la tasa de crecimiento se desacelera, y finalmente la curva llega al valor
848 asintótico o peso maduro del ave (Roush y Branton, 2005).

849

850 • *Funciones utilizadas para evaluar el crecimiento en animales*

851 Una alternativa para el análisis y construcción de las curvas de crecimiento y/o de
852 producción, es el uso de modelos matemáticos, los cuales son representaciones
853 abstractas y simples de los cambios en los procesos de ganancia o pérdida del peso
854 o de la respuesta productiva en un organismo vivo (Budimulyati et al., 2012; Parés-
855 Casanova y Kucherova, 2014). Los modelos matemáticos se componen de
856 ecuaciones y/o relaciones matemáticas que tratas de describir fenómenos
857 biológicos como crecimiento, producción de huevos, incubación, digestión y
858 absorción de nutrientes, utilizando variables cualitativas y/o cuantitativas para
859 representar los factores que influencian el fenómeno (Rondón et al., 2002).

860

861 El uso de estos modelos para el entendimiento de los componentes biológicos sin
862 ofrecer la ventaja de evaluar la respuesta de los animales ante cambios de las
863 variables en estudio, sin incurrir en el sometimiento de los animales a factores que
864 ocasiones afecciones físicas o económicas en el proceso investigativo, a este
865 proceso se le denomina modelación. Esta metodología busca transformar
866 conceptos y conocimientos en relaciones numéricas (ecuaciones matemáticas) y
867 evaluarlas al ponerlas en práctica a través de procesos lógicos, simulando
868 situaciones reales o ficticias y analizando sus efectos en los animales, todo lo
869 anterior en un ambiente virtual como el computador (Rondón et al., 2002).

870

871 La modelación del desempeño de las características cualquier ser vivo es un
872 proceso complejo debido que en algunos modelos los parámetros de difícil ajuste e
873 interpretación biológica. Además, en la mayoría de los casos los fenómenos a
874 modelar están influenciados por factores externos y por la variación de las

875 observaciones en el tiempo. También es necesario recordar la obligatoriedad del
876 cumplimiento de supuestos estadísticos (normalidad, homogeneidad de varianzas,
877 independencia de errores, entre otros) que le permitan al modelo tener valides
878 estadística en sus predicciones. (Aggrey, 2002 y 2009). Por tales motivos, el
879 desarrollo de modelos para el ajuste de cualquier serie de datos en el tiempo
880 (crecimiento, producción), requiere una etapa de diseño y ajuste y una de validación
881 (Rondón, 2002).

882

883 Los modelos matemáticos se han utilizado en la avicultura para el estudio de
884 fenómenos a partir de su simplificación y caracterización, un ejemplo de ello es la
885 construcción de modelos y curvas que relacionan la edad del ave con el peso,
886 permitiendo estimar la edad a la cual un animal deja de crecer y cuando llega a su
887 madurez. (Aggrey, 2002 y 2009; Agudelo et al., 2009)

888

889 Para evaluar el crecimiento en las aves se han utilizado distintos tipos de modelos,
890 partiendo de regresión lineal simple o múltiple. Sin embargo, estas expresiones
891 polinómicas se quedan cortas para ajustar los cambios de variables en el tiempo
892 que tienen una distribución no linear (forma de S) y cuyos resultados no muestran
893 una asíntota y los parámetros presentados en el modelo no tienen una interpretación
894 biológica (Aggrey, 2002). Por lo anterior los modelos comúnmente utilizados para la
895 descripción de las curvas de crecimiento son: el logístico (Agudelo 2008; Grossman
896 y Bohren, 1985; Grossman et al., 1985), Gompertz (Anthony et al., 1991; Mignon-
897 Grasteau et al., 2001), Gompertz modificado por Laird (Laird et al., 1965), Von
898 Bertalanffy y Richards (Roush et al., 2005; Knizetova et al., 1991), Weibull
899 (Schinckel et al., 2005), entre otros. Algunas de estas funciones son:

900

901 El modelo no lineal Brody (Brody, 1945),

$$902 y_t = \beta_0 * (1 - \beta_1 \exp(-\beta_2 * t_{ij})) + \varepsilon_t$$

903

904 El modelo no lineal Logístico (Verhulst, 1938),

905 $y_t = \beta_0 * (1 - \exp^{-\beta_1 * t_{ij}})^{-1} + \varepsilon_t$

906

907 El modelo no lineal Gompertz (Aggrey, 2002),

908 $y_t = \beta_0 * \exp^{-\beta_1 * \exp^{(-\beta_2 * t_{ij})}} + \varepsilon_t$

909

910 El modelo no lineal Gompertz-Laird (Gompertz, 1925),

911 $y_t = \beta_0 * \exp^{-\beta_1 * \exp^{(-\beta_2 * t_{ij})}} + \varepsilon_t$

912

913 Modelo no lineal Von Bertalanffy (Bertalanffy, 1938),

914 $y_t = W_0 * \exp^{\left[\left(\frac{L}{\beta_2}\right)(1 - \exp^{(-\beta_2 * t_{ij})})\right]} + \varepsilon_t$

915

916 Modelo no lineal Richards (Richards, 1959),

917 $y_t = \beta_0 * (1 - \beta_1 * \exp^{(-\beta_2 * t_{ij})})^{-(1/m)} + \varepsilon_t$

918

919 Estas ecuaciones de crecimiento pretenden estimar a Y_t , el cual expresa peso
920 corporal del individuo en el tiempo t (edad del individuo); Además, presenta tres
921 parámetros con interpretación biológica y una constante matemática.

922 El parámetro β_0 hace referencia al peso asintótico cuando t tiende a infinito (máxima
923 respuesta), representando la estimativa de peso a la madurez, independiente de
924 fluctuaciones de peso debidas a efectos genéticos y ambientales (Agudelo et al.,
925 2009) El parámetro β_2 definido como la tasa de crecimiento exponencial
926 (aceleración o desaceleración de la curva de crecimiento) hace relación a la
927 precocidad de madurez o tasa de madurez posnatal, determina la eficiencia del
928 crecimiento de un animal. Aggrey (2002) propone que en cuanto mayor sea el valor
929 de este parámetro más precoz es el animal, en tanto que valores más bajos indican
930 madurez tardía, por tanto representa un indicador de la velocidad con que el animal
931 se aproxima al peso adulto. El parámetro m hace referencia a la proporción del peso
932 asintótico en que el punto de inflexión se produce, también se habla que es el
933 parámetro que da forma a la curva. El parámetro β_1 como valor de ajuste cuando

934 $Y \neq 0$ o $t \neq 0$, no posee significado biológico (Agudelo et al., 2009). Para el modelo de
935 Gompertz-laird el parámetro W_0 hace referencia al peso inicial (al nacimiento) y L la
936 tasa de crecimiento instantáneo (por día). Además encontramos constante de
937 Napier (2.71828182846) \exp y finalmente ε_t hace referencia al efecto residual.

938

939 Otras alternativas de modelación del crecimiento es la utilización de modelos mixtos
940 (análisis de mediciones longitudinales de crecimiento), es importante por la
941 posibilidad de poder cuantificar la variabilidad existente entre los animales y en cada
942 animal, y por su capacidad para manejar datos desbalanceados debido a estructura
943 flexible de covarianzas (Aggrey, 2009; Pinheiro y Bates, 1995). Otros aspectos de
944 importancia del uso de modelos mixtos, es su gran flexibilidad y capacidad de ajuste
945 con información con diferentes intervalos de tiempo entre mediciones. Lo que
946 contrasta con la necesidad de un gran número de datos para que el modelo pueda
947 predecir la variación de los individuos de forma más acertada. Otros autores han
948 explorado otras opciones de modelación del crecimiento como redes neuronales
949 artificiales (Roush et al., 2006), y algoritmos genéticos (Roush y Branton, 2005),
950 entre otros.

951

952 La principal ventaja del uso de modelos es condensar una gran cantidad de datos
953 en un número reducido de parámetros (tres o cuatro dependiendo del modelo) que
954 tienen una interpretación biológica y que aportan información relevante para el
955 análisis, interpretación, comprensión y proyección de las curvas en el tiempo
956 (Oliveira et al., 2000).

957

958 Los modelos usados en el ajuste de las curvas de crecimiento permiten obtener
959 resultados como alteraciones en el desarrollo normal de los individuos, predecir y
960 comparar el crecimiento de animales de importancia económica, generar
961 información para mejorar la toma de decisiones en el seguimiento y el control del
962 crecimiento, estimación de los requerimientos nutricionales a diferentes edades,
963 desarrollo de estrategias de mejora genética para modificar o cambiar la trayectoria

964 de crecimiento y otros aspectos de interés zootécnico como la identificación de la
965 edad a la madurez sexual y su peso asintótico, entre otros. Estas funciones también
966 permiten evaluar la respuesta a tratamientos a lo largo del tiempo, estudiar las
967 interacciones de respuestas de las subpoblaciones o tratamientos con el tiempo
968 identificar en una población los animales más precoces y de mayor rendimiento
969 productivo y calcular la variabilidad en la respuesta productiva entre y dentro de
970 individuos evaluados para el ajuste de la curva de crecimiento. (Hancock et al.,
971 1995; Oliveira et al., 2000; Aggrey, 2002; Karkach, 2006; Rosário et al., 2007;
972 Malhado, 2008; Budimulyati et al, 2012; Parés-Casanova y Kucherova, 2014)

973

974 **Modelación de la curva de huevos**

975 A diferencia de la curva de crecimiento, la curva de producción de huevos no
976 presenta una fase de crecimiento gradual al inicio, de modo que desde el inicio de
977 la producción al pico, formando una línea recta, tarda entre 5 a 9 semanas. Este
978 periodo entre el inicio y el pico de producción y la edad en que las aves comienzan
979 a producir huevos depende de su peso corporal, la homogeneidad del lote, el perfil
980 nutricional de la dieta y la estimulación lumínica necesaria para que las aves
981 alcancen la madurez sexual (Lacin et al., 2008; Abad, 2003) (Ahmadi y Golian,
982 2008). Al llegar al pico de producción inicia el período de persistencia que es definido
983 como el número de semanas en que el nivel de producción es constante después
984 del pico (Grossman et al., 2000). Por último, inicia la fase de disminución de
985 producción que se extiende hasta la salida o descarte del lote del sistema productivo
986 (North y Bell, 1990).

987

988 Generar información que permita tomar decisiones a partir de la obtención de los
989 parámetros que ajusten la curva hace de la modelación de producción de huevos
990 una metodología que cobra importancia. Con base en el modelo ajustado se puede
991 definir y proyectar el estado productivo de un lote, permitiendo hacer planificaciones
992 a partir del estado del mercado (oferta y demanda); además, programar el plan de

993 reemplazos, necesidades de alimento, insumos y talento humano, entre otros
994 (Cason, 1990; Groen et al., 1998; Gavora et al., 1982).

995

996 La curva de producción de huevos ha sido modelada a partir de información (total o
997 parcial) de la producción de huevos en periodos diarios o semanales (Miyoshi et al.,
998 1996). Para ello se han probado diversos modelos como: funciones logísticas
999 (Adams y Bell, 1980; Cason y Britton, 1988; Cason y Ware, 1990; Savegnago et al.,
1000 2011), funciones polinomiales (Bell y Adams, 1992), funciones exponenciales
1001 (Gavora et al., 1971; McNally, 1971; Foster et al., 1987; Cason y Britton, 1988),
1002 polinomios segmentados (Lokhorst, 1996; Narushin y Takama, 2003; Fialho y Ledur,
1003 1997), modelos no lineales (Savegnago et al., 2011) y redes neuronales (Ahmadi y
1004 Golian, 2008). Además de los modelos anteriormente mencionados, se están
1005 explorando otras alternativas como la estadística Bayesiana (Orheruata et al., 2006)
1006 y redes neuronales artificiales (Roush et al., 2005 y 2006; Savegnago et al., 2011),
1007 entre otras.

1008

1009 Algunas de estas de las principales funciones usadas para la modelación de la curva
1010 de producción de huevos son:

1011

1012 Modelo de compartimientos o segmentos (McMillan et al., 1970):

1013

$$1014 N_i = a * \exp^{-b*t_i} (1 - c * \exp^{-d*t_i})^{-1} + \varepsilon_i$$

1015

1016 Modelo de doble compartimiento (McMillan et al., 1970):

1017

$$1018 N_i = a * (\exp^{-b*t_i} - \exp^{-c*t_i}) + \varepsilon_i$$

1019

1020 Modelo Adams-Bell (Adams and Bell, 1980):

1021

1022
$$N_i = 100 * \left[\frac{1}{1 + a * b^{t_i}} - c * t_i + d \right] + \varepsilon_i$$

1023

1024 Modelo Lokhorst (Lokhorst, 1996):

1025

1026
$$N_i = \frac{100}{1 + a * r^{t_i}} - (b + c * t_i + d * t_i^2) + \varepsilon_i$$

1027

1028 Donde N_i es el porcentaje de producción o número de huevos a la i -ésima semana;
 1029 los parámetros a y b le permiten al modelo ajustar el inicio de la producción; el
 1030 periodo de tiempo entre el inicio de la producción y el punto máximo de la curva está
 1031 influenciado por el parámetro r . La tasa de declinación del porcentaje de producción
 1032 semanal de la curva después del punto máximo es determinada por el valor del
 1033 parámetro c y la pendiente de decrecimiento final de la curva es establecida por el
 1034 factor d . La variable t_i hace referencia la i -ésima edad del lote en semanas y ε_i se
 1035 define como el efecto residual asociado al i -esimo tiempo.

1036

1037 **Modelos nutricionales**

1038 Las necesidades de nutrientes de los animales pueden definirse como la cantidad
 1039 de nutrientes requeridas para expresar el máximo potencial genético de un factor
 1040 de producción. Para la definición de las necesidades nutricionales en los animales
 1041 existen dos métodos de valoración: factorial y empírico (Pomar y Bailleul, 1999).
 1042 Siendo el primero el resultado de una sumatoria de componentes, un ejemplo de
 1043 esto es la valoración de la energía digestible (Energía digestible= energía bruta-
 1044 energía en heces). Estas ecuaciones se obtienen a partir de la valoración en
 1045 laboratorio de la cantidad de nutrientes en cada uno de los componentes de la
 1046 ecuación.

1047

1048 El método empírico consiste en la estimación de las necesidades nutricionales a
 1049 partir de la experimentación dosis-respuesta, donde se somete a un grupo de

1050 animales a tratamientos nutricionales distintos niveles de nutriente (aumentos
1051 progresivos del nutriente bajo estudio) y se mide la respuesta para cada nivel
1052 evaluado. La información generada en estos ensayos se analiza con modelos de
1053 regresión lineal, estimando así la cantidad de nutriente óptima (requerimiento) que
1054 permita al animal expresar su máxima respuesta productiva (Rondón et al., 2002;
1055 Salvador y Guevara, 2013; Oviedo-Rondón y Waldroup, 2002) con el óptimo
1056 económico (formulación mínimo costo). La sensibilidad de estos análisis depende
1057 de la validación estadística de los modelos a partir del cumplimiento de supuestos
1058 y del análisis de varianza del modelo (Pesti et al., 2009).

1059

1060 El problema de esta metodología es que son muchos factores los que intervienen
1061 en el metabolismo de los animales y por ende en la variación de sus necesidades
1062 nutricionales. Por tal motivo se implementan los análisis multifactoriales, los cuales
1063 incluyen en su estructura múltiples factores que afectan los requerimientos tales
1064 como: condiciones ambientales, peso corporal, consumo de alimento, numero de
1065 huevos producidos, peso de los huevos, composición del huevo, ganancia de peso
1066 y mantenimiento, entre otros (Salvador y Guevara, 2013). El problema de estas
1067 metodologías es que el investigador debe seleccionar un diseño experimental
1068 acorde a la evaluación e implementar un modelo robusto para el análisis de los
1069 datos (Mehri, 2014), de lo contrario las estimaciones realizadas no tendrán validez
1070 suficiente.

1071

1072 El problema de los métodos lineales es que la relación dosis-respuesta en un ser
1073 vivo no es lineal, es decir que al inicio a medida que se aumenta la cantidad de un
1074 nutriente se eleva la respuesta productiva (relación lineal), hasta llegar a la dosis
1075 umbral o asintótica, punto en el que la respuesta productiva se estabiliza y por más
1076 que se incremente el nivel del nutriente la respuesta es proporcionalmente menor
1077 hasta el punto de no aumentar más y en algunos casos llegar a generar alteraciones
1078 por excesos (toxicidad) al superar el máximo de nutriente que el animal necesita.

Este comportamiento se conoce como Ley de los rendimientos decrecientes o Ley de disminución de la productividad marginal (Pesti et al., 2009).

Lo anterior resalta la necesidad de incluir modelos no lineales en la valoración de las necesidades nutricionales de un animal (Robbins et al., 1979). En tal sentido Hruby et al. (1996) recalcan la necesidad de utilizar metodologías para la descripción del crecimiento y la composición corporal mediante curvas de crecimiento como requisito para la evaluación precisa de las necesidades de nutrientes de las aves.

Autores como Nahashon et al. (2010) usaron el modelo Gompertz-laird para estimar los requerimientos de proteína cruda y energía metabolizable. Strathe (2011) y Khalaji et al., (2013) utilizaron modelos no lineales multivariados para evaluar los niveles de metionina digestible y fosforo, respectivamente. Hruby et al. (1996) evaluó las relaciones entre la temperatura y las necesidades de proteína con el uso de modelo Gompertz, logístico y polinomio de cuarto grado. Mehri (2014) uso redes neuronales artificiales para definir los requerimientos de metionina, lisina y treonina.

Otra alternativa se ha propuesto a partir del análisis de resultados de previas investigaciones, permitiendo integrar el conocimiento cuantitativo de múltiples estudios y se refiere como meta-análisis (St-Pierre, 2001). Esta metodología requiere de un diseño robusto para su análisis, debido a la variabilidad presente en los distintos estudios (tipo de animales, fuentes de nutrientes, sistemas de producción, entre otros), un ejemplo de ello es la evaluación realizada por Mehri (2014).

En conclusión el uso de modelos para el cálculo de requerimiento nutricionales permite optimizar las raciones, ofreciendo a los animales los niveles de nutrientes requeridos para obtener el máximo de la respuesta productiva propia de su potencial genético: Esta optimización con el uso de modelo no lineales puede representar una

1109 disminución entre el 8-10% de los costos de producción (Hruby et al., 1996) y
1110 disminución en la generación de residuos ricos en nutrientes que pueden generar
1111 alteraciones o daños al ambiente (Gates et al., 2005).

1112

1113

1114 **Redes Neuronales Artificiales (RNA).**

1115 A nivel biológico las células nerviosas del cerebro, denominadas neuronas, se
1116 especializan en la recepción y transmisión de información; esto gracias a las
1117 interconexiones sinápticas entre las dendritas y axones de distintas neuronas. Este
1118 entramado da origen al diseño de las RNA, las cuales por medio de la inclusión de
1119 elementos que operan en paralelo, intentan imitar los procesos de aprendizaje y
1120 procesamiento automático que de forma natural se generan en los sistemas
1121 neuronales biológicos (Condori, 2008).

1122

1123 Los componentes básicos de la estructura de la RNA (figura 1), el valor de X_j hace
1124 referencia a la j -ésima variable de interés o entrada de la neurona; W_i son los valores
1125 o pesos que tienen las interacciones de las variables con la neurona, es decir la
1126 fuerza o efectividad de la sinapsis. Los valores W_{ij} modelan las propiedades de las
1127 sinapsis y permiten que la neurona genere procesos de aprendizaje. Θ_i es una
1128 constante cuyo papel es el de activar la función de propagación, en muchos casos
1129 toma valores de 1 o -1 y es definido como Bias (b) o umbral.

1130

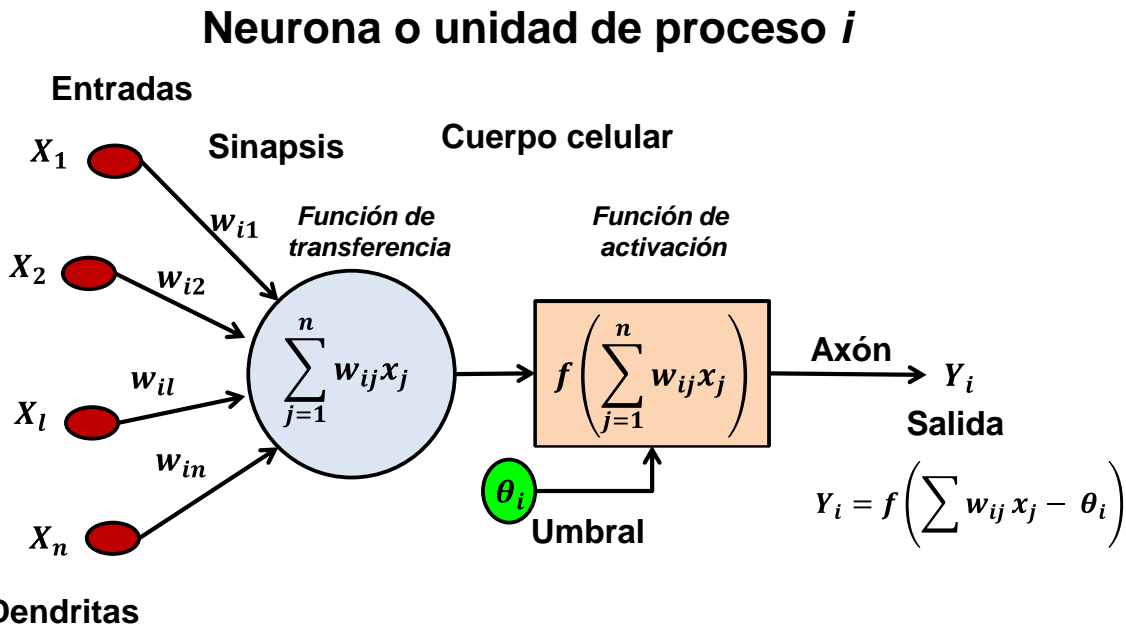


Figura 2. Estructura y funcionamiento de una red neuronal artificial (RNA).

1131 Adaptado de Hagan 1996 y Haykin 2004.

1133

1134 La función de propagación (1) o entrada neta (u) es la suma producto de las
 1135 entradas (X_i) y los pesos (W_{ij}), también denominado como el valor del potencial
 1136 postsináptico de la neurona y a su vez es el valor de entrada para la función de
 1137 activación y se calcula así:

1138

$$u = \sum_{j=1}^n w_{ij} * x_j \quad (1)$$

1139

1140 Por último, la salida de la neurona es $y_i = f(u)$, donde $f(u)$ es la función de
 1141 transferencia o de activación, la cual transforma matemáticamente el resultado de
 1142 la función de propagación y puede ser de carácter lineal o no lineal. Las funciones
 1143 de activación más comúnmente utilizadas son:

1144

Lineal – neta

$$f(u) = W_{ij} * X_j + \theta_i$$

Paso

$$f(u) = \begin{cases} & \\ & \end{cases} \quad \left\{ \begin{array}{l} 0 \text{ si } u_i \leq \theta_i \\ \end{array} \right.$$

Rampa – escalón	$f(u) = \begin{cases} 1 & \text{si } u_i > \phi_i \\ u_i & \text{si } 0 \leq u_i \leq 1 \\ 0 & \text{en otro caso} \end{cases}$
Sigmoidea	$f(u) = \frac{1}{1 + \exp \frac{-\mu_1}{\sigma}}$
Gaussiana	$f(u) = c * \exp \frac{-\mu_1}{\sigma}$

1145

1146 La función lineal o identidad equivale a no aplicar función de salida, al dejar pasar
 1147 sin modificar el resultado de la función de propagación. La función escalón es
 1148 utilizada cuando las salidas de la red son binarias, esto permite que la neurona se
 1149 active, las neuronas que utilizan esta función tienen capacidades limitadas en la
 1150 predicción. La funciones gaussiana y sigmoidea son las más utilizadas cuando se
 1151 trabaja con información análoga.

1152

1153 Las RNA son clasificadas según su topología o la estructura de sus conexiones,
 1154 además se tiene en cuenta el número de capas, el tipo de las capas las cuales
 1155 pueden ser ocultas o visibles, posición en la red de las capas ya sea de entrada o
 1156 de salida y la direccionalidad de las conexiones de las neuronas, donde se pueden
 1157 nombrar redes de tipo *Forward* o con conexiones hacia adelante, tales como:
 1158 Perceptrón, Adaline, Madaline, Backpropagation y los modelos *Learning Vector*
 1159 *Quantization LQV* y *Topology-Preserving Map* TMP de Kohonen. También están las
 1160 redes Backward que poseen conexiones hacia atrás o retroalimentadas: Teoría de
 1161 Resonancia Adaptiva (ART), Bidirectional Associative Memory (BAM) y Cognitron,
 1162 entre otras.

1163

1164 **Aprendizaje de la red**

1165 Es el proceso en el cual la red modifica los valores de sus pesos con base en la
 1166 información de entrada y las interconexiones de la arquitectura de la red. Existen
 1167 tres tipos de aprendizaje, el primero se define como *supervisado*, en este tipo de
 1168 redes se crean patrones, es decir por cada valor calculado de la red existe un valor

1169 real o deseado. De modo que la red se reestructura con base en la diferencia entre
1170 el valor predicho y el esperado.

1171

1172 El segundo tipo es el aprendizaje *no supervisado* en la que no existe un valor ideal
1173 y la red se reestructura con plena libertad. Este tipo de redes reconocen patrones en
1174 los datos y por ende son muy utilizadas en problemas de clasificación o
1175 caracterización de componentes en la matriz de datos de entrada.

1176

1177 Finalmente, está el método de aprendizaje *por refuerzo*, en este a la red se le indica
1178 si las salidas que ha generado son correctas o incorrectas, y no el valor de salida
1179 deseado. Este método es útil en aquellos problemas en que no se conoce con
1180 exactitud el valor de la salida que debe estimar la red neuronal.

1181

1182 La comparación entre los valores estimados por la red y los deseados o reales da
1183 origen al criterio de ajuste, buscando la combinación de pesos que minimicen el
1184 valor obtenido en esta comparación, un primer acercamiento a este método es la
1185 regla delta o regla del mínimo error, así:

1186 $|d_i - y_i|$

1187

1188 La regla delta es utilizada en redes tipo ADALINE y MEDALINE. Para incrementar
1189 la velocidad de convergencia a partir de la obtención de información del
1190 comportamiento del error durante todo el proceso de ajuste de la red se modifica la
1191 regla delta para la obtención de la Función de error global, la cual se expresa así:

1192
$$E_p = \frac{1}{2} \sum_{i=1}^p e_i^2$$

1193

1194
$$e_i^2 = (d_i - y_i)^2$$

1195

1196 Donde d_i es el valor deseado de la red que se contrasta con el valor y_i que es
 1197 estimado por el modelo neuronal. Para cada valor de d_i existe un valor de y_i , a cada
 1198 pareja de estos valores se les denomina patrón (P).

1199

1200 La función de error es una función matemática definida en el espacio de pesos
 1201 multidimensional para un conjunto de patrones dados. Normalmente la superficie
 1202 tiene diversos mínimos (global y locales), el objetivo de la regla de aprendizaje es
 1203 identificar el punto mínimo global sin quedarse en un mínimo local (falsa
 1204 convergencia) a partir de los cambios generados en el vector de pesos de la red y
 1205 la dirección generada por el gradiente.

1206

1207 **Método del gradiente descendiente**

1208 Es un procedimiento iterativo que busca minimizar la función del error moviéndose en la
 1209 dirección opuesta al gradiente de dicha función en la superficie del error. Aunque la
 1210 superficie de error no es conocida, este método consigue obtener información de
 1211 dicha superficie a través del gradiente. Con esta información se decide qué dirección
 1212 tomar para llegar hasta el mínimo global. Para encontrar la dirección del gradiente
 1213 se utiliza la tendencia que indica el gradiente de la función de error con respecto al
 1214 vector de pesos, así:

$$1215 \quad \nabla E = \left(\frac{\partial E}{\partial w_1}, \frac{\partial E}{\partial w_2}, \dots, \frac{\partial E}{\partial w_l} \right)$$

1216

1217 En una red con esta estructura

$$1218 \quad y_i(t) = f \left(\sum_{j=1}^n w_{ij} x_j - \theta_i \right), \forall i, 1 \leq i \leq m$$

1219

1220 La regla del descenso de gradiente será:

$$1221 \quad \Delta w_{ij} = -\eta \frac{\partial E}{\partial w_{ij}}$$

1222

1223 η es la tasa de aprendizaje, la cual determina la magnitud de desplazamiento en la
 1224 superficie del error.

1225 Si se descompone $\frac{\partial E}{\partial w_{ij}}$ al aplicar la regla de la cadena se obtiene:

$$1226 \quad \frac{\partial E}{\partial w_{ij}} = \frac{\partial E}{\partial e_i} \frac{\partial e_i}{\partial y_i} \frac{\partial y_i}{\partial net_i} \frac{\partial net_i}{\partial w_{ji}}$$

1227

1228 En esta ecuación la derivada del error con respecto a los cambios en los pesos se
 1229 expresa en función de tres derivadas.

1230 Al resolver cada una de las derivadas se obtiene:

$$1231 \quad \frac{\partial E}{\partial e_i} = e_i$$

$$1232 \quad \frac{\partial e_i}{\partial y_i} = -1$$

$$1233 \quad net_i = \sum_{j=1}^p w_{ij} y_i$$

$$1234 \quad \frac{\partial y_i}{\partial net_i} = f'(net_i)$$

$$1235 \quad \frac{\partial net_i}{\partial w_{ji}} = y_i$$

$$1236 \quad \frac{\partial E}{\partial w_{ij}} = -e_i f'(net_i) y_i$$

$$1237 \quad \delta_i = -e_i f'(net_i)$$

1238

$$1239 \quad \frac{\partial E}{\partial w_{ij}} = \delta_i y_i$$

1240

1241 Al reemplazar esta función en la ecuación de la regla delta, se obtiene la Regla delta
 1242 generalizada:

$$1243 \quad \Delta w_{ij} = \eta \delta_i y_i$$

1244

1245 La Regla Delta Generalizada o Backpropagation fue creada para generalizar la regla
1246 delta sobre redes neuronales de múltiples capas y funciones de transferencia no
1247 lineales y diferenciables. Donde el término Δw_{ij} hace referencia a los cambios en
1248 los pesos, η n es un parámetro estimado por la red definido como tasa de
1249 aprendizaje, δ_i es el gradiente local o la proporción del error que se transmite hacia
1250 atrás entre las conexiones de las neuronas, y y_i es la salida de la neurona i , que al
1251 hacer la retro propagación se convierte en la entrada de la neurona j .

1252

1253 Finalmente los cambios en los valores de los pesos quedan determinados con la
1254 ecuación:

1255 $w_{ij}(t + 1) = w_{ji}(t) + \Delta w_{ij}(t)$

1256

1257 $w_{ij}(t + 1)$ es el nuevo peso, $w_{ji}(t)$ peso anterior y $\Delta w_{ij}(t)$ es el cambio (incremento
1258 o descenso) en el valor del nuevo peso como consecuencia de la estimación
1259 realizada por la regla delta generalizada. Estas adecuaciones en los pesos en las
1260 iteraciones son las que permitan que la red aprenda y generalice ajustando su
1261 estructura para minimizar el error.

1262

1263 Una vez que ha terminado el proceso de aprendizaje y los pesos de la red neuronal
1264 han sido recalculados, es importante comprobar el grado de ajuste del modelo a los
1265 datos reales; para esto se utilizan las siguientes técnicas: R^2 , Criterio de información
1266 de Akaike (AIC), Criterio de Información Bayesiano (BIC), media absoluta de la
1267 desviación de cada modelo, porcentaje de la media absoluta del error (MAPE),
1268 cuadrado medio del error (MSE), desviación estándar residual (RSD), entre otras.
1269 (Akaike, 1974; Schwarz, 1978; Ahmadi y Mottaghitalab, 2007; Roush et al., 2006;
1270 Wang y Zuidhof, 2004; Aggrey, 2002)

1271

1272 Dentro de las múltiples ventajas que presentan las RNA es de resaltar la capacidad
1273 de aprender a realizar tareas basadas en un entrenamiento o en una experiencia
1274 inicial denominada aprendizaje adaptativo, el cual puede ser o no supervisado por

1275 el usuario, lo que permite que el modelo se ajuste a los datos reales. Este
1276 aprendizaje genera cambios de auto-organización, a través de la restructuración de
1277 los pesos (W_i) de las conexiones sinápticas, creando así su propia estructura a partir
1278 de los datos que recibe mediante una fase de auto-aprendizaje. Otro aspecto es su
1279 desempeño en la resolución de problemas no lineales, o que contiene datos que no
1280 aportan al ajuste del modelo “ruido”, y su facilidad de uso frente a datos que no
1281 cumplen con supuestos teóricos propios de las técnicas estadísticas paramétricas,
1282 por este motivo las RNA son conocidas como técnicas de distribución libre o no
1283 paramétricas (Pitarque, 2000). Por lo anterior, el uso de las RNA está asociado a
1284 problemas que no tienen una solución algorítmica o en el que el proceso para
1285 obtener una solución óptima requiere de grandes recursos de cálculo y de tiempo.

1286

1287 Las desventajas radican en la carencia de hardware que permita el trabajo de varias
1288 RNA en paralelo para lograr procesar múltiples pedazos de datos simultáneamente,
1289 aunque con el continuo avance de la tecnología está dejando de ser una desventaja
1290 a convertirse en un gran apoyo para la ejecución de redes neuronales más
1291 complejas. Otro problema es que las RNA trabajan como cajas negras y los
1292 componentes internos de los pesos y ecuaciones no tienen una interpretación
1293 biológica, y en muchos de los casos ni siquiera se pueden conocer.

1294

1295 En conclusión, las RNA presentan gran utilidad en aplicaciones como modelos de
1296 predicción, al ser tan eficientes como los modelos de lineales y no lineales para la
1297 predicción del crecimiento en pollas y producción de huevos (Ahmadi y Golian,
1298 2008); además de ser utilizadas en problemas de clasificación, asociación,
1299 conceptualización y filtración de datos, con grandes fortalezas en la resolución de
1300 problemas de predicción en series de tiempo. (Taylor, 2006; Fernández, 2006).

1301

1302 **Referencias**

- 1303 1. 1er Censo Nacional de Avicultura Industrial: Resultados 2002. Ministerio de
1304 Agricultura y Desarrollo Rural. [Fecha de acceso: May 15, 2014] URL:
1305 ftp://190.25.231.247/books/LD_00170_2002_EJ_5.PDF.
- 1306 2. Abad M. 2003. Reproducción e incubación en avicultura. Real Escuela de
1307 Avicultura. 1^a ed. España. 2003.
- 1308 3. Abelson RP, Levi A. Decision making and decision theory. The handbook of
1309 social psychology 1985; 1(3):231-309.
- 1310 4. Adams CJ, Bell DD. Predicting Poultry egg production. Poult Sci 1980;
1311 59:937–938
- 1312 5. Aerts JM, Lippens M, De Groote G, Buyse J, Decuyper E, Vranken E,
1313 Berckmans D. Recursive prediction of broiler growth response to feed intake
1314 by using a time-variant parameter estimation method. Poult Sci 2003; 82:40–
1315 49
- 1316 6. Aggrey SE. Comparison of three nonlinear and spline regression models for
1317 describing chicken growth curves. Poult Sci 2002; 81:1782–1788
- 1318 7. Aggrey SE. Logistic nonlinear mixed effects model for estimating growth
1319 parameters. Poult Sci 2009; 88:276–280.
- 1320 8. Agudelo DG, Cerón MF, Restrepo LF. Modelación de las funciones de
1321 crecimiento aplicadas a la producción animal. Rev Colomb Cienc Pecu 2008;
1322 21:39-58
- 1323 9. Ahmadi H, Golian A. Neural network model for egg production curve. Journal
1324 of animal and veterinary advances 2008; 7: 1168-1170. [20/08/2009] URL:
1325 <http://medwelljournals.com/fulltext/java/2008/1168-1170.pdf>
- 1326 10. Ahmadi H, Mottaghitalab M. Hyperbolastic models as a new powerful tool to
1327 describe broiler growth kinetics. Poult Sci 2007; 86:2461–2465
- 1328 11. Akaike H. A new look at the statistical model identification. IEEE Trans Autom
1329 Contr 1974; 19:716–723.

- 1330 12. Anthony NB, Emmerson DA, Nestor KE, Bacon WL, Siegel PB, Dunnington
1331 EA. Comparison of growth curves of weight selected populations of turkeys,
1332 quail, and chickens. *Poult Sci* 1991; 70:13–19
- 1333 13. Arsham, H. Herramientas para el Análisis de Decisión: Análisis de Decisiones
1334 Riesgosas. 2009 [Fecha ed acceso: May 15; 2014]
1335 URL:<http://dataoteca.unad.edu.co/contenidos/200608/200608%20DOCUME>
1336 NTOS%202013%20II/HERRAMIETAS_PARA_EL_ANALISIS_DE_DECISIO
1337 N.pdf
- 1338 14. Bell D, Douglas R K. Effect of beak-trimming age and high fiber grower diets
1339 on layer performance. *Poult sci*, 1991; 70(5): 1105-1112.
- 1340 15. Bell DD, Adams CJ. First and second cycle egg production characteristics in
1341 commercial table egg flocks. *Poult Sci* 1992; 71:448–459.
- 1342 16. Borges SA, Fischer Av, Maiorka A. Acid-base balance in broilers. *World's
1343 Poult Sci* 2007; 63: 73-81
- 1344 17. Budimulyati LS, Noor RR, Saefuddin A, Talib C. Comparison on accuracy of
1345 logistic, gompertz and von bertalanffy models in predicting growth of new born
1346 calf until first mating of holstein friesian heifers. *J Indones Trop Anim Agric.*
1347 2012; 37(3): p. 151-160.
- 1348 18. Candelaria MB, Ruiz RO, Gallardo LF, Pérez HP, Martínez BÁ, Vargas VL.
1349 Aplicación de modelos de simulación en el estudio y planificación de la
1350 agricultura, una revisión. *Tropical and subtropical agroecosystems* 2011;
1351 14(3):999-1010.
- 1352 19. Carrizo J, y Lozano JM. Alimentación de las pollitas e inicio de puesta. XXIII
1353 Curso de especialización FEDNA, Madrid- España. 2007 [Fecha acceso: May
1354 15; 2014]
1355 URL:http://produccionbovina.com/produccion_aves/produccion_avicola/71-07CAP_V.pdf
- 1356 20. Cason JA, Britton WM. Comparison of compartmental and Adams-Bell
1357 models of poultry egg production. *Poult Sci* 1988; 67:213–218.

- 1359 21.Cason JA, Ware GO. Analysis of flock egg production curves using
1360 generalized growth functions. *Poult Sci* 1990; 69:1064–1069.
- 1361 22.Cason JA. Comparison of linear and curvilinear decreasing terms in logistic
1362 flock egg production models. *Poult Sci* 1990; 69:1467–1470.
- 1363 23.Castelló JA, Pontes M, Franco F. Producción de huevos. Real Escuela Oficial
1364 y Superior de Avicultura, Arenys de Mar, Barcelona. 1989.
- 1365 24.Cavalchini L G, Cerolini S, Mariani R. Environmental influences on laying
1366 hens production. *Options Méditerranéennes, Ser. A*. 1990; 7:153-172.
- 1367 25.Condori NT. Aplicaciones de la inteligencia artificial en problemas de
1368 producción. *Rev Información, Tecnología y Sociedad*. 2008; 43.
- 1369 26.Dennis, L R, Heng W C. A comparison of infrared and hot blade beak trimming
1370 in laying hens. *Inter J Poul Sci*, 2010; 9.8: 716-719.
- 1371 27.Druzdel MJ, Flynn RR. Decision Support Systems. (A. Kent, Ed.)
1372 Encyclopedia of Library and Information Science. University of Pittsburgh.
1373 2002 [Fecha de acceso: May 15; 2014]
1374 URL:www.pitt.edu/~druzdzel/psfiles/dss.pdf
- 1375 28.Duncan I J H, Slee G S, Seawright E, Breward J. Behavioural consequences
1376 of partial beak amputation (beak trimming) in poultry. *British Poult Sci*, 1989;
1377 30(3), 479-488.
- 1378 29.Dym, C. Principles of mathematical modeling. Academic press. 2004.
- 1379 30.Ellis JL, Kebreab E, Odongo NE, Beauchemin K, McGinn S, Nkrumah JD, et
1380 al. Modeling methane production from beef cattle using linear. *J Anim Sci*.
1381 2009; 87: p. 1334–1345.
- 1382 31.FENAVI, Estadísticas producción de huevos. 2009. [Fecha de acceso: May
1383 15, 2014] URL:
1384 http://www.fenavi.org/index.php?option=com_content&view=article&id=2472&Itemid=1330
- 1386 32.Fernández C, Soria E, Martín JD, Serrano AJ. Neural networks for animal
1387 science applications: Two case studies. *Expert Systems with Applications*.
1388 2006; 31: 444–450

- 1389 33. Fialho FB, Ledur MC. Segmented polynomial model for estimation of egg
1390 production curves in laying hens. British Poult Sci 1997; 38: 66 - 73
- 1391 34. Flores A. Programas de alimentación en avicultura: ponedoras comerciales.
1392 X Curso de Especialización Fedna, Madrid- España. 1994. [Fecha de acceso:
1393 May 15; 2014] URL:
1394 http://portal.ucv.ve/fileadmin/user_upload/facultad_agronomia/Alimentaci%C3%BDn_B3n_Gallinas_Ponedoras.pdf
- 1395 35. Gates R S, Xin H, Casey K D, Liang Y, Wheeler E F. Method for measuring
1396 ammonia emissions from poultry houses. The Journal of Applied Poultry
1397 Research 2005; 14(3):622-634.
- 1398 36. Gavora JS, Liljedahl LE, McMillan I, Ahlen K. Comparison of three
1399 mathematical models of egg production. Br. Poult. Sci. 1982; 23:339–348.
- 1400 37. Grossman M., Gossman TN, Koops WJ. A model for persistency of egg
1401 production. Poult Sci 2000; 79(12):1715-1724
- 1402 38. Grossman M; Bohren BB. Logistic growth curve of chickens: heritability of
1403 parameters. The Journal of Heredity 1985; 76:459–462
- 1404 39. Grossman M; Bohren BB; Anderson VL. Logistic growth curve of chickens: a
1405 comparison of techniques to estimate parameters. The Journal of Heredity
1406 1985; 76, 397–399
- 1407 40. Guesdon V, Ahmed A M H, Mallet S, Faure J M, Nys Y. Effects of beak
1408 trimming and cage design on laying hen performance and egg quality. British
1409 Poult Sci, 2006; 47(1), 1-12.
- 1410 41. Hadorn R, Gloor A, Wiedmer H. Effect of beak trimming on brown growing
1411 pullets and laying hens. Agrarforschung, 2000; 7(2): 62-67.
- 1412 42. Hagan MT, Demuth HB, Beale MH. Neural network design. Boston: Pws.
1413 1996
- 1414 43. Hancock CE, Bradford GD, Emmans GC, Gous RM. The evaluation of the
1415 growth parameters of six strains of commercial broiler chickens. British Poult
1416 Sci 1995; 36(2): p. 247-264.
- 1417 44. Haykin S, Network N. A comprehensive foundation. Neural Networks 2004;2

- 1419 45. Hendrix Genetics. Hisex Brown 2006.
- 1420 46. Holt PS, Davies RH, Dewulf J, Gast RK, Huwe JK, Jones DR, Waltman D,
1421 Willian KR. The impact of different housing systems on egg safety and quality.
1422 Poult Sci 2011; 90:251–262
- 1423 47. Hruby M, Hamre M L, Coon C N. Non-Linear and Linear Function in Body
1424 Protein Growth. The Journal of Applied Poultry Research. 1996; 5(2):109-
1425 115.
- 1426 48. Hy-line International. Hy-line Brown Guía de manejo 2005-2007. Estados
1427 Unidos de América. Febrero 2006.
- 1428 49. Hy-line International. Hy-line W-36 Guía de manejo 2003-2005. Estados
1429 Unidos de América. Enero 2003.
- 1430 50. ICA. Registro de productos para aves reproductoras y de primera generación
1431 2009; [Fecha de acceso: May 15, 2014] URL:
1432 http://www.ica.gov.co/getdoc/252a480c-ba9f-4ae9-a833-4cdeffd2f4a8/Reg_productos_aves_reproductoras_julio10.aspx
- 1433 51. Karkach AS. Trajectories and models of individual growth. Demographic
1434 research. 2006; 15: p. 347-400.
- 1435 52. Keen PG, Morton MS. Decision support systems: an organizational
1436 perspective. Reading, MA: Addison-Wesley. 1978; 35:19-30.
- 1437 53. Khalaji S., Naderi, A H, Mousavi S N, Zaghari M, Malakzadegan A.
1438 Determination of phosphorus requirement for post molted laying hens using
1439 nonlinear and multivariate nonlinear mixed effects models. The Journal of
1440 Poultry Science. 2014; 51 (1):22-28
- 1441 54. Knizetova H, Hynek J, Knize B, Roubicek J. Analysis of growth curves of
1442 fowl. I. Chickens. British Poult Sci 1991; 32:1027–1038
- 1443 55. Lacin, E., A. Yildiz, N. Esenbuga, and M. Macit. Effects of differences in the
1444 initial body weight of groups on laying performance and egg quality
1445 parameters of Lohmann laying hens. Czech J Anim Sci 2008; 53: 466-471.
- 1446 56. Laird AK, Tyler SA, Barton AD. Dynamics of normal growth. Growth 1965; 29:
1447 233-248.
- 1448

- 1449 57. Lemus C A, y Ardón L A. Efecto del uso de perchas, despique y densidad
1450 durante la etapa de levante sobre la productividad en gallinas ponedoras
1451 Leghorn Blanco de la Línea Hy-Line W-98® desde las 18 hasta las 32
1452 semanas de edad. Tesis. Universidad Zamorano, Honduras, 2009. [Fecha de
1453 acceso: Ene 20; 2015] URL:
1454 <http://bdigital.zamorano.edu/bitstream/11036/433/1/T2887.pdf>
- 1455 58. Lewis PD, Morris TR, Perry GC. Light intensity and age at first egg in pullets.
1456 Poult Sci 1999; 78:1227–1231
- 1457 59. Lien RJ, Hess JB, McKee SR, Bilgili SF. Effect of light intensity on live
1458 performance and processing characteristics of broilers. Poult Sci 2008;
1459 87:853–857
- 1460 60. Linares P, Ramos A, Sánchez P, A. Sarabia y B. Vitoriano. 2001. Modelos
1461 matemáticos de optimización. Escuela Técnica Superior de Ingeniería,
1462 Universidad pontificia de Comillas-Madrid, España. 2001
- 1463 61. Lohmann. 2005. Lohmann Brown-Classic. Layer Management Guide.
1464 Alemania.
- 1465 62. Lohmann. 2006. Lohmann LSL-Classic. Layer Management Guide. Alemania.
- 1466 63. Lohmann. 2007. Ponedora Programa de Manejo Lohmann Brown.
- 1467 64. Lokhorst C. Mathematical curves for the description of input and output
1468 variables of the daily production process in aviary housing systems for laying
1469 hens. Poult Sci 1996; 75:838–848.
- 1470 65. Mashaly M, Hendricks GL, Kalama MA, Gehad AE, Abbas AO, Patterson PH.
1471 Effect of heat stress on production parameters and immune responses of
1472 commercial laying hens. Poult Sci 2004; 83:889–894
- 1473 66. McNally DH. Mathematical model for poultry egg production. Biometrics 1971;
1474 27:737–738.
- 1475 67. Mehri M. Optimization of response surface and neural network models in
1476 conjugation with desirability function for estimation of nutritional needs of
1477 methionine, lysine, and threonine in broiler chickens. Poult sci. 2014;
1478 93(7):1862-1867.

- 1479 68. Mignon-Grasteau S, Beaumont C, Ricard FH. Genetic analysis of a selection
1480 experiment on the growth curve of chickens. *Poult Sci* 2001; 80:849–854
- 1481 69. Nahashon S N, Aggrey S E, Adefope N A, Amenyenu A, Wright D. Gompertz-
1482 Laird model prediction of optimum utilization of crude protein and
1483 metabolizable energy by French guinea fowl broilers. *Poult sci.* 2010;
1484 89(1):52-57.
- 1485 70. Newman S, Lynch T, Plummer AA. Success and failure of decision support
1486 systems: Learning as we go. *Journal of Anim Sci* 2000; 77:Supl.1-12.
- 1487 71. North MO, Bell DD. Commercial chicken production manual. AVI Publishing
1488 Inc, New York, USA. 1990.
- 1489 72. Oliveira HN, Barbosa RL, Pereira CS. Comparação de modelos não-lineares
1490 para descrever o crescimento de fêmeas da raça guzerá. *Pesquisa*
1491 *Agropecuária Brasileira*. 2000; 35(9): p. 1843-1851.
- 1492 73. Orheruata AM, Vaikosen SE, Alufohia G, Okagbare GO. Modeling growth
1493 response of broiler chicken to feed consumption using linear data based
1494 model structure. *International Journal of Poult Sci* 2006; 5(5): 453-456
- 1495 74. Oviedo ER. Optimización de la producción Avícola por medio de Modelos
1496 Matemáticos. *Industria Avícola Watt Publishing*. 2002; 49(6): 32-36.
- 1497 75. Oviedo-Rondón E O, Waldroup P W. Models to estimate amino acid
1498 requirements for broiler chickens: a review. *International Journal poult sci.*
1499 2002; 1(5): 106-113.
- 1500 76. Palmer A, Montaño J, Jiménez R. Tutorial sobre redes neuronales artificiales:
1501 el perceptrón multicapa. *Rev electrónica de psicología* 2001; 5(2).
- 1502 77. Parés-Casanova PM, Kucherova I. Comparación de modelos no lineales para
1503 describir curvas de crecimiento en la cabra catalana. *Revista de*
1504 *Investigaciones Veterinarias del Perú*. 2014; 25(3): p. 390-398.
- 1505 78. Pesti G M, Vedenov D, Cason J A, Billard L. A comparison of methods to
1506 estimate nutritional requirements from experimental data. *British poult sci.*
1507 2009; 50(1): 16-32.

- 1508 79. Pitarque A, Ruiz JC, Roy JF. Las redes neuronales como herramientas
1509 estadísticas no paramétricas de clasificación. *Psicothema* 2000; 12, Supl
1510 2:459-463.
- 1511 80. Pizzolante C, Garcia E A, Saldanha E S P B, Laganá C, Faitarone A B G,
1512 Souza H B A, Pelicia K.). Beak trimming methods and their effect on the
1513 performance and egg quality of Japanese quails (*Coturnix japonica*) during
1514 lay. *Revista Brasileira de Ciência Avícola*, 2007; 9(1), 17-21.
- 1515 81. Plazas RAS, Ávila V D. Mecanismos fisiológicos de la termorregulación en
1516 animales de producción. *Revista Colombiana de Ciencia Animal*. 2011; 4(1).
- 1517 82. Pomar C, Bailleul P D. Determinación de las necesidades nutricionales de los
1518 cerdos de engorde: límites de los métodos actuales. XV Curso de
1519 especialización avances en nutrición y alimentación animal. Madrid, España:
1520 Fundación Española para el Desarrollo de la Nutrición Animal. 1999; 301,
1521 253-276.
- 1522 83. Renema RA, Robinson FE, Feddes JR, Fasenko GM, Zuidhof M J. Effects of
1523 Light Intensity from Photostimulation in Four Strains of Commercial Egg
1524 Layers: 2. Egg Production Parameters. *Poult Sci* 2001; 80:1121–1131
- 1525 84. Renema RA, Robinson FE. Effects of Light Intensity from Photostimulation in
1526 Four Strains of Commercial Egg Layers: 1. Ovarian Morphology and Carcass
1527 Parameters. *Poult Sci* 2001; 80:1112–1120
- 1528 85. Robbins K R, Norton H W, Baker D H. Estimation of nutrient requirements
1529 from growth data. *The Journal of nutrition*. 1979; 109(10):1710-1714.
- 1530 86. Rondón E O, Murakami A E, Sakaguti E S. Modelagem computacional para
1531 produção e pesquisa em avicultura. *Revista Brasileira de Ciência Avícola*.
1532 2002; 4(1):00-00.
- 1533 87. Rondón, E. O. O., A. E. Murakami, and E. S. Sakaguti. 2002. Computer
1534 modeling for poultry production and research." *Revista Brasileira de Ciência
1535 Avícola* 4.1: 00-00.

- 1536 88. Rosário MF, Silva MAN, Coelho AAD. Estimating and predicting feed
1537 conversion in broiler chickens by modeling covariance structure. International
1538 Journal of Poultry Science. 2007; 6(7): p. 508-514.
- 1539 89. Roush WB, Branton SL. A comparison of fitting growth models with a genetic
1540 algorithm and nonlinear regression. Poult Sci 2005; 84:494–502
- 1541 90. Roush WB, Dozier WA, Branton SL. Comparison of gompertz and neural
1542 network models of broiler growth. Poult Sci 2006; 85:794–797
- 1543 91. Rozenboim I, Biran I, Uni Z, Robinzon B, Halevy O. The effect of
1544 monochromatic light on broiler growth and development. Poult Sci 1999;
1545 78:135–138
- 1546 92. Rozenboim I, Tako E, Gal-Garber O, Proudman JA, Uni Z. The effect of heat
1547 stress on ovarian function of laying hens. Poult Sci 2007; 86:1760–1765
- 1548 93. Ruíz A, Hernández LA, Giraldo WJ. Aplicación de los sistemas de soporte a
1549 la decisión (DSS) en el comercio electrónico. Revista Ingeniería e
1550 Investigación. 2009; 29(2):94-99
- 1551 94. Salvador E, Guevara V. Desarrollo y validación de un modelo de predicción
1552 del requerimiento óptimo de aminoácidos esenciales y del comportamiento
1553 productivo en ponedoras comerciales. Revista de Investigaciones
1554 Veterinarias del Perú. 2013; 24(3): 264-276.
- 1555 95. Santomá G, Pontes M. Influencia del alojamiento sobre la nutrición de aves
1556 y cerdos. XXII curso de especialización FEDNA, Barcelona – España. 2006
1557 [Fecha de acceso: May 15; 2014] URL:http://www.wpsa-aeca.es/aeca_imgs_docs/wpsa1164026187a.pdf
- 1559 96. Santomá G, Pontes M. Interacción nutrición-manejo en explotaciones para
1560 aves y porcino. 1. introducción y factores ambientales. XX curso de
1561 especialización FEDNA, ISBN 84-609-3256-7, Barcelona – España. 2004
1562 [Fecha de acceso: May 15; 2014] URL:
1563 http://fundacionfedna.org/sites/default/files/04CAP_8.pdf
- 1564 97. Savegnago RP, Nunes BN, Caetano SL, Ferrando AS, Schmidt GS, Ledur
1565 MC, Munari DP. Comparison of logistic and neural network models to fit to

- 1566 the egg production curve of White Leghorn hens. *Poult Sci* 2011; 90(3):705-
1567 711.
- 1568 98. Schinckel AP, Adeola O, Einstein ME. Evaluation of alternative nonlinear
1569 mixed effects models of duck growth. *Poult Sci* 2005; 84:256–264
- 1570 99. Schwarz, G. Estimating the dimension of a model. *The annals of statistics*
1571 1978; 6(2):461-464.
- 1572 100. St-Pierre N R. Invited review: Integrating quantitative findings from
1573 multiple studies using mixed model methodology. *J. Dairy Sci.* 2001; 84:741–
1574 755.
- 1575 101. Strathe A B, Lemme A, Htoo J K, Kebreab E. Estimating digestible
1576 methionine requirements for laying hens using multivariate nonlinear mixed
1577 effect models. *Poult sci.* 2011; 90(7):1496-1507.
- 1578 102. Strathe AB, Danfær A, Sørensen H, Kebreab E. A multilevel nonlinear
1579 mixed-effects approach to model growth pigs. *J Anim Sci.* 2010; 88: p. 638-
1580 649.
- 1581 103. Summers JD, Leeson S. Influence of diets varying in nutrient density
1582 on the development and reproductive performance of White Leghorn pullets.
1583 *Poult Sci* 1993; 72:1500–1509
- 1584 104. Taylor BJ. Methods and procedures for the verification and validation
1585 of artificial neural networks. Springer. 2006
- 1586 105. Thiele HH, Pottgüter R. Management recommendations for laying hens
1587 in deep litter, perchery and free range systems. Lohmann Tierzucht GmbH,
1588 Cuxhaven, Germany. Lohman information 2008; 43(1):53-63.
- 1589 106. Universidad Politécnica de Madrid (UPM). 2008. Tipos genéticos
1590 utilizados en avicultura. [Fecha de acceso: May 14, 2014] URL:
1591 http://ocw.upm.es/produccion-animal/produccion-avicola/contenidos/TEMA_5/tipos-geneticos-utilizados-en-avicultura/view.
- 1593 107. Van Horne P L M, y Achterbosch T J. Animal welfare in poultry
1594 production systems: impact of EU standards on world trade. *World's Poultry*
1595 *Science Journal.* 2008; 64 (1): 40-52.

- 1596 108. Vedenov D, Presti GM. A comparison of methods of fitting several
1597 models to nutritional response data. *J Anim Sci.* 2008; 86(2): p. 500-507.
- 1598 109. Wadsworth, J. Análisis de Sistemas de Producción Animal - Tomo 2:
1599 las Herramientas Básicas. (Estudio FAO Producción y Sanidad Animal
1600 140/2). 1997. [Fecha de acceso: May 15; 2014]
1601 URL:<http://www.fao.org/docrep/W7452S/w7452s00.htm#Contents>
- 1602 110. Wang Z, Zuidhof MJ. Estimation of Growth Parameters Using a
1603 Nonlinear Mixed Gompertz Model. *Poult Sci* 2004; 83:847–852
- 1604 111. Zeide B. Analysis of growth equations. *Forest science.* 1993; 39(3): p.
1605 594-616.
- 1606 112. Zullinger EM, Ricklefs RE, Redford KH, Georgina MM. Fitting sigmoidal
1607 equations to mammalian growth curves. *Journal of Mammalogy.* 1984: p. 607-
1608 636.
- 1609
- 1610

Capítulo 1. Capacidade de modelos mistos não lineares para prever o crescimento em galinhas poedeiras

Este artículo obedece al desarrollo de los objetivos específicos:

- Establecer el modelo que mejor ajusta la curva de crecimiento y el desarrollo del ave de postura.
 - Diseñar y evaluar un sistema de información de apoyo a la toma de decisiones para sistemas de producción avícola de huevo comercial.

En este artículo se logra probar e identificar un modelo que ajuste la curva de crecimiento de las aves bajo las condiciones del Sistema de producción de la Hacienda la Montaña de la Universidad de Antioquia. Estos modelos probados son la plataforma teórica para su utilización en la construcción del Sistema de apoyo para la toma de decisiones para la avicultura.

Este artículo fue aceptado para publicación en la revista Brasileira de Zootecnia perteneciente a la Sociedade Brasileira de Zootecnia, se anexa la comunicación de aceptación para publicación ([Anexo 1](#)) y el formato para la elaboración de los artículos de la revista ([Anexo 2](#)).

1630

1631

1632 **Capacidade de modelos mistos não lineares para prever o crescimento**
1633 **em galinhas poedeiras**

1634

1635 **Ability of non-linear mixed models to predict growth in laying hens**

1636

1637 **ABSTRACT**

1638 In this study, Von Bertalanffy, Richards, Gompertz, Brody, and Logistics non-
1639 linear mixed regression models were compared for their ability to estimate the
1640 growth curve in commercial laying hens. Data were obtained from 100 white
1641 laying hens, Lohmann LSL layers. The animals were identified and then weighed
1642 weekly from day 20 after hatch until they were 553 days of age. All the nonlinear
1643 models used were transformed into mixed models by the inclusion of random
1644 parameters. Accuracy of the models was determined by the Akaike and Bayesian
1645 information criteria (AIC and BIC, respectively), and the correlation values.
1646 According to AIC, BIC, and correlation values, the best fit for modeling the growth
1647 curve of the birds was obtained with: Gompertz, followed by Richards, and then
1648 by Von Bertalanffy models. The Brody and Logistic models did not fit the data.
1649 The Gompertz nonlinear mixed model showed the best goodness of fit for the
1650 data set, and is considered the model of choice to describe and predict the growth
1651 curve of Lohmann LSL commercial layers at the production system of the
1652 University of Antioquia.

1653

1654 Key words: chickens, mathematical models, poultry, regression analysis, weight
1655 gain.

1656

1657 **INTRODUCTION**

1658 Growth can be defined as the increase in body weight or body parts with age.
1659 This process is influenced by genetic and environmental conditions. A common
1660 practice in poultry production is to measure the increase in body mass of birds to
1661 control and modify the external conditions that affect their weight gain (Oliveira et
1662 al., 2000; Agudelo et al., 2008; Aggrey, 2009).

1663

1664 Mathematical models have been applied to poultry production for the study of
1665 performance events through their simplification and characterization. An example
1666 is the construction of curve fitting models that relate the age of the bird with its
1667 weight, also to estimate the age at which the animal stops growing, when it
1668 reaches sexual maturity, and characterize the different phases of growth in the
1669 organism under study (Galeano-Vasco and Cerón-Muñoz, 2013; Grossman et
1670 al., 1985; Grossman and Koops, 1988; Laird, 1965).

1671

1672 The modeling of growth performance in laying hens is an elaborate process due
1673 to the use of parameters which are difficult to interpret from a biological
1674 perspective, and difficulty of predict the events that are influenced by the variation
1675 of the observations in time (Galeano-Vasco et al., 2013; Aggrey, 2002; Aggrey,
1676 2009).

1677

1678 An alternative is the use of nonlinear mixed models, these models include the
1679 fixed effects, that referencing to the population mean of the parameter and
1680 random effects that indicate the differences between the mean value of the
1681 parameter and the adjusted value for each individual (Wang and Zuidhof, 2004).
1682 Therefore, applying mixed models to longitudinal measurements of growth allows
1683 quantifying the variability between animals and in each animal. Other advantages
1684 of these models is that they can handle unbalanced data and have flexible
1685 covariance structure (Aggrey, 2009; Pinheiro and Bates, 1995), because in the
1686 animal investigation is common to have data with dependence structures,
1687 missing values and lack of normality.

1688

1689 The current study was designed to compare Von Bertalanffy, Richards,
1690 Gompertz, Brody and Logistics non-linear regression models for their ability to
1691 estimate the growth curve in hens. The models were modified to include random
1692 effects (mixed models). We used weight records from Lohmann LSL layers
1693 obtained in a commercial-egg farm in Antioquia, Colombia.

1694

1695

1696 **MATERIALS AND METHODS**

1697 **Data**

1698 The data used in this study was obtained from 100 Lohmann LSL hens, randomly
 1699 selected from a flock of birds located in the "Hacienda La Montaña", University of
 1700 Antioquia, located in the municipality of San Pedro de los Milagros (Antioquia) at
 1701 6° 19'19" north latitude and 1°37'40" west longitude. With a height of 2,350 m
 1702 above sea level and an average outdoor temperature of 15°C with a maximum
 1703 temperature of 22°C and a minimum temperature of 7°C.

1704

1705 From 0 to 13 weeks of age birds were reared in floor and then moved into cages
 1706 which housed 4 birds.cage⁻¹ (cage floor area per hen 730 cm²). The birds were
 1707 identified, and then weighed individually from day 20 after hatching until the 553
 1708 days of age. From 0-2 wk, all birds received a starter diet followed by grower diet
 1709 which was fed to 9 weeks of age. The developer and layer diets were fed from
 1710 10-16 and 17-80 wk of age, respectively. The nutritional composition of diets is
 1711 shown in Table 1. The chickens consumed fresh and purified water ad libitum at
 1712 all times. Supplemental heating was provided from 0-6 weeks after which there
 1713 was no environmental control. All birds were housed in open houses.

1714

1715 **Models**

1716 The five nonlinear models used for the analysis of growth curves were adapted
 1717 to mixed models, with the inclusion of random parameters:

1718

1719 (1) Brody (Brody, 1945):

$$1720 \quad y_{ij} = (\beta_0 + b_{0i}) * (1 - \beta_1 \exp^{(\beta_2 + b_{2i}) * t_{ij}}) + \varepsilon_{ij}$$

1721 (2) Logistic (Verhulst, 1938):

$$1722 \quad y_{ij} = (\beta_0 + b_{0i}) * (1 - \exp^{-\beta_1 * t_{ij}})^{-1} + \varepsilon_{ij}$$

1723 (3) Gompertz (Gompertz, 1825):

$$1724 \quad y_{ij} = (\beta_0 + b_{0i}) * \exp^{-\beta_1 * \exp^{(-\beta_2 + b_{2i}) * t_{ij}}} + \varepsilon_{ij}$$

1725 (4) Von Bertalanffy (Bertalanffy, 1938):

$$1726 \quad y_{ij} = (\beta_0 + b_{0i}) * (1 - \beta_1 * \exp^{(-\beta_2 + b_{2i}) * t_{ij}})^3 + \varepsilon_{ij}$$

1727 (5) Richards (Richards, 1959):

$$1728 \quad y_{ij} = (\beta_0 + b_{0i}) * (1 - \beta_1 * \exp(-\beta_2 + b_{2i}) * t_{ij})^{-(1/m)} + \varepsilon_{ij}$$

1729

1730 Where, y_{ij} : body weight (g) of the i-th bird in the j-th time; t: time, age in days; β_0 :
 1731 Fixed component of the model, associated with the asymptotic weight when t
 1732 tends to infinity (percentage of maturity with respect to adult weight); β_1 : Fixed
 1733 component of the model, defined as the adjusting parameter when $Y \neq 0$ or $t \neq 0$;
 1734 β_2 : Fixed component of the model, representing the maturity index expressed as
 1735 a proportion of the percentage of maximum growth with regard to the adult weight
 1736 of the bird; b_{0i} and b_{2i} : Random effects associated with the β_1 and β_2 fixed effects
 1737 which in turn define the variance and covariance of the observations for each
 1738 fixed effect for the ith bird; m: asymptotic weight proportion corresponding to the
 1739 inflection point; and ε_{ij} : residual effect associated with the i-th bird for the j-th time.

1740

1741 The residue and the random effects were assumed to be independent and
 1742 normally distributed with mean zero and constant variance.

$$1743 \quad \varepsilon \sim N(0, \sigma_e^2) \text{ and } \begin{bmatrix} b_0 \\ b_2 \end{bmatrix} \sim N \left[\begin{bmatrix} 0 \\ 0 \\ 0 \\ 0 \end{bmatrix}, \begin{bmatrix} \sigma_{b_{0i}}^2 & 0 \\ 0 & \sigma_{b_{02}}^2 \end{bmatrix} \right]$$

1744

1745 Statistical Analysis

1746 The models were compared using log maximum likelihood (-2 Log L), Akaike
 1747 information criterion (AIC) (Akaike, 1974), and Bayesian information criterion
 1748 (BIC) (Schwarz, 1978). Lowest AIC and BIC values indicate a better model fit to
 1749 the original data. A graphic analysis growth plots were conducted, and the
 1750 correlation between observed and predicted data was obtained with the Pearson
 1751 method. For data analysis and models programming NL MIXED procedures of
 1752 SAS 9.0 were used (SAS Institute, 2010).

1753

1754

1755

1756

1757

RESULTS AND DISCUSSION

1758 The body weight data used to model the growth curve with the nonlinear mixed
1759 models appear in table 2. From this information we calculated the weight gain
1760 (body weight week_{n+1} - body weight week_n). The differences in average daily feed
1761 intake (g.hen⁻¹ per day) and the amount of food recommended by the guide
1762 Lohmann LSL management. The average daily feed intake between weeks 3-10
1763 was 3.67 g higher than the average level recommended by the guide. This effect
1764 was greater between weeks 8 and 10 (5.6 g.hen⁻¹.day⁻¹), with an average gain
1765 of 80 g.week⁻¹, presenting a peak increase in weight at week 7 (122.7 g) (Table
1766 3).

1767

1768 The purpose of providing more food in these weeks was to Increase the weight
1769 of the birds before they were moved to the cages. Between weeks 14 to 17, was
1770 observed a decrease of 1.53 g to below average 71.4 g of food intake
1771 recommended by the management guide, as a result of adaptation of the bird to
1772 the cage, the drinking system, feeders and social interactions with other birds. A
1773 similar trend occurred in the weight gain from 153 to 74.65 g.week⁻¹ at this same
1774 time period.

1775

1776 The greatest average weight gains were observed between week 14 and 23,
1777 reaching a maximum weight gain of 163 g (average per hen) at 144 days (20.6
1778 weeks). Previous reports (Grossman and Koops, 1988; Kwakkel et al., 1993)
1779 indicate that the increase in the bird's weight is associated with sexual maturity
1780 and precedes the onset of egg production cycle of the bird, and is also defined
1781 as the third phase of growth. Weeks 18 thru 20 showed an increase in the
1782 average level of feed intake (87 g), which could have an effect on the increasing
1783 weight gain of birds from 74.65 to 147.5 g.week⁻¹ in the period mentioned.
1784 Following this plan, food restriction was applied between weeks 22 to 27 reaching
1785 113.3 g.hen⁻¹.day⁻¹ at week 28 (1.3 g above the theoretical consumption). From
1786 week 28 to 80, the average consumption per bird day was 2.4 g more than
1787 recommended by the management guide throughout the period and weight gain
1788 was stabilized in an average of 0.6 g.week⁻¹.

1789 The Gompertz model had the best fit for modeling the growth curve of the birds,
1790 according to AIC and BIC (Table 4). In a descending order, models were ranked
1791 as follows: Gompertz, Richards, and Von Bertalanffy. The Pearson's correlation
1792 coefficients were greater than 0.957 for the three models, indicating good fit and
1793 high ability to predict weight gain during the rearing, growing, and laying periods.
1794 The Brody and Logistic models did not fit the growth curve, so they were not
1795 considered in the results.

1796

1797 The graphs of the residuals showed that all models underestimate weight from
1798 days 100 to 150, a period that coincided with the onset of laying, indicating
1799 changes in body weight of birds that models did not estimate (Fig. 1).

1800

1801 The β_0 value of the parameters estimated by Richards and Gompertz models was
1802 over 1,500 to 1,600 g, which is the weight range proposed by Lohmann® (Table
1803 5). The β_0 estimation by Von Bertalanffy was below the weight range. The
1804 estimation and analysis of the asymptotic weight is essential to evaluate and
1805 project the flock efficiency, as underweight animals have delayed onset of sexual
1806 maturity and tend to lay fewer eggs (Kirikçi et al., 2007).

1807

1808 According to Gompertz, weight at the inflection point ($Y_i = \beta_0/e$) was 610.85 g,
1809 reached at 59 days of age. The weight proportion at the inflection point with
1810 respect to the asymptotic weight (Y_i/β_0) was 36.79%, confirming that Gompertz
1811 model has a fixed inflection point at 37% of the asymptotic weight, as stated by
1812 Tabatabai et al. (2005).

1813

1814 When parameter m is equal to one in the Gompertz and Richards models, the
1815 inflection point is at the same place (Nahashon et al., 2006). Parameter m value
1816 was 2.29E-03, so the inflection point by both models differed. For the Richards
1817 model, weight at the inflection point was 623.53 gr ($Y_i = \beta_0/(m+1)^{(1/m)}$) at 61 days
1818 of age. Therefore, Gompertz and Richards models placed the inflection point
1819 between weeks 8 and 9 of the bird age.

1820

1821 With regard to growth, birds reached 89% of the asymptotic weight ($\bar{x}=1403 \pm$
1822 118.7 g) at 133 days of age, and 94% ($\bar{x}=1553 \pm 98.8$ g) at 144 days. Therefore,
1823 the estimated weight of the birds was 90% of the adult weight at 140 days (starting
1824 production or sexual maturity). A goal in raising laying hens is to avoid early
1825 maturity (before 18 weeks) because under such circumstances precocious birds
1826 tend to lay low-weight eggs (Dunnington and Siegel, 1984). In addition to weight,
1827 other factors such as feed management, nutrients intake, and the lighting
1828 program (duration of photo-stimulation and light intensity) affect the age at which
1829 birds reach sexual maturity (Joseph et al., 2003).

1830

1831 Gompertz and Richards models share a similar pattern throughout the curve. As
1832 reported by Oliveira (2000), both models fit well the initial weights. On the other
1833 hand, parameters generated by the Von Bertalanffy model were skewed until day
1834 224 and thereafter their trend was similar to the other models. Two graphs are
1835 plotted for the expected growth projection based on the information generated by
1836 the Gompertz-Laird model. In the first graph, the ideal weights should fall between
1837 the purple lines, tending to fit the average -demarcated by the blue line (Fig. 1).
1838 The weight dispersion of the population, assigning them to one of three ranges
1839 created based on increases of one, two, or three standard deviations from the
1840 mean (Fig. 2).

1841

1842 These graphical models allow evaluating the physical development of Lohmann
1843 LSL flocks at the farm of the University of Antioquia, as they correspond to the
1844 response of the birds under the conditions of that production system.

1845

1846 CONCLUSIONS

1847 The Gompertz and Richards models can be used to estimate bird weights for
1848 Lohmann LSL hens by projecting growth curves. The determining factor for
1849 selecting the Gompertz model as the best is that it has fewer parameters to
1850 estimate than the model Richards, facilitating the processes of estimation and
1851 model derivative. The Logistic, Brody, and Von Bertalanffy models had flaws in
1852 the process of convergence and fit to the growth curve of these birds.

1853
1854 Although the ability to estimate and fit by Gompertz and Richards models are
1855 similar, the former has the best fit to the variability of animal weight with increasing
1856 age. This variability has been pointed by Wang (2004) and Aggrey (2009) as
1857 limiting for growth modeling when using repeated measures over time.

1858
1859 This research provides a model to evaluate the development of poultry of farm
1860 "Hacienda la Montaña", allowing to know own system productive parameters and
1861 to determine optimal growth ranges for this line of birds under environmental
1862 conditions and farm management. Therefore, it is important to continue
1863 assessing and applying mathematical models as tools for control and decision
1864 making in animal production.

1865

1866 ACKNOWLEDGMENTS

1867 The authors thank the "Departamento de Formación Académica de Haciendas"
1868 of the University of Antioquia for data collection. This research was funded by the
1869 University of Antioquia (CODI CODI Sostenibility 2013/ E01727 y Convocatoria
1870 Mediana cuantía "Diseño y validación de sistemas de apoyo a la toma de
1871 decisiones en granjas avícolas productoras de huevo comercial" E01533) and
1872 the Colombian "Departamento Administrativo de Ciencia, Tecnología e
1873 Innovación" (COLCIENCIAS), (Convocatoria Nacional para Estudios de
1874 Doctorados en Colombia 528, año 2011).

1875

1876 REFERENCES

- 1877 Aggrey, S. E., 2002. Comparison of three nonlinear and spline regression models
1878 for describing chicken growth curves. *Poultry Science* 81:1782–1788.
1879 Aggrey, S. E., 2009. Logistic nonlinear mixed effects model for estimating growth
1880 parameters. *Poultry Science* 88:276–280.
1881 Agudelo, D. G., Cerón M. F., Restrepo L. F., 2008. Modelación de las funciones
1882 de crecimiento aplicadas a la producción animal. *Revista Colombiana de*
1883 *Ciencias Pecuarias* 21:39-58.

- 1884 Akaike, H. A., 1974. New look at the statistical model identification. IEEE Trans
1885 Automat Contr AC. 19:716-723.
- 1886 Bertalanffy, L. Von., 1938. A quantitative theory of organic growth. Human
1887 Biology 10:181-213.
- 1888 Brody, S., 1945. Bioenergetics and growth; with special reference to the efficiency
1889 complex in domestic animals. New Cork: Reinhold Publishing Corporation.
- 1890 Dunnington, E. A., and P.B. Siegel. 1984. Age and body weight at sexual
1891 maturity in female White Leghorn chickens. Poultry science, 63(4), 828-830
- 1892 Galeano-Vasco, L., Cerón-Muñoz M. F. 2013. Modelación del crecimiento de
1893 pollitas Lohmann LSL con redes neuronales y modelos de regresión no lineal.
1894 Revista MVZ de Córdoba 18(3):3861-3867.
- 1895 Galeano-Vasco, L., Cerón-Muñoz M. F., Rodríguez D., Cotes J. M. 2013. Uso del
1896 modelo de distribución con retardo para predecir la producción de huevos en
1897 gallinas ponedoras. Revista Colombiana de Ciencias Pecuarias 26(4):270-279.
- 1898 Gompertz, B., 1825. On the nature of the function expressive of the law of human
1899 mortality, and on a new mode of determining the value of life contingencies.
1900 Philosophical Transactions of the Royal Society of London 115:513-585.
- 1901 Grossman, M., B. B. Bohren, and V. L. Anderson. 1985. Logistic growth curve of
1902 chickens: a comparison of techniques to estimate parameters. Journal of
1903 Heredity 76: 397–399.
- 1904 Grossman, M., W.J. Koops. 1988. Multiphasic analysis of growth curves in
1905 chickens. Poultry Science 67(1):33-42.
- 1906 Joseph, N. S., F. E. Robinson, R. A. Renema, and K. A. Thorsteinson. 2003.
1907 Comb growth during sexual maturation in female broiler breeders. The Journal of
1908 Applied Poultry Research 12:7–13
- 1909 Kirikçi, K., A. Günlü, O. Çetin, and M. Garip. 2007. Effect of hen weight on egg
1910 production and some egg quality characteristics in the partridge (*Alectoris*
1911 *graeca*). Poultry Science 86:1380-1383
- 1912 Kwakkel, R. P., B. J. Ducro, and W. J. Koops. 1993. Multiphasic analysis of
1913 growth of the body and its chemical components in White Leghorn pullets. Poultry
1914 Science 72(8):1421-1432.

- 1915 Laird, A. K., S. A. Tyler, and A. D. Barton. 1965. Dynamics of normal growth.
- 1916 Growth. 29: 233-248.
- 1917 Nahashon, S. N., S. E. Aggrey, N. A. Adefope, A. Amenyenu, and D. Wright.
- 1918 2006. Growth characteristics of pearl gray guinea fowl as predicted by the
- 1919 Richards, Gompertz, and logistic models. Poultry Science 85:359-363.
- 1920 Oliveira, H. N., R. L. Rarbosa, and C. S. Pereira. 2000. Comparação de modelos
- 1921 não-lineares para descrever o crescimento de fêmeas da raça guzerá. Pesquisa
- 1922 Agropecuária Brasileira 35(9):1843-1851.
- 1923 Pinheiro, J. C. and Bates, D. M. 1995. Approximations to the Log-likelihood
- 1924 Function in the Nonlinear Mixed-effects Model. Journal of Computational and
- 1925 Graphical Statistics 4(1):12-35.
- 1926 Richards, F. J. 1959. A flexible growth function for empirical use. Journal of
- 1927 Experimental Botany 10(2):290-301.
- 1928 SAS Institute. 2010. SAS/STAT User's Guide. Version 9.1 ed. SAS Institute Inc.,
- 1929 Cary, NC.
- 1930 Schwarz, G. 1978. Estimating the dimension of a model. Annals of Statistics.
- 1931 6(2):461-464.
- 1932 Tabatabai, M., D. K. Williams, and Z. Bursac. 2005. Hyperbolastic growth models:
- 1933 theory and application. Theoretical Biology & Medical Modelling. 2(14):1-13.
- 1934 Verhulst, P. F. 1838. Notice sur la loi que la population poursuit dans son
- 1935 accroissement. Correspondence of Mathematical Physics 10:113-121.
- 1936 Wang, Z., Zuidhof M. J., 2004. Estimation of growth parameters using a nonlinear
- 1937 mixed Gompertz model. Poultry Science 83(6):847-852.
- 1938 .

1939

1940

Table 1. Nutritional composition of diets offered to the birds in the evaluation period.

Nutrients	Type of diets					
				Layer diets		
	Starter	Grower	Developer	Special	Phase 1	Phase 2
CP (g kg ⁻¹ as fed)	214	200	170	180	170	160
ME (Mcal/kg)	3.00	2.91	2.78	2.85	2.85	2.85

1941 CP: crude protein, ME: metabolizable energy, Starter (1 to 2 weeks), Grower (3 to 10 weeks), Developer (11 to 16 weeks), and
 1942 layer diets: Special (17 to 45 weeks), Phase 1 (46 to 58 weeks), and Phase 2 (before 58 weeks).

1943

Table 2. The body weight data (grams) of Lohmann LSL hens used to model the growth curve with nonlinear

1944 mixed models.

Day	Mean	SD	Day	Mean	SD	Day	Mean	SD	Day	Mean	SD	Day	Mean	SD
21	187	31.99	70	749.00	56.78	154	1562.76	84.57	317	1636.41	94.16	490	1647.46	91.33
28	214.30	40.26	85	902.33	80.79	168	1562.94	84.15	338	1631.55	86.52	554	1692	121.45
36	301.23	49.51	98	1054	82.02	196	1625.61	92.31	378	1607.12	107.78	532	1676.50	127.07
42	386.37	52.05	114	1192	60.91	224	1629.33	90.2	408	1695.73	117.13	546	1706.90	110.70
52	509.04	55.73	123	1266.65	74.37	270	1628.13	101.10	422	1679.46	111.54	553	1689	97.66

56	582.96	63.53	133	1415.41	110.66	277	1633.39	105.02	452	1715.25	93.07
65	681.12	61.61	144	1561.72	95.04	291	1601.77	86.35	484	1717.91	84.37

1946 Day: day of measurement, Mean: hen weight average and SD: standard deviation

1947

1948 **Table 3: Differences between the amount of feed consumed per bird day-1 and the amount recommended by
1949 the management guide hens of the strain Lohmann LSL (weeks 1 to 25).**

wk	Dif	wk	Dif	wk	Dif	wk	Dif	wk	Dif								
1	0.74	4	1.41	7	3.25	10	7.42	13	6.47	16	-0.47	19	82.09	22	-9.01	25	-6.79
2	0.61	5	1.25	8	7.06	11	3.77	14	-0.41	17	-3.72	20	92.30	23	-10.79		
3	1.65	6	1.92	9	5.42	12	3.46	15	5.00	18	-1.97	21	87.68	24	-8.82		

1950 wk: week, and Dif: (actual feed consumption (g/hen/day) - theoretical feed consumption (g/hen/day))

1951

1952 **Table 4. Classification based on information criteria and correlation value of non-linear mixed models used to
1953 evaluate growth of Lohmann LSL hens.**

Model	-2 Log likelihood	AIC ¹	BIC ¹	Correlation ²
Gompertz	8405.4	8419.4	8428.2	0.991*
Richards	8408.0	8424.0	8434.1	0.990*
Von Bertalanffy	8464.3	8478.3	8487.1	0.957*

1954 ¹A low value indicates better fit of the model to the data. ² Correlation between observed and predicted data obtained with the
1955 Pearson method. * p-value < 0.001. AIC: Akaike information criterion. BIC: Bayesian information criterion.

1956

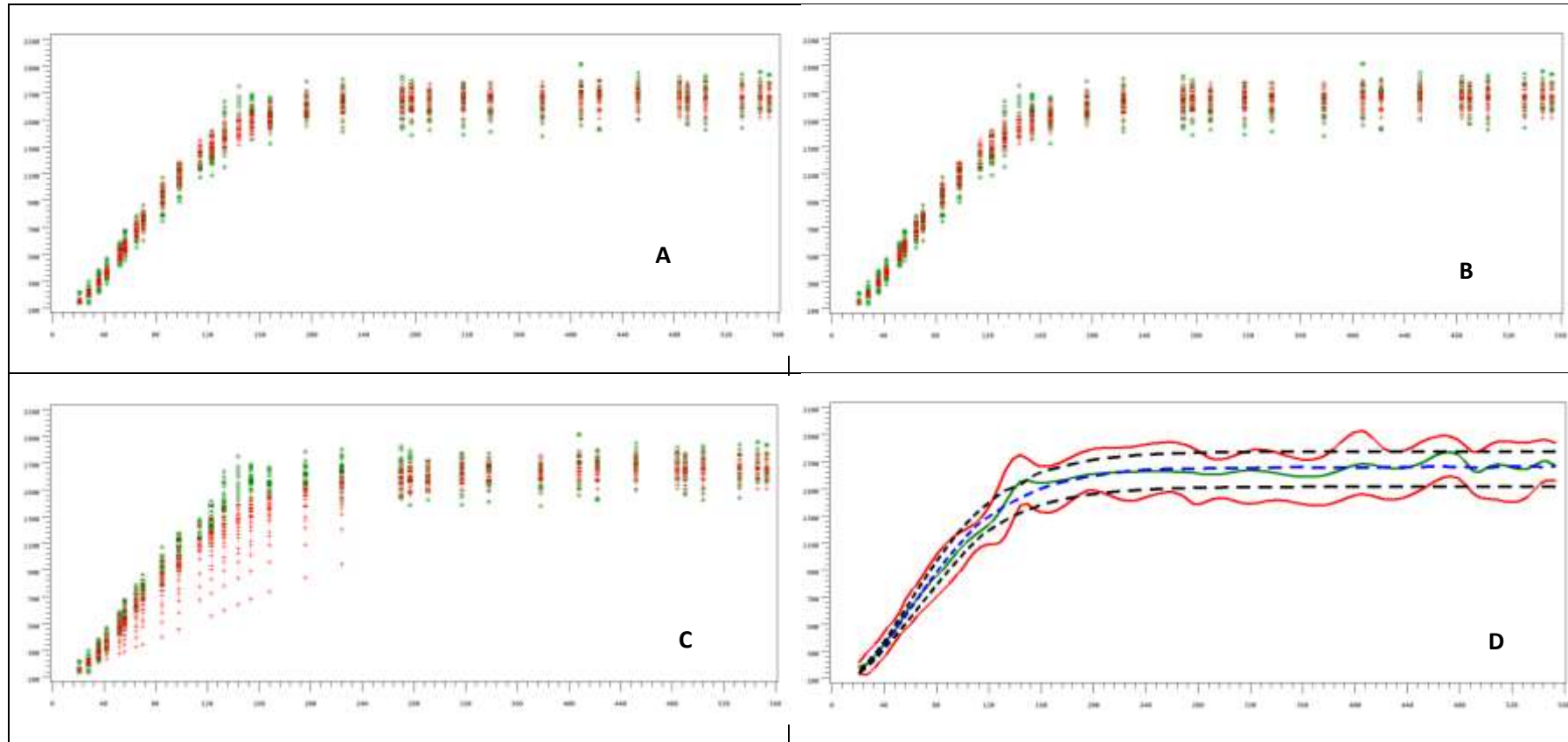
1957

Table 5. Parameters estimated by nonlinear-mixed growth models used to evaluate Lohmann LSL birds.

Parameters	Models		
	Gompertz	Richards	Von Bertalanffy
β_0	1660.46 \pm 15.5	1678.28 \pm 18.6	1483.59 \pm 50.1
b_0	72.68 \pm 11.9	80.08 \pm 14.3	192.84 \pm 51.4
β_1	2.44 \pm 3.7 E ⁻⁰²	5.54E ⁻⁰⁴ \pm 6.9 E ⁻⁰⁴	0.55 \pm 1.2 E ⁻⁰²
β_2	2.30 E ⁻⁰² \pm 5.1 E ⁻⁰⁴	2.24 E ⁻⁰² \pm 5.4 E ⁻⁰⁴	2.74 E ⁻⁰² \pm 7.4 E ⁻⁰⁴
b_2	1.84 E ⁻⁰³ \pm 3.6 E ⁻⁰⁴	1.84 E ⁻⁰³ \pm 4.5 E ⁻⁰⁴	1.36 E ⁻⁰² \pm 2.5 E ⁻⁰³
M		2.29E ⁻⁰³	
E	73.37 \pm 2.01	72.64 \pm 2.22	72.51 \pm 1.99

1958 β_0 , β_1 and β_2 : fixed estimated fixed parameters, b_0 and b_2 : estimated random parameters, m: asymptotic weight proportion
 1959 corresponding to the inflexion point in Von Bertalanffy model, Scientific notation a^*E^{-n} where E is equal to 10, n is an integer,
 1960 and a is any real number, and e: error of estimation.

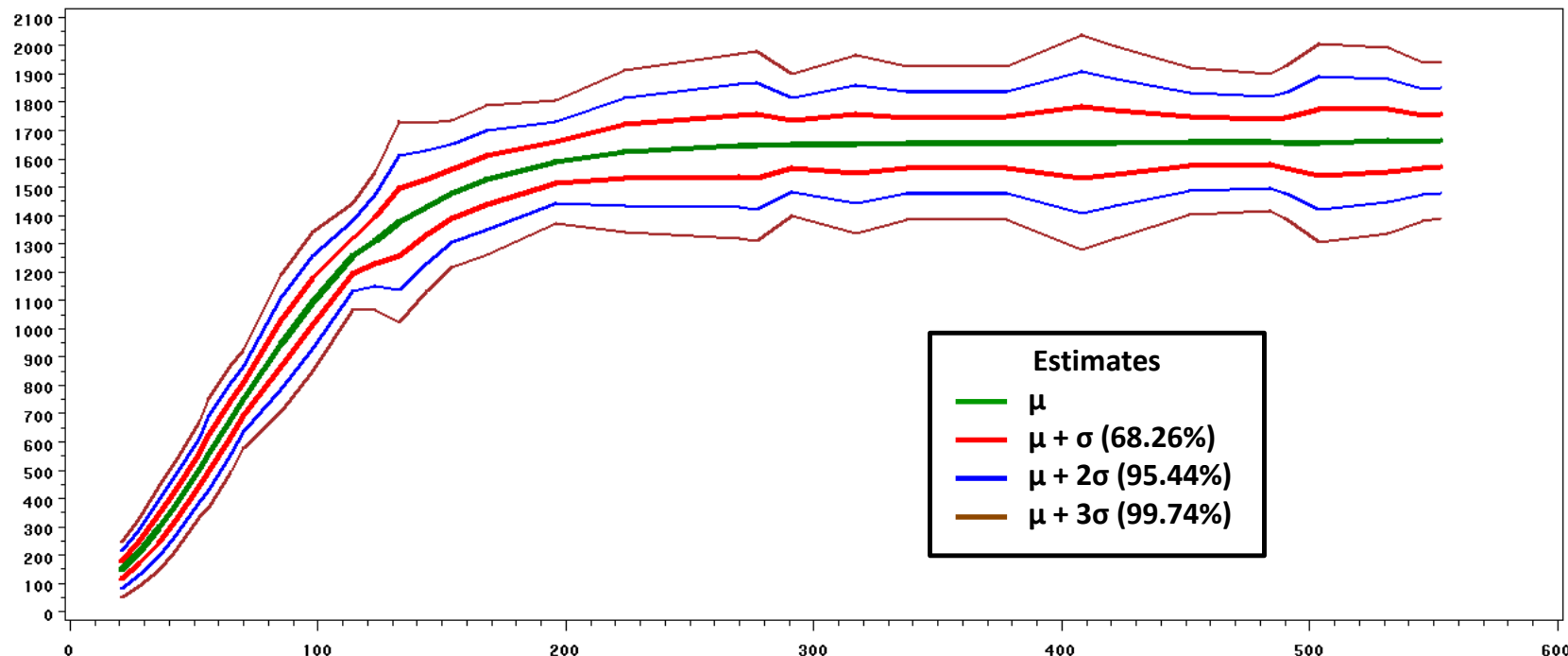
1961



1962 **Figure 1.** Growth curves of Lohman LSL birds
1963 Estimated by the models (++ : weight estimated by the model, ** : Actual weight), Axis y: weight (g). Axis x: age (days): Non
1964 linear mixed model of Gompertz (A), Non linear mixed model of Richards (B) and Non linear mixed model of Von Bertalanffy
1965 (C). Projected growth curve by the Gompertz model for Lohmann LSL hens under the University of Antioquia production

1966 system (D) (—: estimated upper and lower limit; ——: average estimated data; —: average actual data; —: actual
1967 data lower and upper limits).

1968



1969
1970 **Figure 2.** Projected growth curve of Lohmann LSL hens using the Gompertz model based on population deviations, for
1971 the production system of the University of Antioquia.
1972 Axis y: weight (g). Axis x: age (days). (μ = Mean, and σ = standard deviation). BW: body weight.

1973

1974 Capítulo 2. Modelación del crecimiento de pollitas Lohmann LSL con 1975 redes neuronales y modelos de regresión no lineal.

1976

1977 Este artículo obedece al desarrollo de los objetivos específicos:

- Establecer el modelo que mejor ajusta la curva de crecimiento y el desarrollo del ave de postura.
 - Diseñar y evaluar un sistema de información de apoyo a la toma de decisiones para sistemas de producción avícola de huevo comercial.

1982

1983 En este artículo contrastar los modelos no lineales y no lineales mixtos probados
1984 en el capítulo uno con las redes neuronales para identificar el modelo que ajuste
1985 la curva de crecimiento de las aves bajo las condiciones del Sistema de
1986 producción de la Hacienda la Montaña de la Universidad de Antioquia. La
1987 incursión en el uso de redes neuronales permitirá su inclusión en los modelos de
1988 predicción del crecimiento y la producción de huevos en aves comerciales.
1989 Además, servirá como introducción a la definición de modelos de fácil utilización
1990 y ajuste para la construcción del sistema de apoyo a la toma de decisiones en
1991 avicultura.

1992

1993

1994 Publicado en Revista MVZ de Córdoba 18(3):3861-3867, 2013. ISSN: 0122-0268.

1996 Link: <http://apps.unicordoba.edu.co/revistas/revistamvz/183/v18n3a16.pdf>

1997 EI

1998

1999

Modelación del crecimiento de pollitas Lohmann LSL con redes neuronales y modelos de regresión no lineal

Modeling of growth in Lohmann LSL pullets with neural networks and nonlinear regression models

Luis Galeano-Vasco,* M.Sc, Mario Cerón-Muñoz, Ph.D.

Universidad de Antioquia, Facultad de Ciencias Agrarias, Grupo Investigación Genética, Mejoramiento y Modelación Animal, A.A. 1226, Medellín, Colombia. *Correspondencia: lf.galeano.vasco@gmail.com

Recibido: Abril de 2012; Aceptado: Febrero de 2013.

RESUMEN

Objetivo. Modelar la curva del crecimiento de aves de la línea Lohmann LSL utilizando modelos no lineales (MNL), no lineales mixtos (MNLM) y redes neuronales artificiales (RNA). **Materiales y métodos.** Periódicamente se pesaron 33 aves en promedio, desde el día 21 al 196 de vida para un total de 558 registros individuales de peso. En el ajuste de la curva de crecimiento se utilizaron los modelos: no lineal de Von Bertalanffy (MNL), no lineal Mixto de Von Bertalanffy (MNLM) y redes neuronales artificiales (RNA). Los modelos se compararon con coeficiente de correlación y medidas de presición cuadrado medio del error (CME), desviación media absoluta (MAD) y porcentaje de la media absoluta del error (MAPE). **Resultados.** Los valores de correlación entre los datos reales y estimados, fueron 0.999, 0.990 y 0.986 para MNLM, RNA y MNL respectivamente. El modelo más preciso con base en los criterios MAPE, MAD y CME fue el MNLM, seguido por la RNA. La grafica de predicción generada la RNA es similar a la del MNLM. La RNA presentó un desempeño superior al MLN. **Conclusiones.** El mejor modelo para la predicción de curvas de crecimiento de aves comerciales de la línea Lohmann LSL hasta los 196 días de edad, con múltiples mediciones por animal en el tiempo, fue el MNLM. La RNA presentó un desempeño superior al MNL.

Palabras clave: Crecimiento, modelo no lineal, modelo no lineal mixto, redes neuronales artificiales (Fuente: MeSH).

ABSTRACT

Objective. Modeling the pullet growth curve of the Lohmann LSL line, by using nonlinear model (MNL), nonlinear mixed model (MNLM) and artificial neural networks (ANN). **Materials and methods.** An average of 33 birds, were weighed from day 21 to 196 of life for 558 individual weight records. To adjust the growth curve the following models were used: nonlinear Von Bertalanffy (MNL), nonlinear mixed Von Bertalanffy (MNLM) and artificial neural networks (RNA). The models were compared with a correlation coefficient and precision measurements: mean square error (MSE), Mean Absolute Deviation (MAD) and the mean absolute percentage error (MAPE). **Results.** Correlation values, between actual and estimated data, were 0.999, 0.990 and 0.986 for MNLM, RNA and MNL respectively. The most accurate model based on the MAPE, MAD and CME criteria was MNLM followed by RNA. The prediction graph for RNA was similar to MNLM. The RNA performance was higher than MNL. **Conclusions.** The best model for the prediction of growth curves of commercial Lohmann LSL birds to 196 days of age, was the MNLM, with multiple measurements per animal at the time. RNA performance was higher MNL.

Key words: Connectionist Models, growth, Non-linear Models, nonlinear mixed effect model (Source: MeSH).

INTRODUCCIÓN

El rendimiento productivo de las aves de corral en la producción de huevo comercial, está asociado al desarrollo óseo, muscular y reproductivo alcanzado durante la fase de cría y levante (1, 2). En este periodo el objetivo del avicultor es obtener lotes de animales con un peso y uniformidad acorde a las exigencias de la casa genética, para alcanzar la madurez sexual a la edad óptima para expresar todo su potencial productivo (3).

El desarrollo del ave en la etapa de cría y levante está condicionado por factores ambientales (temperatura, humedad relativa, velocidad del viento y luminosidad), de manejo, nutricionales, genéticos y de instalaciones (4, 5), entre otros. La medición, caracterización y modelación de estos factores favorece la implementación de acciones preventivas y correctivas tendientes a ofrecer a los animales un ambiente confortable, disminuyendo así las pérdidas productivas ocasionadas por los cambios en el comportamiento y gastos energéticos del metabolismo en respuesta a eventos o factores causantes de stress de las aves (6,7).

En tal sentido, para la descripción ajuste y predicción de la curva de crecimiento en aves se han utilizado las funciones de Brody (8), Gompertz (9), Logística (10), Richards (11), Von Bertalanffy (12), modelos con la inclusión de algoritmos genéticos (13) y las RNA (14), entre otros.

La principal diferencia entre los MNL y MNLM es la inclusión de efectos aleatorios con el fin de explicar parte del error total a partir de la variabilidad individual. Por tal motivo los MNLM generan estimaciones que representan con más fidelidad el comportamiento de variables medidas en el tiempo al cuantificar la variación dentro y entre los individuos. El resultado final de un MNLM son los efectos fijos con los valores esperados y los efectos mixtos con la varianza y la covarianza de las observaciones (15).

Autores como Ahmadi et al (16) y Roush (14) han comparado la capacidad de ajuste de las RNA con otros modelos usando datos de crecimiento de pollos de engorde, encontrando que las RNA son más fáciles de usar y más eficientes; además como no tienen una ecuación prediseñada tienen la posibilidad de trabajar con datos que tengan "ruido" y así maximizar su poder de ajuste. En otra evaluación Yee (17), modelando el crecimiento de ovejas, afirmó que las RNA fueron menos influenciada por la variabilidad longitudinal en los datos lo que le da superioridad

ante otros modelos por combinar la exactitud y precisión en el ajuste de la curva.

Otro aspecto es que son RNA son técnicas de distribución libre o no paramétricas, admitiendo la incorporación de todo tipo de datos independientemente del cumplimiento de los supuestos teóricos relativos a las técnicas estadísticas (normalidad, homocedasticidad, independencia, etc.) (18,19). Pero lo más relevante de las RNA radica en su capacidad de aprender y reestructurarse a sí misma, convirtiéndola en un modelo que está en constante adaptación (20).

En este estudio se comparó la capacidad para modelar la curva de crecimiento (peso en gramos) de las redes neuronales, modelos no lineales y modelos no lineales mixtos. Este análisis se realizó como punto de partida para la construcción de un modelo basado en RNA que incorpore un número mayor de variables de entrada tales como: condiciones ambientales, genéticas, de manejo y nutricionales, entre otras; usadas para modelar la curva de crecimiento de aves destinadas a la producción de huevo comercial.

MATERIALES Y MÉTODOS

Tipo de estudio. Estudio longitudinal con diseño de medidas repetidas en el tiempo, donde la variable dependiente (peso del ave) es evaluada en función del tiempo (edad del ave) para cada individuo.

Sitio de estudio. La información utilizada para la modelación procede de un lote de aves de la Hacienda La Montaña, propiedad de la Universidad de Antioquia, localizada en el municipio de San Pedro de Los Milagros (Antioquia) a los 6° 19' 19'' de latitud norte y a 1° 37' 40'' de longitud occidental. Con altura de 2.350 m.s.n.m. y temperatura promedio de 15°C (máxima 22°C y mínima 7°C).

Muestra. Para la realización de la evaluación del crecimiento se utilizaron 100 aves de la línea Lohmann LSL seleccionadas al azar de un lote de gallinas ponedoras de huevo comercial.

Recolección de datos. La muestra inicial fue de 100 aves, las cuales el día 21 de vida fueron marcadas y pesadas. Desde la fecha de inicio de la evaluación hasta la edad de 196 días, las aves fueron evaluadas por 17 veces (cada 11±6 días). Las pollas terminaron su fase de cría y

levantes en piso el día 112, durante este periodo se recapturaron 26 aves en promedio en las 11 mediciones realizadas. A partir del traslado a las jaulas hasta cumplir 196 días de edad 35 aves fueron pesadas 6 veces. Los 65 animales faltantes no se encontraron al momento del traslado debido a pérdidas de las etiquetas de marcado en cría y levante o muerte. En total se obtuvieron 558 datos de pesaje para el ajuste de los modelos. Durante todo el proceso las aves recibieron alimento y agua fresca *ad libitum*, con base en los criterios propuestos por la línea genética y los requerimientos nutricionales propios del sistema de cría y levante en piso.

Análisis estadístico. Para el entrenamiento de la red se utilizaron 446 datos de pesaje (80%). La estructura de la neurona se basó en el perceptrón multicapa, con una neurona de entrada (edad del ave en días), seis neuronas en la capa oculta y una neurona de salida (peso del ave g.). La función de activación de las neuronas ocultas fue:

$$f(x) = \text{tansig}(x) = \left(\frac{2}{1 + e^{-2x}} \right) - 1$$

La RNA se programó para que la red pudiese generar relaciones lineales con la neurona de salida (linout=TRUE), con la posibilidad de crear conexiones directas entre la neurona de entrada y de salida (skip=TRUE) y con un mínimo de 1000 iteraciones (miniter=1000). La elección de estos parámetros fue llevada a cabo de forma heurística a través de ensayos pilotos en simulaciones previas.

Para la selección de los modelos estadísticos se realizaron ensayos previos en los cuales se comparó la capacidad de ajuste de los modelos Logístico, Brody, Richards, Gompertz y Von Bertalanffy, siendo este último el de mejor desempeño hasta los 196 días de edad del ave.

El modelo no lineal Von Bertalanffy (12) utilizado para el ajuste de la curva de crecimiento,

$$y_{ij} = \beta_0 + (\beta_1 + \exp^{-\beta_2 + t_{ij}})^3$$

El modelo no lineal Von Bertalanffy utilizado para el análisis de las curvas de crecimiento fue adaptado a modelo mixto con la inclusión de parámetros aleatorios, así:

$$y_{ij} = (\beta_0 + b_{0i}) * (1 - \beta_1 * \exp^{-(\beta_2 + b_{2i}) * t_{ij}})^3 + \epsilon_{ij}$$

Dónde:

y_{ij} = peso corporal (g) de la i -ésima ave en el j -ésimo tiempo;
 t = tiempo, edad en días

β_0 = Componente fijo del modelo y está relacionado con el peso asintótico cuando t tiende a infinito (porcentaje de madurez con respecto al peso adulto);

β_1 = Componente fijo del modelo, el cual se define como el parámetro de ajuste cuando $Y=0$ o $t=0$;
 β_2 = Componente fijo del modelo, entendido como el índice de madurez expresado como una proporción de porcentaje del máximo crecimiento con respecto al peso adulto del ave;

b_{0i} y b_{2i} = efectos aleatorios asociados a los efectos fijos β_0 y β_2 , definen la varianza y la covarianza de las observaciones para cada efecto fijo en la i -ésima ave;

m = hace referencia a la proporción del peso asintótico en que el punto de inflexión se produce;

ϵ_{ij} = Efecto residual asociado a la i -ésima ave en el j -ésimo tiempo

El residuo así como los efectos aleatorios se asumieron como independientes, con distribución normal, media cero y varianza constante.

La precisión de los modelos fue determinada por:

Correlación por el método de Pearson entre los datos observados y los predichos.

Cuadrado medio del error (CME):

$$\text{CME} = \frac{\sum_{i=1}^n |y_i - \hat{y}_i|^2}{n}$$

Porcentaje de la media absoluta del error (MAPE):

$$\text{MAPE} = \frac{\sum_{i=1}^n \left| \frac{y_i - \hat{y}_i}{y_i} \right|}{n} \times 100, \quad (y_i \neq 0)$$

Media de la desviación absoluta (MAD):

$$\text{MAD} = \frac{\sum_{i=1}^n |y_i - \hat{y}_i|}{n}$$

Para el análisis de los datos, programación de los modelos y graficación se utilizaron los paquetes lattice, neuralnet, nlme y lme4 del software R Project (21).

RESULTADOS

El MNL Von Bertalanffy fue altamente significativo ($p < 0.001$) y se ajustó a los datos con los valores, así:

$$\text{Peso}_i = 1861.1 * (1 - 0.8131 * \exp^{-0.0162 * t_i})^3 + 83.20$$

El MNLM Von Bertalanffy, quedó estructurado con los parámetros estimados con efecto altamente significativo ($p < 0.001$), así:

$$\text{Peso}_h = (1804.41 + (\sigma^2 = 9.4653)) \cdot (1 - 0.8144 \cdot \exp^{(-0.01687 + (\sigma^2 = 0.001609) \cdot \text{dia})^2} + 31.99$$

Los disposición final de la RNA aparece en la figura 1, donde se aprecian 19 parámetros estimados por la red (12 pesos de interconexión entre neuronas y 7 valores umbral).

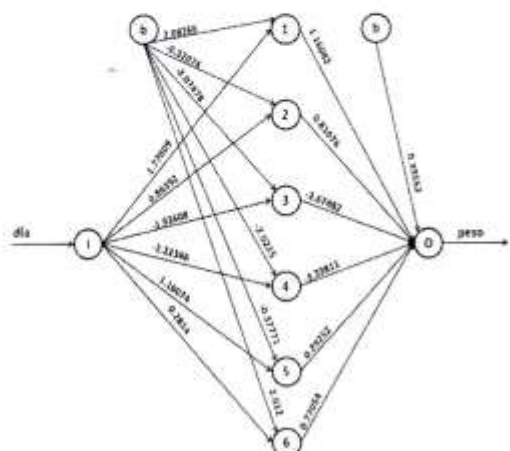


Figura 1. Estructura de la red neuronal: neurona de entrada (1) para la edad del ave en días, seis neuronas ocultas (1-6), dos neuronas de umbral (b) y una neurona de salida (g) que estima el peso del ave.

En la tabla 1 se puede observar los valores de los criterios de validación y comparación de los modelos utilizados en la descripción del crecimiento de aves de la línea Lohmann LSL. El CME penaliza los modelos con mayores errores de pronóstico ya que eleva cada uno al cuadrado. El MAPE calcula los errores de pronóstico en términos de porcentaje y no de cantidades. El objetivo es obtener modelos con valores de MAPE cercanos a cero, en el caso de valores mayores a cero el modelo está subestimando los datos, mientras que valores inferiores a cero dan a entender que el modelo tiende a sobreestimar los datos. El MAD arroja el promedio de los valores absolutos de los errores. El modelo de mejor ajuste ofrecerá menores valores de CME MAPE y MAD (22).

Tabla 1. Criterios de validación y comparación de los modelos utilizados en la descripción del crecimiento de aves de la línea Lohmann LSL.

	MAPE	MAD	CME	Correlación*
MNLM	1.964	11.371	312.61	0.999
RNA	7.739	56.284	4930.04	0.990
MNL	8.190	65.317	6921.74	0.986

*Correlación por el método de Pearson entre el valor observado y el estimado por el modelo. Los tres modelos presentaron efecto altamente significativo ($p < 0.001$) para los valores de correlación.

El MNLM presentó los menores valores de MAPE, MAD, CME y de correlación, seguido por los modelos RNA y MNL. Los tres modelos presentaron valores de correlación superiores al 0.98.

Las curvas de crecimiento ajustadas por los modelos MNL, MNLM y RNA para aves de la línea Lohmann LSL aparecen en la figura 2. Se puede ver que la linea media de predicción del MNLM y RNA tienen una forma similar, logrando ajustar la disminución en la tasa de crecimiento entre los días 110 y 140, periodo que sobreestimó el MNL.

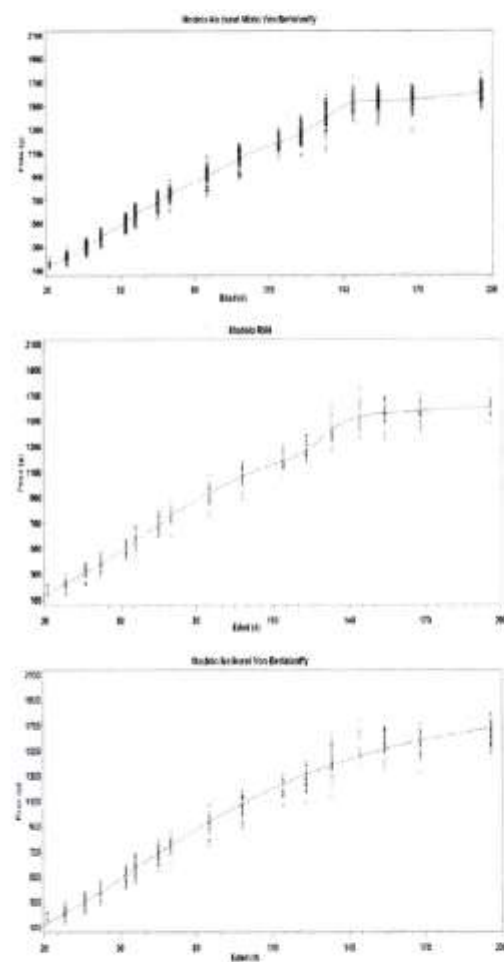


Figura 2. Curvas de crecimiento estimadas por los modelos RNA, MNLM y MNL para aves de la línea Lohmann LSL. (○, — = Peso estimado por el modelo, *** = Peso real).

Los tres modelos presentaron problemas para ajustar el inicio de la curva, donde el valor estimado fue menor al valor real, lo cual se aprecia en los gráficos de distribución de residuos (Figura 3).

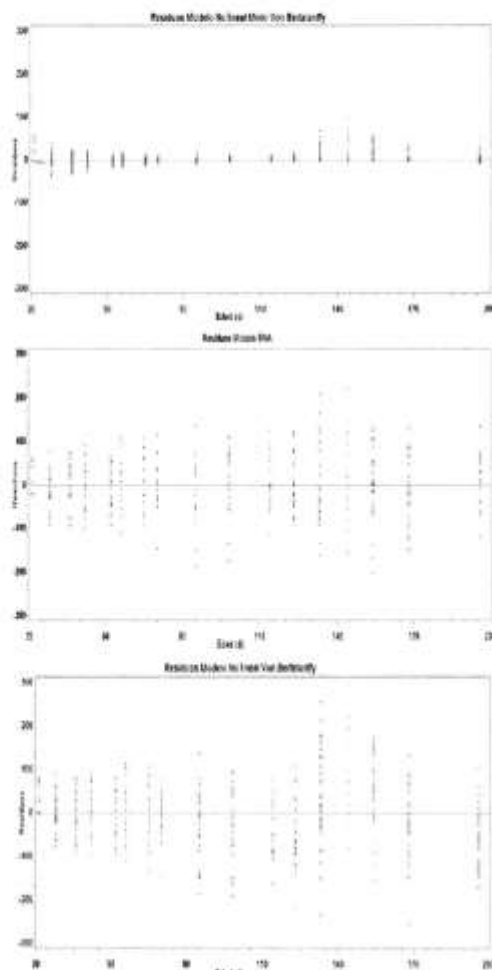


Figura 3. Distribución de residuales de los modelos utilizados en la descripción del crecimiento de aves de la línea Lohmann LSL.

El MNLM subestima los datos en 9 de las 17 mediciones, solo del día 28 al 70 realiza un ajuste óptimo. La RNA, a excepción de la medición inicial, distribuye los residuos en similar proporción por encima y debajo de cero para los puntos de medición. El MNL tiene un desempeño de los residuos similar a las RNA, pero en el periodo entre 110 y 140 días sus residuales muestran que subestima los valores ajustados.

DISCUSIÓN

Los modelos estimaron como peso asintótico (β_0) 1861 g. para MNL y de 1804 g. para el MNLM. La tasa de aceleración del crecimiento (β_2) para ambos modelos fue negativa. Con estos parámetros y las derivadas de los modelos podemos estimar la edad a la que el ave llegará a su máximo peso y la edad a la que alcanzará la madurez sexual (50% de producción de huevos), siendo de importancia para la toma de decisiones en la consecución del peso objetivo de las aves en el periodo de cría y levante. En contraste, las RNA entregan un conjunto de parámetros estimados pero no tienen ninguna explicación biológica asociada al evento que se está modelando, en este caso el crecimiento de las aves.

Según los criterios de comparación MAPE, MAD, CME y Correlación el mejor modelo fue el MNLM Von Bertalanffy, el mayor ajuste a los datos reales se logra gracias a la inclusión de los componentes aleatorios (b_0 y b_2), que son las varianzas aportadas por cada individuo al parámetro fijo. Así, el modelo es capaz de estimar el valor medio de la población y adicionarle la variación en el peso que cada individuo aporta en la curva (10).

En comparación con los otros modelos, la RNA presentó mayor facilidad de programación y ejecución, ya que solo es necesaria la variación heurística en el número de neuronas ocultas para lograr el ajuste, mientras que para MNL y MNLM son cuatro (β_0 , β_1 , β_2 y ϵ) y (β_0 , β_1 , β_2 , b_0 , b_2 , rho y ϵ) siete parámetros respectivamente, con los que el investigador debe probar de forma consecutiva hasta lograr el ajuste del modelo; por lo que la velocidad y facilidad de ajuste del MNL y MNLM dependen directamente de la calidad de los parámetros iniciales, aspecto también expresado por Roush et al (14).

La disminución en la tasa de crecimiento observada entre los días 114 y 123 que el MNLM y la RNA lograron ajustar (Figura 2), está asociada con la edad de traslado a los 112 días, periodo en el cual las aves disminuyen su consumo de alimento y agua como consecuencia de la adaptación del ave al nuevo entorno social, instalaciones y equipos del galpón con las jaulas de producción. Para evitar esta disminución en el peso, se recomienda llevar las aves a la edad de traslado con un 10% más de peso al recomendado por la línea, evitando retrasos en el crecimiento del ave y un inicio de puesta tardío (1,2).

En el análisis de las gráficas de residuos se puede apreciar como los modelos sub-estimaron el crecimiento del ave al día 144. Este cambio en

la curva, que no fue ajustado por los modelos, puede estar asociado al inicio de la producción, que en promedio se dio entre los días 126 y 154 de vida.

Para el cumplimiento del objetivo de estimar de manera más precisa los cambios en el peso del ave en la fase de cría y levante, es necesario la inclusión de nuevas variables tales como iluminación (luxes), cantidad de nutrientes consumidos, volumen de agua ingerida, temperatura del agua, factores ambientales (temperatura y humedad relativa), genética y actividades de manejo, entre otras. La incorporación de todos los posibles factores que tienen efecto en el crecimiento del ave se puede hacer con las RNA, ya que de los tres es el único modelo que posibilita el desarrollo de estas modificaciones en su estructura.

En conclusión, el mejor modelo para la predicción de curvas de crecimiento fue el MNLM de Von Bertalanffy, las redes neuronales artificiales (RNA) presentaron un desempeño similar con el MNL, con la ventaja de la facilidad en su programación, rapidez en su ajuste y además, con la posibilidad de ampliar las características de la red con la inclusión de nuevas variables que influyen en el crecimiento de las aves, siendo las redes neuronales otra opción viable para la modelación en producción animal.

Agradecimientos

Universidad de Antioquia (CODI Sostenibilidad 2013 (Código E01727) y Mediana cuantia (Código E01533) and Departamento Administrativo de Ciencia, Tecnología e Innovación (COLCIENCIAS).

REFERENCIAS

- Reddish JM, Nestor KE, Lilburn MS. Effect of selection for growth on onset of sexual maturity in randombred and growth-selected lines of Japanese quail. *Poult Sci* 2003; 82:187-191.
- Amira E El-Dlebshany. The relationship between age at sexual maturity and some productive traits in local chickens strain. *Egypt Poult Sci* 2008; 28(4):1253-1263.
- Dunnington EA, Siegel PB. Age and body weight at sexual maturity in female White Leghorn. *Poult Sci* 1984; 63:828-830.
- Vo KV, Boone MA, Hughes BL, Knechtges JF. Effects of ambient temperature on sexual maturity. *Poult Sci* 1980; 59(11):2532-2537.
- Aggrey SE. Comparison of three nonlinear and spline regression models for describing chicken growth curves. *Poult Sci* 2002; 81:1782-1788.
- Aguilar C, Cortés H, Allende R. Los modelos de simulación. Una herramienta de apoyo a la gestión pecuaria. *Arch Latinoam Prod Anim* 2002; 10(3): 226-231.
- Heywang BW. Effect of cooling houses for growing chickens during hot weather. *Poult Sci* 1947; 26(1):20-24.
- Brody S. Bioenergetics and growth. New York: Reinhold Publishing Corporation; 1945.
- Laird AK, Tyler SA, Barton AD. Dynamics of normal growth. *Growth* 1965; 29:233-248.
- Aggrey SE. Logistic nonlinear mixed effects model for estimating growth parameters. *Poult Sci* 2009; 88:276-280.
- Richards FJ. A flexible growth function for empirical use. *J Exp Bot* 1959; 10:290-300.
- Von Bertalanffy L. A quantitative theory of organic growth. *Hum Biol* 1938; 10:181-213.
- Roush WB, Branton SL. A Comparison of fitting growth models with a genetic algorithm and nonlinear regression. *Poult Sci* 2005; 84(3):494-502.
- Roush WB, Dozier III WA, y Branton SL. Comparison of gompertz and neural network models of broiler growth. *Poult Sci* 2006; 85:794-797.
- Wang Z, Zuidhof MJ. Estimation of growth parameters using a nonlinear mixed gompertz model. *Poult Sci* 2004; 83:847-852.
- Ahmadi H, Golian A. Neural network model for egg production curve. *J Anim Vet Adv* 2008; 7(9):1168-1170.
- Yee D, Prior MG, Florence LZ. Development of predictive models of laboratory animal growth using artificial neural networks. *Comput Appl Biosci* 1993; 9(5):517-22.

Galeano-Vasco - Modelación del crecimiento de pollitas con redes neuronales 3867

18. Pitarque A, Roy JF, Ruiz JC. Redes neurales vs modelos estadísticos: Simulaciones sobre tareas de predicción y clasificación. *Psicothema* 1998; 19:387-400.
19. Savegnago RP, Nunes BN, Caetano SL, Ferrando AS, Schmidt GS, Ledur MS, Munari DP. Comparison of logistic and neural network models to fit to the egg production curve of White Leghorn hens. *Poult Sci* 2011; 2011 90:705-711.
20. Pitarque A, Ruiz JC, Roy JF. 2000. Las redes neuronales como herramientas estadísticas no paramétricas de clasificación. *Psicothema* 2000; 12(Supl 2):459-463.
21. R Development Core Team. R: A language and environment for statistical computing. R Foundation for Statistical Computing, Vienna, Austria. 2008. ISBN 3-900051-07-0; (fecha de acceso 1 de enero de 2013), URL <http://www.R-project.org>.
22. Oberstone J. Management Science: Concepts, Insights, and Applications. New York: West Publ. Co; 1990.

2008

2009 **Capítulo 3. Uso del modelo de distribución con retardo para predecir la producción de huevos en gallinas ponedoras**

2011

2012 Este artículo obedece al desarrollo de los objetivos específicos:

- 2013 • Establecer el modelo que mejor ajusta la curva del ciclo productivo del ave de postura.
- 2014 • Diseñar y evaluar un sistema de información de apoyo a la toma de decisiones para sistemas de producción avícola de huevo comercial.

2017

2018 Con este documento se logró avanzar en la identificación del modelo Lokhorst y Delay como candidatos para su uso en la modelación de la curva de producción de huevos para la herramienta informática en desarrollo.

2021

2022 Publicado en la Revista Colombiana de Ciencias Pecuarias 2013; 26:270-279.

2023 Link: <http://rccp.udea.edu.co/index.php/ojs/article/viewFile/906/1009>

2024

2025 El formato y lineamientos de la revista Colombiana de Ciencias Pecuarias aparecen en el [Anexo 4](#).

Using the distributed-delay model to predict egg production in laying hens^a

Uso del modelo de distribución con retardo para predecir la producción de huevos en gallinas ponedoras

Uso do modelo de distribuição com atraso para prever a produção de ovos de galinhas poedeiras

Luis Galcano-Vasco^{1*}, MSc; Mario Cerón-Muñoz¹, PhD; Daniel Rodríguez², MSc; José M Cotes¹, PhD.

¹Grupo de investigación en Genética, Mejoramiento y Modelación Animal (GaMMA), Facultad de Ciencias Agrarias, Universidad de Antioquia UdeA, Calle 70 No. 52-21, Medellín, Colombia.

²Universidad Militar Nueva Granada, Facultad de Ciencias Básicas, Carrera 11 # 101-80, Bogotá

^aUniversidad Nacional de Colombia, Departamento de Ciencias Agropecuarias, Calle 59^a # 63-20, Bloque 11, Oficina 101-7.

(Received: June 14, 2012; accepted: May 27, 2013)

Summary

Background: using mathematical models to characterize and estimate egg production curves is of great importance for assessing the productive efficiency of hens. These models can be used in identifying and modeling real-time factors affecting animal production and implementing corrective measures to minimize its effect. **Objective:** we compared the ability to model and adjust the egg production curve in hens using the distributed-Delay model versus the Adams-Bell and Lokhorst models. **Methods:** 225 records of weekly production of Hy Line Brown (62 data), Lohmann LSL (54 data), Isa Brown (54 data), and Lohmann Brown (55 data) were used. All analyzed flocks were raised at Hacienda La Montaña Farm, owned and managed by the University of Antioquia (Colombia). Models used were Adams-Bell, Lokhorst and Delay; all were validated and contrasted by Durbin-Watson statistic, MAD, determination (R^2) and correlation (r) coefficients. **Results:** the Delay and Lokhorst models resulted in R^2 values greater than 0.8 and r -values greater than 0.9 ($p < 0.01$). For the Lohmann Brown curve, the Adams-Bell model had the lowest R^2 value (0.81), while the Lokhorst and Delay models resulted in the highest R^2 value for the Isa Brown curve (1.0). The Delay model fit the curve (28 and 40 for the k parameter; 63 and 64 for the DEL parameter). The Hy Line Brown curve presented a high number of irregularities, generating great difficulty for adjustment with the evaluated models. **Conclusion:** Delay and Lokhorst models are efficient for predicting egg production curve of the bird strains tested. Unlike the Adams-Bell and Lokhorst models, goodness of fit of the Delay model could be increased by including physiological relationships and supply/demand of resources as input variables, which would allow the model to fit the fluctuations observed in the production curves.

Key words: mathematical model, modeling, regression analysis.

© To cite this article: Galcano-Vasco, L., Cerón-Muñoz M., Rodríguez D., Cotes JM. Using the distributed-delay model to predict egg production in laying hens. Rev Colomb Cienc Pecu 2013; 26:270-279.

* Corresponding author: Luis Fernando Galcano-Vasco. Grupo de investigación en Genética, Mejoramiento y Modelación Animal (GaMMA), Facultad de Ciencias Agrarias, Universidad de Antioquia UdeA, Calle 70 No. 52-21, Medellín, Colombia. Email: lf.galcano.vasco@gmail.com

Resumen

Antecedentes: los modelos matemáticos permiten caracterizar y estimar las curvas de producción de huevos, siendo de gran importancia para la evaluación de la eficiencia productiva de las gallinas, posibilitando identificar factores que afecten la producción animal y aplicar correctivos para minimizar su efecto. **Objetivo:** se comparó la capacidad para ajustar la curva de producción de huevos utilizando el modelo de distribución con retraso (Delay) y los modelos Adams-Bell y Lokhorst. **Métodos:** se utilizaron 225 datos de registros semanales de producción de cuatro líneas: Hy Line Brown (62 datos), Lohmann LSL (54 datos), Isa Brown (54 datos), y Lohmann Brown (55 datos). Los lotes analizados pertenecieron a la Hacienda La Montaña, de la Universidad de Antioquia (Colombia). Los modelos fueron validados y contrastados con MAD, el coeficiente de determinación (R^2) y de correlación (r), y el estadístico Durbin-Watson. **Resultados:** los modelos Delay y Lokhorst presentaron valores de R^2 superiores a 0,8 y valores de r superiores a 0,9 ($p<0,01$). El modelo Adams-Bell para la curva Lohmann Brown obtuvo el menor valor de r (0,81), mientras que los modelos Delay y Lokhorst presentaron el valor más alto de R^2 (1,0) para la curva de Isa Brown. El modelo Delay se ajustó a la curva, con valores de 28 y 40 para el parámetro k , y de 63 y 64 para el parámetro DEL. La curva de la línea Hy Line Brown presentó gran cantidad de irregularidades (altibajos), generando mayor dificultad para ser ajustada con los modelos evaluados. **Conclusión:** los modelos Delay y Lokhorst son eficientes para predecir la curva de producción de huevos de aves de las estirpes probadas. La bondad de ajuste del modelo Delay podría aumentarse mediante la inclusión de otras variables de entrada tales como las relaciones fisiológicas, relaciones de oferta y demanda de recursos, y variables ambientales, posibilitando que el modelo Delay se ajuste a las fluctuaciones de las curvas.

Palabras clave: análisis de regresión, modelación, modelo matemático.

Resumo

Antecedentes: os modelos matemáticos para caracterizar e estimar curvas de produção de ovos são de grande importância para avaliar a eficiência produtiva de galinhas poedeiras. Estes possibilitam identificar os fatores que afetam a produção animal e aplicar os corretivos para minimizar seus efeitos. **Objetivo:** comparar a capacidade de ajustar a curva de produção de ovos utilizando o modelo de distribuição com atraso (Delay) e os modelos Adams-Bell e Lokhorst. **Métodos:** foram utilizados 225 dados de registros de produção semanal de quatro linhas de galinhas poedeiras: Hy Line Brown (62 dados), Lohmann LSL (54 dados), Isa Brown (54 dados) e Lohmann Brown (55 dados). Os lotes testados pertenciam à Fazenda La Montaña da Universidade de Antioquia (Colômbia). Os modelos foram validados e comparados com MAD, coeficiente de determinação (R^2) e de correlação (r), e estatística de Durbin-Watson. **Resultados:** os modelos Delay e Lokhorst tiveram valores de R^2 superiores a 0,8 e de r superiores a 0,9 ($p<0,01$). O modelo de Adams-Bell para a curva na linha Lohmann Brown teve o menor valor de r (0,81), enquanto os modelos Delay e Lokhorst apresentaram o maior valor de R^2 (1,0) para a curva na linha Isa Brown. O modelo de atraso foi ajustado para a curva, com valores de 28 e 40 para o parâmetro k , e 63 e 64 para o parâmetro DEL. A curva da linha Hy line Brown apresentou muitas irregularidades (solavancos) gerando maior dificuldade para ser ajustada pelos modelos. **Conclusão:** os modelos Delay e Lokhorst são eficientes na previsão de curvas produção de ovos de aves das linhas testadas. A bondade de ajustar com o modelo de atraso pode ser melhorada com a inclusão de variáveis de entrada adicionais, tais como relações fisiológicas, relações de oferta, demanda de recursos e as variáveis ambientais. Permitindo que o modelo Delay ajuste as flutuações da curva.

Palavras chave: análise de regressão, modelação, modelo matemático.

Introduction

The onset of egg production is conditioned by several factors, including sexual maturity, weight, nutritional profile, and environmental conditions such as luminosity (Abad, 2003). The egg-laying curve begins at approximately 18 weeks of age, followed by peak production eight to nine weeks

later, and subsequent persistence, defined as the number of weeks when production is constant post-peak. Next comes the declining phase, which extends until the exit of the batch (Grossman *et al.*, 2000). Some of the factors influencing egg production are body weight (Álvarez and Hocking, 2007), environmental conditions (i.e., temperature and humidity) (Abiodun *et al.*, 2006; Hester,

2005) especially thermoneutral or comfort zone for chickens (Rozenboim, 2007; Mashaly *et al.*, 2004), bacterial diseases (Peebles *et al.*, 2006), viral diseases (Sun *et al.*, 2009), respiratory or intestinal problems (Yegani *et al.*, 2008), and nutritional balance (Safaa *et al.*, 2008; Jewers, 1990; Flores, 1994; Gerber, 2006).

The use of mathematical modeling in animal production has allowed farmers and researchers to describe and understand biological processes and prioritize the aims of production research from identifying the study's components to evaluating the response variable's effects.

This mathematical abstraction of biological events helps identify problems and generate solutions without incurring the costs of experimenting or animal manipulation, while decreasing the time to find solutions according to the production system. But the efficiency and accuracy of the simulation depends on the actual knowledge of the system's situations and quality of information incorporated into the model (Bindya, 2010; Spedding, 1988).

The purpose of modeling the production curve in poultry eggs is to achieve a more detailed analysis of the egg production cycle and describe the curve phases and duration (Fialho, 2001). The curve also facilitates the production prediction, the long-term projection of eggs yield, and economic planning of production and decision-making, among others (Yang *et al.*, 1989; Groen *et al.*, 1998; Gavora *et al.*, 1982).

The egg production curve has been modeled using weekly production information (Miyoshi *et al.*, 1996) and logistic functions (Adams and Bell, 1980; Cason and Britton, 1988), polynomial functions (Bell and Adams, 1992), exponential functions (Foster *et al.*, 1987), segmented polynomials (Lokhorst, 1996; Narushin and Takama, 2003), and nonlinear models (Savegnago *et al.*, 2011).

The Adams-Bell and Lokhorst models have been compared to other models, such as the compartmental or McMillan model (McMillan, 1981), based on a logistic growth curve and modified compartmental models, by several researchers (Narushin and

Takama, 2003; Lokhorst, 1996; Cason and Britton, 1988). These studies have concluded that both models have the best fit and suggest that the Adams-Bell and Lokhorst models can be used for describing and predicting the egg production curve (Lokhorst, 1996; Narushin and Takama, 2003; McMillan, 1981; Cason and Britton, 1988).

The Delay model has been successfully used to simulate population dynamics in various living organisms (Gutierrez *et al.*, 1984; Gutierrez *et al.*, 1988a; Gutierrez *et al.*, 1988b; Gutierrez *et al.*, 1991; Wermelinger *et al.*, 1992; D'Oultremont and Gutierrez, 2002). The Delay model, developed by Manetsch (1976) and modified by VanSickle (1977), could be used as an alternative model to predict egg production.

The Delay model can estimate the productive performance of a batch of birds by creating a population structure based on the number of individuals, age, or even changes in production, and by including therates of production decline (mortality) and increase (fecundity). Variations in production rates generate continuous entry and exit of individuals from each of the subsystem states. These variations are associated with the animal's physiological condition, changes in supply and demand of resources, and environmental factors. Therefore, the Delay model, structured by age, can be used to model egg production by considering eggs as the individuals in the system, and rate change in the number of eggs produced during a time period as the substages flow.

The aim of this study was to compare the Delay model with the Lokhorst (1996) and Adams-Bell (1980) mathematical models for their ability to model the egg production curve of Hy line Brown, Lohmann LSL, Isa Brown, and Lohmann Brownhen strains.

Materials and methods

Data

Weekly yield information, composed of 255 data (%), was used to fit the production curves. The weekly egg production rates (%) were calculated

as the ratio between the number of eggs laid per week and the average number of hens per week. For comparing the capacity of model fit, four curves of egg production with different shapes such as age at start of egg production, increase rate of the curve, maximum number of eggs, length after the peak of production, and total weeks of production were selected. The strains selected were: Hy Line Brown (HB), Lohmann LSL (LSL), Isa Brown (IB), and Lohmann Brown (LB). All birds were raised in the University of Antioquia's (Colombia) Hacienda La Montaña Farm, located at 6°19'19"N and 1°37'40"W, at 2,350 m above sea level, with 15 °C average temperature (22 °C maximum and 7 °C minimum temperature).

During the production period hens were housed in cages, ensuring 750 cm² per bird. Hens were fed according with the dietary recommendations of each line. Water was supplied *ad libitum*, and the environmental conditions (temperature and humidity) were not controlled.

Models

The Delay and the Adams-Bell (1980) and Lokhorst (1996) models were used for modeling the laying behavior of hens. According to Narushin (2003), Adams-Bell and Lokhorst can be used to accurately describe daily egg production.

According to Gutierrez (1996), the Delay model can be stated as:

$$\begin{aligned} r_1(t + \Delta t) &= r_1 + \Delta t \frac{k}{DEL} [r_0(t) - r_1(t)] - \mu_1 r_1 \\ r_2(t + \Delta t) &= r_2 + \Delta t \frac{k}{DEL} [r_1(t) - r_2(t)] - \mu_2 r_2 \\ &\vdots \\ r_q(t + \Delta t) &= r_q + \Delta t \frac{k}{DEL} [r_{q-1}(t) - r_q(t)] - \mu_q r_q \end{aligned}$$

Where: $r_0(t)$ is the number of eggs at the beginning of the production phase of the flock at time t . Now, $r_q(t)$ is the number of eggs produced at the end of the system at time t . The duration of each substate is Δt . Variables $r_1(t)$, $r_2(t)$, ..., $r_q(t)$

are termed "intermediate production rates" of the model, and refer to the increase in the number of eggs, according to the specific loss rate $\mu_i(t)$, with $i = 1, 2, 3, \dots, q$; where $\mu_i(t)$ takes values between $1 < \mu_i < 1$ for time t . Exchange rates between states are based on the number of laid eggs entering from the previous intermediate flow, and the ones laid towards the end that pass to the next state. The DEL value is defined as the optimum length of the egg production period estimated by the model. The k parameter was obtained from the Erlang frequency distribution (Van Sickel, 1977). The k and DEL values allow the model to more accurately replicate the properties of the process being modeled (Manetsch, 1976).

The Adams-Bell model is shown below (Adams and Bell, 1980):

$$y_i = 100 * \left[\frac{1}{1 + a * b^{t_i}} - c * t_i + d \right] + \varepsilon_i$$

The Lokhorst model is shown below (Lokhorst, 1996):

$$y_i = \frac{100}{1 + a * r^{t_i}} - (b + c * t_i + d * t_i^2) + \varepsilon_i$$

Where: y_i is the production percentage for the i^{th} week. Parameters a and b allow the model to adjust for initiation of production. The time period between the start of production and the peak of the curve is influenced by the r parameter. The weekly post-peak production decline rate (%) is determined by the value of parameter c . The slope of the final decrease is given by factor d . Variable t_i refers to the i^{th} age of the flock (weeks), and ε_i is the residual effect associated with the i^{th} time.

For both models (Adams-Bell and Lokhorst), production was expressed in percentage terms, calculated as the ratio between the number of eggs laid per week and the average number of hens per week. The percentage of eggs was multiplied by a theoretical population of 1000 hens in order to compare the Delay with the mathematical models.

Statistical analysis

The accuracy of the models was determined by:

1. Spearman correlation coefficient (r), which measures the strength of the linear relationship between each model's actual and estimated values. The r coefficient has values between -1 and 1, and values approaching zero show no relationship of dependence between variables. The correlation between actual and predicted number of eggs was performed using the CORR procedure (SAS Institute Inc., Cary, NC, USA) (2004).
2. Determination coefficient (R^2), which describes how well a regression line fits a set of data. R^2 , in percentage values (0-100), is interpreted as the percentage change in the dependent variable due to changes in the independent variable, valuing the causal relationship between the two (explained and explanatory). To calculate the R^2 coefficient for each model a linear regression analysis was performed, with the number of eggs predicted as the dependent variable and the number of eggs observed as the independent variable.
3. Mean Absolute Deviation (MAD), which measures average absolute deviation of forecast from actual values;

$$MAD = \frac{\sum_{i=1}^n |y_i - \hat{y}_i|}{n}$$

Where y_i equals to the observed value at time i , \hat{y}_i equals the estimated value, and n equals the number of observations.

In addition, the Durbin-Watson statistic (DW) was calculated to assess for auto-correlation, using the following equation:

$$DW = \frac{\sum_{t=1}^n (e_t - e_{t-1})^2}{\sum_{t=1}^n e_t^2}$$

Where n is the number of observations, and e_t is the residual value for time t ; while e_{t-1} is the residual value for time $t-1$ (Durbin and Watson, 1951). The SAS 9.1 (SAS Institute Inc., 2004) and Microsoft Excel Solver® (Microsoft, 2010) was used for fit and compared the models.

Results

Egg production parameters of the commercial hen strains used to evaluate model fit appear in the table 1.

Table 1. Egg production of the commercial hen strains used to evaluate model fit.

Line	Maximum production	Initial week	Week maximum yield achieved	Week egg yield ended	Total number of weeks in production
HB	93.36%	19	25	80	63
LSL	96.75%	18	29	71	53
IB	91.21%	18	30	71	54
LB	91.13%	19	23	73	53

Hy Line Brown (HB), Lohmann LSL (LSL), Isa Brown (IB), Lohmann Brown (LB).

For the Delay model, parameter k value for HB was 28, while it was 40 for the other hen strains. Parameter DEL, which expresses the estimated mean duration of the productive period, was between 63 and 64 weeks. The decrease factor allows quantifying the extent to which productivity is steadily reduced after reaching the maximum weekly production, before the fast-decreasing phase

starts (towards the end of the flock). The LSL had the highest decrease rate of productivity, with a daily proportion of 0.00737, which is roughly equivalent to 83 eggs/day/flock, followed by HB, whose rate was 0.004835, corresponding to 45 eggs/day/flock. The lowest rates occurred in LB and IB, corresponding to reductions of 39 and 31 eggs/day/flock, respectively (Table 2).

Table 2. Delay-model parameters for modeling the egg production curve in commercial egg layers.

Line	K	DEL	Decrease Factor*	Decrease (eggs/day)	Pre-laying**
HB	28	63	0.004835	45	2.3
LSL	40	64	0.007357	83	3.2
IB	40	63	0.003307	31	6.3
LB	40	63	0.004042	39	1.6

Hy Line Brown (HB), Lohmann LSL (LSL), Isa Brown (IB) and Lohmann Brown (LB). *Decline rate in post-peak egg production. **Duration (weeks) from production to peak.

For each hen line, the initial phase of rapid increase in productivity was modeled considering some of the initial compartments of the model as a pre-laying period (Table 2). This period was shorter for LSL, followed by LB, and finally by the HB. The longest period was for IB. This pre-laying value generated by the model coincides with the time periods between the week when production started and the week of peak production, presented in table 1 for each hen line.

The values of all the coefficients of determination (R^2) were greater than 0.8, and Spearman correlation (r) values exceed 0.9 in eleven of twelve results (Table 3). The Delay and Lokhorst models had correlation values above 0.9, allowing us to conclude that both are efficient to model all bird strains tested. Delay and Lokhorst models had the highest values of R^2 and minimum values of MAD, except for Isa Brown strain, where the Delay model was exceeded by Lokhorst and Adams-Bell in both criteria.

According to the Durbin Watson (DW) test results in table 4, all models showed positive autocorrelation of residuals with DW values below 2. The ideal DW value is 2 (Grossman, 2000). For the HB flock, the highest DW value was the Delay model (0.64), and for the LSL, IB and LB strains, the highest values of DW were for the Lokhorst model with values of 1.85, 0.84 and 1.47, respectively.

Table 3. Determination coefficient (R^2), Spearman correlation (r) and MAD values for the egg production curve in commercial egg-laying hens fitted with models Delay-Lokhorst and Adams-Bell*.

Hen Strain	Criteria	Model		
		Delay	Lokhorst	Adams-Bell
HB	R^2	0.95	0.88	0.81
	r	0.96	0.94	0.95
	MAD	440.90	410.40	501.19
LSL	R^2	0.93	0.99	0.92
	r	0.99	0.99	0.94
	MAD	160.24	113.46	330.91
IB	R^2	1.00	1.00	0.90
	r	0.95	0.99	0.72
	MAD	289.75	78.24	509.17
LB	R^2	0.84	0.91	0.89
	r	0.93	0.93	0.93
	MAD	224.41	117.03	140.00

Hy Line Brown (HB), Lohmann LSL (LSL), Isa Brown (IB) and Lohmann Brown (LB). *Showed highly significant differences ($p<0.001$) for Spearman correlation values. Spearman's correlation method was used in discrete variables, such as number of eggs.

Table 4. Durbin Watson contrast values of the egg production curve model in commercial hens.

Model	Hen strain			
	HB	LSL	IB	LB
Delay	0.6396**	1.0142	0.749**	0.6303**
Lokhorst	0.2321**	1.8522**	0.8434**	1.4698*
Adams-Bell	0.2588**	1.1214**	0.3181**	0.2582**

Hy Line Brown (HB), Lohmann LSL (LSL), Isa Brown (IB) and Lohmann Brown (LB). **Highly statistically significant ($p<0.01$). *Statistically significant ($p<0.05$).

Discussion

All four flocks exceeded 90% production, an optimal response in commercial egg-laying hens. The production difference was related to the precocity of the LB flock, which reached full production before the other flocks. Another difference is associated with production length, which is determined by management decisions. Production cycle of LSL, IB, and LB lasted 53 weeks on average, while HB averaged 63 weeks (Table 1). Based on these indicators, it can be seen that production curves for the four commercial

strains were different, allowing us to evaluate the ability of the models to fit the data.

Goodness of fit criteria indicated that the models provided a better fit to egg production data; R^2 and r were higher, and MAD was lower, but DW was not always closest to 2.

The DW criteria results can be explained by the time-series data often exhibiting positive autocorrelation, noncompliant with the independence of errors assumption. Therefore a positive error (negative) tends to be followed by another error positive (negative), generating a cyclical pattern.

The calculation of the parameters of Delay model is performed by linear and nonlinear optimization algorithms, from the change in the values of the parameters DEL and k , with the objective function of minimize the sum of the differences between observed and estimated values (error) using Microsoft Solver tool developed for mathematical simulation, optimization, and modeling. For this reason, estimation of the Delay model does not need to check the variance of the disturbance term assumptions (autocorrelated data), which is a functional advantage compared to Lokhorst and Adams-Bell models.

Due to age differences at production onset, maximum number of eggs, and persistence in decay phase of egg production curves, the models showed different performances in each line of birds evaluated. To show this, first the Lokhorst, Adams-Bell, and Delay models were sorted according to R^2 values within each hen strain. The models were sorted as follows: HB (Delay, Lokhorst, and Adams-Bell), IB and LSL (Lokhorst, Delay, and Adams-Bell), and LB (Lokhorst, Adams-Bell, and Delay). After averaging R^2 and r -values of the four

lines evaluated, Lokhorst ranked first ($R^2 = 0.95$, $r = 0.96$), followed by Delay ($R^2 = 0.93$, $r = 0.96$) and finally Adams-Bell ($R^2 = 0.88$, $r = 0.89$). In both analyses, the Lokhorst and Delay models were ranked first or second; these results showed the Delay model performance was similar to Lokhorst in the production curve estimation process of the four lines evaluated, and evidence the effect of each curve on prediction ability of all models.

The prediction of models is shown in figure 1, where the Delay model yielded higher estimated values compared to the recorded data, especially during the post-peak production phase. This model underestimated the starting point of the curve for LB, whereby the MAD value for Delay model was higher than the other models. The model had its best performance in IB and HB curves, especially the best fit in the final production phase of HB line (weeks 49 to 63), compared with the other two models.

The Lokhorst model showed the best fit for LB and LSL curves, accurately describing the increase of the curve, the peak of production, and the downward trend near the end of the curve. However, the model underestimated peak production and failed to predict the irregularities in the HB production curve.

The Adams-Bell model had the best fit in LB strain. However, in the other three lines of hens this model failed to fit the start, the raising phase or peak of egg production curve, and thus achieved the highest MAD values. Regarding the fit flaws of Adams-Bell model, Lokhorst (1996) claims they are due to the assumption of 100% maximum production along with the linear decrease in egg production.

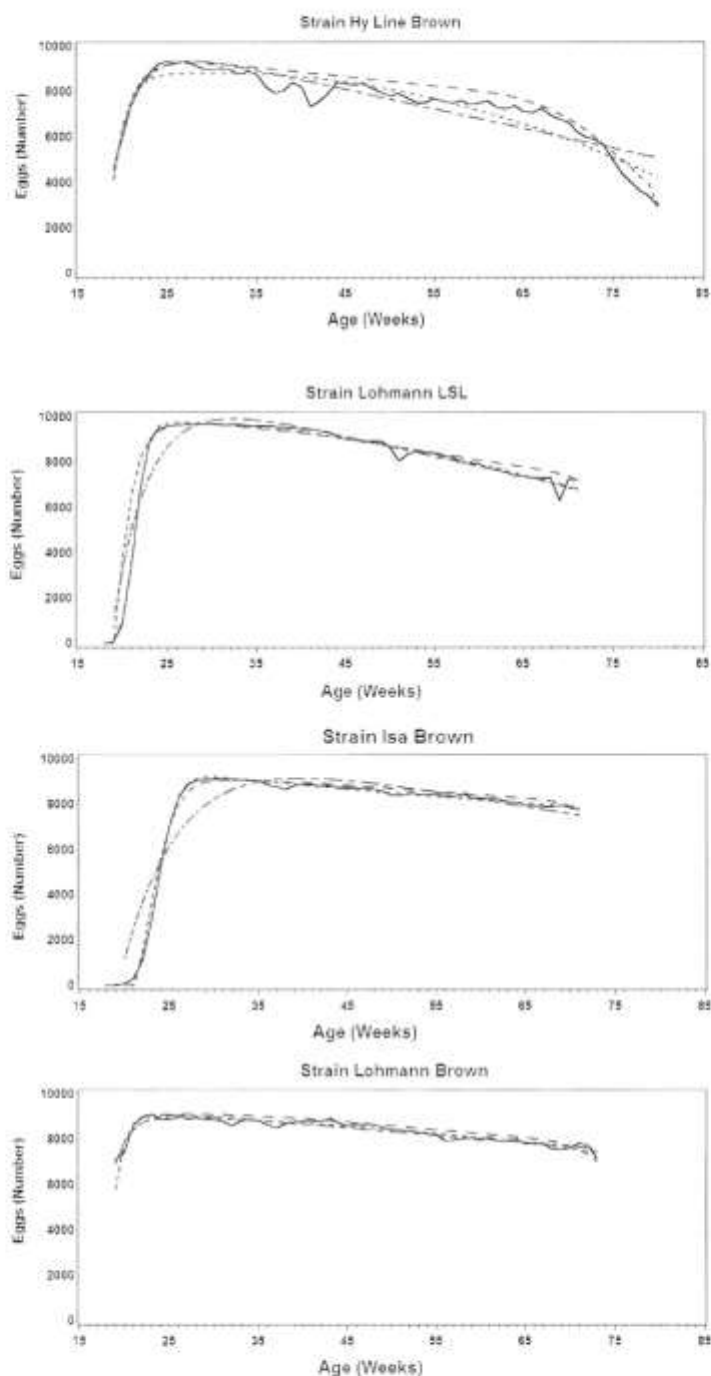


Figure 1. The graphs shows three models for the weekly egg production curves in commercial layers using Dely (---), Lohorst (----), Adams-Bell model (—), and experimental records (—) for Hy Line Brown, Lohmann LSL, Isa Brown, and Lohmann Brown strains.

Despite the good overall performance of all models in estimating number of eggs per week, none of the models were able to reproduce the fluctuations between the maximum and the final production stages in HB strain due to the lack of accurate production fluctuation cause records.

In conclusion, based on the values of r , R^2 and MAD, both Lokhorst and Delay model have similar prediction ability. This indicates there are several models that fit egg production curves of the four lines of birds evaluated.

On this basis, Delay and Lokhorst are the models recommended to adjust the egg production curve, although the first model has advantages, such as biological interpretation of the parameters, in that it does not require assumption validation for parameter estimates. Most important is the possibility of including other biological characteristic variables, such as environmental factors (temperature, relative humidity, etc.), or the relationship of supply/demand for resources in the system, allowing the model can estimate the fluctuations and variability in the egg production curve.

Acknowledgments

The authors wish to thank Departamento de Formación Académica de Haciendas de la Universidad de Antioquia for data collection. This research was funded by Universidad de Antioquia (CODI Sostenibilidad 2013 Código E01727, and Mediana cuantía Código E01533) and Departamento Administrativo de Ciencia, Tecnología e Innovación (COLCIENCIAS) (Convocatoria Nacional para Estudios de Doctorados en Colombia año 2011).

References

- Abad M. Reproducción e incubación en avicultura. Real Escuela de Avicultura. España; 2003.
- Abiodun OE, Adedapo A. The effect of climate on poultry productivity in Ilorinkwara state, Nigeria. Int J Poult Sci 2006; 5:1061-1068. URL: <http://www.pubs.org/jjps/jin728.pdf>
- Adams CJ, Bell DD. Predicting poultry egg production. Poult Sci 1980; 59:937-938.
- Álvarez R, Hocking PM. Stochastic model of egg production in broiler breeders. Poult Sci 2007; 86:1445-1452.
- Bell DD, Adams CJ. First and second cycle egg production characteristics in commercial table egg flocks. Poult Sci 1992; 71:448-459.
- Bindya LA, Murthy HNN, Jayashankar MR, Govindaiah MG. Mathematical models for egg production in an Indian colored broiler dam line. Int J Poult Sci 2010; 9:916-919.
- Cason JA, Britton WM. Education and production comparison of compartmental and Adams-Bell models of poultry egg production. Poult Sci 1988; 67:213-218.
- D'oultrimont T, Gutiérrez AP. A multitrophic model of a rice-fish agroecosystem II: Linking the flooded rice-fishpond systems. Ecol Model 2002; 155:159-176.
- Durbin J, Watson GS. Testing for serial correlation in least squares regressions II. Biometrika 1951; 38:159-178.
- Fialho FB, Ledur MC, Avila VS. Mathematical model to compare egg production curves. Rev Bras Cienc Avic 2001; [Accessed April 21, 2013] URL: http://www.scielo.br/scielo.php?script=sci_arttext&pid=S1516-635X2001000300002&lng=en&nrm=iso.
- Flores A. Programas de alimentación en avicultura: ponedoras comerciales. In: Documentos FEDNA - X curso de especialización FEDNA. Madrid, España 1994; [Accessed December 2012] URL: http://www.ucv.ve/fileadmin/user_upload/facultad_agronomia/Alimentaci%C3%B3n_Gallinas_Ponedoras.pdf.
- Foster WH, Robertson DV, Belyavin CG. Fore-casting egg production in commercial flocks. Br Poult Sci 1987; 28:623-630.
- Gavora JS, Liljedahl LE, McMillan I, Ahlen K. Comparison of three mathematical models of egg production. Brit Poult Sci 1982; 23:339-348.
- Gerber N. Factors affecting egg quality in the commercial laying hen: A review. Egg Producers Federation of New Zealand Inc. 2006; [Accessed December 10, 2012] URL: http://eggfarmers.org.nz/eggfarmers/wp-content/uploads/2012/04/factors_affecting_egg_quality.pdf
- Groen AF, Jiang X, Emmerson DA, Vereijken A. A deterministic model for the economic evaluation of broiler production systems. Poult Sci 1998; 77:925-933.
- Grossman M, Gossman TN, Koops WJ. A model for persistency of egg production. Poult Sci 2000; 79:1715-1724.
- Gutiérrez AP, Dos Santos WJ, Pizzamiglio MA, Villacorta AM, Ellis CK, Fernandez CAP, Tutida I. Modelling the interaction of cotton and the cotton boll weevil. II. Cotton boll weevil (*Anthonomus grandis*) in Brazil. J Appl Ecol 1991; 28:398-418.
- Gutierrez AP, Pizzamiglio MA, Dos Santos WJ, Tennyson R, Villacorta AM. A general distributed delay time varying life table plant population model. Cotton (*Gossypium hirsutum*)

- growth and development as an example. *Ecol Model* 1984; 26:231-249.
- Gutierrez AP, Wermelinger B, Schultess F, Baumgärtner JU, Herren HR, Ellis CK, Yaninek JS. Analysis of biological control of cassava pests in Africa. I. Simulation of carbon, nitrogen and water dynamics in cassava. *J Appl Ecol* 1988a; 25:901-920.
- Gutierrez AP, Yaninek JS, Wermelinger B, Herren HR, Ellis CK. Analysis of biological control of cassava pests in Africa. III. cassava green mite *Mononychellustanajoa*. *J Appl Ecol* 1988b; 25:941-950.
- Gutierrez AP. Applied population ecology: A supply-demand approach. New York: John Wiley & Sons Inc.; 1996.
- Hester PY. Impact of science and management on the welfare of egg laying strains of hens. *Poult Sci* 2005; 84:687-696.
- Jewers K. Mycotoxins and their effect on poultry production. Options Méditerranéennes-L'aviculture en Méditerranée (N° 7) 1990. [Accessed December 10, 2012] URL: <http://www.2ndchance.info/goutjewersmycotoxins.pdf>
- Lokhorst C. Mathematical curves for the description of input and output variables of the daily production process in aviary housing systems for laying hens. *Poult Sci* 1996; 75:838-848.
- Manetsch TJ. Time-varying distributed delays and their use in aggregate models of large systems. *IEEE transactions on systems, IEEE International Conference on Systems, Man, and Cybernetics*. 1976; 6:547-553.
- Mashaly MM, Hendricks GL, Kalama MA, Gehad AE, Abbas AO, Patterson PH. Effect of heat stress on production parameters and immune responses of commercial laying hens. *Poult Sci* 2004; 83:889-894.
- McMillan I. Compartmental Model analysis of poultry egg production curves. *Poult Sci* 1981; 60:1549-1551.
- Microsoft. Microsoft Excel Solver. Redmond, Washington, USA. 2010; [Accessed December 10, 2012] URL: <http://office.microsoft.com/es-es/excel-help/solver-HP005198368.aspx>
- Miyoshi S, Luc KM, Kuchida K, Mitsumoto T. Application of non-linear models to egg production curves in chickens. *Jpn Poult Sci* 1996; 33:178-184.
- Narushin VG, Takma C. Sigmoid model for the evaluation of growth and production curves in laying hens. *Biosystems Engineering* 2003; 84:343-348.
- Peebles ED, Basenko EY, Branton SL, Whitmarsh SK, Maurice DV, Gerard PD. Effects of S6-strain *Mycoplasma gallisepticum* inoculation at ten, twenty-two, or forty-five weeks of age on the egg yolk composition of commercial egg-laying hens. *Poult Sci* 2006; 85:1502-1508.
- Rosenboim I, Tako E, Gal-Garber O, Prouzman JA, Uni Z. The effect of heat stress on ovarian function of laying hens. *Poult Sci* 2007; 86:1760-1765.
- Safaa HM, Serrano MP, Valencia DG, Frika M, Jiménez-Moreno E, Mateos GG. Productive performance and egg quality of brown egg-laying hens in the late phase of production as influenced by level and source of calcium in the diet. *Poult Sci* 2008; 87:2043-2051.
- SAS Institute Inc. SAS/STAT User's Guide: Version 9.1.3. SAS Institute Inc., Cary, North Carolina, USA. 2004.
- Savegnago R, Nunes BN, Caetano SL, Ferrando AS, Schmidt GS, Ledur MC, Munari DP. Comparison of logistic and neural network models to fit to the egg production curve of White Leghorn hens. *Poult Sci* 2011; 90:705-711.
- Spedding CRW. An introduction to agricultural systems. 2nd ed. London and New York: Elsevier App Sci Publisher; 1988.
- Sun Q, Li W, She R, Wang D, Han D, Li R, Ding Y, Yue Z. Evidence for a role of mast cells in the mucosal injury induced by Newcastle disease virus. *Poult Sci* 2009; 88:554-561.
- Van Sickel J. Attrition in distributed delay models. *IEEE Trans Syst Manag Cybern*. 1977; 7:635-638.
- Wermelinger B, Candolfi MP, Baumgärtner J. A model of the european red mite (*Acarus Tetranychidae*) population dynamics and its linkage to grapevine growth and development. *J Appl Entomol* 1992; 114:155-166.
- Yang N, Wu C, McMillan I. New mathematical model of poultry egg production. *Poult Sci* 1989; 68:476-481.
- Yegani M, Korver DR. Factors affecting intestinal health in poultry: Review. *Poult Sci* 2008; 87:2052-2063.

Capítulo 4. Curve modeling and forecasting of daily egg production with the use of recurrent neural networks

2039

Este artículo obedece al desarrollo de los objetivos específicos:

2041

- Establecer el modelo que mejor ajusta la curva del ciclo productivo del ave de postura.
 - Diseñar y evaluar un sistema de información de apoyo a la toma de decisiones para sistemas de producción avícola de huevo comercial.

2045

2046 Con este documento se incorpora la participación de un grupo de investigación
2047 internacional, como resultado de la pasantía internacional. Además, se identificaron
2048 las Redes Neuronales Recurrentes y el Perceptrón Multicapa como los mejores
2049 modelos para ajustar la curva de producción de huevos y en especial para predecir
2050 la producción a futuro. Ambos modelos se usaron en el Sistema de Gestión de
2051 Información para Granjas Avícolas.

2052

2053 El artículo se escribió con el formato para evaluación en la revista Poultry Science
2054 ([Anexo 5](#))

2055

Curve modeling and forecasting of daily egg production with the use of recurrent neural networks

Luis Galeano-Vasco¹, Inés M. Galván², Ricardo Aler², Mario Cerón-Muñoz¹,

¹Grupo investigación GaMMA, Facultad de Ciencias Agrarias, Universidad de

Antioquia, Medellín, Colombia. ²Grupo investigación EVANNAI, Departamento de

Informática, Universidad Carlos III de Madrid, Butarque 15, 28911, Leganés.

Madrid. España.

Corresponding author: Luis Fernando Galeano Vasco, GaMMA research group,
Facultad de Ciencias Agrarias, Universidad de Antioquia, Carrera 75 # 65-87
Medellín, Colombia. Tel: 0057 4 2199140, Fax: 0057 4 2199100, Email:
gavo76@gmail.com

Abstract

The objectives of this study were to compare the capacity of curve fitting daily egg production to neural network multilayer perceptrons (MLP) and Lokhorst mathematical model (MM) and to evaluate the ability of neural networks (MLP) and recurrent neural networks Elman (RNNE) and Jordan (RNNJ) as models for the forecasting of daily egg production in commercial laying hens from the daily records of egg production from the first 12 cycle commercial layer flocks, for a total of 4650 data of daily egg production. The models used were Lokhorst, neural networks multilayer perceptron, recurrent neural network Jordan and Elman; all were validated and contrasted with MAD, MAPE, MSE determination (R^2) and correlation (CORR) coefficients. The MLP and MM models provide adequate adjustments for production curve, with correlation values greater than 0.95 and accounting for more than 95% of the variability in daily egg production (R^2). Forecastingwise, MLP is a technique with acceptable accuracy, and since its variation (SD) is less than the other models tested, the MLP model is recommended as a tool for fitting and prediction of daily egg production curve in commercial hens.

2087 **Key words:** Egg production, Forecast, Lokhorst, Neural network, Multilayer
2088 perceptron, Recurrent neural network

2089

2090 **Introduction**

2091 The administration of a livestock enterprise requires extensive knowledge of the
2092 production processes. The characterization of the components allows the producers
2093 to identify the critical points, evaluate alternative solutions to problems and most
2094 importantly, to make real-time decisions.

2095

2096 In poultry production, the comparison between the real egg production curve and the
2097 graph proposed by management guides, aims towards continuous performance
2098 evaluation of batch production per week. The main problem with this type of
2099 evaluation is that it is done in retrospective form, because the weekly analysis is
2100 made with productive results of week t-1; and if in period t-1 productive losses or
2101 problems in poultry production occurred, for the poultry farmer it is impossible to
2102 recover from them. The only alternative left is to apply correctives to prevent
2103 decreases in egg production in period t and t+1.

2104

2105 Commonly, in the process of creation and adaptation of the different types of models
2106 representing the production curve of commercial laying hens production information
2107 is used at weekly intervals (Miyoshi et al., 1996), logistic functions (Adams and Bell,
2108 1980; Cason and Britton, 1988), polynomial functions (Bell and Adams, 1992),
2109 exponential functions (McNally, 1971; Gavora et al., 1982), segmented polynomials
2110 (Lokhorst, 1996; Narushin and Takama, 2003), nonlinear models (Savegnago et al.,
2111 2011; Galeano et al., 2013a), linear mixed effect models (Wolc et al., 2011) and
2112 neural networks (Savegnago et al., 2011). These models are characterized by trying
2113 to analyze the process of egg production, to describe the relation between the
2114 number of eggs and time of laying period, and to estimate future total production
2115 using partial records and projecting egg production based on market needs (Groen
2116 et al., 1998; Gavora et al., 1982; Yang et al., 1989). Furthermore these models use

2117 as a variable weekly production or greater periods of time and their predictions are
2118 short term.

2119

2120 Several authors have demonstrated the advantages of the use of artificial neural
2121 networks in the adjustment, prognosis and prediction of data compared to other
2122 techniques (Ahmadi et al., 2001; Ahmadi and Golian 2008; Ahmad, 2011;
2123 Savegnago 2011). These researchers put particular emphasis on the use of
2124 Multilayer Perceptron network (MLP) because of its great capacity for data collection,
2125 flexibility and ease of adjustment. They also mention the ability of MLP to incorporate
2126 any type of data without meeting the statistical assumptions (normality,
2127 homoscedasticity, independence, etc.) when a model is estimated. But the most
2128 important feature of the MLP is its ability to learn and itself restructure, making it a
2129 model that is constantly adapting (Galeano et al, 2013B; Behmanesh and Rahimi,
2130 2012).

2131

2132 A computational model more powerful than the MLP is the recurrent neural network
2133 (RNN), which is characterized by the presence of feedback connections from one
2134 neuron to itself, between neurons in the same layer and between neurons of one
2135 layer to a previous layer. These connections enable the system to remember the
2136 previous state of certain neurons in the network. Partially recurrent neuronal
2137 networks are a type of recurrent neural networks that are characterized by the use
2138 of a few recurrent connections. The input layer of these networks consists of
2139 comprised context neurons, which receive recurring connections, and the input
2140 neurons which act as receptors of network data input (Galvan and Zaldívar 1997;
2141 Pérez, 2002).

2142

2143 The most popular partially recurrent networks are the Elman and the Jordan
2144 networks. In the Jordan network (1986), the context neurons receive a connection
2145 from the output neurons and themselves. In this model the recurrent connections
2146 have an associated parameter. Elman (1990) proposed a model in which context
2147 neurons receive a connection of the hidden neurons of the network, whereby the

2148 number of context neurons in the input layer depends on the number of neurons in
2149 the hidden layer. Elman and Jordan networks are also known as simple recurrent
2150 networks or partially recurrent networks (Galvan I, Zldívar J., 1997).

2151

2152 This research was carried out to compare the capacity of curve fitting daily egg
2153 production of neural networks (MLP) and Lokhorst mathematical model and to
2154 evaluate the ability of neural networks (MLP) and recurrent neural networks (Elman
2155 and Jordan) as models for the prediction of the daily egg production in commercial
2156 laying hens.

2157

2158 **Materials and methods**

2159

2160 **Data**

2161 The data was recollected from the daily records of egg production from the first 12
2162 cycle commercial layer flocks, for a total of 4650 data of daily egg production. The
2163 flocks began production between 19-23 weeks of age, with an average duration of
2164 the productive cycle of 54 weeks and a maximum duration of 70 weeks in production
2165 (90 weeks old). All egg production data was recorded daily in a database and was
2166 expressed as the number of eggs per day. During the production period hens were
2167 housed in cages, ensuring 750 cm² per bird. Hens were fed according to the dietary
2168 recommendations of each line. Water was supplied *ad libitum*, and the
2169 environmental conditions (temperature and humidity) were not controlled.

2170

2171 For fitting the model the variables (age and daily number of eggs) used were
2172 normalized (1) in accordance with equation (Savegnago et al., 2011):

2173

$$2174 \quad x_n = \frac{x_i - x_{min}}{x_{max} - x_{min}} \quad (1)$$

2175

2176 Where x_n is the new variable after the normalization process, x_i is the original
2177 variable, x_{min} and x_{max} are the minimum and maximum value value for the ith variable,
2178 respectively.

2179

2180 **Models**

2181 The Lokhorst model in equation 2 (Lokhorst, 1996):

2182

2183
$$\hat{y}_i = \frac{m}{1 + a * r^{t_i}} - (b + c * t_i + d * t_i^2) + \varepsilon_i \quad (2)$$

2184

2185 Where: \hat{y}_i is the number of eggs for the i^{th} day old flock. Parameters a and b allow
 2186 the model to adjust initiation of production. The time period between the start of
 2187 production and the peak of the curve is influenced by the r parameter. The weekly
 2188 decline-rate production after the peak is determined by the value of parameter c . The
 2189 slope of the final decrease is given by factor d . Variable t_i refers to the i^{th} age of the
 2190 flock (days), and ε_i is the residual effect associated with the i^{th} time.

2191

2192 In the original model proposed by Lokhorst, the numerator of the first term was 100,
 2193 as this is the maximum productive percentage that the flock can achieve. But trying
 2194 to fit the model to data from the number of eggs per day did not reach convergence,
 2195 because of this the parameter m was incorporated in the model. The value of m
 2196 refers to the maximum value of daily eggs layed.

2197

2198 Neural networks models: For these models the input variables were the age (days),
 2199 number of eggs, and the values of production in the time ($t-i$), with $i = 1, 2, \dots, 5$ days.
 2200 The output neuron was daily egg production.

2201

2202 1) The Multilayer perceptron equation 3.

2203

2204
$$\hat{y}_i = f \left(b_0 + \sum_{j=1}^r w_j f \left(b_{0j} + \sum_{i=1}^n w_{ij} x_i \right) \right) \quad (3)$$

2205

2206 Where \hat{y}_i denotes the vector of output values, r is the number of hidden neurons, b_0
 2207 and b_{0j} are the bias and denotes the value of intercept of the output neuron and

2208 intercept of the j^{th} hidden neuron, respectively. The term $(\sum_{i=1}^n w_{ij} x_i)$ is defined as a
 2209 propagation function, where is added the product of the synaptic weight vector w_{ij}
 2210 and the vector of input variables x_i . In this work, input vector x is given by
 2211 $(t_i, y_{i-1}, \dots, y_{i-n})$. The synaptic weight corresponding to the synapse starting at the
 2212 j^{th} hidden neuron is defined w_j , and f is the activation function or transference.

2213

2214 2) Recurrent neural network Jordan (1986)

2215

$$2216 \quad \hat{y}_i = f \left(b_0 + \sum_{j=1}^r w_j f \left(b_{0j} + \sum_{i=1}^n w_{ij} x_i(t) + \sum_{i=1}^n v_{ij} c_i(t) \right) \right) \quad (4)$$

2217 Activation of the context neurons in t:

$$2218 \quad c_i(t) = \varphi c_i(t-1) + \hat{y}_{i-1} \quad (5)$$

2219

2220 Where x_i is the vector of input variables (in this work $(t_i, y_{i-1}, \dots, y_{i-n})$), $c_i(t)$ is the
 2221 context neurons, for $i = 1, 2, \dots, m$, with m equal to number of network outputs (in this
 2222 work $m=1$), r is the number of hidden neurons, φ is the associated parameter c_i that
 2223 usually takes a constant value ($0 \leq \varphi < 1$) in equations 4 and 5.

2224

2225 3) Recurrent neural network Elman

2226

$$2227 \quad \hat{y}_i = f \left(b_0 + \sum_{j=1}^r w_j f \left(b_{0j} + \sum_{i=1}^n w_{ij} x_i(t) + \sum_{i=1}^n v_{ij} c_i(t) \right) \right) \quad (6)$$

2228

2229 Activation of the context neurons in t:

2230

$$2231 \quad c_i(t) = a_i(t-1) \quad (7)$$

2232

2233 Where x_i is the vector of input variables (in this work $(t_i, y_{i-1}, \dots, y_{i-n})$) and $c_i(t)$ is
 2234 the context neurons, for $i = 1, 2, \dots, r$, with r equal to number of hidden neurons, and
 2235 $a_i(t-1)$ are the activations of these neurons at time $t - 1$.

2236

2237 In Neural networks models, the activation function used in the input and hidden
 2238 neurons was the sigmoid, as shown in equation 8; whereas in the output and context
 2239 neuron was used as a linear activation function (9).

2240 Sigmoid activation function

2241
$$f(x) = \frac{1}{1 + e^{-x}} \quad (8)$$

2242 Linear activation function

2243
$$f(x) = x \quad (9)$$

2244

2245 In order to fulfill the objective of adjusting the daily egg production curve, the MLP
 2246 structure was defined through previous trials comparing different combinations:
 2247 number of productive days previous to day (ti), value of the learning ratio, value of
 2248 the momentum parameter, number of iteraciones in the network and number of
 2249 occult neurons. Finally, the network that offered the lowest error value was selected.

2250

2251 For the forecasting process besides the criteria evaluated for the fitting of the
 2252 production curve, combinations were also tried between day of production to where
 2253 the network is trained (T) and estimated number of days (h).

2254

2255 ***Statistical Analysis***

2256

2257 The accuracy of the models was determined by:

2258 1) Pearson's correlation coefficient (COR), that measures the strength of the
 2259 linear relationship between values estimated by each model and the actual values.
 2260 The coefficient has values between -1 to 1, and values approaching zero show no
 2261 relationship of dependence between variables. The correlation between actual and
 2262 predicted number of eggs was performed using the "cor.test" function (R
 2263 Development Core Team, 2013)

2264

2265 2) Determination coefficient (R^2), used to describe how well a regression line fits
 2266 a set of data. R^2 and is interpreted as the percentage change in the dependent

variable due to changes in the independent variable, valuing the causal relationship between the two variables (explained and explanatory). To calculate the R² coefficient for each model was performed a linear regression analysis, considering the number of eggs predicted by the model as the dependent variable and the number of eggs observed in each week as the independent variable. For this, we used the function “lm” of the statistical software R-project (R Development Core Team, 2013).

2274

2275 3) Mean Square Error (MSE).

$$2276 \quad MSE = \frac{\sum_{i=1}^n |y_i - \hat{y}_i|^2}{n} \quad (10)$$

2277

2278 4) Mean Absolute Deviation (MAD).

$$2279 \quad MAD = \frac{\sum_{i=1}^n |y_i - \hat{y}_i|}{n} \quad (11)$$

2280

2281 5) Mean Absolute Percentage Error (MAPE), consider the effect of the
2282 magnitude of error values.

$$2283 \quad MAPE = \frac{\sum_{i=1}^n \left| \frac{y_i - \hat{y}_i}{y_i} \right|}{n} \times 100, \quad (y_i \neq 0) \quad (12)$$

2284

2285 Where y_i is the observed value at time i , \hat{y}_i is the estimated value, and n equals to
2286 the number of observations in equations 10, 11 and 12.

2287

2288

2289

2290

2291 Results and Discussion

2292 Curve fitting

2293 For the curve fitting, the productive information of 12 flocks was used to compare the
2294 ability of models MLP and Lokhorst to adjust to the egg production curve. The flocks
2295 were ordered and numbered from 1 to 12 based on the value of MSE for MLP, where

2296 the flock 1 being the lowest MSE and 12 the highest MSE (Table 1). In test phase
2297 for MLP and MM models were used 1797 data equivalent to 40% of the total
2298 information. The remaining data was used to train the models.

2299

2300 MLP model was structured with three neurons in the input layer (age, production in
2301 two previous days, this is t_i , y_{i-1} and y_{i-2}), one hidden layer with five neurons and one
2302 neuron in the output layer corresponding to the number of eggs at i -th day, \hat{y}_i . The
2303 number of hidden neurons, values of learning rate and momentum were determined
2304 by pretesting, where the structure selected was the one that offered lowest
2305 estimation error.

2306

2307 Both models provide acceptable adjustments for the production curve, with
2308 correlation values greater than 0.95 and reaching to explain more than 95% of the
2309 variability in daily egg production (R^2) (Table 1). However, the MLP network had
2310 better predictions to incur an average error of only 50 eggs/day (MAD). Similar
2311 results of correlation coefficients were reported by Savegnago et al., (2011), which
2312 compared MLP with logistic model and found better performance by the neural
2313 network to fit the curve of weekly egg production.

2314

2315 Another advantage of the networks was that the model MM had to estimate six
2316 parameters, and in order to do that seed values were needed (starting values). The
2317 selection of wrong initial values did not allow the start of the iterations and the model
2318 did not converge, so it became very tedious and slowed the adjustment process of
2319 MM.

2320

2321 MLP has a setting closer to the changes presented in the production curve, while
2322 the MM does not (Figure 1). It should be noted that although the three flocks have
2323 variations or fluctuations in production, the 12th has the strongest falls with average
2324 declines of 590 eggs / day and are not cyclical or are associated with any repetitive
2325 pattern that allows models to learn and reproduce these changes. These variations
2326 in production may be associated with environmental factors, heterogeneity of the

2327 hens to reach sexual maturity, disease in birds or other factors that directly or
2328 indirectly influence the productive response of the bird like management activities
2329 (Galeano et al., 2013).

2330

2331 *Forecasting ability*

2332 In this section, the aim was to predict the future production. Based on information at
2333 i-th day, the aim was to know the production at day $i+h$, ($\hat{y}_{t+1}, \hat{y}_{t+2}, \dots, \hat{y}_{t+h}$), where
2334 h was equal to 7, that is after a week. Thus, neural networks (MLP), recurrent neural
2335 networks Elman (RNNE) and Jordan (RNNJ) was used. To evaluate the ability of
2336 models to predict the daily egg production in commercial laying hens, three neural
2337 models were structured by a neuron output (number of eggs per day, y_{i+1}), a hidden
2338 layer with 10 neurons and an input layer with information of age (t_{i+1}), and production
2339 in five previous days, this is y_{i-s} with $s: 0, 1, \dots, 4$, and the context neurons to RNNE
2340 and RNNJ. The values obtained from the prediction of the daily egg production for
2341 each period T are the average of the four runs (L) of each one of the models
2342 compared (Table 2).

2343

2344 Of the 12 lots previously evaluated with MLP and MM were selected best fitting
2345 curves. But in the data used to train and test the models MLP, RNNR and RNNJ the
2346 initial production phase (days 1-26) was not included, this is because both the MLP
2347 as MM had higher estimation errors at this stage. This adjustment problem in the
2348 initial phase of the curve of egg production was reported by Shiv and Singh (2009)
2349 who showed that the models have difficulty adjusting the high and fast rate of
2350 increase in production in a short time and then move a slow and prolonged rate of
2351 decrease in the number of eggs at the end of the curve

2352 The information of daily egg production for the flock 1 between days 27 to 398 (data
2353 372) (Figure 2). This curve shows a variability in the egg production with no apparent
2354 pattern or seasonality. The red dots in the figure indicate the points selected for
2355 prediction. For $T = 100$, the network is trained with the first 100 data and made the
2356 prediction of $T+h$ days, just as was done for $T = 200$ and $T = 300$, where the network
2357 is trained with data 200 and 300, respectively.

2358

2359 The results obtained in the estimation of future values of production, the valuation of
2360 the estimation error (MSE and MAD) and the mean and deviation of the models with
2361 a total of four times that the models were run for each value of T (100, 200 and 300)
2362 respectively. The h value was maintained in all of the tests because the end point
2363 for decision-making and projection of production was considered as one week (7
2364 days). Previous evidence on the change in number of periods ($s = 1, 2, \dots, 4$) did not
2365 significantly increase the estimation error, so the networks included as inputs
2366 corresponding neurons to five production periods t_{i-s} (Table 2).

2367

2368 As far as the increased value of T is concerned, one would expect that the neural
2369 networks with a greater number of learning data should have a better fit and that the
2370 MAD and MSE values should decrease. But as it is shown for values of T=300, the
2371 models RNNE and MLP increased their error value in regards to T=100 and T=200.
2372 This increase in the error at T = 300, can be associated with the decrease in the egg
2373 production values of 6% (220 eggs) on day 299 (Figure 2).

2374

2375 To perform the data estimation of the daily egg production, each model was tested
2376 four times for each T value. In figure 3, the estimation of the medium for the RNNE
2377 is shown, where the approximations are closest to the real data for T=100 and 200,
2378 followed by MLP. For T=300 the model RNNJ had the closest prediction value.

2379

2380 One aspect observed in the analysis of the values predicted in the daily egg
2381 production is the great variability present in each one of the models estimated.
2382 Calculating the standard deviation for each period T the results were 27.87, 50.47 y
2383 4.57 for RNNE, RNEJ y MLP respectively. This is evidence of the disarray of the full
2384 amount of values obtained in the prediction on behalf of the model RNNE being this
2385 one less precise than MLP. However when comparing its error values (table 2) the
2386 RNNE model is less biased making it a more precise model compared to MLP.

2387

2388 The MLP model is a technique with an acceptable accuracy, since its variation (SD)
2389 is less than the other models tested for each T; but it is not an exact estimation
2390 technique, due to the fact that their predicted values differ from the expected value
2391 of eggs produced per day. However the average error was of 54 eggs in three tests
2392 ($T= 100, 200$ and 300), equivalent to an approximate deviation of 1.2% of production
2393 per day (Table 3, Figure 3).

2394

2395 **Conclusions**

2396 The MM model was overtaken by MLP because it more accurately fits the curve of
2397 daily egg production; it even follows the variations present in the observed data in
2398 time. To increase the adjustability and accuracy of MLP, the inclusion of other
2399 variables is required, which correspond to instants in previous time in order to adjust
2400 to changes and variations present in the egg production curve.

2401

2402 In general, the estimation of RNNE, RNNJ and MLP in the forecasting process
2403 follows the trend of the training data, but as the production values change abruptly,
2404 it is difficult to correctly predict subsequent changes at point T. For this reason, it is
2405 necessary to implement other alternatives such as smoothing functions, used as
2406 input variables for longer periods of production, thus decreasing its variation. Also to
2407 include new input variables that help explain the changes in production.

2408

2409 The MLP model with the inclusion of i - s ($s = 1, 2, \dots, 5$) periods of production provide
2410 an acceptable fit in predicting the trend of production curve, but it is not an exact
2411 prediction technique.

2412

2413 In order to improve the predictive ability of the model, it is necessary to identify the
2414 causes of variations in production, reason for which the inclusion of environmental
2415 variables is proposed, such as feed intake, nutrient intake, amount of water ingested,
2416 and handling activities, among others, as input variables in the MLP model. Also
2417 attempts to try longer periods of prediction (more than one week of production), and

2418 to evaluate periods of more than one day of production, with aims to reduce the
2419 variability in the input data and improve model accuracy.

2420

2421 Future evaluation of alternative models is also proposed: the method of moving
2422 averages, exponential smoothing, segmented polynomials and generalized additive
2423 models, among others.

2424

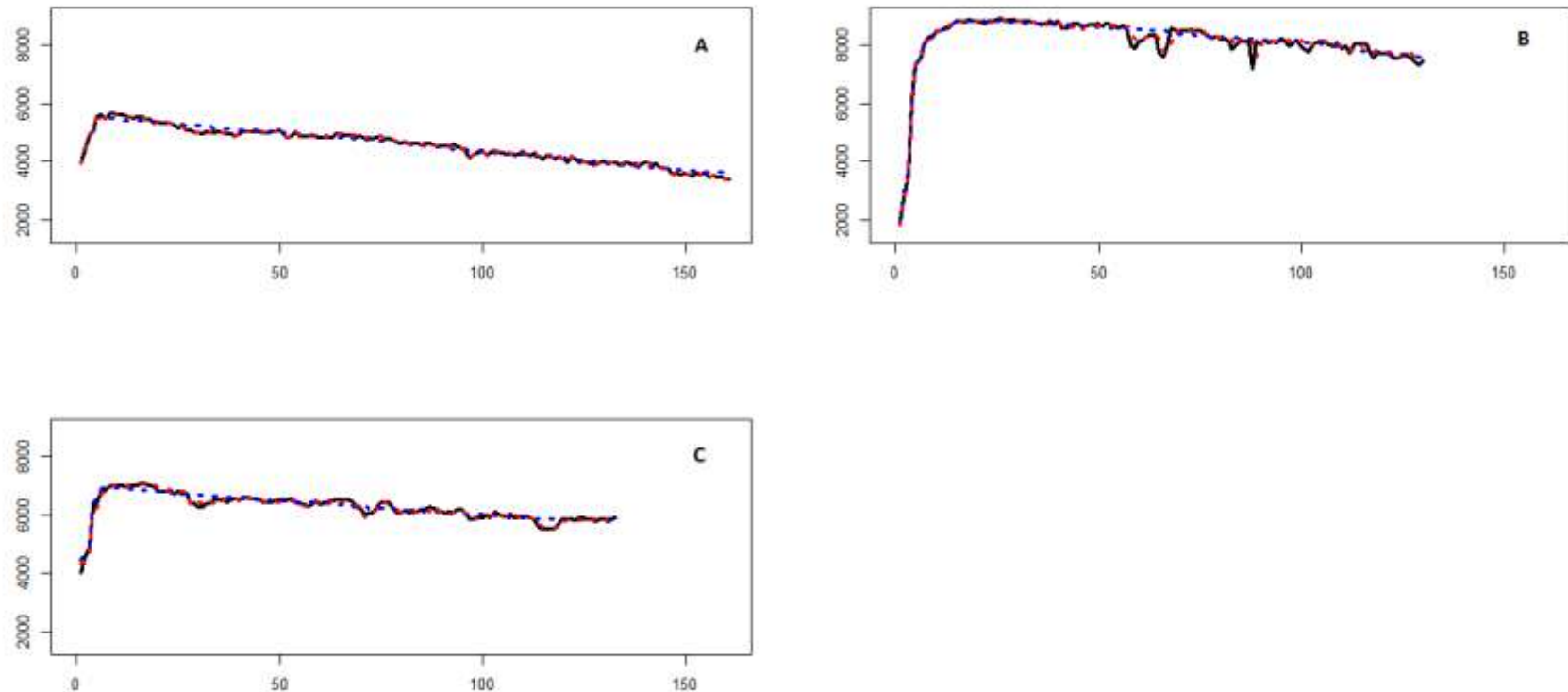
2425

2426

Table 1. Results of curve fitting of daily egg production with the use of MLP and MM

Flock	n*	MSE		MAD		MAPE		COR*		R ²		
		MLP	MM	MLP	MM	MLP	MM	MLP	MM	MLP	MM	
1	161	11.34	10332.09	2.48	82.95	0.06%	1.86%	1.000	0.985	0.998	0.986	
2	111	1509.25	3206.53	27.88	44.26	0.53%	0.81%	0.998	0.997	0.997	0.993	
3	111	2149.99	4575.54	34.43	53.93	0.48%	0.76%	0.999	0.997	0.998	0.995	
4	138	4503.00	31930.51	47.96	120.94	0.88%	2.22%	0.996	0.970	0.993	0.975	
5	187	5248.72	38545.73	49.38	157.04	0.68%	2.04%	0.999	0.993	0.975	0.918	
6	134	5649.96	18465.45	55.61	102.58	0.92%	1.67%	0.987	0.958	1.000	0.971	
7	169	5808.53	20666.92	54.00	118.29	0.95%	1.98%	0.997	0.987	0.999	0.983	
8	195	5907.48	63012.30	47.38	207.53	0.77%	3.22%	0.999	0.992	0.976	0.959	
9	159	7923.65	24068.24	57.78	120.44	0.59%	1.21%	0.998	0.993	0.996	0.986	
10	136	8554.77	17307.52	61.84	98.18	1.00%	1.49%	0.995	0.990	0.992	0.941	
11	166	21252.53	98716.19	81.86	202.17	1.47%	3.53%	0.980	0.903	0.961	0.815	
12	130	23035.37	40030.27	81.97	120.61	1.05%	1.57%	0.988	0.979	0.991	0.981	
Mean		149.8	7629.55	30904.77	50.21	119.08	0.78%	1.86%	0.995	0.979	0.990	0.959
SD		27.39	7230.19	27214.34	21.92	50.48	0.35%	0.84%	0.006	0.027	0.012	0.050

2427 Where n is the number of data used to validate models, **SD**: standard deviation, **MLP**: Neural network Multilayer perceptron,
 2428 **MM**: mathematical model of Lokhorst, **MSE**: Mean Square Error, **MAD**: Mean Absolute Deviation, **MAPE**: and **R²**:
 2429 determination coefficient. ***COR**: Pearson's correlation coefficient, was statistically significant (p<0.05).



2430

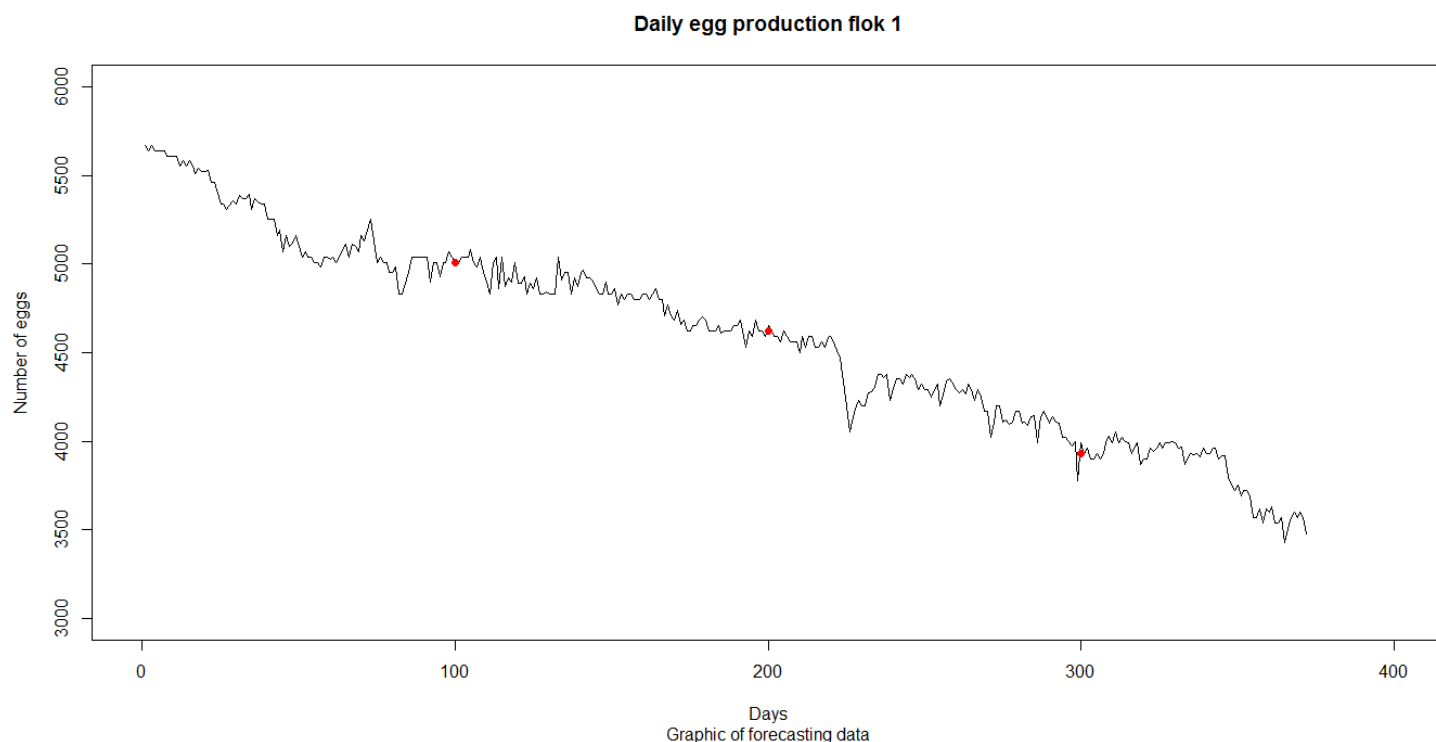
2431

2432 **Figure 1.** Observed data of daily egg production. A= Flock 1. B= Flock 6. C= Flock 12.

2433 Validation set (— : flocks 1, 6 and 12) and the values fitted using mathematical model of Lokhorst (- - - : MM) and

2434 multilayer perceptron (- - - : MLP) in the testing phase. Axis x= Days. Axis y= number of eggs.

2435



2436

2437

2438

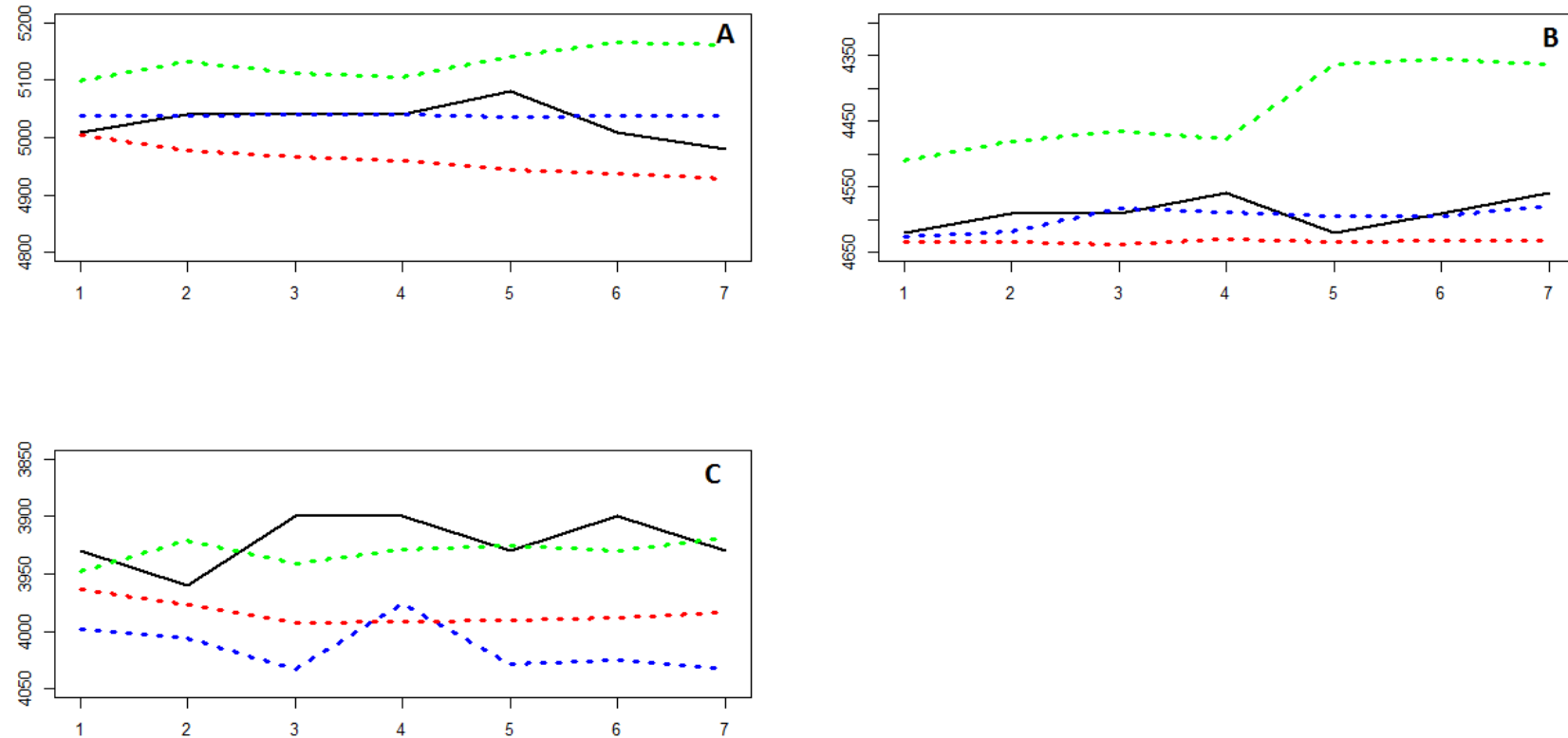
Figure 2. Observed data of daily egg production (flock 1) used for forecasting with neural models MLP, RNNJ and

RNNE. Red dots refer to the starting points for predictions ($T = 100, 200$ and 300).

2439 **Table 2. Calculated values of MAD and MSE for neural network models**
 2440 **used to predict the daily egg production.**

T	h	s	L	MAD			MSE			
				RNNE	RNNJ	MLP	RNNE	RNNJ	MLP	
100	7	5	1	96.13	38.49	61.73	13110.82	2275.67	4865.00	
			2	54.02	27.79	58.60	3906.66	1188.22	4447.79	
			3	58.10	55.60	59.39	4362.60	4122.99	4549.04	
			4	26.93	140.63	41.09	1113.74	21707.57	2576.50	
	Mean			58.80	65.63	55.22	5623.46	7323.61	4109.58	
	SD			28.48	51.30	9.51	5194.08	9665.52	1037.39	
	7	5	1	17.62	27.34	40.89	430.69	982.31	2096.88	
			2	28.69	44.02	45.16	1167.46	2360.45	2497.08	
			3	16.44	129.14	36.67	372.32	20605.19	1754.58	
			4	77.48	115.14	45.02	6943.02	15774.12	2486.48	
200	Mean			35.06	78.91	41.94	2228.37	9930.52	2208.76	
	SD			28.82	50.70	4.03	3163.86	9754.87	355.46	
	7	5	1	85.81	54.69	50.79	9084.98	3251.03	3188.57	
			2	100.91	68.16	63.18	11020.73	6072.21	4731.10	
			3	110.58	92.27	69.54	13353.31	9637.69	5804.86	
			4	73.54	27.75	66.77	5949.64	1115.80	5245.15	
	Mean			92.71	60.72	62.57	9852.16	5019.18	4742.42	
	SD			16.34	26.92	8.27	3132.72	3687.92	1124.88	

2441 **T**: day of production to where the network is trained, **h**: estimated number of days,
 2442 **t-i**: input neurons included, **L**: number of model runs, **MSE**: Mean Square Error,
 2443 **MAD**: Mean Absolute Deviation, **RNNE**: recurrent neural network of Elman, **RNNJ**:
 2444 recurrent neural network of Jordan and **MLP**: Multilayer Perceptron, **Mean** average
 2445 and **SD** standard deviation values obtained for the four runs (L).
 2446 .



2447

2448

2449

Figure 3. Results of forecasting values with neural models.2450 A) T= 100. B) T= 200. C) T= 300. Axis x= Forecasting days (1 to 7). Axis y= Number of eggs. MLP (-----), RNNJ (-----)2451 and RNNE (-----), and observed data of daily egg production (flock 1) (——).

2452 **References**

- 2453 1. Adams C J, and Bell DD. Predicting poultry egg production. *Poult Sci*
2454 1980; 59:937–938.
- 2455 2. Ahmad HA, Dozier GV and Roland Sr DA. Egg price forecasting using
2456 neural networks. *J Appl Poult Res* 2001; 10 (2): 162-171
- 2457 3. Ahmad HA. Egg production forecasting: Determining efficient modeling
2458 approaches. *J Appl Poult Res* 2011; 20 (4): 463-473.
- 2459 4. Ahmadi H, Golian A. Neural network model for egg production curve. *J*
2460 *Anim Vet Adv* 2008; 7(9):1168-1170.
- 2461 5. Bell DD, Adams CJ. First and second cycle egg production
2462 characteristics in commercial table egg flocks. *Poult Sci* 1992; 71:448–459.
- 2463 6. Cason JA, and Britton WM. Education and production comparison of
2464 compartmental and adams-bell models of poultry egg production. *Poult Sci*
2465 1988; 67:213-218.
- 2466 7. Elman JL. Finding structure in time. *Cognitive Science* 1990; 14: 179-
2467 211.
- 2468 8. Galeano LF, Cerón-Muñoz MF, Rodríguez D, Cotes JM. Uso del
2469 modelo de distribución con retardo para predecir la producción de huevos en
2470 gallinas ponedoras. *Rev Col Cienc Pec* (In press) 2013a; 26 (4).
- 2471 9. Galeano LF, Cerón-Muñoz MF. Modelación del crecimiento de pollitas
2472 mediante el uso de redes neuronales. *Rev. MVZ Córdoba*. 2013; (In press)
2473 18 (3).
- 2474 10. Galvan I, Zldívar J. Application of recurrent neural networks in batch
2475 reactors Part 1. NARMA modeling of the dynamic behavior of the heat transfer
2476 fluid temperature. *Chemical engineering and processing* 1997; 36: 506-518
- 2477 11. Gavora JS, Liljedahl LE, McMillan I, Ahlen K. Comparison of three
2478 mathematical models of egg production. *Brit Poult Sci* 1982; 23:339-348.
- 2479 12. Gavora, JS, Liljedah LEI, McMillan I, and Ahlen K. Comparison of three
2480 mathematical models of egg production. *Br Poult Sci* 1982; 23:339–348.

- 2481 13. Groen AF, Jiang X, Emmerson DA, Vereijken A. A deterministic model
2482 for the economic evaluation of broiler production systems. Poult Sci 1998;
2483 77:925–933
- 2484 14. Jordan MI. Attractor dynamics and parallelism in a connectionist
2485 sequential machine. Proceedings of the Eight Annual Conference of the
2486 Cognitive Science Society, 1986; 531-546, Erlbaum.
- 2487 15. Lokhorst C. Mathematical curves for the description of input and output
2488 variables of the daily production process in aviary housing systems for laying
2489 hens. Poult Sci 1996; 75:838–848.
- 2490 16. McNally, D H. Mathematical model for poultry egg production.
2491 Biometrics 1971; 27:735–738.
- 2492 17. Miyoshi S, Luc KM, Kuchida K, and Mitsumoto T. Application of non-
2493 linear models to egg production curves in chickens. Jpn Poult Sci 1996; 33
2494 (3):178-184.
- 2495 18. Narushin VG, and Takma C. Sigmoid model for the evaluation of
2496 growth and production curves in laying hens. Biosystems Engineering 2003;
2497 84 (3): 343–348.
- 2498 19. Pérez JA. Modelos predictivos basados en redes neuronales
2499 recurrentes de tiempo discreto. Universidad de Alicante. Departamento de
2500 Lenguajes y Sistemas Informáticos. Tesis doctoral. 2002.
2501 [URL:rua.ua.es/dspace/bitstream/10045/3826/1/P%c3%a9rez%20Ortiz%2c%20Juan%20Antonio.pdf](http://rua.ua.es/dspace/bitstream/10045/3826/1/P%c3%a9rez%20Ortiz%2c%20Juan%20Antonio.pdf)
- 2503 20. R Development Core Team. 2013. R: A language and environment for
2504 statistical computing. Accessed Nov 2013. <http://www.rproject.org/>.
- 2505 21. Rahimi I; Behmanesh R. Improve poultry farm efficiency in Iran: using
2506 combination neural networks, decision trees, and data envelopment analysis
2507 (DEA). International Journal of Applied, 2012; 2 (3):69-84.
- 2508 22. Savegnago R, Nunes BN, Caetano SL, Ferraudo AS, Schmidt GS,
2509 Ledur MC, and Munari DP. Comparison of logistic and neural network models
2510 to fit to the egg production curve of White Leghorn hens. Poult Sci 2011;
2511 90:705-711.

- 2512 23. Shiv P, and Singh DP. Comparison of egg production models
2513 generated from growth functions. Ind. Journal of Animal Sciences 2008,
2514 78(6): 649-651
- 2515 24. Wolc, A, Arango J, Settar P, O'Sullivan NP, and Dekkers JC.
2516 Evaluation of egg production in layers using random regression models. Poult
2517 Sci 2011; 90(1), 30-34.
- 2518 25. Yang N, Wu C, and McMillan I. New mathematical model of poultry egg
2519 production. Poult Sci 1989; 68:476–481.
- 2520

2521 Capítulo 5. Sistema de Gestión de Información para Granjas Avícolas

2522

2523 Este artículo obedece al desarrollo del objetivo específico

- Diseñar y evaluar el sistema de información de apoyo a la toma de decisiones (SATD) para sistemas de producción avícola de huevo comercial.

2526

Design of an information management system for poultry farms using Excel and R-project

Diseño de un sistema de gestión de información para granjas avícolas con el uso de Excel y R Project

**Projeto de um sistema de gerenciamento de informações para aves
utilizando Excel e R-project**

2533 Luis F. Galeano-Vasco, Diana M. Gutiérrez, Mario Cerón-Muñoz

2534 Facultad de Ciencias Agrarias, Universidad de Antioquia, Medellín, Colombia.

2535

2536 Autor para correspondencia: Luis Fernando Galeano, grupo de investigación
2537 GaMMA, Facultad de Ciencias Agrarias, Universidad de Antioquia, Carrera 75 #
2538 65-87 Medellín, Colombia. Tel: 0057 4 2199140, Fax: 0057 4 2199100, Email:
2539 lf.galeano.vasco@gmail.com

2540

2541 Summary

With the purpose of promoting the inclusion of Technologies of Information and Communication Technologies (ICTs) in poultry, was developed a information management application called "Information Management System for Poultry Farms", which aims to facilitate and optimize processes of taking, processing, analyzing and storing information from the poultry production system. The platform capture and delivery of information was designed in Microsoft Excel, while for the analysis and processing of the data the statistical software R Project was used. Both programs interact with each other through free software RExcel®. The user enters in this application daily batch information, receiving numerical and graphs reports to compare them with those proposed by the genetic home and define the state of the productive performance indicators of their animals on real-time. The program and its user manual is available free of charge for your use upon request.

2554

2555 Resumen

2556 Con el propósito de promover la inclusión de Tecnologías de la Información y la
2557 Comunicación (TIC) en la avicultura, se ha desarrollado una aplicación de gestión

2558 de información denominado "Sistema de Gestión de Información para Granjas
2559 Avícolas", cuyo objetivo es facilitar y optimizar los procesos de captura,
2560 procesamiento, análisis y almacenar la información del sistema de producción de
2561 aves de corral. La plataforma de captura y entrega de información fue diseñada en
2562 Microsoft Excel®, mientras que para el análisis y procesamiento de los datos se usó
2563 el software estadístico R Project. Ambos programas interactúan entre sí por medio
2564 del software libre RExcel®. El usuario con en esta aplicación ingresa la información
2565 diaria del lote de aves y obtiene informes numéricos y gráficos para compararlos
2566 con los indicadores propuestos por la casa genética y definir el estado del
2567 desempeño productivo de sus animales en tiempo real. El programa y su manual de
2568 usuario se encuentran disponibles de forma gratuita para su uso a quienes lo
2569 soliciten.

2570

2571 **Introducción**

2572 La inclusión de las Tecnologías de la Comunicación y de la Información (TICs) en
2573 el sector agropecuario ha servido para el diseño y puesta en marcha de
2574 herramientas para el asesoramiento y construcción de sistemas de producción más
2575 rentable basados en sistemas de información y sensores, que ayudan a caracterizar
2576 el sistema productivo e implementar acciones tendientes a aumentar la
2577 productividad, optimizar el uso de recursos y mejorar la calidad de vida de los
2578 productores agropecuarios como consecuencia del incremento de sus márgenes de
2579 utilidad (Raju y Rao, 2006; Mertens, 2009; Rose et al., 2003).

2580

2581 Algunas experiencias sobre el uso de las TICs son los sistemas de soporte para la
2582 toma de decisiones (SATD), que son aplicaciones informáticas construidas con
2583 modelos analíticos y sistemas de entrega de informes, los cuales a partir de la
2584 información incorporada y el análisis del sistema, entregan al usuario herramientas
2585 para el desarrollo de diagnósticos del estado actual de los procesos y así facilitar la
2586 definición de posibles soluciones a los problemas detectados. Además, permiten
2587 almacenar la información, lo cual es importante para ver la evolución del sistema en
2588 el tiempo y hacer proyecciones futuristas de su desempeño productivo (Abelson y

2589 Levi, 1985; Schmisseur et al., 1989; Newman et al., 2000; Arsham, 2009; Nyathi et
2590 al., 2013).

2591

2592 La tendencia mundial del sector agropecuario es la inclusión y adaptación de
2593 nuevas tecnologías para aumentar la eficiencia de los procesos productivos,
2594 mejorar la gestión de la información y agilizar el proceso de toma de decisiones
2595 (Mollo et al., 2009). Por tal motivo este trabajo pretende crear un sistema de gestión
2596 de la información en un sistema de producción de huevo comercial con la inclusión
2597 de modelos de predicción con redes neuronales.

2598

2599 **Materiales y Métodos**

2600 Se seleccionaron 5 granjas productoras de huevo de Antioquia, como fuentes de
2601 información primaria de registros históricos de producción y entrevistas directas
2602 aplicadas a empleados y personal administrativo.

2603

2604 Con la información colectada se estructuraron las bases de datos divididas en las
2605 etapas de cría, levante y producción. Para la etapa de cría y levante (primeras 18
2606 semanas de vida) se recopiló información de aspectos como línea genética de las
2607 aves, número de pollitas alojadas, peso de las pollitas, porcentaje de uniformidad,
2608 número de aves muertas, causa de la muerte, porcentaje de mortalidad, longitud del
2609 tarso, consumo de alimento (gr ave-1 día-1), composición nutricional del alimento y
2610 consumo de nutrientes.

2611

2612 Para la etapa de producción (18 a 80 semanas de vida del ave) se reunió
2613 información del número de huevos producidos por día, porcentaje de producción de
2614 huevos, número de aves muertas, causa de la muerte, porcentaje de mortalidad,
2615 consumo de alimento (gr ave-1 día-1), composición nutricional del alimento y
2616 consumo de nutrientes, número de huevos por ave alojada, clasificación de los
2617 huevos por peso, número de huevos rotos, número de huevos sucios y número de
2618 huevos en fárfara.

2619

2620 Además de la información de los registros, en las etapas de cría, levante y
2621 producción se tomaron mediciones ambientales como temperatura (internas y
2622 externas al galpón), altura sobre el nivel del mar, humedad relativa, luminosidad
2623 (luxometría) y actividades de manejo como horarios de alimentación, tipo de
2624 alimento y suplementación cárnea o mineral, tipo de explotación (piso o jaula),
2625 densidad de las aves, grado de tecnificación de la granja (Maquinaria y equipos),
2626 plan sanitario, y manejo de residuos entre otros.

2627

2628 *Diseño de Sistema de gestión de la información*

2629 La información almacenada en las bases de datos se utilizó para documentar,
2630 describir y caracterizar de forma detallada de todas las actividades y procesos
2631 propios del sistema de producción en las fases de cría, levante y producción. Luego
2632 se elaboró un mapa conceptual de los procesos a través del diseño de diagramas
2633 operacionales que permitió analizar de forma secuencial los componentes de cada
2634 proceso, permitiendo identificar de puntos críticos y problemas, y las interrelaciones
2635 que existen entre cada uno de los componentes del sistema.

2636

2637 *Modelo de gestión de base del sistema.*

2638 Este componente incluyó las fórmulas, cálculos, filtros y condicionales de las
2639 variables de entrada al sistema para la obtención de los parámetros de evaluación
2640 del rendimiento productivo del lote, tales como:

- 2641 • Consumo de alimento etapa de cría y levante: alimento consumido
2642 g/ave/día, alimento consumido g/ave/día acumulado y total de alimento
2643 consumido por semana kg.
- 2644 • Inventario de Aves: porcentaje de mortalidad, número de aves
2645 descartadas, número de aves muertas y saldo de aves por semana
- 2646 • Peso Corporal de las Aves: peso promedio del lote, porcentaje de
2647 uniformidad del lote y coeficiente de variación del peso de las aves.

2648

2649 Con base en resultados de los capítulos previos se incluyeron modelos para el
2650 ajuste y graficación de las curvas de crecimiento y producción. Permitiendo generar

2651 predicciones en el nivel productivo del lote en un período de siete días a futuro. En
2652 este módulo también se generan los informes numéricos y gráficos para los
2653 informes: para todo lo anterior fue necesario la inclusión de programación de scripts
2654 y funciones en lenguaje Visual Basic, R y RExcel.

2655

2656 *Sistema de generación de informes y selección de alternativas.*

2657 Este componente consistente en la entrega al usuario información sobre el estado
2658 actual de los animales, expresado en sus variables de interés productivo y

2659

2660 Para la creación, organización, y depuración de las bases de datos, los análisis
2661 estadísticos, y la elaboración y validación de los modelos se utilizará los
2662 aplicaciones informáticas Visual Basic ® (Balena y Foreword, 1999), RExcel
2663 (Heiberger y Neuwirth, 2009) y R ®.

2664

2665

2666 **Resultados y Discusión**

2667 **Descripción**

2668 El principal objetivo de este estudio fue desarrollar una aplicación informática
2669 administrativa que tiene como nombre **Sistema de Gestión de Información para**
2670 **Granjas Avícolas**, fue construida con modelos matemáticos y bajo un ambiente
2671 gráfico amable y conocido como Excel. Este sistema se construyó con el objetivo
2672 de facilitar y optimizar los procesos de toma, procesamiento, análisis y
2673 almacenamiento de información proveniente del sistema de producción avícola y
2674 además; permitiendo la identificación de puntos críticos y toma de decisiones en
2675 tiempo real.

2676

2677 Para su diseño, modificación, uso y difusión del sistema informático se utilizó
2678 Microsoft Excel ® como la plataforma de captura de información. Para el análisis y
2679 procesamiento de los datos se recurrió a la potencia del software estadístico R
2680 Project. Ambos programas interactúan entre si gracias a RExcel®. La unión de los
2681 tres programas permitió para la construcción de una herramienta informática de

2682 apoyo al avicultor con características de facilidad de uso, gran interactividad,
2683 potencia en el análisis de datos y validez estadística de los resultados obtenidos.

2684

2685 A la fecha esta aplicación consta de una interfaz del usuario, e incluye cinco
2686 formularios diseñados para el ingreso de información concerniente a la producción
2687 sobre aspectos tales como: alimentación, medio ambiente, sanidad, manejo y
2688 administración. Además, tiene hojas de registro de la información productiva de las
2689 fases de cría, levante y producción, además de los registros del pesaje de aves.
2690 Ofrece al usuario la posibilidad obtener resultados numéricos y gráficos facilitando
2691 el análisis del estado productivo del lote al contrastarlo con los indicadores
2692 productivos propuestos por la línea genética.

2693

2694 El mayor avance y aporte de esta aplicación es la inclusión de modelos de
2695 predicción como las redes neuronales artificiales, que permiten en tiempo real,
2696 proyectar la repuesta productiva del lote en las condiciones actuales y así en un
2697 horizonte de siete días, determinar las posibles actividades correctivas que permitan
2698 mejorar o sostener el nivel productivo dependiente del estado de la respuesta de las
2699 aves.

2700

2701 **Fases del proceso de elaboración SATD.**

- 2702 • *Diagramación del sistema*

2703 A partir de una extensa revisión bibliográfica, la toma de información primaria de los
2704 productores, registros históricos de producción de las granjas y el uso de la teoría
2705 de diagramas de flujo basados en el lenguaje unificado de modelación (UML)
2706 (Booch et al., 1998), se construyeron los diagramas de flujo que describen al detalle
2707 todas las actividades propias del sistema de producción avícola en las fases de cría,
2708 levante y producción, y permiten apreciar los distintos tipos de relaciones entre los
2709 componentes del sistema, para determinar el flujo de las actividades (Figura 1).
2710 Además, estos diagramas sirvieron como base para la construcción del sistema de
2711 caracterización y documentación de los procesos, lo cual permite la identificación
2712 de puntos críticos, permite la construcción de manuales de funciones para los

2713 operarios y facilita el cumplimiento de las exigencias en planes de bioseguridad al
2714 documentar al detalle las actividades propias de cada proceso dentro del sistema.

2715

2716 Las fases de cría, levante y producción, fueron caracterizadas a partir de cinco ítems
2717 de mayor relevancia, así: alimentación, medio ambiente, sanidad, manejo y
2718 administración; y dos causales de pérdida como lo son el descarte de aves y la
2719 mortalidad. Este grafo permite ver como cada ítem afecta el flujo de aves desde su
2720 llegada hasta que pasan a la siguiente fase o etapa de producción. Cada uno de
2721 estos ítems se construyeron a partir de las descripciones de los procesos en cada
2722 fase de vida del ave. Un ejemplo de este desglose de actividades se presenta en la
2723 figura 2, donde se puede ver la descripción dentro del ítem Alimentación del
2724 componente fábrica de alimentos concentrados, allí se describen todas las
2725 actividades propias de la elaboración de un alimento balanceado y como debe ser
2726 el flujo de información para garantizar un funcionamiento óptimo de la planta. En la
2727 figura 3 aparecen los componentes del ítem medio ambiente, caracterizando los
2728 factores externos e internos medioambientales que pueden tener efecto en el
2729 confort y respuesta productiva de las aves.

2730

- 2731 • *Montaje de formularios en Visual Basic*

2732 Con base en los Diagramas desarrollados en UML, se procedió a la creación de los
2733 formularios en Excel para la toma y almacenaje de la información. Un ejemplo de
2734 esto es la figura 4 donde aparece el formato de toma de información para medio
2735 ambiente de las características externas propia del sistema de producción.

2736

2737 La fabricación de estos formularios requirió de tres fases: la primera es el diseño del
2738 formulario (UserForm) a partir del diagrama UML, la segunda la asignación de
2739 macros para validar el tipo de información que debe entrar en cada uno de los
2740 componentes del formulario, y la tercera es la definición del área de almacenamiento
2741 de la información consignada en cada uno de los campos y la construcción de
2742 botones para el almacenaje y limpieza de las casillas para la toma de información.

2743

- 2744 • *Incorporación de modelos y programación en R*
- 2745 Luego de la elaboración del sistema de captura y almacenaje de información, se
2746 diseñaron los registros de información productiva para las fases de cría, levante y
2747 de producción, además del registro de pesajes. Cada uno de estos registros ofrece
2748 a su vez información de forma numérica y lleva al usuario a hojas de informe para
2749 obtener análisis y proyecciones de la producción en formatos gráficos. Los modelos
2750 incorporados incluyen:
- 2751 - Modelos de regresión no lineales para la modelación del crecimiento en
2752 gallinas productoras de huevo comercial, con base en las experiencias
2753 obtenidas en el desarrollo de los artículos: “Modelación del crecimiento de
2754 pollitas Lohmann LSL con redes neuronales y modelos de regresión no lineal”
2755 (Galeano-Vasco y Cerón-Muñoz, 2013) y “Capacidade de modelos mistos
2756 não lineares para prever o crescimento em galinhas poedeiras” ([Capítulo 1](#)).
2757 - Redes Neuronales artificiales para la modelación y proyección de la curva de
2758 producción de huevos, el cual fue resultado del desarrollo del artículo: Curve
2759 modeling and forecasting of daily egg production with the use of recurrent
2760 neural networks ([Capítulo 4](#))
- 2761
- 2762 Para los cálculos y ecuaciones propias de los registros productivos, y los gráficos
2763 del sistema se programaron en R y RExcel, un ejemplo de esto son los scripts para
2764 la construcción del histograma y gráfico de pesos que hacen parte de la hoja de
2765 informe de pesaje de las aves en la fase de cría y levante, así:
- 2766
- 2767 • Programación del histograma
- 2768 Generación de la base de datos para evaluación de los pesajes
- 2769 pesos2=as.numeric(pesos);peso=na.exclude(pesos2)
- 2770 Propiedades del área para la generación del histograma
- 2771 dev.new(width=4, height=3)
- 2772 Elaboración de histograma para ver la distribución de los pesajes
- 2773 hist(peso, breaks="Sturges", col="lightblue", border = "black",
- 2774 main="Histograma - Peso de aves", xlab="Peso (g.)",

```

2775      ylab="Densidad",prob=TRUE,ylim=c(0,max(density(peso)$y)+min(density(p
2776      eso)$y));lines(density(peso));lines(density(peso, adjust=2),lwd=3,
2777      lty="dotted", col="red")
2778  Definición del área de proyección del histograma
2779      #!insertcurrentplot 'Pesaje CL'!$C$417
2780
2781  • Programación del gráfico de pesaje de las aves
2782  Generación de la base de datos para hacer el gráfico a partir de datos en Excel ®
2783      #!rputdataframe      pesajes      'Pesaje CL'!$B$438:$D$578
2784  Propiedades del área para la generación del gráfico
2785      dev.new(width=4, height=3)
2786  Gráfico de pesajes donde se comparan los valores teóricos con los valores
2787  obtenidos para las aves evaluadas en el pesaje.
2788      plot(pesajes$edad,pesajes$tabla, main="Curva de crecimiento", xlab="Edad
2789      (días)", ylab="Peso (gr)", type="l",lwd=2, col="blue");
2790      lines(pesajes$edad,pesajes$real, col="red",lwd=2);
2791      legend("topleft",c("Tabla","Real"),lty=c(1,1),lwd=c(2,2),col=c("blue","red"),cex
2792      =0.7)
2793  Definición del área de proyección del gráfico de pesaje de las aves
2794      #!insertcurrentplot 'Pesaje CL'!$G$417
2795  Finalización del procedimiento de elaboración y proyección de los gráficos
2796      graphics.off()
2797
2798  • Elaboración del manual de usuario
2799  Con el fin de orientar al usuario en la utilización y la solución de los problemas que
2800  puedan suceder en el uso de la aplicación se elaboró el Manual de usuario. Este
2801  documento contiene las instrucciones paso a paso para la instalación de los
2802  complementos y aplicaciones necesarias para el funcionamiento del programa.
2803  Además explica al usuario la estructura y funcionamiento de cada uno de los
2804  componentes del software facilitando el acercamiento y uso de la aplicación (Anexo
2805  6). El manual de usuario se compone de siete capítulos, así:
```

- 2806 1. Introducción.
2807 2. Objetivos del Manual.
2808 3. Convenciones y Estándares a utilizar.
2809 4. Especificaciones técnicas.
2810 5. Instalación del *Software*.
2811 6. Ingreso y estructura del sistema.
2812 7. Guía de uso.

2813

2814 Validación de la aplicación

2815 Para la validación del funcionamiento de las ecuaciones incorporadas al software,
2816 se compararon los resultados obtenidos en la aplicación con los valores presentes
2817 en registros productivos de lotes de aves procedentes de las granjas evaluadas. El
2818 objetivo fue comparar los parámetros productivos calculados en los registros y otras
2819 aplicaciones con los que entregaba el software, verificando el buen funcionamiento
2820 de la aplicación. En el caso de encontrarse errores, se usaba una tercera hoja de
2821 Excel donde se reescribían las formulas hasta igualar los resultados de los registros
2822 o si era el caso, definir como errados los cálculos presentados en los registros
2823 escritos que fueron la fuente de información para el desarrollo de la aplicación. En
2824 general los errores encontrados coincidieron con errores en las operaciones
2825 presentes en los registros escritos.

2826

2827 Alcance y supuestos de la herramienta

2828 La hoja electrónica está en capacidad de recibir y almacenar información de
2829 aspectos como: alimentación, medio ambiente, sanidad, manejo, administración,
2830 registros productivos de cría y levante, registros productivos de producción y pesaje
2831 de aves. Esta información es el sustrato sobre el cual los modelos hacen los
2832 procesos de aprendizaje, ajuste y finalmente de predicción. Por lo anterior todas las
2833 hojas cuentan con filtros de validación de información permitiendo que los datos
2834 consignados sean contrastados con valores teóricos y generando advertencias al
2835 usuario en el proceso de entrada de la información si los datos están por fuera de

2836 los límites estipulados, permitiendo garantizar la calidad requerida de los datos para
2837 la modelación.

2838

2839 Con respecto a las predicciones hechas por la aplicación, es necesario hacer la
2840 salvedad que los valores predichos demuestran la relación existente entre los
2841 valores de entrada edad y producción diaria de huevos en t-5 periodos con la
2842 producción del día t, y a su vez la proyección día a día hasta llegar al horizonte de
2843 7 días. Por lo anterior cambios en variables diferentes a las de entrada pueden hacer
2844 que la predicción del modelo puedan tener variaciones. Por lo tanto es necesario
2845 que la red sea entrenada con suficiente información previa al día de proyección para
2846 obtener resultados de confiabilidad. A futuro es necesario la inclusión de variables
2847 ambientales, nutricionales y de manejo en el modelo, de modo que las predicciones
2848 cada vez sean más cercanas a las condiciones reales del sistema de producción de
2849 donde proviene la información.

2850

2851 **Futuro de la aplicación**

2852 En el proceso de desarrollo de la investigación las problemas en la toma de
2853 información llevó a incursionar en el diseño y validación de sistemas integrados y
2854 redes de sensores inalámbricos para el monitoreo ambiental y productivo en los
2855 sistema de producción avícola de huevo comercial. Este avance ofrecerá al avicultor
2856 un paquete completo que incluiría el hardware para la toma de información y el
2857 software que procesa, analiza los datos y además, entrega informes en tiempo real
2858 para la toma de decisiones. Idea que fue plasmada en el artículo de divulgación del
2859 proyecto CODI titulado “*Desarrollo de aplicaciones tecnológicas integrales para el*
2860 *manejo de las producciones avícolas del país: sistemas de apoyo a toma de*
2861 *decisiones (SATD)*” ([Anexo 7](#)).

2862

2863 La siguiente fase propuesta será el desarrollo de investigaciones que permitan
2864 construir y evaluar modelos de predicción del comportamiento productivo con la
2865 inclusión de variables tales como: ambientales, de manejo y sanitarias, entre otras.

2866 Además, la inclusión de un módulo de costos permitiendo la valoración económica
2867 de alternativas que los modelos de simulación ofrezcan al productor.

2868

2869 Posteriormente, se propone convertir el *software* en una aplicación móvil con
2870 conectividad a los sistemas de captura de información y a sistemas móviles para la
2871 generación de mensajes de alarma, de modo que su uso online agilice la circulación
2872 de información entre el sistema de producción, el responsable directo del manejo
2873 de las aves (galponero) y el administrador o encargado de la toma de decisiones
2874 gerenciales de la empresa avícola.

2875

2876 **Conclusión**

2877 Se desarrolló, probó y validó la aplicación informática administrativa Sistema de
2878 Gestión de Información para Granjas Avícolas, la cual será entregada a los
2879 productores de forma gratuita acompañada del manual de usuario, con el objetivo
2880 de apoyarlos en los procesos de toma, procesamiento, análisis y almacenamiento
2881 de información proveniente del sistema de producción avícola.

2882

2883 **Referencias**

- 2884 1. Balena F, Foreword By-Fawcette J. Programming Microsoft Visual Basic
2885 6.0. Microsoft Press. 1999.
- 2886 2. Booch G, Rumbaugh J, Jacobson I. Unified Modeling Language (UML).
2887 Rational Software Corporation, Santa Clara, CA, versión 1. 1998
- 2888 3. Galeano-Vasco LF, Cerón-Muñoz MF. Modelación del crecimiento de pollitas
2889 Lohmann LSL con redes neuronales y modelos de regresión no lineal.
2890 Revista MVZ Córdoba, 2013; 18(3): 3861-3867.
- 2891 4. Heiberger RM, Neuwirth E. R through Excel: A spreadsheet interface for
2892 statistics, data analysis, and graphics. New York: Springer. 2009.
- 2893 5. Mertens K. An intelligent system for optimizing the production and quality of
2894 consumption eggs based on synergistic control. 2009. URL:
2895 https://lirias.kuleuven.be/bitstream/123456789/238432/1/Doctoraat_v.DEF_260809.pdf

- 2897 6. Mollo MN, Vendrametto O, Okano MT. Precision livestock tools to improve
2898 products and processes in broiler production: a review. Revista Brasileira de
2899 Ciéncia Avícola, 2009; 11(4): 211-218.
- 2900 7. Nyathi T, Dube S, Sibanda K, Mutunhu B. Poultry contractual farming decision
2901 support system. In IST-Africa Conference and Exhibition (IST-Africa). 2013
2902 pp. 1-8. IEEE.
- 2903 8. R Development Core Team. R: A language and environment for statistical
2904 computing. R Foundation for Statistical Computing. Vienna, Austria. 2013.
- 2905 9. Raju DT, Rao BS. An information technology enabled Poultry Expert System:
2906 Perceptions of veterinarians and veterinary students. International Journal of
2907 Education and Development using ICT. 2006; 2(2).
- 2908 10. Rose N, Mariani JP, Drouin P, Toux JY, Rose V, Colin P. A decision-support
2909 system for Salmonella in broiler-chicken flocks. Preventive veterinary
2910 medicine, 2003; 59(1): 27-42.
- 2911 11. Schmissieux E, Pankratz J, Gehman M. XLAYER: An expert system for layer
2912 management. Poult Sci, 1989; 68(8):1047-1054.
- 2913



2914

2915

Figura 1. Diagrama de flujo para la fase de cría y levante

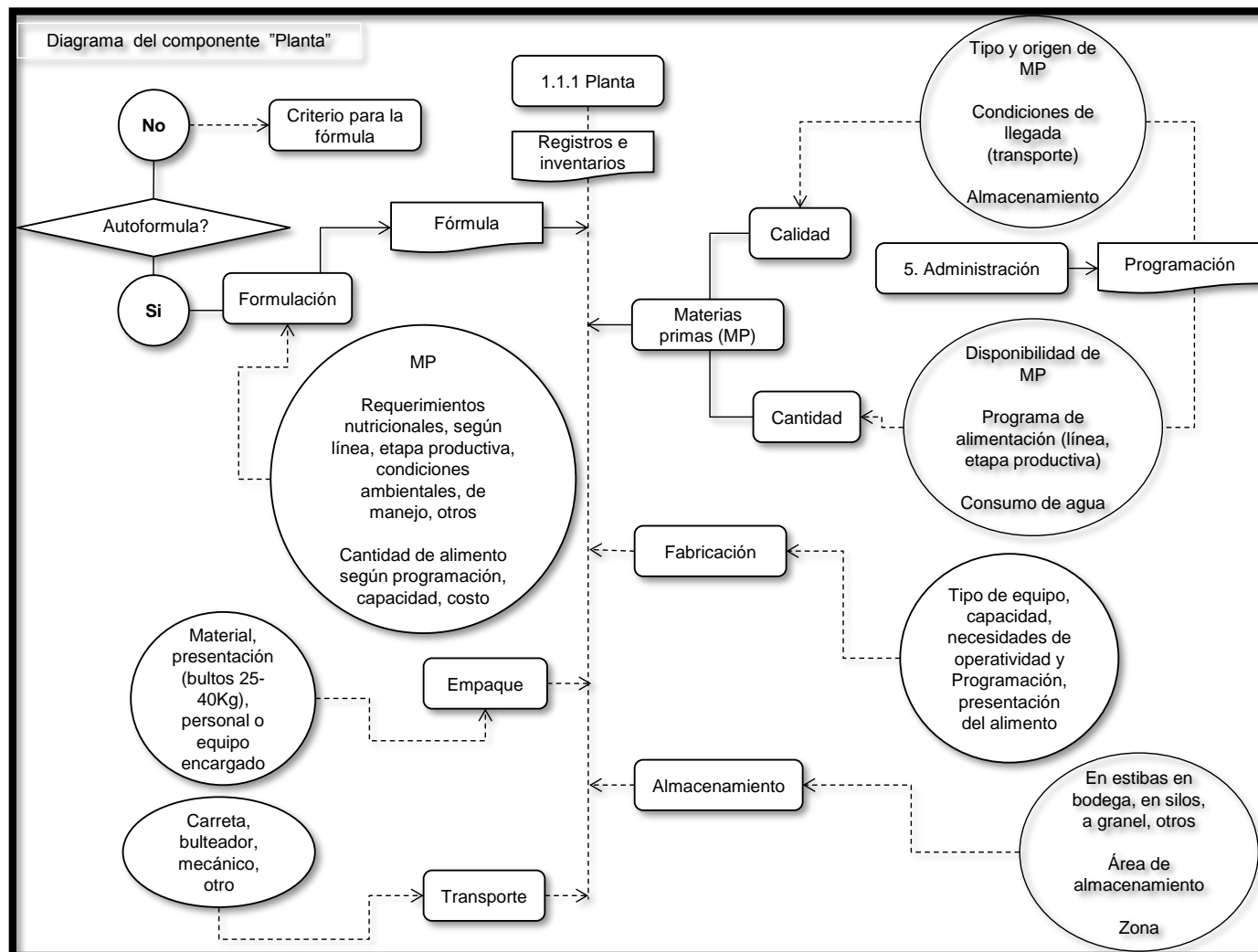
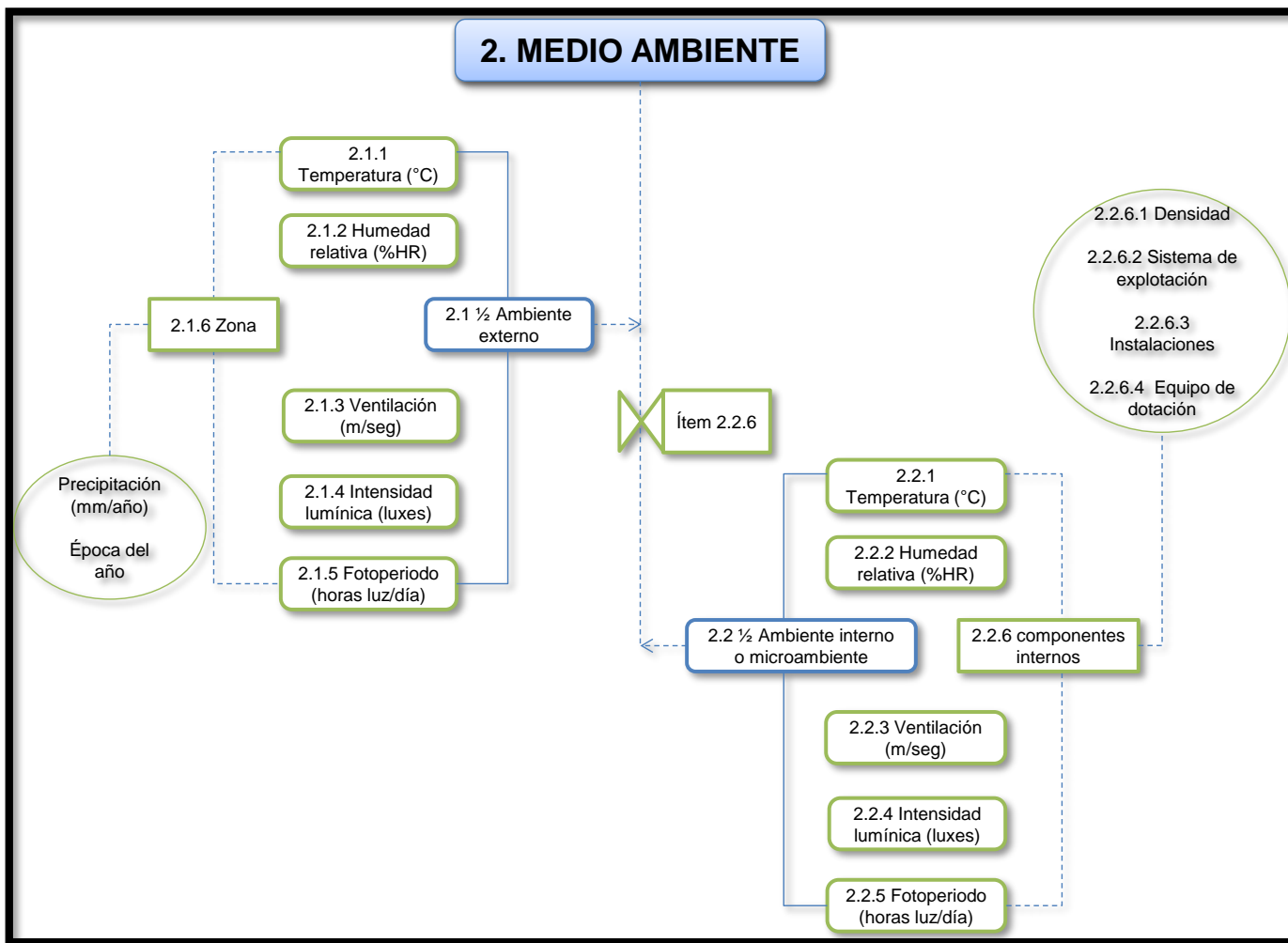


Figura 2. Diagrama de flujo del sistema alimentación para el componente fábrica de alimentos concentrados



2918

2919

2920

Figura 3. Diagrama de flujo del ítem Medio ambiente

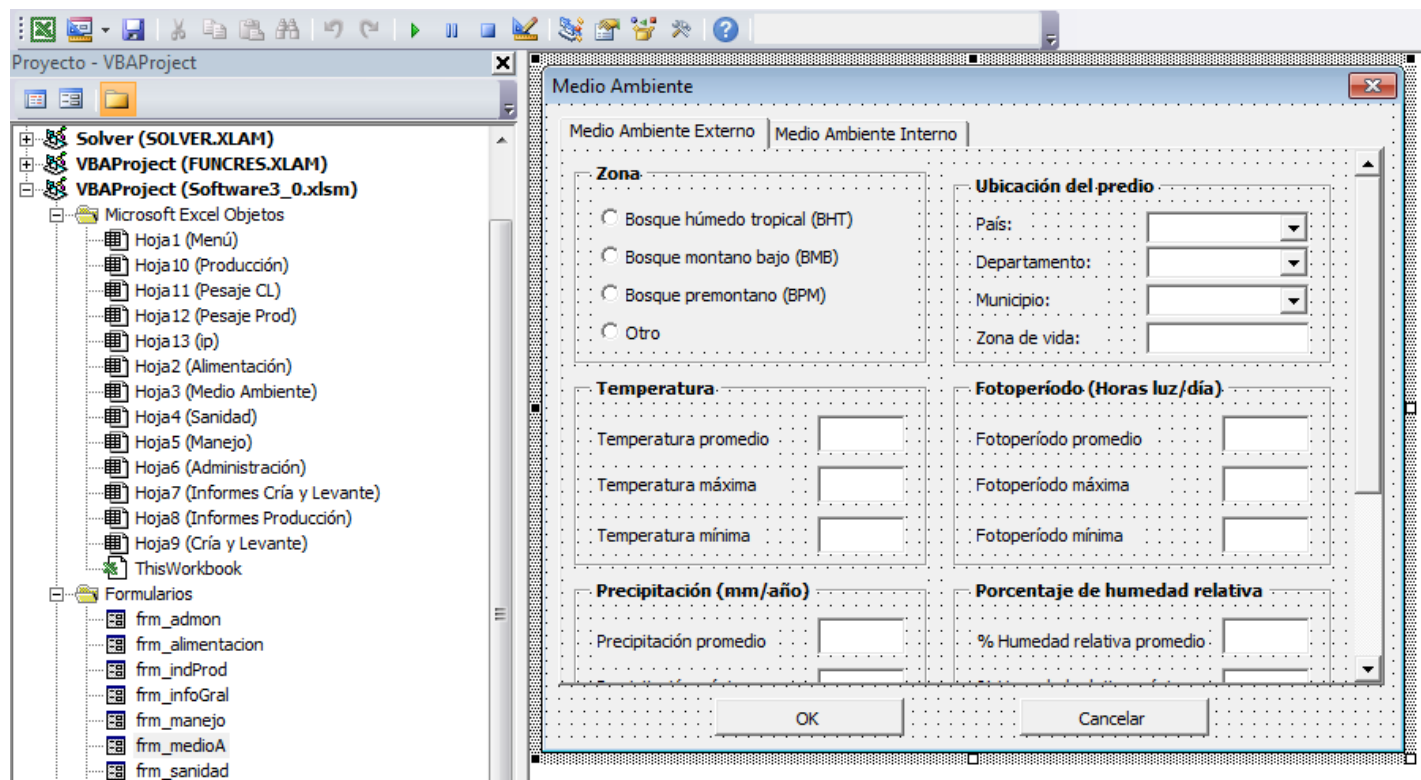


Figura 4. Creación del formulario para captura de información del ítem Medio ambiente.

2921

2922

2923

2924

Conclusiones Generales

2925

2926 1. Con el uso de la teoría de grafos se crearon los diagramas que permitieron
2927 caracterizar el sistema de producción de huevo comercial en las fases de cría y
2928 levante, y de producción.

2929

2930 2. Se logró establecer que los modelos mixtos de Gompertz y Richards, y las RNA
2931 son funcionales para modelar la curva crecimiento y el desarrollo del ave de
2932 postura.

2933

2934 3. Para la modelación de la curva de producción de huevos se evaluaron y
2935 validaron los modelos Adams-Bell, Delay, Lokhorst, redes neuronales (MLP) y
2936 redes neuronales recurrentes (RNNE y RNNJ), entre otros. Definiendo como
2937 modelo el desarrollo del SATD a las redes neuronales.

2938

2939 4. Se diseñó el SATD con formularios para el ingreso y almacenamiento de
2940 información sobre alimentación, medio ambiente, sanidad, manejo y
2941 administración del sistema de producción. Hojas de registro de la información
2942 productiva de las fases cría y levante, de Producción y del pesaje de aves.
2943 Además, de las hojas que ofrecen al productor informes gráficos.

2944

2945 5. El software ofrece al usuario la posibilidad obtener resultados numéricos y
2946 gráficos facilitando el análisis del estado productivo del lote. La inclusión de
2947 modelos de predicción como las redes neuronales artificiales permiten en
2948 tiempo real, proyectar la respuesta productiva del lote en las condiciones actuales
2949 y así en un horizonte de siete días, determinar las posibles actividades
2950 correctivas que permitan mejorar o sostener el nivel productivo dependiente del
2951 estado de la respuesta de las aves.

2952

Consideración Final

2954

2955 En Colombia la avicultura (huevo con cáscara y aves de corral) presentó un
2956 crecimiento del 11.1% para el 2013. Con un incremento en el consumo de huevo de
2957 228 a 236 unidades por persona y de 23,9 a 29 kg de pollo, este aumento registrado
2958 entre 2012 y 2013, según la Federación Nacional de Avicultores, Fenavi.
2959 Manteniéndose el sector avícola en un crecimiento constante, aportando el 3.9%
2960 del PIB nacional y ofreciendo oportunidades laborales a más de medio millón de
2961 personas.

2962

Aspectos como los altos costos de producción, canales de mercadeo plagados de intermediarios y la volatilidad del precio de venta del huevo, hacen que las empresas avícolas obtengan un margen mínimo de rentabilidad, grandes pérdidas en las temporadas de alta oferta y baja demanda (Bohórquez, 2014). En este panorama, es importante el desarrollo y generación de herramientas que le permitan al avicultor evaluar, en tiempo real, el estado productivo y rentabilidad de su empresa, de modo que pueda tener indicadores que le faciliten el proceso de toma de decisiones tendientes a hacer más eficientes los procesos, con el objetivo de disminuir costos de manera sostenida.

2972

2973 En la generación de alternativas de mejora tecnológica a los sistemas de producción
2974 avícola, el principal objetivo de este trabajo fue la creación y validación de un
2975 prototipo para la toma y análisis de información de granjas avícolas. Finalmente se
2976 logró desarrollar la aplicación **SIGA** (*Sistema de Gestión de Información para*
2977 *Granjas Avícolas*). Esta hoja electrónica presenta la ventaja de la inclusión del
2978 software estadístico R como complemento de la interfaz gráfica Microsoft Excel ®,
2979 permitiéndole convertirse en una herramienta informática asequible y de fácil uso
2980 para cualquier productor, y con la posibilidad de ser mejorada a través de la
2981 inclusión de comandos en lenguajes de R, formulas y macros de Excel, y el uso de
2982 programación con Visual Basic.

2983

2984 Para llevar a término la aplicación SIGA, se pasó por las fases de toma de
2985 información productiva de las granjas, definición de los mejores modelos para
2986 ajustar la curva de crecimiento y producción, diseño de la interfaz gráfica y
2987 validación del sistema. Para la primera fase se tomó información primaria de los
2988 productores de cinco granjas avícolas de Antioquia, por medio de encuestas y
2989 reuniones con los productores para la socialización de los esquemas del sistema
2990 productivo. Esta información permitió diseñar diagramas de flujo donde se plasman
2991 las interrelaciones entre procesos, actividades e insumos propios de cada fase del
2992 sistema de producción avícola en las etapas de cría, levante y producción. Estos
2993 esquemas fueron estructurados bajo los lineamientos de Lenguaje Unificado de
2994 Modelado (UML), herramienta básica y sustrato necesario para la programación y
2995 diseño de la hoja electrónica. El aporte de esta fase es que cualquier persona con
2996 conocimientos básicos de programación puede diseñar aplicaciones que incorporen
2997 la dinámica de los componentes y así generar modelos de aplicación en la
2998 producción avícola.

2999

3000 Para la definición del mejor modelo para ajustar la curva de crecimiento en aves se
3001 usaron aves de la línea Lohmann LSL, y al comparar los modelos no lineales mixtos,
3002 Gompertz y Richards presentaron el mejor ajuste, con valores de correlación entre
3003 los datos reales y ajustados del 0.991 y 0.990 respectivamente.

3004

3005 Al querer comparar con literatura el desempeño de los modelos, parece que la
3006 mayoría de publicaciones se han realizado en pollo de engorde, lo cual puede
3007 deberse a la importancia de los parámetros de crecimiento y eficiencia como
3008 criterios de selección de líneas de pollo; ya que aves con tasa de crecimiento altas
3009 obtendrán su peso asintótico más rápido, lo que conlleva a menor tiempo del ave
3010 en el sistema, mayor rotación de individuos en el tiempo y por ende una mayor
3011 eficiencia desde el punto de vista de manejo, de instalaciones y nutricional.

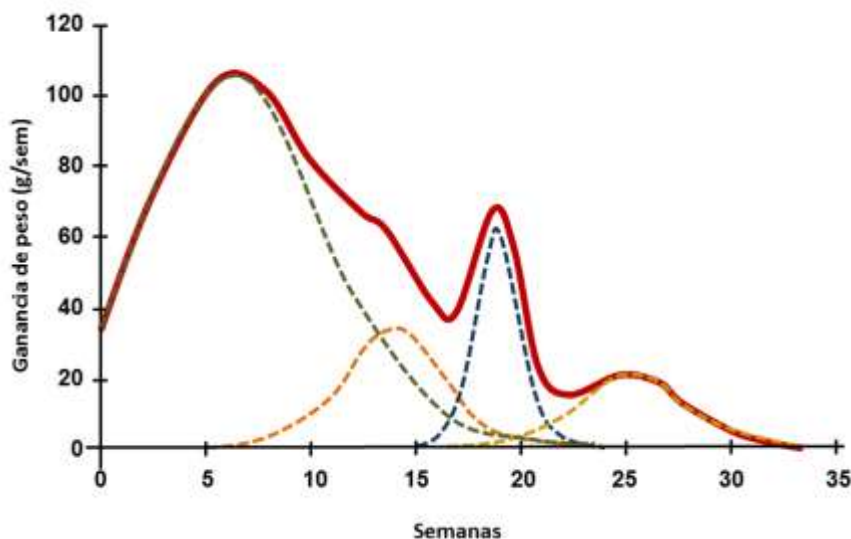
3012

3013 Sin embargo se encontró que autores como Roush y Branton (2005), Eleroğlu et al.,
3014 (2014), Mignon-Grasteau et al., (2001) y Sakomura, et al., (2005) utilizaron la
3015 función no lineal Gompertz para la modelación del crecimiento y la definición de los
3016 parámetros de ajuste. Goliomytis et al., (2003) para este mismo objetivo uso la
3017 función Richards, mientras que Rizzi et al., (2013) y Aggrey, (2002) usaron la
3018 funciones de Gompertz y Richards. Estos dos últimos autores concluyeron que
3019 ambos modelos tienen un ajuste similar, igual que lo encontrado en esta evaluación.
3020 También aseveraron que el modelo Gompertz es el más recomendado para ser
3021 usado, ya que Richards puede tener problemas para ajustar el peso asintótico a
3022 partir de datos que no tienen información más allá del punto de inflexión. Por lo cual
3023 se recomienda el uso del modelo Richards cuando el investigador tenga un set de
3024 datos de toda la fase de crecimiento y/o tenga como objetivo evaluar el efecto
3025 factores externos en la curva de crecimiento, debido a que el parámetro m del
3026 modelo es más sensible a cambios ambientales que la tasa de crecimiento o el valor
3027 asintótico (Aggrey, 2002).

3028

3029 En los artículos donde se evaluó el crecimiento los modelos no lineales y no lineales
3030 mixtos, presentaron problemas para ajustar la curva entre 130 y 150 días, al
3031 subestimar el valor del peso. Un análisis más detallado a la luz de la teoría del
3032 crecimiento multifásico de Kwakkel et al., (2005), quien menciona que al
3033 descomponerse el crecimiento corporal en ganancias de peso por grupos
3034 funcionales, se puede apreciar una curva con cuatro fases (figura 1). Las dos
3035 primeras fases corresponden al desarrollo visceral y esquelético, equivalente al 80%
3036 del total del crecimiento. La tercera fase que se da alrededor de la semana 19 tiene
3037 que ver con la madurez sexual, ya que se da el desarrollo del 40 al 70% del tracto
3038 reproductivo y la cuarta fase hace referencia a la acumulación de reservas grasas
3039 en el ave. Con base en lo anterior se puede inferir que el cambio en el aumento de
3040 peso entre las 18 y 21 semanas que los modelos no pudieron ajustar se debe al
3041 desarrollo del tracto reproductivo, como consecuencia de la madurez sexual e inicio
3042 de producción de huevos.

3043



3044

3045 **Figura 1.** Patrón de ganancias de peso línea White Leghorn, adaptad de
3046 Kwakkel et al., (2005).

3047

3048 Esta fase es muy importante en la producción de huevos, ya que el potencial
3049 productivo depende directamente del peso y la edad a la que alcanza su madurez
3050 sexual, y la edad al primer huevo; donde aves con una temprana edad al inicio de
3051 postura van a tener un mayor número de huevos por ave alojada, pero si su peso
3052 es bajo el tamaño de los huevos también lo serán (Gous, 2014). De modo que una
3053 curva de crecimiento óptima para el ave sería aquella con la combinación de un
3054 peso asintótica baja y una tasa de madurez alta, de modo que el periodo
3055 improductivo sea corto con una producción de huevos en un peso aceptable y
3056 además incurriendo en menores costos por alimentación, siendo una asociación
3057 desde el punto de vista económico aceptable en el caso de selección de
3058 reproductoras de pollo de engorde (Di Masso, 1998), pero sería contraproducente
3059 en el caso de producción de huevo comercial, donde el precio de venta está
3060 condicionado por el peso del huevo. En este caso sería deseable un ave con un
3061 mayor peso, asociado a una tasa de crecimiento lenta, de modo que la edad de
3062 madurez coincida con una talla corporal óptima. El objetivo del peso corporal y la
3063 madurez sexual requiere de planes de manejo nutricional y de iluminación, acordes
3064 a las necesidades propias de la línea (Min et al., 2012; Ezieshi et al., 2012) los

3065 cuales pueden ser programados acorde al desarrollo del ave, al determinar con el
3066 uso de modelos de crecimiento, cuál será la edad y el peso en que el lote va a
3067 alcanzar su madurez sexual.

3068

3069 Para la modelación de la curva de huevos, Narushin y Takma (2003), compararon
3070 los modelos Adams Bell y Lokhorst los cuales funcionaron de forma similar
3071 alcanzando valores de R^2 de 0.973.

3072

3073 Los datos que utilizaron estos investigadores tenían una estructura grafica similar a
3074 los de la línea LSL, la cual fue ajustada con los modelos Adams Bell y Lokhorst con
3075 valores de R^2 de 0.96 y 0.99, respectivamente. Al contrastar nuestros resultados
3076 con los presentados por Narushin y Takma (2003), se puede afirmar que ambos
3077 modelos tienen un ajuste óptimo a la curva de producción de huevos.

3078

3079 Miyoshi et al. (1996) evaluó la capacidad del modelo Adams Bell para ajustarse a 6
3080 tipos diferentes de curvas de producción de huevo (patrones) (figura 2). Para los
3081 patrones 1 y 2 el modelo obtuvo valores de R^2 de 0.998 y 0.999, mostrando una
3082 gran capacidad de ajuste a curvas que tienen un ascenso rápido y un descenso
3083 prolongado en el tiempo como la presentada por la línea LSL e IB en nuestra
3084 evaluación (R^2 0.91 y 0.96) (figura 3).

3085

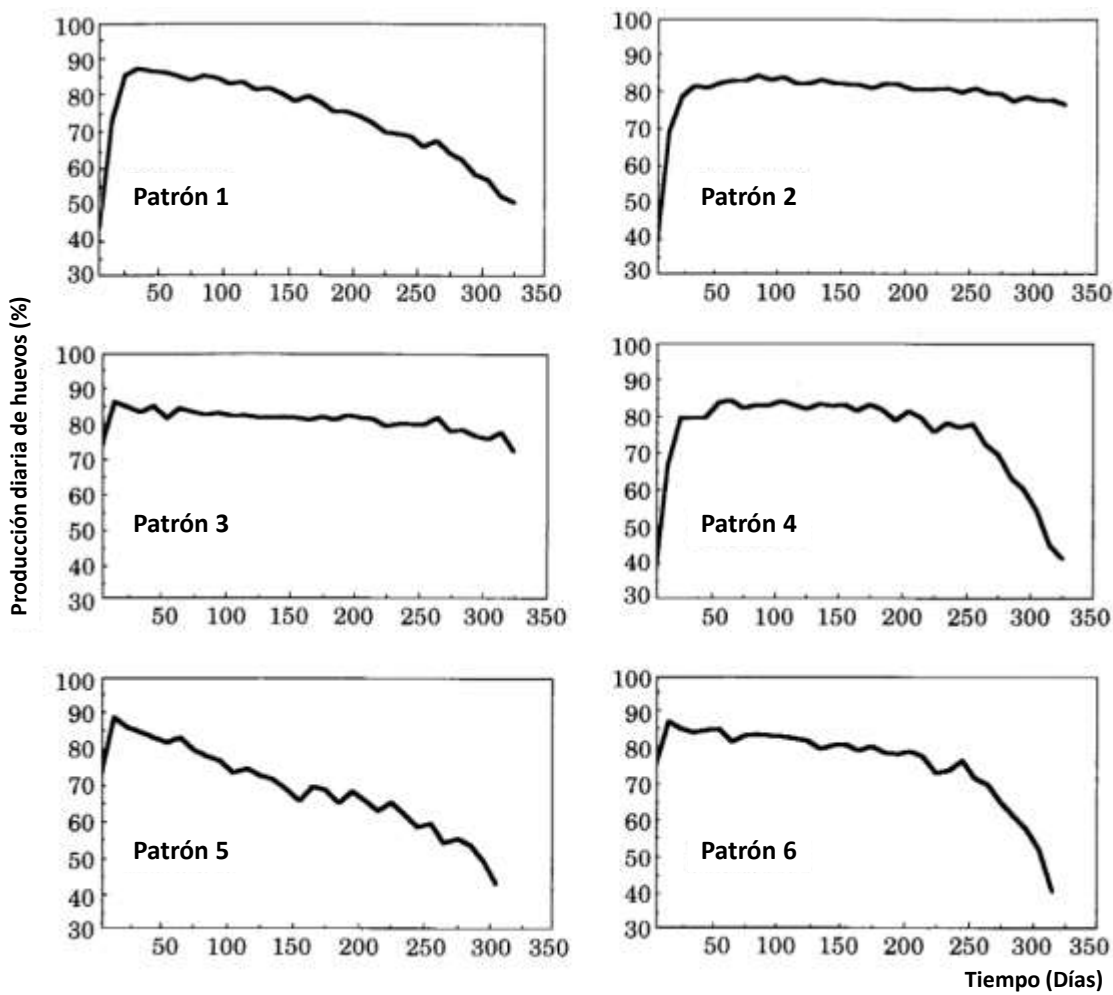
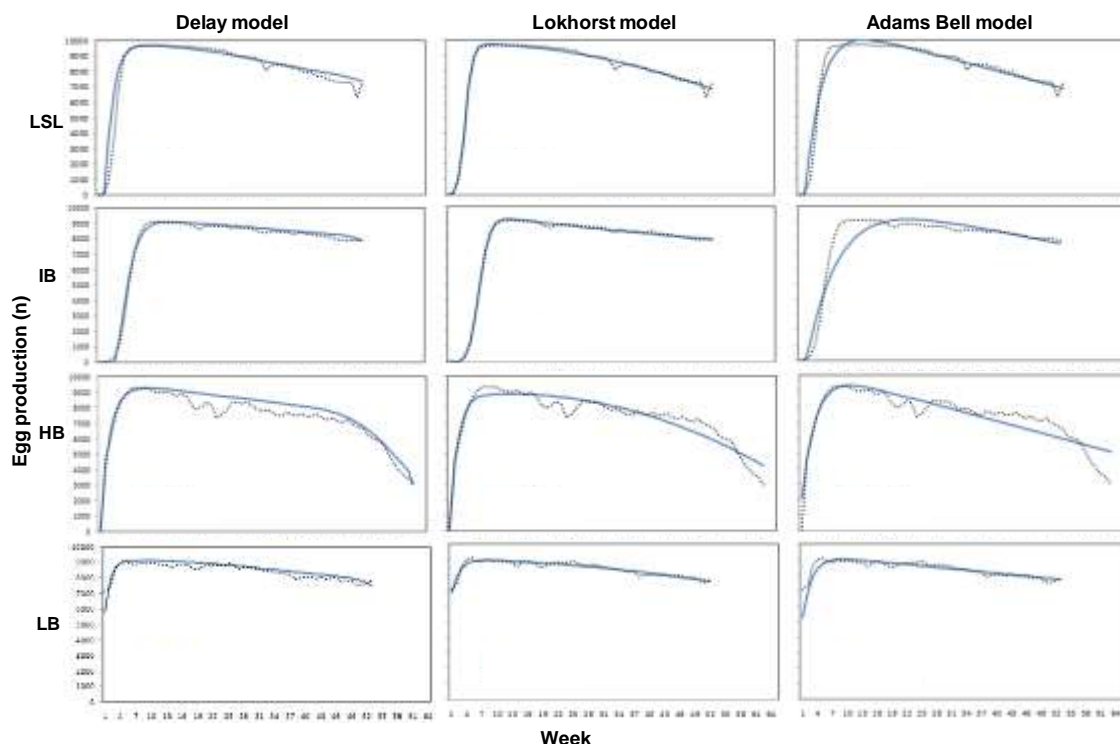


Figura 2. Tomado de Miyoshi et al. (1996). Patrones (curvas de producción)

evaluadas en su publicación “Application of nonlinear models to egg production curves in chickens”

Los 4 restantes patrones mostrados por Miyoshi et al. (1996) no fueron ajustadas por el modelo, lo que resulta llamativo ya que el patrón 3 tiene una forma similar a la curva de LB y el patrón 4 se asemeja a la curva de HB, las cuales fueron ajustadas por el modelo (R^2 0.74 y 0.84). Estas curvas se caracterizan por tener una caída fuerte de la producción a partir de la semana 50, gran número de altibajos en la cantidad de huevos o una etapa corta de arranque de la producción con valores porcentuales altos (>60%). En ambos ensayos se denota la dificultad del modelo para ajustar este tipo de curvas en comparación con los valores de ajuste para los patrones 1 y 2, y las curvas LB y HB.

3100



3101

3102 **Figura 3.** Tomado de Galeano et al. (1996). Curvas de producción evaluadas
 3103 en su publicación “Uso del modelo de distribución con retardo para predecir la
 3104 producción de huevos en gallinas ponedoras”. La línea punteada negra es el valor
 3105 real y el alineaa azul es el estimado por el modelo. Hy Line Brown (HB), Lohmann
 3106 LSL (LSL), Isa Brown (IB), and Lohmann Brown (LB).

3107

3108 Miyoshi et al. (1996) concluyen su artículo afirmando que los modelos no lineales
 3109 no tienen la capacidad de ajustar patrones con tantas irregularidades en la curva.
 3110 Estos cambios en la curva pueden ser ocasionados por factores como: ambientales
 3111 (Tumová y Gous, 2012), genéticos (Ledur et al., 2000), infecciosos (Lott et al., 1978),
 3112 nutricionales – deficiencias de nutrientes (Ahmadi y Fariba, 2011), nutricionales –
 3113 micotoxicosis (Jewers, 1990) y propias de ave (Du Plessis y Erasmus, 2002), entre
 3114 otras.

3115

3116 Tanto los modelos usados para el ajuste de las curvas de crecimiento y de
 3117 producción tienen limitantes para su correcto funcionamiento, una de ellas es que

3118 para su ajuste se necesitan valores iniciales del modelo (valores semilla) sobre los
3119 cuales se inicia el proceso de iteración, si estos valores están muy alejados el
3120 proceso de iteración del modelo se hará muy lento e incluso puede fallar
3121 (Savegnago et al., 2011). Otro aspecto es la libertad que ofrecen las redes para
3122 construir el modelo con cuantas entradas y salidas se desee incorporar, esta
3123 arquitectura dependerá de la estructura de la base de datos y los objetivos a evaluar
3124 por parte del investigador (Savegnago et al., 2011). Las redes neuronales al hacer
3125 parte de las técnicas no paramétricas permiten al usuario hacer estimaciones sin
3126 necesidad de cumplir con supuestos estadísticos (distribución de las variables,
3127 homogeneidad de varianzas, independencia de los errores, distribución normal de
3128 los errores, entre otros), este aspecto hace que la red pueda recibir toda clase de
3129 datos (Roush et al., 2006).

3130

3131 Al comparar la capacidad de ajuste de las curvas de crecimiento y producción de
3132 huevos entre los modelos no lineales y las redes neuronales, obtuvimos los mismos
3133 resultados que Roush et al. (2006) y Savegnago et al. (2011), donde el modelo
3134 neuronal superó en grado de ajuste a su contraparte, pero con la desventaja de no
3135 obtener parámetros con interpretación biológica, ya que las redes funcionan como
3136 cajas negras y sus componentes no ofrecen ninguna inferencia sobre los aspectos
3137 biológicos que se modelaron.

3138

3139 La habilidad de las redes neuronales artificiales (RNA) para la predicción de eventos
3140 en avicultura ya ha sido evaluada, por ejemplo Faridi et al. (2012) evaluó las
3141 capacidad de las RNA para estimar las características de la canal en pollos de
3142 engorde. Ahmad y Mariano (2006) construyeron una red que les permitía estimar el
3143 precio de venta del huevo, a partir del historial de los años 1993 al 2000 incluyendo
3144 aspecto como: precio del huevo, numero de aves, número de aves encasetada y
3145 exportaciones de huevo; llegando a obtener un R^2 del 60% superando al 37% que
3146 arrojó un modelo lineal con el que se comparó la red. De igual forma se han usado
3147 las RNA para predecir la viabilidad de nacimientos de huevos para incubación
3148 durante el ciclo temprano de la producción en gallinas. En esta evaluación superó a

3149 un modelo de regresión lineal (R^2 70%), modelo de lógica difusa (R^2 87%)
3150 obteniendo un valor de R^2 de 99%. También se han hecho comparaciones entre las
3151 RNA y otros metodologías estadísticas para la estimar las necesidad des de energía
3152 metabolizable verdadera para carne y hueso en pollos (Perai et al., 2010).

3153

3154 Los resultados anteriores concuerdan con el desempeño de los modelos neuronales
3155 evaluados en este trabajo, donde superaron a modelos no lineales en la predicción
3156 de la producción diaria de huevos y ofrecen la posibilidad de una ventana de
3157 estimación de 7 días en la producción, que permiten al productor bajo las
3158 condiciones de la evaluación, proyectar el rendimiento productivo de las aves a
3159 futuro y tomar decisiones sobre la tendencia de la curva que la RNA le entrega como
3160 resultado.

3161

3162 La estructura del modelo Elman quedó compuesta por 27 neuronas, con 6 neuronas
3163 de entrada de información (edad, producción en los periodos t-5, t-4, t-3, t-2 y t-1),
3164 10 neuronas ocultas, 10 neuronas de contexto y una neurona de salida. El modelo
3165 Jordan tiene 18 neuronas, con 6 neuronas de entrada, 10 neuronas ocultas, una
3166 neurona de contexto y una neurona de salida. Mientras que el Perceptrón multicapa
3167 tiene 17 neuronas, con 6 neuronas de entrada, 10 neuronas ocultas y una neurona
3168 de salida. Los pesos entre las conexiones que las redes calcularon aparecen en las
3169 tablas 1, 2 y 3 de este capítulo.

3170

3171

3172

3173 **SIGA** Sistema de Gestión de Información para Granjas Avícolas
3174 Es la materialización de los capítulos donde se evaluó la funcionalidad de los
3175 modelos no lineales, no lineales mixtos y redes neuronales para el ajuste de la curva
3176 de crecimiento y producción. Debido a que los modelos de mejor desempeño se
3177 incorporaron en la aplicación para la modelación del crecimiento y la producción.

3178

3179 A la fecha la aplicación (**SIGA**) consta de una interfaz del usuario, e incluye cinco
3180 formularios diseñados para el ingreso de información inherente a la producción
3181 sobre aspectos tales como: alimentación, medio ambiente, sanidad, manejo y
3182 administración. Además, tiene hojas de registro de la información productiva de las
3183 fases cría y levante, de Producción y del pesaje de aves. Ofrece al usuario la
3184 posibilidad obtener resultados numéricos y gráficos facilitando el análisis del estado
3185 productivo del lote al contrastarlo con los indicadores productivos propuestos por la
3186 línea genética.

3187

3188 **Alcance y supuestos de la herramienta**

3189

3190 **El futuro de SIGA**

3191 A futuro se pretende incluir un módulo de costeo, que permita al usuario valorar
3192 económicamente el estado del lote y el resultado en un ambiente de simulación de
3193 los efectos productivos y económicos de la aplicación de cambios en el sistema.

3194

3195 Es necesario construir un modelo neuronal que incluya dentro de su estructura
3196 variables tales como: nutricionales, ambientales, de manejo y sanitarias, entre otras.
3197 Permitiendo evaluar la interacción de los componentes, sus posibles modificaciones
3198 y su efecto en la respuesta productiva de los animales.

3199

3200 Finalmente, convertir los módulos de captura de información de **SIGA** en una
3201 aplicación móvil con conectividad, de modo que su uso online agilice la circulación
3202 de información entre el responsable directo de la producción (galponero) y el
3203 administrador o encargado de la toma de decisiones gerenciales de la empresa
3204 avícola. Hoy en día este proceso puede tardar hasta 8 días entre la actualización
3205 del registro principal y la llegada de nueva información, por lo que la toma de
3206 decisiones no se puede hacer en tiempo real.

3207

3208 **Referencias**

- 3209 1. Ahmad H A, Mariano M. Comparison of forecasting methodologies using
3210 egg price as a test case. *Poult sci* 2006; 85(4):798-807.
- 3211 2. Ahmadi F, Fariba R. Factors affecting quality and quantity of egg production
3212 in laying hens: A Review. *World Applied Sciences Journal* 2011; 12(3): 372-
3213 384.
- 3214 3. Bohórquez V D. Perspectiva de la producción avícola en Colombia. Tesis.
3215 Universidad militar nueva granada, Facultad de ciencias económicas.
3216 Especialización en alta gerencia. 2014.
3217 <http://repository.unimilitar.edu.co/bitstream/10654/12149/1/AVICULTURA.pdf>
3218 f
- 3219 4. Di Masso R J, Dottavio A M, Canet Z E, Font M T. Body weight and egg
3220 weight dynamics in layers. *Poult sci* 1998; 77(6):791-796.
- 3221 5. Du Plessis P H C, Erasmus J. The relationship between egg production, egg
3222 weight and body weight in laying hens. *World's Poultry Science Journal*
3223 1972; 28(03):301-310.
- 3224 6. Eleroğlu H, Yıldırım A, Şekeroğlu A, Çoksöyler, F N, Duman M. Comparison
3225 of Growth curves by growth models in slow-growing chicken genotypes
3226 raised the organic system. *international journal of agriculture and biology*.
3227 2014; 16(3):529-535.
- 3228 7. Ezieshi E V, Okorokpa B T, Olomu J M. Nutritional evaluation of yam peel
3229 meal for pullet chickens: 2. Effect of feeding varying levels on sexual
3230 maturity and laying performance. *International Journal of Applied Agriculture*
3231 and Apiculture Research, 2011; 7(1):46-53.
- 3232 8. Faridi A, Sakomura N K, Golian A, Marcato S M. Predicting body and
3233 carcass characteristics of 2 broiler chicken strains using support vector
3234 regression and neural network models. *Poult sci*, 2012; 91(12): 3286-3294.
- 3235 9. Goliomytis M, Panopoulou E, Rogdakis E. Growth curves for body weight
3236 and major component parts, feed consumption, and mortality of male broiler
3237 chickens raised to maturity. *Poult sci* 2003; 82(7):1061-1068.

- 3238 10. Gous R M. Modeling as a research tool in poultry science. Poult sci, 2014;
3239 93(1):1-7.
- 3240 11. Jewers K. Mycotoxins and their effect on poultry production. Options
3241 Méditerranéennes 1990; 7:195-202.
- 3242 12. Kwakkel R P, Ducro B J, Koops W J. Multiphasic analysis of growth of the
3243 body and its chemical components in White Leghorn pullets. Poult sci, 1993;
3244 72(8):1421-1432.
- 3245 13. Ledur M C, Fairfull R W, McMillan I, Asseltine L. Genetic effects of aging on
3246 egg production traits in the first laying cycle of White Leghorn strains and
3247 strain crosses. Poult sci, 2000; 79(3):296-304.
- 3248 14. Lott B D, Drott J H, Vardaman T H, Reece F N. Effect of *Mycoplasma*
3249 *synoviae* on egg quality and egg production of broiler breeders. Poult Sci,
3250 1978; 57(1):309-311.
- 3251 15. Mehri M. A comparison of neural network models, fuzzy logic, and multiple
3252 linear regression for prediction of hatchability. Poult sci, 2013; 92(4):1138-
3253 1142.
- 3254 16. Mignon-Grasteau S, Beaumont C, Ricard F H. Genetic analysis of a
3255 selection experiment on the growth curve of chickens. Poult sci 2001;
3256 80(7):849-854.
- 3257 17. Min J K, Hossan, M., Nazma, A., Jae, C. N., Han, T. B., Hwan, K. K., ... &
3258 Ok, S. S. (2012). Effect of monochromatic light on sexual maturity,
3259 production performance and egg quality of laying hens. Avian Biology
3260 Research, 5(2), 69-74.
- 3261 18. Miyoshi S, Luc K M, Kuchida K, Takatsugu M. Application of non-linear
3262 models to egg production curves in chickens. Jpn Poult Sci 1996; 33:178-
3263 184
- 3264 19. Narushin V G, Takma C. Sigmoid model for the evaluation of growth and
3265 production curves in laying hens. Biosystems engineering, 2003; 84(3):343-
3266 348.
- 3267 20. Perai A H, Moghaddam H N, Asadpour S, Bahrampour J, Mansoori G. A
3268 comparison of artificial neural networks with other statistical approaches for

- 3269 the prediction of true metabolizable energy of meat and bone meal. Poult
3270 sci, 2010; 89(7):1562-1568.
- 3271 21. Rizzi C, Contiero B, Cassandro M. Growth patterns of Italian local chicken
3272 populations. Poult sci 2013; 92(8): 2226-2235.
- 3273 22. Roush W B, Branton S L. A comparison of fitting growth models with a
3274 genetic algorithm and nonlinear regression. Poult sci 2005; 84(3):494-502.
- 3275 23. Roush W B, Dozier W A, Branton S L. Comparison of Gompertz and neural
3276 network models of broiler growth. Poult sci 2006; 85(4): 794-797.
- 3277 24. Sakomura N K, Longo F A, Oviedo-Rondon E O, Boa-Viagem C, Ferraudo
3278 A. Modeling energy utilization and growth parameter description for broiler
3279 chickens. Poult Sci 2005; 84(9):1363-1369.
- 3280 25. Savegnago R P, Nunes B N, Caetano S L, Ferraudo A S, Schmidt G S,
3281 Ledur M C, Munari D P. Comparison of logistic and neural network models
3282 to fit to the egg production curve of White Leghorn hens. Poult sci, 2011;
3283 90(3):705-711.
- 3284 26. Tumová E, Gous R M. Interaction of hen production type, age, and
3285 temperature on laying pattern and egg quality. Poult sci, 2012; 91(5):1269-
3286 1275.

3287

Tabla 1. Estructura matricial de los pesos de las conexiones de la estructura neuronal recurrente de Elman

3288

	inp1	inp2	inp3	inp4	inp5	inp6	hid1	hid2	hid3	hid4	hid5	hid6	hid7	hid8	hid9	hid10	out1	con1	con2	con3	con4	con5	con6	con7	con8	con9	con10
inp1	0	0	0	0	0	0	0,40	-0,94	0,35	0,44	0,23	0,62	-0,11	0,45	-0,54	-1,07	0	0	0	0	0	0	0	0	0	0	0
inp2	0	0	0	0	0	0	0,99	-0,41	-0,01	-0,78	-0,33	0,96	-1,02	0,19	0,01	0,01	0	0	0	0	0	0	0	0	0	0	0
inp3	0	0	0	0	0	0	0,66	0,87	0,79	-0,84	-0,70	-0,64	0,43	0,46	0,52	0,88	0	0	0	0	0	0	0	0	0	0	0
inp4	0	0	0	0	0	0	0,50	-0,70	0,50	-0,63	-0,18	0,46	-0,05	0,74	1,09	0,28	0	0	0	0	0	0	0	0	0	0	0
inp5	0	0	0	0	0	0	-0,50	-0,43	-0,14	0,03	0,71	0,37	0,22	0,41	-0,68	-0,29	0	0	0	0	0	0	0	0	0	0	0
inp6	0	0	0	0	0	0	-0,55	-0,86	-0,87	-0,15	0,95	0,02	-0,02	0,03	-0,69	0,96	0	0	0	0	0	0	0	0	0	0	0
hid1	0	0	0	0	0	0	0	0	0	0	0	0	0	0	0	-0,39	1	0	0	0	0	0	0	0	0	0	0
hid2	0	0	0	0	0	0	0	0	0	0	0	0	0	0	0	0,50	0	1	0	0	0	0	0	0	0	0	0
hid3	0	0	0	0	0	0	0	0	0	0	0	0	0	0	0	-0,37	0	0	1	0	0	0	0	0	0	0	0
hid4	0	0	0	0	0	0	0	0	0	0	0	0	0	0	0	0,22	0	0	0	1	0	0	0	0	0	0	0
hid5	0	0	0	0	0	0	0	0	0	0	0	0	0	0	0	0,07	0	0	0	0	1	0	0	0	0	0	0
hid6	0	0	0	0	0	0	0	0	0	0	0	0	0	0	0	0,32	0	0	0	0	0	0	1	0	0	0	0
hid7	0	0	0	0	0	0	0	0	0	0	0	0	0	0	0	-0,92	0	0	0	0	0	0	0	1	0	0	0
hid8	0	0	0	0	0	0	0	0	0	0	0	0	0	0	0	1,06	0	0	0	0	0	0	0	0	1	0	0
hid9	0	0	0	0	0	0	0	0	0	0	0	0	0	0	0	0,87	0	0	0	0	0	0	0	0	0	1	0
hid10	0	0	0	0	0	0	0	0	0	0	0	0	0	0	0	0,71	0	0	0	0	0	0	0	0	0	0	1
out1	0	0	0	0	0	0	0	0	0	0	0	0	0	0	0	0	0	0	0	0	0	0	0	0	0	0	0
con1	0	0	0	0	0	0	0,21	-0,71	0,83	-0,74	0,80	-0,23	0,42	0,53	0,59	-0,73	0	0,3	0	0	0	0	0	0	0	0	0
con2	0	0	0	0	0	0	0,60	0,88	-0,63	0,39	0,71	0,60	0,06	0,89	-0,25	0,32	0	0	0,3	0	0	0	0	0	0	0	0
con3	0	0	0	0	0	0	0,82	-1,00	0,71	0,08	0,10	-0,87	0,70	-1,11	-0,24	0,26	0	0	0	0,3	0	0	0	0	0	0	0
con4	0	0	0	0	0	0	-0,34	-0,02	0,31	-0,22	-0,50	-0,26	-0,61	-0,62	-0,96	0,85	0	0	0	0	0,3	0	0	0	0	0	0
con5	0	0	0	0	0	0	0,71	0,84	0,18	-0,43	-0,22	0,29	-0,80	0,48	-0,54	0,25	0	0	0	0	0	0,3	0	0	0	0	0
con6	0	0	0	0	0	0	-0,29	-0,44	-0,80	0,08	0,59	0,01	-0,61	-0,81	-0,54	0,70	0	0	0	0	0	0	0,3	0	0	0	0
con7	0	0	0	0	0	0	0,47	-0,56	-0,38	-0,72	0,45	0,15	-0,98	-0,23	-0,19	-0,89	0	0	0	0	0	0	0	0,3	0	0	0
con8	0	0	0	0	0	0	0,60	0,70	0,52	0,58	0,91	0,39	-0,09	0,33	-0,09	-0,40	0	0	0	0	0	0	0	0,3	0	0	0
con9	0	0	0	0	0	0	-0,06	0,19	0,97	0,92	-0,24	-0,37	0,97	-0,29	0,35	-0,47	0	0	0	0	0	0	0	0	0,3	0	0
con10	0	0	0	0	0	0	0,98	0,15	0,53	-0,17	-0,90	0,53	-0,41	0,33	-0,57	-0,06	0	0	0	0	0	0	0	0	0	0,3	0

3289

3290

3291

3292

3293

3294

3295

3296

Tabla 2. Estructura matricial de los pesos de las conexiones de la estructura neuronal recurrente de Jordan

	inp1	inp2	inp3	inp4	inp5	inp6	hid1	hid2	hid3	hid4	hid5	hid6	hid7	hid8	hid9	hid10	out1	con1
inp1	0	0	0	0	0	0	-0,69	0,20	-0,05	-0,51	0,14	-0,69	0,61	0,15	0,53	0,59	0	0
inp2	0	0	0	0	0	0	0,81	-0,06	0,95	-0,06	0,82	-0,90	0,66	0,23	-0,28	-0,46	0	0
inp3	0	0	0	0	0	0	-0,02	0,57	0,85	-0,60	-0,57	-1,00	-0,79	0,75	-0,73	-0,50	0	0
inp4	0	0	0	0	0	0	-0,74	-0,32	0,91	0,49	-0,96	-0,10	-0,19	0,36	0,90	-0,32	0	0
inp5	0	0	0	0	0	0	0,43	0,02	-0,48	-0,85	0,96	0,52	0,64	0,00	0,15	-0,72	0	0
inp6	0	0	0	0	0	0	0,79	0,19	-0,17	-0,22	-0,98	-0,88	0,10	0,69	-0,66	0,32	0	0
hid1	0	0	0	0	0	0	0	0	0	0	0	0	0	0	0	0	-0,01	0
hid2	0	0	0	0	0	0	0	0	0	0	0	0	0	0	0	0	0,59	0
hid3	0	0	0	0	0	0	0	0	0	0	0	0	0	0	0	0	-0,01	0
hid4	0	0	0	0	0	0	0	0	0	0	0	0	0	0	0	0	-0,85	0
hid5	0	0	0	0	0	0	0	0	0	0	0	0	0	0	0	0	-0,46	0
hid6	0	0	0	0	0	0	0	0	0	0	0	0	0	0	0	0	0,42	0
hid7	0	0	0	0	0	0	0	0	0	0	0	0	0	0	0	0	-0,55	0
hid8	0	0	0	0	0	0	0	0	0	0	0	0	0	0	0	0	1,03	0
hid9	0	0	0	0	0	0	0	0	0	0	0	0	0	0	0	0	0,58	0
hid10	0	0	0	0	0	0	0	0	0	0	0	0	0	0	0	0	-0,51	0
out1	0	0	0	0	0	0	0	0	0	0	0	0	0	0	0	0	0	1
con1	0	0	0	0	0	0	-0,51	0,37	0,03	0,22	-0,54	-0,49	-0,92	0,12	0,48	0,31	0	0,3

3297

3298

3299

3300

3301

3302

3303

3304

3305

3306

3307

3308

3309

Tabla 3. Estructura matricial de los pesos de las conexiones de la estructura neuronal del Perceptrón multicapa

	inp1	inp2	inp3	inp4	inp5	inp6	hid1	hid2	hid3	hid4	hid5	hid6	hid7	hid8	hid9	hid10	out1
inp1	0	0	0	0	0	0,20	0,00	-0,19	-0,30	0,09	-0,32	-0,22	-0,02	0,15	0,12	0	
inp2	0	0	0	0	0	-0,03	0,09	0,07	0,20	-0,12	0,15	0,24	0,09	-0,13	0,09	0	
inp3	0	0	0	0	0	0,01	-0,20	0,12	0,01	-0,03	0,10	0,21	-0,01	0,16	-0,12	0	
inp4	0	0	0	0	0	-0,10	-0,23	0,28	0,34	-0,09	0,13	0,25	0,27	-0,21	0,03	0	
inp5	0	0	0	0	0	-0,36	0,03	0,25	0,27	0,09	0,38	0,27	0,33	0,12	-0,23	0	
inp6	0	0	0	0	0	-0,37	-0,31	0,25	0,25	-0,02	0,03	0,22	0,30	0,10	0,04	0	
hid1	0	0	0	0	0	0	0	0	0	0	0	0	0	0	0	-0,66	
hid2	0	0	0	0	0	0	0	0	0	0	0	0	0	0	0	-0,39	
hid3	0	0	0	0	0	0	0	0	0	0	0	0	0	0	0	0,42	
hid4	0	0	0	0	0	0	0	0	0	0	0	0	0	0	0	0,64	
hid5	0	0	0	0	0	0	0	0	0	0	0	0	0	0	0	-0,16	
hid6	0	0	0	0	0	0	0	0	0	0	0	0	0	0	0	0,39	
hid7	0	0	0	0	0	0	0	0	0	0	0	0	0	0	0	0,65	
hid8	0	0	0	0	0	0	0	0	0	0	0	0	0	0	0	0,45	
hid9	0	0	0	0	0	0	0	0	0	0	0	0	0	0	0	-0,11	
hid10	0	0	0	0	0	0	0	0	0	0	0	0	0	0	0	-0,19	
out1	0	0	0	0	0	0	0	0	0	0	0	0	0	0	0	0	

3310

3311

3312

Recomendaciones Generales

3313

3314 Con el objetivo de generar alternativas de modernización en el sector avícola
3315 colombiano, es necesario profundizar en el proceso de creación y validación con el
3316 uso de nuevas tecnologías para la captura de información, monitoreo y control de
3317 las condiciones de manejo y ambientales de los sistemas productivos. Lo anterior
3318 generará un banco de datos necesarios para la construcción de los modelos que
3319 simulen el efecto de las variables que tienen participación directa o indirecta en la
3320 respuesta productiva del ave. Esta información será el sustrato para el desarrollo de
3321 investigaciones que fortalezcan la línea de Biomodelación del grupo Gamma y la
3322 generación de aplicaciones informáticas que faciliten la toma de decisiones
3323 gerenciales en tiempo real.

3324

3325 A futuro, con el fin de mejorar el alcance de la aplicación informática, es necesario
3326 incorporar un módulo de costos, de modo que las variables y sus efectos sean
3327 valorados desde el punto de vista económico.

3328

3329 Además, es necesario incorporar más variables al sistema a partir del uso de
3330 modelación dinámica y probabilística, la cual permita incorporar la valoración del
3331 riesgo en la toma de decisiones del sistema productivo.

3332

3333

3334

Anexos

3335 **Anexo 1. Comunicado de aceptación para la publicación del artículo "Ability**
3336 **of non-linear mixed models to predict growth in laying hens" en la Revista**
3337 **Brasileira de Zootecnia.**

3338

3339

Revista Brasileira de Zootecnia - Decision on Manuscript ID RBZ-2014-0002

The screenshot shows an email inbox interface. At the top, there is a header bar with the text 'Revista Brasileira de Zootecnia - Decision on Manuscript ID RBZ-2014-0002'. Below this, there is a list of emails. The first email in the list is from 'Igalb@fcav.unesp.br a través de manuscriptcentral.com' with the subject 'para mí, lf.galeano.vas.' and a timestamp '9:34 (hace 5 horas)'. The email body contains a message in English. The message starts with '05-Aug-2014' and 'Dear Prof. Galeano Vasco:'. It continues with 'It is a pleasure to accept your manuscript entitled "Ability of non-linear mixed models to predict growth in laying hens" in its current form for publication in the Revista Brasileira de Zootecnia.' Below this, it says 'Thank you for your fine contribution. On behalf of the Editors of the Revista Brasileira de Zootecnia, we look forward to your continued contributions to the Journal.' The message ends with 'Sincerely,' followed by the name 'Prof. Lucia Albuquerque' and her title 'Editor-in-Chief, Revista Brasileira de Zootecnia'. Her email address is listed as 'Igalb@fcav.unesp.br, galvao.albuquerque@gmail.com'.

3340

3341 **Anexo 2. Reglamento de la revista Brasileira de Zootecnia-Brazilian Journal of
3342 Animal Science (RBZ)**

3343

3344 **Guidelines to prepare the manuscript**

3345 Structure of a full-length research article

3346 Figures, Tables, and Acknowledgments should be sent as separated file and not as
3347 part of the body of the manuscript.

3348

3349 The article is divided into sections with centered headings, in bold, in the following
3350 order: Abstract, Introduction, Material and Methods, Results, Discussion (or Results
3351 and Discussion), Conclusions, Acknowledgments (optional) and References. The
3352 heading is not followed by punctuation.

3353

3354 **Manuscript format**

3355 The text should be typed by using Times New Roman font at 12 points, double-space
3356 (except for Abstract and Tables, which should be set in space 1.5), top, inferior, left
3357 and right margins of 2.5; 2.5; 3.5, and 2.5 cm, respectively.

3358

3359 The text should contain up to 25 pages, sequentially numbered in arabic numbers at
3360 the bottom, leaving the authors to bear the additional costs of publishing extra pages
3361 at the time of publication (see publication costs). The file must be edited by using
3362 Microsoft Word® software.

3363

3364 **Title**

3365 The title should be precise and informative, with no more than 20 words. It should
3366 be typed in bold and centered as the example: Nutritional value of sugar cane for
3367 ruminants. Names of sponsor of grants for the research should always be presented
3368 in the Acknowledgments section.

3369

3370 **Authors**

3371 The name and institutions of authors will be requested at the submission process;
3372 therefore it should not be presented in the body of the manuscript. Please see the
3373 topic Guidelines to submit the manuscript for details.

3374

3375 The listed authors should be no more than eight.

3376 Spurious and "ghost" authorships constitute an unethical behavior. Collaborative
3377 inputs, hand labor, and other types of work that do not imply intellectual contribution
3378 may be mentioned in the Acknowledgments section.

3379

3380 Abstract

3381 The abstract should contain no more than 1,800 characters including spaces in a
3382 single paragraph. The information in the abstract must be precise. Extensive
3383 abstracts will be returned to be adequate with the guidelines.

3384

3385 The abstract should summarize the objective, material and methods, results and
3386 conclusions. It should not contain any introduction. References are never cited in the
3387 abstract.

3388

3389 The text should be justified and typed in space 1.5 and come at the beginning of the
3390 manuscript with the word ABSTRACT capitalized, and initiated at 1.0 cm from the
3391 left margin. To avoid redundancy the presentation of significance levels of probability
3392 is not necessary in this section.

3393

3394 Key Words

3395 At the end of the abstract list at least three and no more than six key words, set off
3396 by commas and presented in alphabetical order. They should be elaborated so that
3397 the article is quickly found in bibliographical research. The key words should be
3398 justified and typed in lowercase. There must be no period mark after key words.

3399

3400

3401 Introduction

3402 The introduction should not exceed 2,500 characters with spaces, briefly
3403 summarizing the context of the subject, the justifications for the research and its
3404 objectives; otherwise it will be rerouted for adaptation. Discussion based on
3405 references to support a specific concept should be avoided in the introduction.

3406

3407 Inferences on results obtained should be presented in the Discussion section.

3408

3409 Material and Methods

3410 Whenever applicable, describe at the beginning of the section that the work was
3411 conducted in accordance with ethical standards and approved by the Ethics and
3412 Biosafety Committee of the institution.

3413

3414 A clear description on the specific original reference is required for biological,
3415 analytical and statistical procedures. Any modifications in those procedures must be
3416 explained in detail.

3417

3418 Results and Discussion

3419 In making this section, the author is granted to either combine the results with
3420 discussion or to write two sections by separating results and discussion (which is
3421 encouraged). Sufficient data, with means and some measure of uncertainty
3422 (standard error, coefficient of variation, confidence intervals, etc.) are mandatory, to
3423 provide the reader with the power to interpret the results of the experiment and make
3424 his own judgment. The additional guidelines for styles and units of RBZ should be
3425 checked for the correct understanding of the exposure of results in tables. The
3426 results section cannot contain references.

3427

3428 In the discussion section, the author should discuss the results clearly and concisely
3429 and integrate the findings with the literature published to provide the reader with a
3430 broad base on which they will accept or reject the authors hypothesis.

3431 Loose paragraphs and references presenting weak relationship with the problem
3432 being discussed must be avoided. Neither speculative ideas nor propositions about
3433 the hypothesis or hypotheses under study are encouraged.

3434

3435 **Conclusions**

3436 Be absolutely certain that this section highlights what is new and the strongest and
3437 most important inferences that can be drawn from your observations. Include the
3438 broader implications of your results. The conclusions are stated by using the present
3439 tense.

3440

3441 **Acknowledgments**

3442 This section is optional. It must come right after the conclusions.

3443

3444 The section acknowledgments must not be included in the body of the manuscript;
3445 instead, a file named Acknowledgment should be prepared and then uploaded as an
3446 additional document during submission. This procedure helps RBZ to conceal the
3447 identity of authors from the reviewers.

3448

3449 **Use of abbreviations**

3450 Author-derived abbreviations should be defined at first use in the abstract, and again
3451 in the body of the manuscript, and in each table and figure in which they are used.

3452

3453 The use of author-defined abbreviations and acronyms should be avoided, as for
3454 instance: T3 was higher than T4, which did not differ from T5 and T6. This type of
3455 writing is appropriate for the author, but of complex understanding by the readers,
3456 and characterizes a verbose and imprecise writing.

3457

3458 **Tables and Figures**

3459 It is essential that tables be built by option "Insert Table" in distinct cells, on Microsoft
3460 Word® menu (No tables with values separated by the ENTER key or pasted as figure

3461 will be accepted). Tables and figures prepared by other means will be rerouted to
3462 author for adequacy to the journal guidelines.

3463

3464 Tables and figures should be numbered sequentially in Arabic numerals, presented
3465 as separate files to be uploaded, and must not appear in the body of the manuscript.

3466

3467 The title of the tables and figures should be short and informative, and the
3468 descriptions of the variables in the body of the table should be avoided.

3469

3470 In the graphs, designations of the variables on the X and Y axes should have their
3471 initials in capital letters and the units in parentheses.

3472

3473 Non-original figures, i.e., figures published elsewhere are only allowed to be
3474 published in RBZ with the express written consent of the publisher or copyright
3475 owner. It should contain, after the title, the source from where they were extracted,
3476 which must be cited.

3477

3478 The units and font (Times New Roman) in the body of the figures should be
3479 standardized.

3480

3481 The curves must be identified in the figure itself. Excessive information that
3482 compromises the understanding of the graph should be avoided.

3483 Use contrasting markers such as circles, crosses, squares, triangles or diamonds
3484 (full or empty) to represent points of curves in the graph.

3485

3486 Figures should be built by using Microsoft Excel®, or even the software Corel Draw®
3487 (CDR extension) to allow corrections during copyediting, and uploaded as separate
3488 files, named figures during submission. Use lines with at least 3/4 width. Figures
3489 should be used only in monochrome and without any 3-D or shade effects. Do not
3490 use bold in the figures.

3491 The decimal numbers presented within the tables and figures must contain a point,
3492 not a comma mark.

3493

3494 Mathematical formulas and equations must be inserted in the text as an object and
3495 by using Microsoft Equation or a similar tool.

3496

3497 References

3498 Reference and citations should follow the Name and Year System (Author-date).

3499

3500 Citations in the text

3501 The author's citations in the text are in lowercase, followed by year of publication. In
3502 the case of two authors, use 'and'; in the case of three or more authors, cite only the
3503 surname of the first author, followed by the abbreviation et al.

3504

3505 Examples:

3506 Single author: Silva (2009) or (Silva, 2009)

3507 Two authors: Silva and Queiroz (2002) or (Silva and Queiroz, 2002)

3508 Three or more authors: Lima et al. (2001) or (Lima et al., 2001)

3509

3510 The references should be arranged chronologically and then alphabetically within a
3511 year, using a semicolon (;) to separate multiple citations within parentheses, e.g.:
3512 (Carvalho, 1985; Britto, 1998; Carvalho et al., 2001).

3513

3514 Two or more publications by the same author or group of authors in the same year
3515 shall be differentiated by adding lowercase letters after the date, e.g. (Silva,
3516 2004a,b).

3517

3518 Personal communication can only be used if strictly necessary for the development
3519 or understanding of the study. Therefore, it is not part of the reference list, so it is
3520 placed only as a footnote. The author's last name and first and middle initials,

3521 followed by the phrase "personal communication", the date of notification, name,
3522 state and country of the institution to which the author is bound.

3523

3524 Reference section

3525 References should be written on a separate page, and by alphabetical order of
3526 surname of author(s), and then chronologically.

3527

3528 Type them single-spaced, justified, and indented to the third letter of the first word
3529 from the second line of reference.

3530

3531 All authors' names must appear in the references section.

3532

3533 The author is indicated by their last name followed by initials. Initials should be
3534 followed by period (.) and space; and the authors should be separated by
3535 semicolons. The word 'and' precedes the citation of the last author.

3536

3537 Surnames with indications of relatedness (Filho, Jr., Neto, Sobrinho, etc.) should be
3538 spelled out after the last name (e.g. Silva Sobrinho, J.).

3539

3540 Do not use ampersand (&) in the citations or in the reference list.

3541

3542 As in text citations, multiple citations of same author or group of authors in the same
3543 year shall be differentiated by adding lowercase letters after the date.

3544

3545 In the case of homonyms of cities, add the name of the state and country (e.g.
3546 Gainesville, FL, EUA; Gainesville, VA, EUA).

3547

3548 Sample references are given below.

3549

3550

3551

3552 Articles

3553 The journal name should be written in full. In order to standardize this type of
3554 reference, it is not necessary to quote the website, only volume, page range and
3555 year. Do not use a comma (,) to separate journal title from its volume; separate
3556 periodical volume from page numbers by a colon (:).

3557

3558 Miotto, F. R. C.; Restle, J.; Neiva, J. N. M.; Castro, K. J.; Sousa, L. F.; Silva, R. O.;
3559 Freitas, B. B. and Leão, J. P. 2013. Replacement of corn by babassu mesocarp bran
3560 in diets for feedlot young bulls. Revista Brasileira de Zootecnia 42:213-219.

3561

3562 Articles accepted for publication should preferably be cited along with their DOI.
3563 Fukushima, R. S. and Kerley, M. S. 2011. Use of lignin extracted from different plant
3564 sources as standards in the spectrophotometric acetyl bromide lignin method.
3565 Journal of Agriculture and Food Chemistry, doi: 10.1021/jf104826n (in press).

3566

3567 Books

3568 If the entity is regarded as the author, the abbreviation should be written first
3569 accompanied by the corporate body name written in full.

3570

3571 In the text, the author must cite the method utilized, followed by only the abbreviation
3572 of the institution and year of publication.

3573 e.g.: "...were used to determine the mineral content of the samples (method number
3574 924.05; AOAC, 1990)".

3575

3576 Newmann, A. L. and Snapp, R. R. 1997. Beef cattle. 7th ed. John Wiley, New York.

3577

3578 AOAC - Association of Official Analytical Chemistry. 1990. Official methods of
3579 analysis. 15th ed. AOAC International, Arlington, VA.

3580

3581

3582 Book chapters

3583 The essential elements are: author (s), year, title and subtitle (if any), followed by the
3584 expression "In", and the full reference as a whole. Inform the paging after citing the
3585 title of the chapter.

3586

3587 Lindhal, I. L. 1974. Nutrición y alimentación de las cabras. p.425-434. In: Fisiología
3588 digestiva y nutrición de los ruminantes. 3rd ed. Church, D. C., ed. Acríbia, Zaragoza.

3589

3590 Theses and dissertations

3591 It is recommended not to mention theses and dissertations as reference but always
3592 to look for articles published in peer-reviewed indexed journals. Exceptionally, if
3593 necessary to cite thesis and dissertation, please indicate the following elements:
3594 author, year, title, grade, university and location.

3595

3596 Castro, F. B. 1989. Avaliação do processo de digestão do bagaço de cana-de-
3597 açúcar auto-hidrolisado em bovinos. Dissertação (M.Sc.). Universidade de São
3598 Paulo, Piracicaba.

3599

3600 Palhão, M. P. 2010. Induced codominance and double ovulation and new
3601 approaches on luteolysis in cattle. Thesis (D.Sc.). Universidade Federal de Viçosa,
3602 Viçosa, MG, Brazil.

3603

3604 Bulletins and reports

3605 The essential elements are: Author, year of publication, title, name of bulletin or
3606 report followed by the issue number, then the publisher and the city.

3607

3608 Goering, H. K. and Van Soest, P. J. 1970. Forage fiber analysis (apparatus,
3609 reagents, procedures, and some applications). Agriculture Handbook No. 379. ARS-
3610 USDA, Washington, D.C., USA.

3611

3612 Conferences, meetings, seminars, etc.

3613 Quote a minimal work published as an abstract, always seeking to refer articles
3614 published in journals indexed in full.

3615

3616 Casaccia, J. L.; Pires, C. C. and Restle, J. 1993. Confinamento de bovinos inteiros
3617 ou castrados de diferentes grupos genéticos. p.468. In: Anais da 30^a Reunião Anual
3618 da Sociedade Brasileira de Zootecnia. Sociedade Brasileira de Zootecnia, Rio de
3619 Janeiro.

3620

3621 Weiss, W. P. 1999. Energy prediction equations for ruminant feeds. p.176-185. In:
3622 Proceedings of the 61th Cornell Nutrition Conference for Feed Manufacturers.
3623 Cornell University, Ithaca.

3624

3625 Article and/or materials in electronic media
3626 In the citation of bibliographic material obtained by the Internet, the author should
3627 always try to use signed articles, and also it is up to the author to decide which
3628 sources actually have credibility and reliability.

3629

3630 In the case of research consulted online, inform the address, which should be
3631 presented between the signs <>, preceded by the words "Available at" and the date
3632 of access to the document, preceded by the words "Accessed on:".

3633

3634 Rebollar, P. G. and Blas, C. 2002. Digestión de la soja integral en rumiantes.
3635 Available at: <http://www.ussoymeal.org/ruminant_s.pdf> Accessed on: Oct. 28,
3636 2002.

3637

3638 Quotes on statistical software
3639 The RBZ does not recommend bibliographic citation of *software* applied to statistical
3640 analysis. The use of programs must be informed in the text in the proper section,
3641 Material and Methods, including the specific procedure, the name of the *software*,
3642 its version and/or release year.

3643 "... statistical procedures were performed using the MIXED procedure of SAS
3644 (Statistical Analysis System, version 9.2.)"

3645

3646 Structure of the article for short communication and technical note
3647 The presentation of the title should be preceded by the indication of the type of
3648 manuscript whether it is a short communication or a technical note, which must be
3649 centered and bold.

3650

3651 The structures of short communications and technical notes will follow guidelines set
3652 up for full-length papers, limited, however, to 14 pages as the maximum tolerated for
3653 the manuscript.

3654

3655 Processing and publishing fees applied to communications and technical notes are
3656 the same for full-length papers, considering, however, the limit of four pages in its
3657 final form. A fee will be charged for publishing additional pages.

3658

3659 Anexo 3. Reglamento de la revista MVZ de Córdoba

3660

Revista MVZ Córdoba

INSTRUCCIONES PARA LOS AUTORES

La revista MVZ Córdoba es el órgano oficial de difusión de la Facultad de Medicina Veterinaria y Zootecnia de la Universidad de Córdoba, Colombia, con periodicidad de publicación cuatrimestral y circula en el ámbito internacional. La revista publica (secciones) artículos originales de investigación, artículos técnicos, revisiones de literatura, revisiones de tema, comunicaciones breves, informes de casos y, otros que a juicio del Comité Editorial sean de interés general. Los temas que publica MVZ Córdoba están relacionados con la medicina veterinaria y zootecnia, acuicultura, biología, biotecnología, ciencias básicas biomédicas y otros tópicos de interés de las ciencias agropecuarias.

"La revista MVZ Córdoba apoya las políticas para registro de ensayos clínicos de la Organización Mundial de la Salud (OMS) y del International Committee of Medical Journal Editors (ICMJE), reconociendo la importancia de esas iniciativas para el registro y divulgación internacional de información sobre estudios clínicos, en acceso abierto. En consecuencia, solamente se aceptarán para publicación, a partir de 2007, los artículos de investigaciones clínicas que hayan recibido un número de identificación en uno de los Registros de Ensayos Clínicos validados por OMS e ICMJE, cuyas direcciones están disponibles en el sitio del ICMJE. El número de identificación se deberá registrar al final del resumen".

Los interesados en publicar deberán enviar al Editor una carta remisoria firmada por todos los autores declarando expresamente que el artículo remitido no ha sido publicado previamente y se indicará que los autores no tienen conflicto de intereses. El artículo se

deberá enviar por correo electrónico, escrito en procesador de palabras, a doble espacio, con letra verdana a 12 puntos. Las márgenes no deben ser inferiores a 3 cm., y las páginas se numerarán consecutivamente incluyendo todo el material. Se aceptan artículos en español e inglés. Se recomienda observar las guías generales descritas abajo. La revista MVZ Córdoba se acoge a los requisitos generales de uniformidad para revistas biomédicas (normas de Vancouver).

1. Presentación: Debe contener la siguiente información:

1.1. Título del artículo: deberá ir en español e inglés. Este último deberá ir debajo del primero dejando doble espacio y en tamaño de letra menor que el principal. El título deberá ser preciso pero informativo y en lo posible no debe superar las 15 palabras.

1.2. Nombre, apellido del autor o autores. Para el segundo apellido solo se colocará la inicial en mayúscula seguida de coma y el grado académico más alto o el título profesional. Se deberá incluir la filiación institucional de los autores (institución, dirección, ciudad, país). Se deberá indicar además, el responsable de la correspondencia del manuscrito suministrando su correo electrónico.

1.3. Resumen: Deber ser estructurado y será máximo de 250 palabras. Deberá ofrecer una idea clara del contenido del artículo incluyendo: Objetivo, materiales y métodos, resultados y conclusiones. Estas secciones deberán ir con negrilla y luego punto seguido en donde se inicia el texto de cada sección.

1.4 Palabras clave: Son términos cortos

3661

que ayudan a la clasificación del artículo. Se sugiere emplear 6 como máximo. Utilice los términos de la lista "Medical subject headings" (MeSH) u otro descriptor acorde con el tema de su investigación. (DeCS, BIREME, NLM, etc.).

1.5 **Abstract** (resumen traducido al inglés) debe poseer una estructura y contenido igual al de español.

1.6 **Key words:** Palabras clave, deben ser iguales a las de español, pero en idioma inglés.

2. Introducción: Debe indicar claramente el propósito de la investigación, relacionando igualmente en forma selectiva la literatura pertinente. No incluya datos ni conclusiones del trabajo que está dando a conocer. Al finalizar esta sección deberá hacerse con el objetivo general.

3. Materiales y métodos: Se debe describir claramente los procedimientos empleados en la investigación, incluyendo diseño estadístico y análisis de datos. Esta sección deberá ser estructurada indicando tipo de estudio, sitio, condiciones geo-climáticas, coordenadas del sitio de estudio, pacientes o animales de estudio, métodos de laboratorio, aspectos éticos, análisis de resultados, etc. Estas secciones deberán ir con negrilla y luego punto seguido en donde se inicia el texto de cada sección.

4. Resultados: Corresponde a la información de los hallazgos pero sin incluir comentarios ni referencias a otros trabajos. Se sugiere utilizar tablas y figuras, las cuales no deberán ser más de seis en lo posible.

5. Discusión: Es la interpretación de los resultados obtenidos y la contrastación de los mismos con

otros estudios. Se debe destacar las limitaciones del estudio e igualmente evitar especulaciones. Resaltar las conclusiones del estudio, así como las recomendaciones para futuras investigaciones.

6. Agradecimientos: Mencionar las personas o instituciones que han colaborado con la investigación (financiera, logística, intelectual, entre otras.).

7. Correspondencia: Nombre completo del autor responsable, dirección laboral y residencial, correo electrónico, teléfono celular y teléfono fijo. Esta información puede ser suministrada en la carta remisoria o en una hoja al final del artículo remitido.

8. Referencias: Deben numerarse consecutivamente según el orden en que se mencionen por primera vez en el texto por medio de números arábigos colocados entre paréntesis. La lista de referencias se iniciará en hoja aparte, en estricto orden de aparición en el texto, no será en orden alfabético. Para los artículos originales no se aceptarán más de 30 referencias. Para revisiones de literatura hasta 50 referencias. Para la presentación de casos y comunicaciones breves hasta 12 referencias. Como guía general a continuación se presentan ejemplos de referencias bibliográficas.

8.1. Revistas

- Nombre del autor o autores • Título completo del artículo referenciado • Abreviatura internacional del nombre de la revista • Año • Volumen • Páginas incluidas. Las abreviaturas internacionales pueden consultarse en "Journals database" de PubMed, "Catalogo C1Z", "DREV", Revistas de biomedicina del IHCD de Valencia.

8.2. Libros y monografías

- Autor o editor • Título del libro, lugar de publicación, editorial, año de publicación y páginas consultadas.

8.3. Ejemplos para las referencias bibliográficas según las normas de Vancouver.

Artículos de Revistas

• Artículos

Autor/es. Título del artículo. Abreviatura internacional de la revista, año; volumen (número): página inicial-final del artículo.

Ejemplos: Díez Jarilla JL, Cienfuegos Vázquez M, Suárez Salvador E. Ruidos adventicios respiratorios: factores de confusión. Rev MVZ Córdoba 1999; 109: 632-634.

• Más de seis autores

Martín Cantera C, Córdoba García R, Jane Julio C, Nebot Adell M, Galán Herrera S, Aliaga M et al. Virus and public health J Vet Sci 1997; 109: 744-748.

• Autor Corporativo

Grupo de Trabajo del ICA. Normativa sobre el manejo de las hemoparasitos amenazantes. Rev MVZ Córdoba 1997; 33: 31-40.

• No se indica nombre del autor

Cancer in South África (editorial). S Afr Vet J 1994; 84: 15-16.

Los artículos deben escribirse en su idioma original si la grafía es latina.

• Suplemento de un volumen

Bonfill X. La medicina veterinaria basada en la evidencia. Arch Vet 1997; 33 Supl 1: 117.

• Suplemento de un número

Leyha SS. The role of Interferon Alfa in the treatment of metastatic melanoma. Semin Oncol Vet 1997; 24 (1 Supl 4): 524-531.

• Número sin volumen

Pastor Durán. Informática médica y su implantación hospitalaria. Todo Hosp Vet 1997; (131): 7-14.

• Sin número ni volumen

Browell DA, Lennard TW. Immunologic status of the cancer fish patient and the effects of blood transfusion on antitumor responses. J Fish Culture 1993; 325-33.

• Paginación en número romanos

Fisher GA, Sikic BL. Drug resistance in clinical oncology and hematology. Hematol Oncol Clin North Am 1995 Abr; 9(2): XI-XII.

• Indicación del tipo de artículo según corresponda

Enzensberger W, Fischer PA. Metronome in Parkinson's disease (letter). Lancet 1996; 347: 1337.

Clement J, De Bock R. Hematological complications of hantavirus nephropathy (HVN) (abstract). Kidney Int 1992; 42: 1285.

• Documentos legales

Leyes: Título de la ley. (Nombre del Boletín Oficial, fecha, año de publicación). Ley aprobada. Ley 31/1995 de 8 de Noviembre, de Prevención de Riesgos Laborales. (Boletín Oficial del Estado, número 269, de 10-11-95).

• Mapa

Nombre del mapa (tipo de mapa). Lugar de publicación: Editorial; año. Sada 21-IV (1 a 8) (mapa topográfico). Bogotá Instituto Geográfico Agustín Codazzi, Dirección General del Instituto Geográfico; 2003.

Material no publicado

• En prensa

Vega A. Occurrence of E.coli 0157:H7 on duck dayri farms Rev MVZ Córdoba in press 2007.

• Artículo de revista en formato electrónico

Autor. Título. Nombre de la revista abreviado (tipo de soporte) año

(fecha de acceso); volumen (número): páginas o indicador de extensión. Disponible en: *Transmission of Hepatitis C Virus infection associated infusion therapy for hemophilia. MMWR (en línea) 1997 July 4 (fecha de acceso 11 de enero de 2001); 46 (26). URL disponible en: <http://www.cdc.gov/mmwr/preview/mmwrhtml/00048303.htm>*

• Monografía en formato electrónico

Título. (Tipo de soporte). Editores o productores. Edición. Versión. Lugar de publicación: Editorial; año. *Duane's Ophthalmology en CD-ROM User Guide. (monografía en CD-ROM).* Tasman W, Jaeger E editor. versión 2.0. Hagenstown: Lippincott-Raven; 1997.

• Archivo informático

Autor. Título. (Tipo de soporte). Versión. Lugar: Editorial; año.

• Tesis de Maestría, doctorado y trabajos de grado

Autor(es) título, Facultad, Departamento, año. Arrieta G. Producción de Verotoxinas en *Shigella*. Tesis de Maestría, Facultad de Medicina Veterinaria y Zootecnia; Departamento de Medicina, Universidad de Córdoba, Montería, Colombia 2003.

9. Fotografías: Se podrán utilizar fotografías, de excelente calidad digital. La identificación, secuencia y títulos deben establecerse claramente para localizar el lugar que le corresponda en el contenido del artículo. Las fotografías deberán llevar el título de figura.

10. Evaluación de artículos: Los artículos recibidos para publicación, después de constatar que cumplen con las normas expresas de la Revista MVZ Córdoba, serán enviados a pares que conforman el

Comité Científico para su respectiva evaluación. En caso de recibir algún manuscrito que por su especialidad de contenido no pueda ser evaluado por los miembros del comité, este será remitido a sendos evaluadores pertenecientes a la comunidad científica nacional o internacional.

En la redacción del contenido deberán respetarse las normas internacionales para manuscritos científicos que regulan las abreviaturas, literatura citada, símbolos, nomenclaturas atómicas, zoológicas, botánicas, químicas, entre otros. Los valores deben informarse en unidades del sistema métrico decimal y de acuerdo con el Sistema Internacional de Unidades. La revista MVZ Córdoba y la Universidad de Córdoba no se responsabilizan por opiniones y resultados expresados por los autores, los cuales serán responsabilidad exclusiva de ellos.

Conflicto de intereses. Los autores deben expresar los intereses posibles que posean en el trabajo que realizaron.

Correspondencia: Los artículos, consultas, aclaraciones y correspondencia general se deben dirigir a la dirección abajo señalada, sin embargo, también los trabajos pueden ser remitidos en forma electrónica al editor o al coeditor. <http://www.unicordoba.edu.co>

Comité Editorial REVISTA MVZ CÓRDOBA Universidad de Córdoba
Facultad de Medicina Veterinaria y Zootecnia Teléfonos (094) 894 0507 (094) 756 02 09
<http://apps.unicordoba.edu.co/revistas/revistamvz/index.htm>
Apartado Aéreo 354 Montería - Colombia
Editor: Marco González Tous, M.Sc.
marcog@escarsa.net.co

3669 **Anexo 4. Reglamento de la revista Colombiana de Ciencias Pecuarias**

3670 **Author Guidelines**

3671

3672 Types of articles

3673 Original Research Articles

3674 Clinical Cases and Case Studies

3675 Literature Reviews

3676 Short Communications

3677 News and Letters to the Editor

3678 Essays and Conference presentations

3679

3680 Maximum Length of Manuscripts

3681 Manuscripts should not exceed the following (spaces included):

3682 Literature review: 40.000 characters.

3683 Original research article: 30.000 characters.

3684 Clinical case, Case study, Essay, and Conference presentation: 15.000 characters.

3685 Short communication: 10.000 characters.

3686 Manuscript format Guidelines

3687

3688 The manuscript must be submitted as a Word file, using Times New Roman, 12 font,
3689 and 1,5 line spacing. All pages must be numbered. Please number all page lines as
3690 well and restart line numbering in each page.

3691

3692 Submissions will only be accepted in the English language (either American or
3693 British spelling). The editorial board of RCCP reserves the right to demand that
3694 authors revise the translation or to cancel the processing of the manuscript, if it
3695 contains errors of spelling, punctuation, grammar, terminology, jargons or semantics
3696 that can either compromise good understanding or not follow the Journal standards.
3697 It is strongly recommended that the translation process be made by native speakers
3698 of English.

3699

3700 2. ORIGINAL RESEARCH ARTICLE

3701 Research articles must be written fully in English.

3702

3703 Original research articles are unpublished manuscripts based on scientific and
3704 technological reports resulting from original research.

3705

3706 The first page should contain:

3707 Title. Title should be in English, Spanish, and Portuguese (centered and bold).

3708 Scientific names should be set in italics (e.g., *Bos indicus*, *Escherichia coli*, *Brucella*
3709 *abortus*).

3710 Names of authors. Names of authors should be centered and in the following order:
3711 first name, middle name initial and complete last name (without any punctuation
3712 marks between them), followed by a number (in superscript and italics) indicating
3713 the affiliation of the author. Use commas to separate academic degrees
3714 (abbreviated) of authors. Separate names of authors by semicolon (e.g., Jorge E
3715 Ossa¹, MV, PhD; Fabio N Zuluaga², MV, MSc).

3716 Affiliation. Affiliations are placed below the authors, centered and with numbers
3717 corresponding to authors in superscript and italic font. Include complete affiliations
3718 for each author. E.g.:

3719 Jorge E Ossa¹, MV, PhD; Fabio N Zuluaga², MV, MSc.

3720

3721 ¹BIOGENESIS Research Group, and Virology Laboratory, School of Medicine,
3722 Universidad de Antioquia, AA 1226, Medellín, Colombia.

3723

3724 ²Medical Laboratory, hospital Las Américas, Medellín, Colombia.

3725

3726 Corresponding author. Must be referenced by an asterisk and placed as a footnote.
3727 Specify both mailing and e-mail addresses.

3728

3729 Summaries (abstracts) and keywords must be prepared in three languages:
3730 Summary (English), Resumen (Spanish), and Resumo (Portuguese):

3731
3732 Each Summary should be a single paragraph with up to 300 words, including the
3733 following subtitles (bolded): Background, Objective, Methods, Results, and
3734 Conclusions. Do not cite references and avoid abbreviations in the summaries.
3735 Keywords. List 3 to 6 keywords in each language, separated by commas, and
3736 presented in alphabetical order and in italics. Keywords should not be repeated in
3737 the title.

3738

3739 **Body of the manuscript:**

3740 Introduction. The introduction should not exceed 400 words. It should introduce the
3741 main problem studied, presenting the current literature associated with the topic,
3742 tested hypotheses, and objectives.

3743

3744 Materials and methods. This section can be divided into sub-sections and must
3745 include:

3746 Approval from the Ethics Committee for Animal Experimentation (including date
3747 and the approval number).

3748 Type of study. It includes the type of study conducted, species and sample size
3749 used.

3750

3751 Describe the methods used or standardized by the authors. If a method has already
3752 been described by other authors, do not include details but give the respective
3753 references. Methods modified by the authors should include the references and
3754 description of modifications made.

3755

3756 In case of subtitles describing procedures and protocols, proceed as follows:

3757

3758 First order subtitle. Type it in italic, do not use bold font. Begin the description of the
3759 procedure in the line below the subtitle.

3760

3761 Second order subtitle. Type it in italic, do not use bold font. Begin the description in
3762 the same line of the subtitle.

3763

3764 Methods should include:

3765 Location of the study, animals used, statistical analysis (specifying the procedures
3766 used, the transformed data to facilitate analysis, statistical models applied,
3767 significance level, and error types).

3768 Abbreviations and Acronyms. When a proper name is in a language other than the
3769 language of the manuscript, do not translate it. The name must be followed by its
3770 respective abbreviation in parentheses, e.g.: Instituto Colombiano Agropecuario
3771 (ICA). Thereafter, use the abbreviation in the text without further explanation.

3772 Chemical compounds and equipment used must be followed by the parent company,
3773 city, state and country between parentheses. E.g.: substance xx was used (Sigma,
3774 St Louis, MO, USA).

3775

3776 Results.

3777 Titles and subtitles of this section follow the same rules previously described in
3778 Materials and methods.

3779 Results must be expressed in past tense. Statistical significance must be shown in
3780 parentheses, e.g.: (p<0.05).

3781 Tables and figures are placed where they are mentioned in the text (please do not
3782 place them at the end of the manuscript).

3783 Photographs should be in high quality format (TIFF or EPS) with a minimum of 300
3784 dpi.

3785 All tables and figures must be referred into the text.

3786 Express units of measurement according to the International System of Units (SI).

3787 Use a space between the number and the unit, except for the symbol for percentage
3788 (%) and pesos or any other currency (\$).

3789 Abbreviated units should always be singular (e.g.: 3 cm. Do not write: 3 cms).

3790 Do not use a period after a unit of measurement, except at the end of a sentence.

3791 Do not repeat abbreviated units when expressing multiple amounts (e.g.: 3 - 5 kg.
3792 Do not write: 3 kg - 5 kg).

3793 Use a period, and not a comma, to separate decimals (e.g.: 3.5. Do not write: 3,5).
3794 All tables and figures (photographs included) should be identified by an Arabic
3795 number followed by a period. The table title must be located above the table and the
3796 figure title below the image. The first word for column and row headings should be
3797 capitalized.

3798

3799 Tables must only have horizontal lines between the title and subject headings (see
3800 examples of tables from previously published journal articles). Do not use vertical
3801 lines. Use Times New Roman font for the tables.

3802

3803 Units included in the headings should be set in parentheses. Numbers, letters or
3804 asterisks indicating notes placed below the table, statistical measures or particular
3805 meanings, should be written by superscript and set in italic font. Likewise, and just
3806 in special cases, explanatory notes about the methodology used can be placed
3807 underneath a table in italics.

3808

3809 Discussion.

3810 The discussion is an independent component and not part of the results section. It
3811 should interpret and discuss the results obtained with relevant data from the
3812 literature. This section should include detailed discussions associated only with the
3813 results stated in the manuscript.

3814

3815 References within the text. Give the author(s)' last name(s) followed by the year of
3816 publication. E.g.: (Jaramillo, 2006; Zuluaga y Tobón, 2008; Botero et al., 2009) or
3817 Muñoz et al. (1998).

3818

3819 Acknowledgments.

3820 You can mention institutions and people who financed or assisted in conducting the
3821 study, and also the grants awarded.

3822

3823 HOW TO WRITE THE REFERENCE LIST

3824 Journal names must be abbreviated according to the Index Medicus guidelines, with
3825 no period at the end of abbreviations. References should be listed according to the
3826 following examples:

3827

3828 A. Original Research Articles

3829 1. Original Article, e.g.:

3830 Cushman RA, Allan MF, Kuehn LA, Snelling WM, Cupp AS, Freetly HC. Evaluation
3831 of antral follicle count and ovarian morphology in crossbred beef cows: Investigation
3832 of influence of stage of the estrous cycle, age, and birth weight. J Anim Sci 2009;
3833 87:1971-1980.

3834

3835 2. Organization or Institution, e.g.:

3836 Cardiac Society of Australia and New Zealand. Clinical exercise stress testing.
3837 Safety and performance guidelines. Med J Aust 1996; 164:282-284.

3838

3839 3. Reference with no Identified Author, e.g.:

3840 Cancer in South Africa [editorial]. S Afr Med J 1994; 84:15.

3841

3842 4. Journal Supplement, e.g.:

3843 Shen HM, Zhang QF. Risk assessment of nickel carcinogenicity and occupational
3844 lung cancer. Environ Health Perspect 1994; 102 Suppl 1:275-282.

3845

3846 5. Reference with neither Volume nor Number, e.g.:

3847 Browell DA, Lennard TW. Immunologic status of the cancer patient and the effects
3848 of blood transfusion on antitumor responses. Curr Opin Gen Surg 1993:325-33.

3849

3850 B. Books

3851 1. Author(s), e.g.:

3852 Ringsven MK, Bond D. Gerontology and leadership skills for nurses. 2nd ed. Albany
3853 (NY): Delmar Publishers; 1996.

3854

3855 2. Book chapter, e.g.:

3856 Phillips SJ, Whisnant JP. Hypertension and stroke. In: Laragh JH, Brenner BM,
3857 editors. Hypertension: pathophysiology, diagnosis, and management. 2nd ed. New
3858 York: Raven Press; 1995. p.465-78.

3859

3860 3. Editor(s) or Compiler(s) as Author(s), e.g.:

3861 Norman IJ, Redfern SJ, editors. Mental health care for elderly people. New York:
3862 Churchill Livingstone; 1996.

3863

3864 4. Organization, e.g.:

3865 Institute of Medicine (US). Looking at the future of the Medical program. Washington:
3866 The Institute; 1992.

3867

3868 C. Personal Communication

3869 Cite personal communications in text only (do not include them in the reference list).
3870 Give the author's name, affiliation and provide a date when the communication took
3871 place, e.g.:

3872 P. Jones (personal communication, April 15, 2005).

3873 D. Electronic Reference, e.g.:

3874 Morse SS. Factors in the emergence of infectious diseases. Emerg Infect Dis 1995;
3875 [access date: May 15, 2010] URL: <http://www.cdc.gov/ncidod/EID/eid.htm>

3876

3877 2. CLINICAL CASE

3878 Must be written in English.

3879 Include the following elements: Titles (in the three languages), author(s), affiliation,
3880 abstracts (in three the languages. Do not exceed 150 words), and keywords.

3881

3882 Abstracts must be organized by subtitles (in bold), including: Anamnesis, Clinical
3883 and laboratory findings, Treatment approach, and conclusion.

3884

3885 The body of the paper must include the following titles: Introduction, Patient
3886 examination (with the following subtitles: anamnesis, clinical findings, and diagnostic
3887 aids used), Treatment approach, Discussion, and Conclusion. References within the
3888 text should be cited as in Original Research Articles.

3889

3890 3. LITERATURE REVIEW AND ESSAY

3891 Reviews and essays must be written fully in English.

3892 Literature Review:

3893 Critical analysis of the published literature about a subject of interest. It should
3894 contain at least 50 references. It should focus preferentially on animal sciences,
3895 including animal health and husbandry. Manuscripts must follow the previous rules,
3896 except for Materials and Methods, Results and Discussion; instead, use titles and
3897 subtitles about the review topic. Authors should discuss in detail the current
3898 literature; furthermore, authors should give a critical opinion about strengths,
3899 weaknesses, and research opportunities related to the proposed topic.

3900

3901 Essay:

3902 An essay is a piece of writing in which the author expresses his/her ideas about a
3903 specific topic, generally related to the author's expertise or specialty.

3904

3905

3906 4. LETTER TO THE EDITOR / NEWS

3907 These can be in Spanish or preferentially in English.

3908

3909 Authors are free of choosing the writing style they prefer as long as it meets the
3910 editorial guidelines previously stated. Letters to the Editor should not exceed 500
3911 words.

3912

3913 Submission Preparation Checklist

3914 As part of the submission process, authors are required to check off their
3915 submission's compliance with all of the following items, and submissions may be
3916 returned to authors that do not adhere to these guidelines.

3917

3918 Declaration of the authors

3919 Authors are required to fill, sign, and submit the form titled "Declaration of the
3920 Authors" along with the manuscript. It is acceptable to submit a packet of several
3921 independent forms that include the total of authors (e.g. if authors are at different
3922 locations they can sign separate forms).

3923

3924 Copyright Notice

3925 All manuscripts accepted for publication become the sole property of RCCP. Before
3926 publication authors are requested to assign copyright to RCCP. You will hereby be
3927 relinquishing to RCCP all control over this material such as rights to make or
3928 authorize reprints, to reproduce the material in other publications, and to grant the
3929 material to others without charge in any book of which you are the author or editor
3930 after it has appeared in RCCP. As an author, you retain rights for large number of
3931 author uses, including use by your employing institute or company. These rights are
3932 retained and permitted without the need to obtain specific permission from RCCP.
3933 The preferred language for RCCP is English, and any translation of parts or the
3934 entire publication must have written permission from RCCP.

3935

3936 Privacy Statement

3937 The names and email addresses entered in this journal site will be used exclusively
3938 for the stated purposes of this journal and will not be made available for any other
3939 purpose or to any other party.

3940

3941

3942 Anexo 5. Reglamento de la revista Poultry Science

POULTRY SCIENCE INSTRUCTIONS TO AUTHORS¹***Editorial Policies and Procedures***

Poultry Science publishes the results of fundamental and applied research concerning poultry, poultry products, and avian species in general. Submitted manuscripts shall provide new facts or confirmatory data. Papers dealing with experimental design, teaching, extension endeavors, or those of historical or biographical interest may also be appropriate. A limited number of review papers will be considered for publication if they contribute significant additional knowledge, or synthesis of knowledge, to a subject area. Papers that have been, or are scheduled to be, published elsewhere will not be accepted. Publication of a preliminary report, such as an abstract, does not preclude consideration of a complete report for publication as long as it has not been published in full in a proceedings or similar scientific publication; appropriate identification of previously published preliminary reports should be provided in a title page footnote. Translation of an article into other languages for publication requires approval by the editor-in-chief. Opinions or views expressed in papers published by *Poultry Science* are those of the author(s) and do not necessarily represent the opinion of the Poultry Science Association or the editor-in-chief.

Contact Information for Journal Staff

For information on the scientific content of the journal, contact the editor-in-chief, Dr. Tom Porter, Department of Animal and Avian Sciences, University of Maryland, College Park, Building 142, College Park, MD 20742; e-mail: PS-Editor@umd.edu.

For assistance with Manuscript Central, manuscript submission and copyright forms, or page charge and off-print orders, contact Shauna Miller, Headquarters Office, 1800 South Oak Street, Suite 100, Champaign, IL 61820 (FAX: 217-378-4083; shaunam@assochq.org).

For questions about manuscript preparation or supplemental files, contact Lisa Krohn (lisak@assochq.org).

For permissions or other information, contact Susan Pollock, Headquarters Office, Poultry Science Association, 1800 South Oak Street, Suite 100, Champaign, IL 61820 (FAX: 217-378-4083; susanp@assochq.org).

Care and Use of Animals

Authors must make it clear that experiments were conducted in a manner that avoided unnecessary discomfort to the animals by the use of proper management and

laboratory techniques. Experiments shall be conducted in accordance with the principles and specific guidelines presented in *Guide for the Care and Use of Agricultural Animals in Research and Teaching*, 3rd edition, 2010 (Association Headquarters, Champaign, IL 61822); and, if applicable, *Guide for the Care and Use of Laboratory Animals* (United States Department of Human Health and Services, National Institutes of Health, Publication Number ISBN 0-309-05377-3, 1996); or *Guide to the Care and Use of Experimental Animals*, 2nd ed. Volume 1, 1993 (Canadian Council on Animal Care). Methods of killing experimental animals must be described in the text. In describing surgical procedures, the type and dosage of the anesthetic agent must be specified. Intra-abdominal and intrathoracic invasive surgery requires anesthesia. This includes cannulation. The editor-in-chief of *Poultry Science* may refuse to publish manuscripts that are not compatible with these guides. If rejected solely on that basis, however, the paper may be resubmitted for reconsideration when accompanied by a written verification that a committee on animal care in research has approved the experimental design and procedures involved.

Types of Articles

Full-Length Articles. The majority of papers published in *Poultry Science* are full-length articles. The journal emphasizes the importance of good scientific writing and clarity in presentation of the concepts, apparatus, and sufficient background information that would be required for thorough understanding by scientists in other disciplines. One of the hallmarks for experimental evidence is repeatability. The results of experiments published in *Poultry Science* must be replicated, either by replicating treatments within experiments or by repeating experiments. Care should be taken to ensure that experiments are adequately replicated.

Research Notes. Research Notes are short notes giving the results of complete experiments but are less comprehensive than full-length articles. Preliminary or progress reports will not be accepted. The running head shall be "RESEARCH NOTE." Authors must also indicate the section under which the manuscript is to be reviewed on the title page of the manuscript and on the Manuscript Submission and Copyright Release Form. Research Notes will be published as a subsection of the scientific section in which they were reviewed. Research Notes are limited to five printed pages including tables and figures. Manuscripts should be prepared according to the guidelines for full-length articles.

Symposium Papers. The symposium organizer or chair must present the proposal and tentative budget to

the Board of Directors at the summer meeting one full year before the symposium is to be scheduled. The symposium chair must then develop detailed symposium plans, including a formal outline of the talks approved and full budgetary expectations, which must be brought to the Board of Directors at the January meeting prior to the meeting at which the symposium is scheduled. The symposium chair must decide whether or not the symposium is to be published and will inform the editor-in-chief of this decision at the January meeting. If the decision is not to publish the symposium, the individual authors retain the right to submit their papers for consideration for the journal as ordinary manuscripts. If publication is decided upon, all manuscript style and form guidelines of the journal shall be followed. Manuscripts must be prepared electronically, including figures and tables, and then uploaded onto the *Poultry Science* Manuscript Central site within 2 weeks after the annual meeting. The symposium chair will review the papers and, if necessary, return them to the authors for revision. The symposium chair then forwards the revised manuscript to the editor-in-chief for final review. Final revisions by the author and recommendations for acceptance or rejection by the chair must be completed by December 31 of the year in which the symposium was presented. Manuscripts not meeting this deadline will not be included in the published symposium proceedings. Symposium papers must be prepared in accordance with the guidelines for full-length articles and are subject to review. Offprints and costs of pages are the responsibility of the author.

Invited Papers. Invited papers, such as the World's Poultry Science Association lecture, should be submitted online; the editorial office will then make these papers available to the editor-in-chief. These papers are subject to review, and all manuscript style and form guidelines of the journal shall be followed. Invited papers are exempt from page charges but not offprint charges.

Review Papers. Review papers are accepted only if they provide new knowledge or a high-caliber synthesis of important knowledge. Reviews are not exempt from pages charges. All *Poultry Science* guidelines for style and form apply.

Invited Reviews. Invited Reviews will be approximately 10 published pages and in review format. The editor-in-chief will send invitations to the authors and then review these contributions when they are submitted. Nominations or suggestions for potential timely reviews are welcomed and should be sent directly to the editor-in-chief.

Contemporary Issues. Contemporary Issues in *Poultry Science* will address critical issues facing poultry scientists and the poultry industry. As such, submissions to this section should be of interest to any poultry scientist, to the industry, to instructors and faculty teaching contemporary issues classes, and to undergraduate and graduate students. The section will consist of short papers (approximately 2 published pages) written in essay

format and will include an abstract, appropriate subheadings, and references.

Rapid Communications. We aim for receipt-to-decision times of a month or less, and accepted papers will have priority for publication in the next available issue of *Poultry Science*. These papers will present informative and significant new findings, such as tissue-specific gene expression profile data with full-length cDNA and genomic gene structure characterization. These papers will be short (2 to 4 published pages), adhere to journal format, and include references and an abstract. Rapid Communications should not be preliminary reports or incomplete studies. Authors will select Rapid Communications as the paper type when submitting the paper.

Book Reviews. *Poultry Science* publishes reviews of books considered to be of interest to the readers. The editor-in-chief ordinarily solicits reviews. Unsolicited reviews must be sent directly to the editor-in-chief for approval. Book reviews shall be prepared in accordance to the style and form requirements of the journal, and they are subject to editorial revision. No page charges will be assessed.

Letters to the Editor. The purpose of letters will be to discuss, critique, or expand on scientific points made in articles recently published in *Poultry Science*. Introduction of unpublished data will not be allowed, nor will material based on conjecture or speculation. Letters must be received within 6 months of an article's publication. Letters will be limited to 400 words and 5 references (approximately 3 double-spaced, typed pages including references). Letters shall have a title. Author name(s) and affiliation(s) shall be placed between the end of the text and list of references. Letters will be sent electronically directly to the editor-in-chief for consideration. The author(s) of the original paper(s) will be provided a copy of the letter and offered the opportunity to submit for consideration a reply within 30 days. Replies will have the same page restrictions and format as letters, and the titles shall end with "—Reply." Letters and replies will be published together. Acceptability of letters will be decided by the editor-in-chief. Letters and replies shall follow appropriate *Poultry Science* format and may be edited by the editor-in-chief and a technical editor. If multiple letters on the same topic are received, a representative letter concerning a specific article will be published. All letters may not be published. Letters and replies will be published as space permits.

SUBMISSION OF ELECTRONIC MANUSCRIPTS

Authors should submit their papers electronically (<http://mc.manuscriptcentral.com/ps>). Detailed instructions for submitting electronically are provided online at that site. Authors who are unable to submit electronically should contact the editorial office (susamp@assochq.org) for assistance.

Copyright Agreement

Authors shall complete the Manuscript Submission and Copyright Release form for each new manuscript submission; faxed copies are acceptable. The form is published in *Poultry Science* as space permits and is available online (<http://ps.fass.org>). The copyright agreement is included in the Manuscript Submission and Copyright Release Form and must be completed by all authors before publication can proceed. The corresponding author is responsible for obtaining the signatures of coauthors. Persons unable to sign copyright agreements, such as federal employees, must indicate the reason for exemption on the form.

The Poultry Science Association grants to the author the right of republication in any book of which he or she is the author or editor, subject only to giving proper credit to the original journal publication of the article by the Association. The Poultry Science Association, Inc. retains the copyright to all materials accepted for publication in the journal. Please address requests for permission to reproduce published material to the editor-in-chief. All tables must be original material. If an author wishes to present data previously published in tabular form, copyright permission to reproduce the table must be obtained by the author and forwarded to the PSA editorial office, even when the format of the table submitted with the manuscript is different than the table already published.

If an author desires to reprint a figure published elsewhere, copyright permission to use the figure must be obtained by the author and forwarded to the PSA editorial office.

REVIEW OF MANUSCRIPTS

After a manuscript is submitted electronically, the editorial office checks the manuscript. If a manuscript does not conform to the format for *Poultry Science*, it will be returned to the author (rejected) without review. Manuscripts that pass initial screening will be forwarded to the appropriate section editor, who pre-reviews the manuscript and may suggest rejection at this early stage for fatal design flaw, inappropriate replications, lack of novelty, deviation from the Instructions for Authors, or other major concerns.

The section editor assigns two reviewers, at least one of whom is an associate editor. Each reviewer has 3 weeks to review the manuscript, after which his or her comments are forwarded to the section editor. The section editor may recommend rejection or acceptance at this point, after which the manuscript and reviewer comments are made available to the editor-in-chief for a final decision. More commonly, the manuscript will be sent back to the corresponding author for revision according to the guidelines of the reviewers. Authors have 6 weeks to complete the revision, which shall be returned to the section editor. Failure to return the manuscript within 6 weeks will cause the paper to be purged from the files. Purged manuscripts may be reconsidered, but they will have to be processed as new manuscripts. Section editors

handle all initial correspondence with authors during the review process. The editor-in-chief will notify the author of the final decision to accept or reject. Rejected manuscripts can be resubmitted only with an invitation from the section editor or editor-in-chief. Revised versions of previously rejected manuscripts are treated as new submissions. Therefore, authors must complete a new Manuscript Submission and Copyright Release Form.

PRODUCTION OF PROOFS

Accepted manuscripts are forwarded by the editor-in-chief to the editorial office for technical editing and typesetting. At this point the technical editor may contact the authors for missing information or figure revisions. The manuscript is then typeset, figures reproduced, and author proofs prepared.

Proofs

Author proofs of all manuscripts will be provided to the corresponding author. Author proofs should be read carefully and checked against the typed manuscript, because the responsibility for proofreading is with the author(s). Corrections may be returned by fax, mail, or e-mail. For faxed or mailed corrections, changes to the proof should be made neatly and clearly in the margins of the proof. If extensive editing is required, corrections should be provided on a separate sheet of paper with a symbol indicating location on the proof. Changes sent by e-mail to the technical editor must indicate page, column, and line numbers for each correction to be made on the proof. Corrections can also be marked using the note and highlight tools to indicate necessary changes. Author alterations to copy exceeding 10% of the cost of composition will be charged to the author.

Editor queries should be answered on the galley proofs; failure to do so may delay publication.

Proof corrections should be made and returned to the technical editor within 48 hours of receipt.

Publication Charges and Offprints

Poultry Science has two options available for the publication of articles: conventional page charges and Open Access (OA).

OA. For authors who wish to publish their papers OA (available to everyone when the issue is posted online), authors will pay the OA fee when proofs are returned to the editorial office. Charges for OA are \$2,400 if at least one author is a current professional member of PSA; the charge is \$3,100 when no author is a professional member of PSA.

Conventional Page Charges. The current charge for publication is \$100 per printed page (or fraction thereof) in the journal if at least one author is a professional member of PSA. If no author is a member of PSA, the publication charge is \$170 per journal page.

Offprints. Offprints may be ordered at an additional charge. When the galley proof is sent, the author is asked to complete an offprint order requesting the number of offprints desired and the name of the institution, agency, or individual responsible for publication charges.

Color Charges. The cost to publish in color in the print journal is \$995 per page of color; a surcharge for offprints will also be assessed. At the time of submission on Manuscript Central, authors will be asked to approve color charges for figures that they wish to have published in color in the print journal. Color versions of figures will be included in the online PDF and full-text article at no charge.

MANUSCRIPT PREPARATION: STYLE AND FORM

General

Papers must be written in English. The text and all supporting materials must use American spelling and usage as given in *The American Heritage Dictionary*, *Webster's Third International Dictionary*, or the *Oxford American English Dictionary*. Authors should follow the style and form recommended in *Scientific Style and Format: The CBE Manual for Authors, Editors, and Publishers*, 6th ed. Council of Biology Editors Style Manual Committee. Cambridge Univ. Press, Cambridge, UK.

Authors should prepare their manuscripts with Microsoft Word and upload them using the fewest files possible to facilitate the review and editing process.

Authors whose primary language is not English are strongly encouraged to use an English-language service to facilitate the preparation of their manuscript. A partial list of services can be found in the *Poultry Science* Manuscript checklist.

Preparing the Manuscript File

Manuscripts should be typed double-spaced, with lines and pages numbered consecutively, using Times New Roman font at 12 points. All special characters (e.g., Greek, math, symbols) should be inserted using the symbols palette available in this font. Complex math should be entered using MathType from Design Science (<http://www.dessci.com>). Equations created using the new Equation Builder feature in Microsoft Word 2007 may not be compatible with earlier versions of Word or other software used in our journal composition system. Tables and figures should be placed in separate sections at the end of the manuscript (not placed in the text). Failure to follow these instructions may result in an immediate rejection of the manuscript.

Headings

Major Headings. Major headings are centered (except ABSTRACT), all capitals, boldface, and consist of ABSTRACT, INTRODUCTION, MATERIALS AND

METHODS, RESULTS, DISCUSSION (or RESULTS AND DISCUSSION), ACKNOWLEDGMENTS (optional), APPENDIX (optional), and REFERENCES.

First Subheadings. First subheadings are placed on a separate line, begin at the left margin, the first letter of all important words is capitalized, and the headings are boldface and italic. Text that follows a first subheading should be in a new paragraph.

Second Subheadings. Second subheadings begin the first line of a paragraph. They are indented, boldface, italic, and followed by a period. The first letter of each important word should be capitalized. The text follows immediately after the final period of the subheading.

Title Page

The title page shall begin with a running head (short title) of not more than 45 characters. The running head is centered, is in all capital letters, and shall appear on the top of the title page. No abbreviations should be used.

The title of the paper must be in boldface; the first letter of the article title and proper names are capitalized, and the remainder of the title is lowercase. The title must have no abbreviations, and numbers must be given in words rather than in numerals (e.g., One-Day-Old Broilers).

Under the title, names of authors should be typed (first name or initial, middle initial, last name). Affiliations will be footnoted using the following symbols: *, †, ‡, §, #, ¶, and be placed below the author names. Do not give authors' titles, positions, or degrees. Numbered footnotes may be used to provide supplementary information, such as present address, acknowledgment of grants, and experiment station or journal series number. The corresponding author should be indicated with a numbered footnote (e.g., ¹Corresponding author: myname@university.edu). Note that there is no period after the corresponding author's e-mail address.

The title page shall include the name and full address of the corresponding author. Telephone and FAX numbers and e-mail address must also be provided. The title page must indicate the appropriate scientific section for the paper (i.e., Education and Production; Environment, Well-Being, and Behavior; Genetics; Immunology, Health, and Disease; Metabolism and Nutrition; Molecular, Cellular, and Developmental Biology; Physiology, Endocrinology, and Reproduction; or Processing, Products, and Food Safety).

Authors may create a full title page as a one-page document, in a file separate from the rest of the paper. This file can be uploaded and marked "not for review." Authors who choose to upload manuscripts with a full title page at the beginning will have their papers forwarded to reviewers as is.

Abbreviations

Author-derived abbreviations should be defined at first use in the abstract and again in the body of the manuscript. The abbreviation will be shown in bold type at first

use in the body of the manuscript. Refer to the Miscellaneous Usage Notes for more information on abbreviations.

Abstract

The Abstract disseminates scientific information through abstracting journals and through convenience for the readers. The Abstract, consisting of not more than 325 words, appears at the beginning of the manuscript with the word ABSTRACT without a following period. It must summarize the major objectives, methods, results, conclusions, and practical applications of the research. The Abstract must consist of complete sentences and use of abbreviations should be limited. References to other work and footnotes are not permitted. The Abstract and Key Words must be on a separate sheet of paper.

Key Words

The Abstract shall be followed by a maximum of five key words or phrases to be used for subject indexing. These should include important words from the title and the running head and should be singular, not plural, terms (e.g., broiler, not broilers). Key words should be formatted as follows: Key words: ...

Introduction

The Introduction, while brief, should provide the reader with information necessary for understanding research presented in the paper. Previous work on the topic should be summarized, and the objectives of the current research must be clearly stated.

Materials and Methods

All sources of products, equipment, and chemicals used in the experiments must be specified parenthetically at first mention in text, tables, and figures [i.e., (model 123, ABC Corp., Provo, UT)]. Model and catalog numbers should be included. Information shall include the full corporate name (including division, branch, or other subordinate part of the corporation, if applicable), city, and state (country if outside the United States), or Web address. Street addresses need not be given unless the reader would not be able to determine the full address for mailing purposes easily by consulting standard references.

Age, sex, breed, and strain or genetic stock of animals used in the experiments shall be specified. Animal care guidelines should be referenced if appropriate.

Papers must contain analyzed values for those dietary ingredients that are crucial to the experiment. Papers dealing with the effects of feed additives or graded levels of a specific nutrient must give analyzed values for the relevant additive or nutrient in the diet(s). If products were used that contain different potentially active compounds,

then analyzed values for these compounds must be given for the diet(s). Exceptions can only be made if appropriate methods are not available. In other papers, authors should state whether experimental diets meet or exceed the National Research Council (1994) requirements as appropriate. If not, crude protein and metabolizable energy levels should be stated. For layer diets, calcium and phosphorus contents should also be specified.

When describing the composition of diets and vitamin premixes, the concentration of vitamins A and E should be expressed as IU/kg on the basis of the following equivalents:

Vitamin A

1 IU = 0.3 µg of all-trans retinol
1 IU = 0.344 µg of retinyl acetate
1 IU = 0.552 µg of retinyl palmitate
1 IU = 0.60 µg of β-carotene

Vitamin E

1 IU = 1 mg of DL-α-tocopheryl acetate
1 IU = 0.91 mg of DL-α-tocopherol
1 IU = 0.67 mg of DL-α-tocopherol

In the instance of vitamin D₃, cholecalciferol is the acceptable term on the basis that 1 IU of vitamin D₃ = 0.025 µg of cholecalciferol.

The sources of vitamins A and E must be specified in parentheses immediately following the stated concentrations.

Statistical Analysis. Biology should be emphasized, but the use of incorrect or inadequate statistical methods to analyze and interpret biological data is not acceptable. Consultation with a statistician is recommended. Statistical methods commonly used in the animal sciences need not be described in detail, but adequate references should be provided. The statistical model, classes, blocks, and experimental unit must be designated. Any restrictions used in estimating parameters should be defined. Reference to a statistical package without reporting the sources of variation (classes) and other salient features of the analysis, such as covariance or orthogonal contrasts, is not sufficient. A statement of the results of statistical analysis should justify the interpretations and conclusions. When possible, results of similar experiments should be pooled statistically. Do not report a number of similar experiments separately.

The experimental unit is the smallest unit to which an individual treatment is imposed. For group-fed animals, the group of animals in the pen is the experimental unit; therefore, groups must be replicated. Repeated chemical analyses of the same sample usually do not constitute independent experimental units. Measurements on the same experimental unit over time also are not independent and must not be considered as independent experimental units. For analysis of time effects, use time-sequence analysis.

Usual assumptions are that errors in the statistical models are normally and independently distributed with constant variance. Most standard methods are robust to deviations from these assumptions, but occasionally data

transformations or other techniques are helpful. For example, it is recommended that percentage data between 0 and 20 and between 80 and 100 be subjected to arc sin transformation prior to analysis. Most statistical procedures are based on the assumption that experimental units have been assigned to treatments at random. If animals are stratified by ancestry or weight or if some other initial measurement should be accounted for, the model should include a blocking factor, or the initial measurement should be included as a covariate.

A parameter [mean (μ), variance (σ^2)], which defines or describes a population, is estimated by a statistic (x , s^2). The term parameter is not appropriate to describe a variable, observation, trait, characteristic, or measurement taken in an experiment.

Standard designs are adequately described by name and size (e.g., "a randomized complete block design with 6 treatments in 5 blocks"). For a factorial set of treatments, an adequate description might be as follows: "Total sulfur amino acids at 0.70 or 0.80% of the diet and Lys at 1.10, 1.20, or 1.30% of the diet were used in a 2×3 factorial arrangement in 5 randomized complete blocks consisting of initial BW." Note that a factorial arrangement is not a design; the term "design" refers to the method of grouping experimental units into homogeneous groups or blocks (i.e., the way in which the randomization is restricted).

Standard deviation refers to the variability in a sample or a population. The standard error (calculated from error variance) is the estimated sampling error of a statistic such as the sample mean. When a standard deviation or standard error is given, the number of degrees of freedom on which it rests should be specified. When any statistical value (as mean or difference of 2 means) is mentioned, its standard error or confidence limit should be given. The fact that differences are not "statistically significant" is no reason for omitting standard errors. They are of value when results from several experiments are combined in the future. They also are useful to the reader as measures of efficiency of experimental techniques. A value attached by " \pm " to a number implies that the second value is its standard error (not its standard deviation). Adequate reporting may require only 1) the number of observations, 2) arithmetic treatment means, and 3) an estimate of experimental error. The pooled standard error of the mean is the preferred estimate of experimental error. Standard errors need not be presented separately for each mean unless the means are based on different numbers of observations or the heterogeneity of the error variance is to be emphasized. Presenting individual standard errors clutters the presentation and can mislead readers.

For more complex experiments, tables of subclass means and tables of analyses of variance or covariance may be included. When the analysis of variance contains several error terms, such as in split-plot and repeated measures designs, the text should indicate clearly which mean square was used for the denominator of each F statistic. Unbalanced factorial data can present special problems. Accordingly, it is well to state how the computing was done and how the parameters were estimated. Ap-

proximations should be accompanied by cautions concerning possible biases.

Contrasts (preferably orthogonal) are used to answer specific questions for which the experiment was designed; they should form the basis for comparing treatment means. Nonorthogonal contrasts may be evaluated by Bonferroni t statistics. The exact contrasts tested should be described for the reader. Multiple-range tests are not appropriate when treatments are orthogonally arranged. Fixed-range, pairwise, multiple-comparison tests should be used only to compare means of treatments that are unstructured or not related. Least squares means are the correct means to use for all data, but arithmetic means are identical to least squares means unless the design is unbalanced or contains missing values or an adjustment is being made for a covariate. In factorial treatment arrangements, means for main effects should be presented when important interactions are not present. However, means for individual treatment combinations also should be provided in table or text so that future researchers may combine data from several experiments to detect important interactions. An interaction may not be detected in a given experiment because of a limitation in the number of observations.

The terms significant and highly significant traditionally have been reserved for $P < 0.05$ and $P < 0.01$, respectively; however, reporting the P -value is preferred to the use of these terms. For example, use "... there was a difference ($P < 0.05$) between control and treated samples" rather than "... there was a significant ($P < 0.05$) difference between control and treated samples." When available, the observed significance level (e.g., $P = 0.027$) should be presented rather than merely $P < 0.05$ or $P < 0.01$, thereby allowing the reader to decide what to reject. Other probability (α) levels may be discussed if properly qualified so that the reader is not misled. Do not report P -values to more than 3 places after the decimal. Regardless of the probability level used, failure to reject a hypothesis should be based on the relative consequences of type I and II errors. A "nonsignificant" relationship should not be interpreted to suggest the absence of a relationship. An inadequate number of experimental units or insufficient control of variation limits the power to detect relationships. Avoid the ambiguous use of $P > 0.05$ to declare nonsignificance, such as indicating that a difference is not significant at $P > 0.05$ and subsequently declaring another difference significant (or a tendency) at $P < 0.09$. In addition, readers may incorrectly interpret the use of $P > 0.05$ as the probability of a β error, not an α error.

Present only meaningful digits. A practical rule is to round values so that the change caused by rounding is less than one-tenth of the standard error. Such rounding increases the variance of the reported value by less than 1%, so that less than 1% of the relevant information contained in the data is sacrificed. Significant digits in data reported should be restricted to 3 beyond the decimal point, unless warranted by the use of specific methods.

Results and Discussion

Results and Discussion sections may be combined, or they may appear in separate sections. If separate, the Results section shall contain only the results and summary of the author's experiments; there should be no literature comparisons. Those comparisons should appear in the Discussion section. Manuscripts reporting sequence data must have GenBank accession numbers prior to submitting. One of the hallmarks for experimental evidence is repeatability. Care should be taken to ensure that experiments are adequately replicated. The results of experiments must be replicated, either by replicating treatments within experiments or by repeating experiments.

Acknowledgments

An Acknowledgments section, if desired, shall follow the Discussion section. Acknowledgments of individuals should include affiliations but not titles, such as Dr., Mr., or Ms. Affiliations shall include institution, city, and state.

Appendix

A technical Appendix, if desired, shall follow the Discussion section or Acknowledgments, if present. The Appendix may contain supplementary material, explanations, and elaborations that are not essential to other major sections but are helpful to the reader. Novel computer programs or mathematical computations would be appropriate. The Appendix will not be a repository for raw data.

References

Citations in Text. In the body of the manuscript, refer to authors as follows: Smith and Jones (1992) or Smith and Jones (1990, 1992). If the sentence structure requires that the authors' names be included in parentheses, the proper format is (Smith and Jones, 1982; Jones, 1988a,b; Jones et al., 1993). Where there are more than two authors of one article, the first author's name is followed by the abbreviation et al. More than one article listed in the same sentence of text must be in chronological order first, and alphabetical order for two publications in the same year. Work that has not been accepted for publication shall be listed in the text as: "J. E. Jones (institution, city, and state, personal communication)." The author's own unpublished work should be listed in the text as "(J. Smith, unpublished data)." Personal communications and unpublished data must not be included in the References section.

References Section. To be listed in the References section, papers must be published or accepted for publication. Manuscripts submitted for publication can be cited as "personal communication" or "unpublished data" in the text.

Citation of abstracts, conference proceedings, and other works that have not been peer reviewed is strongly discouraged unless essential to the paper. Abstract and

proceedings references are not appropriate citations in the Materials and Methods section of a paper.

In the References section, references shall first be listed alphabetically by author(s)' last name(s), and then chronologically. The year of publication follows the authors' names. As with text citations, two or more publications by the same author or set of authors in the same year shall be differentiated by adding lowercase letters after the date. The dates for papers with the same first author that would be abbreviated in the text as et al., even though the second and subsequent authors differ, shall also be differentiated by letters. All authors' names must appear in the Reference section. Journals shall be abbreviated according to the conventional ISO abbreviations given in journals database of the National Library of Medicine (<http://www.ncbi.nlm.nih.gov/entrez/query.fcgi?db=journals>). One-word titles must be spelled out. Inclusive page numbers must be provided. Sample references are given below. Consult recent issues of *Poultry Science* for examples not included below.

Article:

Bagley, L. G., and V. L. Christensen. 1991. Hatchability and physiology of turkey embryos incubated at sea level with increased eggshell permeability. *Poult. Sci.* 70:1412-1418.

Bagley, L. G., V. L. Christensen, and R. P. Gildersleeve. 1990. Hematological indices of turkey embryos incubated at high altitude as affected by oxygen and shell permeability. *Poult. Sci.* 69:2035-2039.

Witter, R. L., and I. M. Gimeno. 2006. Susceptibility of adult chickens, with and without prior vaccination, to challenge with Marek's disease virus. *Avian Dis.* 50:354-365. doi:10.1637/7498-010306R.1

Book:

Metcalf, J., M. K. Stock, and R. L. Ingermann. 1984. The effects of oxygen on growth and development of the chick embryo. Pages 205-219 in *Respiration and Metabolism of Embryonic Vertebrates*. R. S. Seymour, ed. Dr. W. Junk, Dordrecht, the Netherlands.

National Research Council. 1994. Nutrient Requirements of Poultry. 9th rev. ed. Natl. Acad. Press, Washington, DC.

Federal Register:

Department of Agriculture, Plant and Animal Health Inspection Service. 2004. Blood and tissue collection at slaughtering and rendering establishments, final rule. 9CFR part 71. Fed. Regist. 69:10137-10151.

Other:

Choct, M., and R. J. Hughes. 1996. Long-chain hydrocarbons as a marker for digestibility studies in poultry. *Proc. Aust. Poult. Sci. Symp.* 8:186. (Abstr.)

Dyro, F. M. 2005. Arsenic. WebMD. <http://www.emedicine.com/neuro/topic20.htm> Accessed Feb. 2006.

El Halawani, M. E., and I. Rosenboim. 2004. Method to enhance reproductive performance in poultry. Univ. Minnesota, assignee. US Pat. No. 6,766,767.

Hruby, M., J. C. Remus, and E. E. M. Pierson. 2004. Nutritional strategies to meet the challenge of feeding poultry without antibiotic growth promotants. *Proc. 2nd Mid-Atlantic Nutr. Conf.*, Timonium, MD. Univ. Maryland, College Park.

Luzuriaga, D. A. 1999. Application of computer vision and electronic nose technologies for quality assessment of color and odor of shrimp and salmon. PhD Diss. Univ. Florida, Gainesville.

Peak, S. D., and J. Brake. 2000. The influence of feeding program on broiler breeder male mortality. *Poult. Sci.* 79(Suppl. 1):2. (Abstr.)

Tables

Tables must be created using the MS Word table feature and inserted in the manuscript after the references section. When possible, tables should be organized to fit across the page without running broadside. Be aware of the dimensions of the printed page when planning tables (use of more than 15 columns will create layout problems). Place the table number and title on the same line above the table. The table title does not require a period. Do not use vertical lines and use few horizontal lines. Use of bold and italic typefaces in the table body should be done sparingly; such use must be defined in a footnote. Each table must be on a separate page. To facilitate placement of all tables into the manuscript file (just after the references) authors should use "section breaks" rather than "page breaks" at the end of the manuscript (before the tables) and between tables.

Units of measure for each variable must be indicated. Papers with several tables must use consistent format. All columns must have appropriate headings.

Abbreviations not found on the inside front cover of the journal must be defined in each table and must match those used in the text. Footnotes to tables should be marked by superscript numbers. Each footnote should begin a new line.

Superscript letters shall be used for the separation of means in the body of the table and explanatory footnotes must be provided [i.e., "Means within a row lacking a common superscript differ ($P < 0.05$)."]; other significant P-values may be specified. Comparison of means within rows and columns should be indicated by different series of superscripts (e.g., a,b, . . . in rows; x-z . . . in columns). The first alphabetical letter in the series (e.g., a or A) shall be used to indicate the largest mean. Lowercase superscripts indicate $P \leq 0.05$. Uppercase letters indicate $P \leq 0.01$ or less.

Probability values may be indicated as follows: * $P \leq 0.05$, ** $P \leq 0.01$, *** $P \leq 0.001$, and + $P \leq 0.10$. Consult a recent issue of *Poultry Science* for examples of tables.

Figures

To facilitate review, figures should be placed at the end of the manuscript (separated by section breaks). Each figure should be placed on a separate page, and identified by the manuscript number and the figure number. A figure with multiple panels or parts should appear on one page (e.g., if Figure 1 has parts a, b, and c, place all of these on the same page). Figure captions should be typed (double spaced) on a separate page.

- **Figure Size.** Prepare figures at final size for publication. Figures should be prepared to fit one column (8.9 cm wide), 2 columns (14 cm wide), or full-page width (19 cm wide).
- **Font Size.** Ensure that all type within the figure and axis labels are readable at final publication size. A minimum type size of 8 points (after reduction) should be used.
- **Fonts.** Use Helvetica or Times New Roman. Symbols may be inserted using the Symbol palette in Times New Roman.
- **Line Weight.** For line graphs, use a minimum stroke weight of 1 point for all lines. If multiple lines are to be distinguished, use solid, long-dash, short-dash, and dotted lines. Avoid the use of color, gray, or shaded lines, as these will not reproduce well. Lines with different symbols for the data points may also be used to distinguish curves.
- **Axis Labels.** Each axis should have a description and a unit. Units may be separated from the descriptor by a comma or parentheses, and should be consistent within a manuscript.
- **Shading and Fill Patterns.** For bar charts, use different fill patterns if needed (e.g., black, white, gray, diagonal stripes). Avoid the use of multiple shades of gray, as they will not be easily distinguishable in print.
- **Symbols.** Identify curves and data points using the following symbols only: □, ■, ○, ●, ▲, ▼, △, ▽, ◇, +, or ✕. Symbols should be defined in a key on the figure if possible.
- **File Formats.** Figures can be submitted in Word, PDF, EPS, TIFF, and JPEG. Avoid PowerPoint files and other formats. For the best printed quality, line art should be prepared at 600 ppi. Grayscale and color images and photomicrographs should be at least 300 ppi.
- **Grayscale Figures.** If figures are to be reproduced in grayscale (black and white), submit in grayscale. Often color will mask contrast problems that are apparent only when the figure is reproduced in grayscale.
- **Color Figures.** If figures are to appear in color in the print journal, files must be submitted in CMYK color (not RGB).
- **Photomicrographs.** Photomicrographs must have their unmagnified size designated, either in the caption or with a scale bar on the figure. Reduction for publication can make a magnification power designation (e.g., 100×) inappropriate.
- **Caption.** The caption should provide sufficient information that the figure can be understood with excessive reference to the text. All author-derived abbreviations used in the figure should be defined in the caption.
- **General Tips.** Avoid the use of three-dimensional bar charts, unless essential to the presentation of the data. Use the simplest shading scheme possible to

present the data clearly. Ensure that data, symbols, axis labels, lines, and key are clear and easily readable at final publication size.

Color Figures. Submitted color images should be at least 300 ppi. The cost to publish each color figure is \$995; a surcharge for color reprints ordered will be assessed. Authors must agree in writing to bear the costs of color production after acceptance and prior to publication of the paper.

Miscellaneous Usage Notes

Abbreviations. Abbreviations shall not be used in the title, key words, or to begin sentences, except when they are widely known throughout science (e.g., DNA, RNA) or are terms better known by abbreviation (e.g., IgG, CD). A helpful criterion for use of abbreviation is whether it has been accepted into thesauri and indexes widely used for searching major bibliographic databases in the scientific field. Abbreviations may be used in heads within the paper, if they have been first defined within the text. The inside back cover of every issue of the journal lists abbreviations that can be used without definition. The list is subject to revision at any time, so authors should always consult the most recent issue of the journal (or the updated list at <http://ps.fass.org/>) for relevant information. Abbreviations are allowed when they help the flow of the manuscript; however, excessive use of abbreviations can confuse the reader. The suitability of abbreviations will be evaluated by the reviewers and editors during the review process and by the technical editor during editing. As a rule, author-derived abbreviations should be in all capital letters. Terms used less than three times must be spelled out in full rather than abbreviated. All terms are to be spelled out in full with the abbreviation following in bold type in parentheses the first time they are mentioned in the main body of the text. Abbreviations shall be used consistently thereafter, rather than the full term.

The abstract, text, each table, and each figure must be understood independently of each other. Therefore, abbreviations shall be defined within each of these units of the manuscript.

Plural abbreviations do not require "s." Chemical symbols and three-letter abbreviations for amino acids do not need definition. Units of measure, except those in the standard *Poultry Science* abbreviation list, should be abbreviated as listed in the *CRC Handbook for Chemistry and Physics* (CRC Press, 2000 Corporate Blvd., Boca Raton, FL 33431) and do not need to be defined.

The following abbreviations may be used without definition in *Poultry Science*.

A	adenine
ADG	average daily gain
ADFI	average daily feed intake
AME	apparent metabolizable energy
AME _n	nitrogen-corrected apparent metabolizable energy
ANOVA	analysis of variance
B cell	bursal-derived, bursal-equivalent derived cell
bp	base pairs
BSA	bovine serum albumin
BW	body weight
C	cytosine
cDNA	complementary DNA
cfu	colony-forming units
CI	confidence interval
CP	crude protein
cpm	counts per minute
CV	coefficient of variation
d	day
df	degrees of freedom
DM	dry matter
DNA	deoxyribonucleic acid
EDTA	ethylenediaminetetraacetate
ELISA	enzyme-linked immunosorbent antibody assay
EST	expressed sequence tag
g	gram
g	gravity
G	guanine
GAT	glutamic acid-alanine-tyrosine
G:F	gain-to-feed ratio
GLM	general linear model
h	hour
HEPES	N-2-hydroxyethyl piperazine-N'-ethane-sulfonic acid
HPLC	high-performance (high-pressure) liquid chromatography
ICU	intensive chick units
Ig	immunoglobulin
IL	interleukin
IU	international units
kb	kilobase pairs
kDa	kilodalton
L	liter ²
L:D	hours light:hours darkness in a photoperiod (e.g., 23L:1D)
m	meter
μ	micro
M	molar
MAS	marker-assisted selection
ME	metabolizable energy
ME _n	nitrogen-corrected metabolizable energy
MHC	major histocompatibility complex
mRNA	messenger ribonucleic acid
min	minute
mo	month
MS	mean square
n	number of observations
N	normal
NAD	nicotinamide adenine dinucleotide
NADH	reduced nicotinamide adenine dinucleotide
NRC	National Research Council
NS	not significant
PAGE	polyacrylamide gel electrophoresis
PBS	phosphate-buffered saline
PCR	polymerase chain reaction
pfu	plaque-forming units
QTL	quantitative trait loci
r	correlation coefficient
r ²	coefficient of determination, simple
R ²	coefficient of determination, multiple
RFLP	restriction fragment length polymorphism
RH	relative humidity
RIA	radioimmunoassay
RNA	ribonucleic acid
rpm	revolutions per minute
s	second
SD	standard deviation
SDS	sodium dodecyl sulfate
SE	standard error
SEM	standard error of the mean
SRBC	sheep red blood cells
SNP	single nucleotide polymorphism
T	thymine
TBA	thiobarbituric acid
T cell	thymic-derived cell
TME	true metabolizable energy
TME _n	nitrogen-corrected true metabolizable energy
Tris	tris(hydroxymethyl)aminomethane
TSAA	total sulfur amino acids
U	uridine
USDA	United States Department of Agriculture
UV	ultraviolet

vol/vol	volume to volume
vs.	versus
wt/vol	weight to volume
wt/wt	weight to weight
wk	week
yr	year

*Also capitalized with any combination, e.g., mL.

International Words and Phrases. Non-English words in common usage (defined in recent editions of standard dictionaries) will not appear in italics (e.g., *in vitro*, *in vivo*, *in situ*, *a priori*). However, genus and species of plants, animals, or bacteria and viruses should be italicized. Authors must indicate accent marks and other diacriticals on international names and institutions. German nouns shall begin with capital letters.

Capitalization. Breed and variety names are to be capitalized (e.g., Single Comb White Leghorn).

Number Style. Numbers less than 1 shall be written with preceding zeros (e.g., 0.75). All numbers shall be written as digits. Measures must be in the metric system; however, US equivalents may be given in parentheses. *Poultry Science* requires that measures of energy be given in calories rather than joules, but the equivalent in joules may be shown in parentheses or in a footnote to tables. Units of measure not preceded by numbers must be written out rather than abbreviated (e.g., lysine content was measured in milligrams per kilogram of diet) unless used parenthetically. Measures of variation must be defined in the Abstract and in the body of the paper at first use. Units of measure for feed conversion or feed efficiency shall be provided (i.e., g/g).

Nucleotide Sequences. Nucleotide sequence data must relate to poultry or poultry pathogens and must complement biological data published in the same or a companion paper. If sequences are excessively long, it is suggested that the most relevant sections of the data be published in *Poultry Science* and the remaining sequences be submitted to one of the sequence databases. Acceptance for publication is contingent on the submission of sequence data to one of the databases. The following statement should appear as a footnote to the title on the title page of the manuscript. "The nucleotide sequence data reported in this paper have been submitted to GenBank Submission (Mail Stop K710, Los Alamos National Laboratories, Los Alamos, NM 87545) nucleotide sequence database and have been assigned the accession number XNNNNNN."

Publication of the description of molecular clones is assumed by the editors to place them in the public sector. Therefore, they shall be made available to other scientists for research purposes.

Nucleotide sequences must be submitted as camera-ready figures no larger than 21.6 × 27.9 cm in standard (portrait) orientation. Abbreviations should follow *Poultry Science* guidelines.

Gene and Protein Nomenclature. Authors are required to use only approved gene and protein names and symbols. For poultry, full gene names should not be italicized. Gene symbols should be in uppercase letters and should be in italics. A protein symbol should be in the same format as its gene except the protein symbol should not be in italics.

General Usage. Note that "and/or" is not permitted; choose the more appropriate meaning or use "x or y or both."

Use the slant line only when it means "per" with numbered units of measure or "divided by" in equations. Use only one slant line in a given expression (e.g., g/d per chick). The slant line may not be used to indicate ratios or mixtures.

Use "to" instead of a hyphen to indicate a range.

Insert spaces around all signs (except slant lines) of operation (=, -, +, ×, >, or <, etc.) when these signs occur between two items.

Items in a series should be separated by commas (e.g., a, b, and c).

Restrict the use of "while" and "since" to meanings related to time. Appropriate substitutes include "and," "but," or "whereas" for "while" and "because" or "although" for "since."

Leading (initial) zeros should be used with numbers less than 1 (e.g., 0.01).

Commas should be used in numbers greater than 999.

Registered (®) and trademark (™) symbols should not be used, unless as part of an article title in the References section. Trademarked product names should be capitalized.

Supplemental Information

The following information is available online and updated regularly. Please refer to these pages when preparing a manuscript for submission.

Journal Title Abbreviations. A list of standard abbreviations for common journal titles is available online (<http://ps.fass.org/misc/ifora.dtl>).

SI Units. The following site (National Institute of Standards and Technology) provides a comprehensive guide to SI units and usage: <http://physics.nist.gov/Pubs/SP811/contents.html>

Figure and Table Preparation Guidelines. Current detailed information on figure and table preparation can be found at <http://ps.fass.org/misc/ifora.dtl>

Manuscript Central Instructions. Manuscripts are submitted online (<http://mc.manuscriptcentral.com/psa>). Full user instructions for using the Manuscript Central system are available on the Manuscript Central home page.

3977 **Anexo 6. Manual de Usuario: Sistema de Gestión de Información para
3978 Granjas Avícolas**

3979

3980 Esta aplicación informática administrativa tiene como nombre Sistema de Gestión
3981 de Información para Granjas Avícolas, fue construida con modelos matemáticos y
3982 bajo un ambiente grafico amable y conocido como el Excel. Este sistema pretende
3983 optimizar el proceso de toma, procesamiento, análisis y almacenamiento de
3984 información proveniente del sistema de producción avícola y además, facilitar la
3985 identificación de puntos críticos y toma de decisiones en tiempo real.

3986

3987 **Para acceder al manual de click aqui**

3988

3989 **Anexo 7. Artículo de divulgación de las actividades del proyecto de**
3990 **investigación CODI**

3991

3992 Este artículo presenta los avances en el desarrollo del sistema de apoyo a la toma
3993 de decisiones (SATD), y el uso de cámaras de video y sensores para la
3994 caracterización del sistema productivo y la captura de información que servirá de
3995 furnte de datos para el *software* (Sistema de Gestión de Informacion para Granjas
3996 Avícolas).

3997

3998 **Desarrollo de aplicaciones tecnológicas integrales para el manejo de las**
3999 **producciones avícolas del país: sistemas de apoyo a toma de decisiones**
4000 **(SATD).**

4001

4002 L F Galeano Vasco*, Zoot, MSc, cPhD; D M Gutiérrez Zapata*, Zoot, Est MSc; C
4003 Acevedo Valladares*, Zoot; M F Cerón-Muñoz*, Zoot, MSc, Dr.

4004

4005 **Grupo de Investigación en Genética, Mejoramiento y Modelación Animal-GaMMA-*
4006 *Universidad de Antioquia, Medellín, Colombia.*

4007 *Proyecto CODI E01533 “Diseño y validación de sistemas de apoyo a la toma de*
4008 *decisiones en granjas avícolas productoras de huevo comercial”*

4009 *gavo76@gmail.com*

4010

4011

4012 La permanencia en el sector de cualquier sistema productivo empresarial requiere
4013 de la maximización de su rentabilidad; para ello es necesario implementar procesos
4014 gerenciales que procuren mejorar la calidad, la productividad y la competitividad de
4015 la empresa. La efectividad de estos procesos requiere de la definición y aplicación
4016 de estrategias a corto, mediano y largo plazo; las cuales deben estar
4017 fundamentadas en el conocimiento, análisis y documentación de las actividades
4018 propias del negocio, logrando definir y controlar los factores que intervienen de
4019 manera directa o indirecta en la respuesta económica y productiva del sistema.

4020 La producción empresarial avícola de huevo depende del mantenimiento de la
4021 respuesta productiva de las aves en un nivel óptimo que permita maximizar el uso
4022 de los recursos propios. Este nivel productivo está condicionado por múltiples
4023 factores, tales como los ambientales (temperatura, humedad relativa, ventilación),
4024 de manejo (densidad de las aves, número de comederos y bebederos por ave,
4025 programa de iluminación), nutricionales (balance nutricional, granulometría, tipo de
4026 comederos, sistema de alimentación, suplementación mineral), y aquellos propios
4027 del ave (estirpe, edad, peso), entre otros (Flores 1994; Santomá y Pontes 2004;
4028 Dozier et al 2005; Hester 2005; Lin et al 2005; Abiodun et al 2006; Abu-Dieyeh 2006;
4029 Borges et al 2007; Rozenboim et al 2007; Zang et al 2009).

4030

4031 Cada uno de estos factores puede ser medido, registrado y analizado; pero por su
4032 volumen y variabilidad dificultan su evaluación cuando no se cuenta con
4033 aplicaciones informáticas, tales como los modelos matemáticos y la simulación
4034 (Oviedo 2002; Blasco 2004). En el país muchos productores solo pueden tomar
4035 acciones correctivas una vez se ha dejado de percibir ganancias debido a la caída
4036 en la producción o alteraciones en el ave; esto por la poca información disponible
4037 (ya que generalmente solo se manejan registros de consumo, producción y
4038 mortalidad), por la falta de aplicaciones tecnológicas que faciliten su procesamiento
4039 y análisis, y por la común costumbre de tomar decisiones sobre los datos
4040 correspondientes a un período pasado de producción; es decir, la semana dos se
4041 planifica con base en los resultados de la semana uno, pero si en la semana uno no
4042 se cumplieron los objetivos productivos, ya las perdidas en el proceso están hechas.
4043

4044 Por lo anterior, se viene impulsando el desarrollo de herramientas que incluyan el
4045 uso de tecnologías informáticas, posibilitando a productores e investigadores hacer
4046 una continua evaluación del sistema mediante el monitoreo, análisis y control de los
4047 factores que intervienen en la producción; esto con el fin de direccionar una toma
4048 de decisiones objetiva, que permita reducir los costos y maximizar la rentabilidad y
4049 eficiencia del proceso productivo (Oviedo 2002).

4050 Entre estas herramientas se encuentran los sistemas de apoyo a la toma de
 4051 decisiones (SATD); debido a que en su construcción se necesita conocer al detalle
 4052 los componentes del proceso a modelar, los SATD (ver esquema en Figura 1)
 4053 permiten conocer las relaciones entre los elementos de un determinado sistema,
 4054 proporcionando así el entendimiento de las partes y sus interrelaciones, o
 4055 permitiendo la identificación de un problema específico y brindando las mejores
 4056 alternativas para su solución (Wang 1997; Yam et al 2001). Lo anterior se logra
 4057 gracias al uso de modelos matemáticos, los cuales emplean ecuaciones para
 4058 describir o simular procesos en un sistema (Dumas et al 2008). Actualmente, tienen
 4059 gran aplicación en el ámbito agropecuario, principalmente en el desarrollo y
 4060 validación de funciones de crecimiento animal o vegetal, producción, consumo de
 4061 alimento, mejoramiento genético, entre otros (Blasco 2004).



4062
 4063 **Figura 1.** Generalización de las fases que se experimentan durante el uso de un
 4064 sistema de apoyo a la toma de decisiones (SATD).

4065
 4066 En el sector avícola en particular, el desarrollo de SATD se ha enfocado sobre temas
 4067 sanitarios como la presencia de enfermedades y el manejo de las excretas (Rose et
 4068 al 2003; Karmakar et al 2007), en procesos de control de calidad, sanidad y
 4069 trazabilidad de huevo y carne de pollo (Patel et al 1998; Mertens et al 2008; Wan et

4070 al 2008), y en el control de algunos procesos como ventilación e iluminación
4071 mediante la activación o desactivación de ventiladores, controladores de cortinas y
4072 persianas, con el fin de garantizar un ambiente confortable en las instalaciones que
4073 favorezca el desempeño productivo de las aves (Sonawane et al 2008).

4074

4075 La importancia de estos sistemas radica en su capacidad de brindar elementos al
4076 productor que le permitan mantener un nivel de eficiencia óptimo en su sistema
4077 productivo al identificar puntos críticos, realizar pronósticos y generar alternativas
4078 de control (Mollo et al 2009). En la actualidad, estas aplicaciones tecnológicas no
4079 tienen gran difusión, su alcance es limitado, y en su mayoría solo permiten el análisis
4080 de uno o dos componentes de la producción debido a la cantidad de factores que
4081 intervienen en el desempeño de la misma. Es por ello que la Universidad de
4082 Antioquia viene desarrollando un proyecto de investigación cuyo objetivo es el
4083 diseño de un SATD que integre todos los posibles componentes inherentes a los
4084 sistemas de producción de huevo comercial en Colombia; permitiendo una mejor
4085 caracterización de éstos y brindando alternativas de manejo que contribuyan al
4086 progreso de los avicultores y al crecimiento de la industria en el país.

4087

4088 La investigación tiene lugar en la Hacienda “La Montaña” propiedad de la
4089 universidad, la cual se ubica en el municipio de San Pedro de los Milagros en
4090 Antioquia. El desarrollo de la primera fase consiste en reunir información acerca de
4091 los sistemas productivos por medio de la consecución de registros históricos de la
4092 granja, encuestas directas a empleados y personal administrativo, e información
4093 colectada por medio de sistemas de monitoreo y vigilancia que han sido instalados
4094 para el desarrollo de otras investigaciones conjuntas (Figuras 2 y 3). Entre los
4095 aspectos que se desean conocer están las condiciones de alojamiento,
4096 alimentación, manejo, línea genética, producción, mortalidad, condiciones
4097 agroecológicas y ambientales, entre otros, que sirven para la caracterización del
4098 sistema. Esta información es analizada por medio de modelos matemáticos; aquí se
4099 logra establecer las relaciones entre los diferentes aspectos, y se identifica cuáles
4100 tienen mayor impacto en el sistema productivo.

4101



4102

4103 **Figura 2.** Nodo sensor para monitoreo continuo de temperatura, humedad relativa
4104 y producción de gas amoniaco (NH_3) en instalaciones avícolas.

4105



4106

4107 **Figura 3.** Sistema de vigilancia para evaluación del comportamiento aviar en un
4108 galpón de ponedoras.

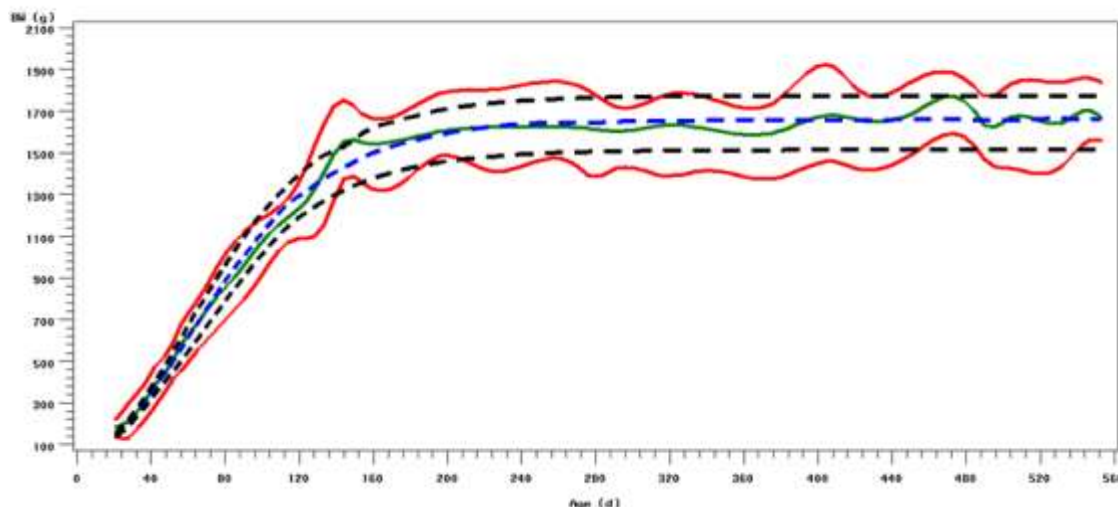
4109

4110 Estos sistemas para monitoreo ambiental y evaluación del comportamiento aviar
4111 están aún en período de prueba; con la información que se recoja de ellos se
4112 pretende conocer aspectos ambientales y etológicos propios de la granja, y
4113 establecer las relaciones entre estas y otras variables como las de tipo productivo.

4114

4115 También con la información productiva colectada hasta el momento, se han
4116 realizado algunas aproximaciones al modelado de las curvas de crecimiento y de
4117 producción de huevo de algunos lotes (Figuras 4 y 5); encontrándose para estas
4118 funciones, que los valores estimados por los modelos son cercanos a los valores
4119 reales obtenidos en granja.

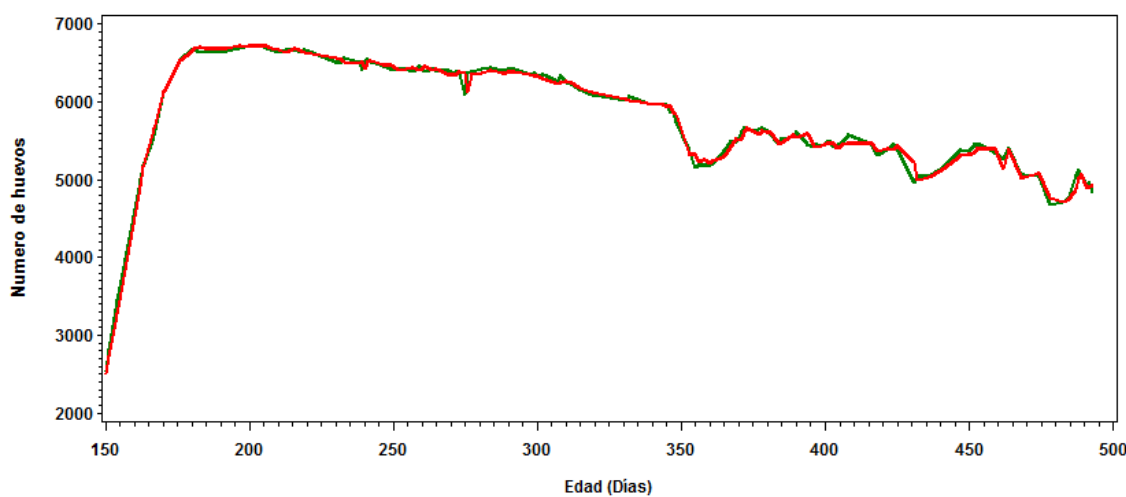
4120



4121

4122 **Figura 4.** Curva de crecimiento proyectado por el modelo de Gompertz para línea
 4123 Lohmann LSL del sistema de producción de la Universidad de Antioquia. (—: límite superior e inferior datos estimados; - - -: promedio datos estimados; —: promedio datos reales; —: límite superior e inferior datos reales). BW: peso
 4125 corporal y Age: edad en días.

4127



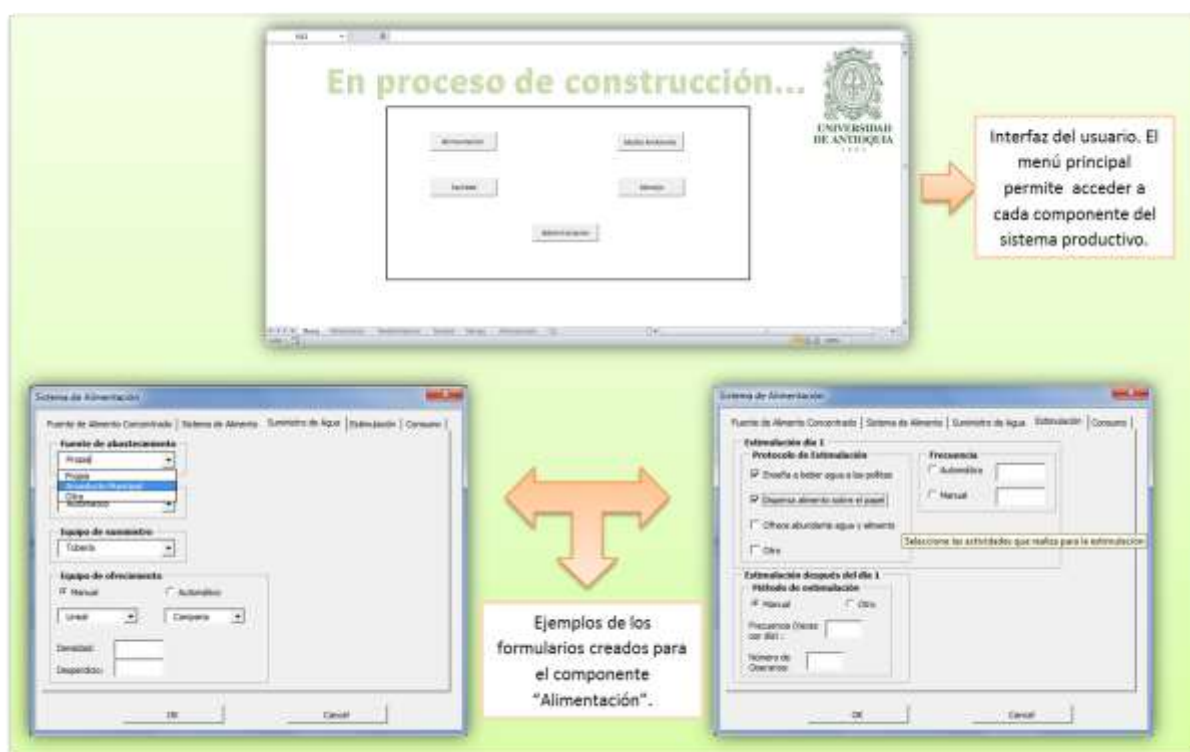
4128

4129 **Figura 5.** Curva de producción de huevo realizada con un modelo de Redes
 4130 neuronales artificiales en un lote de producción de la Universidad de Antioquia (—: datos reales; —: datos estimados por el modelo).

4132

4133 En la segunda fase del diseño del SATD, se creará la herramienta informática que
 4134 tiene como base para el análisis los modelos matemáticos mencionados
 4135 anteriormente; en ésta, el usuario podrá introducir información propia de cada granja
 4136 (Figura 6), como resultado se le presentará un informe indicando el estado actual
 4137 de la producción y los puntos sobre los cuales debe ejercer control, así como las
 4138 posibles alternativas para lograrlo ordenadas de mayor a menor en base a su
 4139 capacidad de contribuir al manejo de la situación.

4140



4141

4142 **Figura 6.** Interfaz del usuario en construcción. Consta de cinco formularios
 4143 diseñados para el ingreso de información inherente a la producción con base en los
 4144 componentes principales (alimentación, medio ambiente, sanidad, manejo y
 4145 administración).

4146

4147 Esta investigación es el punto de partida para el desarrollo y validación de
 4148 aplicaciones informáticas que permitan la estandarización y mejoramiento de la
 4149 calidad de los procesos productivos acorde a las exigencias normativas y
 4150 comerciales del sector avícola.

4151 Finalmente, es importante señalar que la generación de estas herramientas
4152 representa una ayuda importante para el productor, pero es este último quien tiene
4153 la responsabilidad de tomar la decisión adecuada y de velar por que se cumpla a
4154 cabalidad lo planteado en base a ella.

4155

4156 **Referencias.**

4157

- 4158 1. Abiodun O, Adedapo A 2006 The effect of climate on poultry productivity in
4159 Ilorin kwara state, Nigeria. International Journal of Poultry Science, 5(11):
4160 1061-1068: <http://www.pjbs.org/ijps/fin728.pdf>
- 4161 2. Abu-Dieyeh Z H M 2006 Effect of high ambient temperature per se on growth
4162 performance of broilers. International Journal of Poultry Science, 5(1):19-21:
4163 <http://www.pjbs.org/ijps/fin489.pdf>
- 4164 3. Blasco A 2004 XIV Curso internacional sobre mejora genética animal.
4165 Universidad Politécnica de Valencia, Valencia, España
- 4166 4. Borges S A, Fischer Da Silva A V, and Maiorka A 2007 Acid-base balance in
4167 broilers. World's Poultry Science Journal, 63(1):73-81
- 4168 5. Dozier W A, Lott B D and Branton S L 2005 Growth Responses of Male
4169 Broilers Subjected to Increasing Air Velocities at High Ambient Temperatures
4170 and a High Dew Point¹. Poultry Science, 84(6):962–966:
4171 <http://ps.fass.org/content/84/6/962.full.pdf>
- 4172 6. Dumas A, Dijkstra J and France J 2008 Mathematical modelling in animal
4173 nutrition: A centenary review. Journal of Agricultural Science, 146(2):123–142:
4174 <http://edepot.wur.nl/37069>
- 4175 7. Flores A 1994 Programas de alimentación en avicultura: ponedoras
4176 comerciales in Documentos FEDNA - X curso de especialización FEDNA,
4177 Madrid, España:
4178 http://www.ucv.ve/fileadmin/user_upload/facultad_agronomia/Alimentaci%C3%83%C2%ADn_B3n_Gallinas_Ponedoras.pdf

- 4180 8. Hester P Y 2005 Impact of science and management on the welfare of egg
4181 laying strains of hens¹. *Poultry Science*, 84(5):687–696:
4182 <http://ps.fass.org/content/84/5/687.full.pdf>
- 4183 9. Karmakar S, Laguë C, Agnew J and Landry H 2007 Integrated decision
4184 support system (DSS) for manure management: A review and perspective.
4185 *Computers and Electronics in Agriculture*, 57(2):190–201:
4186 <http://www.sciencedirect.com/science/article/pii/S0168169907000713>
- 4187 10. Lin H, Zhang H F, Jiao H C, Sui S J, Gu X H, Zhang Z Y, Buyze J and
4188 Decuypere E 2005 Thermoregulation Responses of Broiler Chickens to
4189 Humidity at Different Ambient Temperatures. I. One Week of Age. *Poultry*
4190 *Science*, 84(8):1166–1172: <http://ps.fass.org/content/84/8/1173.full.pdf>
- 4191 11. Mertens K, Vaesen I, Löffel J, Ostyn B, Kemps B, Kamers B, Bamelis F, Zoons
4192 J, Darius P, Decuypere E, De Baerdemaeker J and De Ketelaere B 2008 Data-
4193 based design of an intelligent control chart for the daily monitoring of the
4194 average egg weight. *Computers and Electronics in Agriculture*, 61(2):222-232:
4195 <http://www.sciencedirect.com/science/article/pii/S0168169907002293>
- 4196 12. Mollo M N, Vendrametto O and Okano MT 2009 Precision livestock tools to
4197 improve products and processes in broiler production: a review. *Brazilian*
4198 *Journal of Poultry Science*, 11(4):211-218:
4199 <http://www.scielo.br/pdf/rbca/v11n4/v11n4a1.pdf>
- 4200 13. Oviedo E O 2002 Optimización de la producción Avícola por medio de
4201 Modelos Matemáticos. *Industria Avícola*
- 4202 14. Patel V C, McClendon R W and Goodrum J W 1998 Development and
4203 evaluation of an expert system for egg sorting. *Computers and Electronics in*
4204 *Agriculture*, 20(2):97–116:
4205 <http://www.sciencedirect.com/science/article/pii/S016816999800009X>
- 4206 15. Rose N, Mariani J P, Drouin P, Toux J Y, Rose V and Colin P 2003 A decision-
4207 support system for *Salmonella* in broiler-chicken flocks. *Preventive Veterinary*
4208 *Medicine*, 59(1-2):27-42:
4209 <http://www.sciencedirect.com/science/article/pii/S0167587703000564#>

- 4210 16. Rozenboim I, Tako E, Gal-Garber O, Proudman J A and Uni Z 2007 The Effect
4211 of Heat Stress on Ovarian Function of Laying Hens. *Poultry Science*,
4212 86(8):1760–1765: <http://ps.fass.org/content/86/8/1760.full.pdf+html>
- 4213 17. Santomá G y Pontes M 2004 Interacción nutrición-manejo en explotaciones
4214 para aves y porcino. 1. introducción y factores ambientales. XX curso de
4215 especialización FEDNA, Barcelona, España:
4216 http://fundacionfedna.org/sites/default/files/04CAP_8.pdf
- 4217 18. Sonawane Y R, Khandekar S, Mishra B K and Pandian S K 2008 Environment
4218 Monitoring and Control of a Polyhouse Farm through Internet. India:
4219 http://home.iitk.ac.in/~samkhan/Bio_data/publications/Khandekar_Conf_23.pdf
- 4220 19. Wan Y, Yu S, Huang J, Yang J and Tsai C 2008 Automation integration for
4221 Taiwan country-chicken farm management using field server. World
4222 conference on agricultural information, Taiwan:
4223 <http://www.cabi.org/GARA/FullTextPDF/2008/20083298161.pdf>
- 4224 20. Wang H 1997 Intelligent agent-assisted decision support systems: Integration
4225 of knowledge discovery, knowledge analysis, and group decision support.
4226 *Expert Systems with Applications*, 12(3):323-335:
4227 <http://www.sciencedirect.com/science/article/pii/S0957417496001030#>
- 4228 21. Yam R C M, Tse P W, Li L and Tu P 2001 Intelligent Predictive Decision
4229 Support System for Condition-Based Maintenance. *The International Journal of*
4230 *Advanced Manufacturing Technology*, 17(5):383-391:
4231 <http://link.springer.com/content/pdf/10.1007%2Fs001700170173>
- 4232 22. Zang J J, Piao X S, Huang D S, Wang J J, Ma X and Ma Y X 2009 Effects of
4233 Feed Particle Size and Feed Form on Growth Performance, Nutrient
4234 Metabolizability and Intestinal Morphology in Broiler Chickens. *Asian-*
4235 *Australasian Journal of Animal Science*, 22(1):107-112:
4236 <http://www.ajas.info/Editor/manuscript/upload/22-14.pdf>
- 4237